

STÁTNÍ VÝZKUMNÝ USTAV TEXTILNÍ  
Liberec

Ing. Bohuslav Neckář, CSc.

T V O R B A A S T R U K T U R A

PŘÍZE

Doktorská disertační práce

UNIVERZITNÍ KNIHOVNA  
TECHNICKÉ UNIVERZITY V LIBERCI



3146088186

Vědní obor: 23-09-09  
textilní technika

Liberec 1987

0249 T

O B S A H

	strana
Úvod	4
ČÁST A: Stručná charakteristika vývoje a současného stavu poznání tvorby a struktury přízí	6
ČÁST B: Cíl disertace	9
ČÁST C: Zvolené přístupy a metody zpracování	11
ČÁST D: Řešení vybraných problémů tvorby a struktury příze, nalezené výsledky a nové poznatky	13
1 Základní vztahy související s přízí	14
1.1 K několika všeobecným pojмům	14
1.2 Vlákenné soustavy	14
1.2.1 Vlákna	14
1.2.2 Vlákenné útvary	17
1.2.3 Vlákna a vlákenné útvary v přírodě a společnosti	27
1.3 Příze	27
1.3.1 Charakter a rozdělení přízí	27
1.3.2 Základní veličiny popisující přízi	29
1.3.3 Vztah mezi jemností, zákrutem a průměrem příze	32
1.3.4 Seskání a počet vláken v příčném řezu	43
2 Tvorba příze	45
2.1 Nástin principů tvorby zakroucené příze a postupu jejího studia	45
2.2 Modely zákrutování kontinua	48
2.2.1 Stavba válcového modelu	48
2.2.2 Deformační zákonitost vlákenného materiálu	57
2.2.3 Numerické výpočty, experimentální výsledky a diskuse válcového modelu	61
2.2.4 Stavba modelu svinované stužky	64
2.2.5 Numerické výpočty, experimentální výsledky a diskuse modelu svinované stužky	71
2.3 Diskontinuální modelové představy	72
2.3.1 Modely souosých šroubovic	72
2.3.2 Migrace vláken - vymezení základních pojмů	84
2.3.3 Vnesená migrace	91
2.3.4 Migrační důsledky vyrovnávání délek	98
2.3.5 Tvorba příze a zdroje migrace v zákrutovém trojúhelníku	114

3	Geometrická struktura příze	121
3.1	Vznik a hodnocení struktury příze	121
3.2	Geometrická struktura vnějších vrstev příze	122
3.2.1	Oblasti příze	122
3.2.2	Oblast husté chlupatosti, poloměr a průměr příze	123
3.2.3	Průběhy vláken, hranice a oblast řídké chlupatosti	131
3.2.4	Vlákna na povrchu příze	135
3.3	Geometrická struktura v příčných řezech	135
3.3.1	Idealisované příčné řezy	135
3.3.2	Experimentální metody pořizování příčných řezů	138
3.3.3	Vyhodnocování příčných řezů, metoda SECANT	140
3.3.4	Praktické použití, výsledky a diskuse	143
3.4	Prostorové uspořádání vláken	148
3.4.1	Možnosti idealisovaných modelů	148
3.4.2	Experimentální metody zjišťování prostorových křivek vláken	148
3.4.3	Metody vyhodnocování a jejich výsledky	151
3.4.4	Analýza struktur metodou VSOP	160
3.4.5	Výsledky metody VSOP	167
ČÁST E:	Závěry pro realisaci ve společenské praxi a pro další rozvoj vědy	171
1	Závěry pro realisaci ve společenské praxi	172
2	Závěry pro další rozvoj vědeckého poznání	174
Seznam literatury		

## ÚVOD

Obvykle se soudí, že mezi základní lidské potřeby patří oblečení a bydlení. Jejich zajišťování bylo důležitou součástí všech dosud známých forem lidské civilizace a bude významné i v budoucnosti.

Výroba textilií, spočívající již mnoho tisíciletí ve zpracování vláken a vlákniných útvarů, naplňuje v rozhodující míře potřeby odívání a významnou měrou i potřeby bydlení. Patří tedy mezi základní činnosti, pro existenci lidstva nezbytné a nenecháditeľné. Současný svět zpracovává <sup>x)</sup> ročně kolem  $37 \cdot 10^9$  kg vláken, na každého obyvatele naší planety jich připadá více než 7,5 kg. Kolem roku 2 000 se očekává překročení hranice 8 kg na osobu, ale spotřeba přírodních vláken klesne z dnešních 3 kg na 2,5 kg. Tento rozdíl a nárůst celkového množství má být kryt zvýšenou spotřebou chemických vláken, jejichž produkci lze zajistit bez principiálních problémů. (Na výrobu vláken se dosud spotřebovává jen asi 1,5 % produkce ropy a k dispozici je i celulosa.)

Z geografického hlediska se projevuje přesun podílu textilní a oděvní výroby z tradičních zemí do rozvojových oblastí. Hospodářsky vyspělé země si však textilní a oděvní průmysl i nadále udržují. Jejich obyvatelé sice vynakládají na textilie menší poměrnou část svých příjmů, ale spotřeba textilií se nesnižuje.

Téměř 90 % světové produkce vláken se zpracovává prostřednictvím přízí a hedvábí. Asi 2/3 objemu přízí se spřádají v bavlnářských přádeleinách, v r. 1985 pracovalo na světě  $150 \cdot 10^6$  vřeten na spřádání krátkého steplu,  $15 \cdot 10^6$  vřeten pro dlouhý stepl a  $6,5 \cdot 10^6$  rotorových spřádacích míst. (V zemích RVHP bylo  $4,6 \cdot 10^6$  rotorových jednotek, tj. 17 % přádních míst. Ostatní země užívaly tyto jednotky jenom v podílu 1,3 %.)

Československo zpracovává kolem 23 kg vláken na obyvatele za rok a přibližně stejný objem má být u nás zpracováván i na počátku 21. století. Toto množství je 3x větší než světový průměr a dokumentuje m.j. exportní orientaci čsl. textilního průmyslu. Převážnou většinu textilií tvoříme z přízí či hedvábí. Nejpodstatnější jsou i u nás příze bavlnářského typu, které se podílejí téměř polovinou na celkové spotřebě vláken. Příze tedy ovlivňuje a budou i nadále ovlivňovat podstatnou část produkce čsl. textilní výroby.

Současné snahy o intenzivnější hospodaření a využití nových forem dalšího rozvoje ekonomiky naší země se týkají mnoha stránek výrobního procesu. V textilním průmyslu by měly být spojovány především s úsilím o dokonalejší využívání vlákniných surovin a dosahování zvýšené kvality výrobků v relaci k jejich výrobní náročnosti. Dříve typické snahy o neustálé zvyšování výrobkových objemů dnes již ustupují zámrům efektivního získávání vysoké kvality výroby. Z tohoto hlediska se v novém světle jeví i problematika přízí. Vzniká řada otázek, např. v jakých poměrech je "rozumné" vyrábět příze rotorové a prstencové, jak a do jakých přízí zpracovávat různé suroviny z pohledu nejvhodnějšího využití vlastností vláken, v jakém směru příze vůbec dále zdokonalit, jak správněji posuzovat jakost příze atd. Většina podobných problémů má komplexní charakter. Řešení obvykle vyžaduje použít i mnoha poznatků, které plynou ze zákonitostí tvorby, struktury a vlastností přízí.

x) Uváděné statistické a prognostické údaje jsou převzaty z materiálů ved. pracoviště VTR v SVÚT Liberec.

Je však otázkou, do jaké míry máme potřebné vědecké poznatky k dispozici. Exaktní měřítko asi neexistuje a nelze se oprostit od subjektivních vlivů individuální zkušenosti, ale přesto se domnívám, že se současným stavem našich znalostí nemůžeme být příliš spokojeni. Zákonitosti technických i přírodních věd bývají formulovány matematicky a jejich výzkum souvisí s užíváním specifických experimentálních metod. Proto kriteriem vyrálosti a praktického využívání dané vědní oblasti může být rozsah a náročnost v praxi prováděných "konstrukčních" (projekčních, optimalizačních) výpočtů a speciálních měření. Dnešní výroba příze, na rozdíl od typických oblastí ve strojírenství, stavebnictví, elektrotechnice aj., používá jen několik jednoduchých matematických výrazů a s výjimkou sledování nestejnometrnosti provádí pouze jednoduchá měření; pracuje se zejména s velkým podílem primárních empirických znalostí. Ve vědeckých a výzkumných pracích se pak často užívá jen takových metod (vyhodnocování plánovaných experimentů polynomickou regresí, korelační, shluková, faktorová analýza apod.), které popíší chování textilie bez znalosti konkrétních příčin (tedy "jak", ale ne "proč").

Tvrďme, že věda a její vliv na technický pokrok je hnací silou současné kultury a civilizace. Poznatky výzkumu a formulace teorie by pak ovšem měly mít i v případě textilních vlákených soustav, včetně příze, potřebný předstih před požadavky výroby. Zřejmě již nebude možné hledat exaktní zákonitosti teprve poté, až postup ve stylu empirického variování minulých vzorů víceméně selže. Obecně se soudí, že využívání vědeckých poznatků v praktické činnosti je cesta hospodářsky efektivní. Ovšem vedle nezbytných ekonomických a společenských podmínek, vedle nutné obratnosti, se kterou je třeba nové poznatky využívat, je především nutné mít co aplikovat.

Dílčí poznatky základního výzkumu přízí a dalších textilních útvarů mohou zpočátku působit jako praktický málo užitečné kuriozity. (Snad proto je současnými předpisy plánování a hodnocení výzkumných úkolů základní výzkum spíše jen trpěn.) Teprve později shromážděním, zobecněním a logickým zklooubením dílčích poznatků může vzniknout ucelenější teorie, schopná dalšího vývoje a využitelná k řešení praktických problémů. V jakémse "stavu zrodu" je v současnosti i teorie příze. Hlavně v posledních desetiletích bylo vykonáno mnoho objevné práce na řadě pracovišť v Československu i v zahraničí, ale znalosti dílčích zákonitostí tvorby, struktury a vlastností zatím ještě nevyústily v jednotnou a ucelenou teorii. Tím vytrvaleji je však třeba pokračovat i v soustavném základním výzkumu přízí a chránit jej před krátkozrakými konjunkturálními, administrativně-ekonomickými zásahy.

Shodou řady okolností, mezi něž patřilo i prozírávě pochopení pro základní výzkum v SVÚT Liberec, jsem se spolupracovníky v tomto ústavu prováděl po dvě desetiletí výzkum zákonitostí hlavních typů textilních vlákených útvarů - přízí, tkanin, pletenin i netkaných textilií. Osobně jsem se zabýval hlavně tvorbou, strukturou a vlastnostmi přízí. Původní výsledky jsem shrnul v knižní monografii a vybrané části jsou náplní této disertace. Je mou milou povinností poděkovat všem, kteří mi byli nápmocní při vlastní výzkumné práci i těm, kteří svými rady a připomínkami přispěli ke konečnému zpracování textu. Předkládaná disertační je jen jednou z řady prací, které bylo a ještě bude nutné vykonat pro příští jednotnou a ucelenou teorii příze. Je přání autora, aby se tato práce stala užitečným krokem na cestě za hlubším poznáním textilních vlákených soustav.

### Část A

#### STRUČNÁ CHARAKTERISTIKA VÝVOJE A SOUČASNÉHO STAVU POZNÁNÍ TVORBY A STRUKTURY PŘÍZI

Princip sprádání vláken a použití příze patří mezi nejvýznamnější objevy neolitu. V nejstarších dobách se příze spřádala ručním vretenem. Ve středověku se počaly používat sprádací kola a později kolovraty. K výrazné změně prostředků pro výrobu příze došlo přibližně od poloviny 18. do poloviny 19. století, kdy byla vynalezena a patentována většinu přádelnických strojů a výroba příze se stala průmyslovou.

Ručně vytvářená příze byla v jistém smyslu neopakovatelným originálem. Strojní výroba však omerila přímý vliv lidského subjektu, stala se reproducovatelnější. V této fázi vývoje se mohla stát příze předmětem hlubších vědeckých úvah.

V první polovině 19. století se objevují první exaktněji pojaté práce o přízi. Dodnes používané jsou myšlenky A. Koehchina (1829), týkající se zákrutového koeficientu. V téže době vznikalo i přesnější chápání odborných pojmu a byly položeny základy zkušebnictví příze.

Byly to patrně textilní stroje, které vnesly přádelnickou technologii do odborných středních a vysokých škol. Zde se stala předmětem studia některých specialistů, vzdělaných zejména v matematice a mechanice. Na přelomu století publikovali své práce F. Müller, S. Marschik, A.N. Vasiljev, C.M. Gegauff a jiní. Jejich studie se svým charakterem již značně přibližují soudobým pracem a mnohé myšlenky jsou dodnes aktuální.

V první polovině 20. století se publikace o zákonitostech příze objevují častěji. Lze je nalézt v literatuře německé, anglické i ruské. Jen namátkou lze připomemout jména O. Johansen, E. Braschler, H.R. Schwarz, F.T. Feirce, W.L. Ballis, I.G. Obuch, V.T. Kosticin, V.A. Vorosilov a mnohá další. V této době se objevují též prvá komplexněji pojatá pojednání (Braschler), vesměs založená na myšlenkách šroubovicového modelu příze.

K prudkému rozvoji poznatků o tvorbě, struktuře a vlastnostech příze došlo ke konci 40. let a v letech 50. Autoři, jako např. V.K. Pejsachov, V.K. Pavlov, N.M. Bělicin, V.I. Budnikov, W.E. Morton, M.M. Platt, A.N. Solověv, L.R.G. Treloar, A. Barella, J.G. Martindale, W. Wegener, A.G. Sevostjanov a řada dalších, ovlivnili výrazným způsobem úroveň poznání. Důležitou inspirací výzkumu byla nová situace, vzniklá nástupem chemických vláken do textilní výroby.

Úsilí o hlubší poznání příze pokračovalo neztenčenou měrou i v letech 60. Vedle autorů již zmíněných, publikovali závažné práce J.W.S. Hearle a jeho spolu-pracovníci, K.I. Korickij, W. Žurek, J. Lüneneschloss, S. Kawabata, M. Chaikin, G. Trommer a množství dalších pracovníků. Sledovala se tvorba příze, vedle představ o zakrucování válce se uplatňovala idea svinování stužky. Podrobnější se analyzovala migrace vláken, vedle koncepce šroubovic vznikl ideální migrační model. S československými stroji se objevila nová technologie rotorového předení. Vznikly čs. studie zejména J. Kašpárka, J. Ripky, které zasáhly do vývoje světového poznání.

Poslední údobí lze datovat přibližně od začátku 70. let do současnosti. Je provázeno jistým útlumem v publicitě nových prací o zákonitostech příze. Zájem o textilní výrobky relativně k ostatním poněkud klesá, aktuální společenské potřeby se soustředují do oblasti získávání surovin, energie, řešení ekologických problémů aj. Těžiště textilní výroby se zčásti přesunulo z průmyslové vyspělých zemí do zemí rozvojových. Výzkum příze však pokračuje i v těchto složitějších podmírkách.

Téměř až do poloviny tohoto století se několika klasickými technologiemi vyrádalo jen několik typů přírodních vláken. Tisícileté empirické zkušenosti umožňovaly vyrábět kvalitní příze i bez hlubšího pochopení jejich podstaty a podstaty

jejich vzniku. Rozšířením chemických vláken a rozvojem textilního strojírenství a dalších oborů vznikly nové možnosti předení a nové druhy přízí. Tradiční, ryze empirické přístupy přestaly ve změněných podmínkách postačovat. Otázky zákonitosti tvorby, struktury i vlastností vlákkenných útváru se poprvé staly prakticky naléhavými. Vystoupil do popředí i problém optimální konstrukce textilie. Vývoj vyústil do potřeby vybudovat solidní teoretické základy pro textilie. Přitom se ukázalo, že postupy, předpoklady a zjednodušení z jiných oborů většinou nejsou pro vlákkenné útvary použitelné a nezbývá, než tyto útvary respektovat jako zcela svébytné formy materiálních objektů.

Naznačený vývoj se v plné míře dotýká také teoretických základů tvorby, struktury a vlastností plíže. Jednotná a ucelená teorie příze zatím neexistuje. Souhrn publikovaných výsledků tvoří dosud jen jakousi „mozaiku“ dílčích poznatků, často nesourodých a rozporných. Neustále se objevují nová fakta, která způsobují podstatné změny v dosavadních představách. Vhodný jednotící pohled se stále ještě hledá.

Část B

C F L D I S E R T A C E

Jedním z výhledových cílů vědeckovýzkumné činnosti na úseku textilních vláken-ných útvarů je vybudování relativně ucelené a jednotné teorie příze. Společenská oprávněnost takového cíle plyne jak z předpokladu obohacení samotného poznání, tak i z prognóz pro hospodářské využití. Vypracování teorie příze je však záměrem dlouhodobým a na jeho uskutečnění se podílela a bude ještě podílet řada pracovníků.

Mým nejucelenějším příspěvkem k této problematice je knižní monografie / 82 /. Po letech výzkumné činnosti jsem považoval za užitečné předložit odborné veřejnosti souhrnné pojednání, založené na nových poznatcích z vlastní práce. Při zpracování monografie jsem si kladl, alespoň ve vybraných problémech, tři cíle:

- 1) Hlouběji a úplněji popsat jevy ve tvorbě, struktuře a vlastnostech příze. Vlastní teoretické a experimentální výsledky konfrontovat s fakty a názory ostatních autorů.
- 2) Přispět k jednotnějšímu pohledu na to, co příze vlastně jsou, jak vznikají, jak se projevují. Sjednocující hledisko založit na fyzikální interpretaci sledovaných fenoménů a na strukturálním přístupu k přízi.
- 3) Při zachování základního teoretického charakteru práce zvažovat možnosti praktického uplatnění výsledků v textilní výrobě.

Vybrané poznatky z oblasti tvorby a struktury příze, vycházející většinou z / 82 / a charakterizující můj osobní přínos k řešení dané tématiky, tvoří podstatu předkládané disertace.

## Část C

# ZVOLENÉ PŘÍSTUPY A METODY ZPRACOVÁNÍ

Z hlediska logicko-gnoseologického je vědecká práce jednotou dvou stránek: systému poznatků a metod poznání. Vydat zvlášť do samostatné kapitoly jen metody, jak ukládá vyhláška č. 64/77 Sb., je dosti obtížné. Konkrétní metody užité v disertaci, ať už mají charakter experimentální nebo teoretický, byly v mnoha případech vyvinuty nebo nově modifikovány autorem. Jsou tedy prostředkem, ale současně také výsledkem zkoumání. V nových souvislostech jsou ostatně také užívány i metody, převzaté od jiných autorů.

Uspořádání disertace odráží přirozený stav tohoto těsného dialektického spojení metod poznávání a nových poznatků. Konkrétní metody zkoumání jsou navrhovány, popisovány, analyzovány a hodnoceny společně s dosaženými výsledky v části D, a to vždy jako součást právě řešeného problému. V nynější části C budou jen v obecných rovinách připomenuty hlavní myšlenkové přístupy autora k tvorbě a struktuře přízí.

V disertaci jsou používány především tradiční metody teoretické práce. Nejčastěji se volí cesta vypracování a ověření matematicky formulovaných modelů, které popisují a vysvětlují fyzikální podstatu postupného vzniku osobité geometrické struktury příze a jejího konečného stavu.

První užitá cesta vychází z tradiční představy „příze v celku“, tj. z jejího chápání jako časově a prostorově hloubějí nediferencovaného útvaru. Méně tradiční je důsledné fyzikální pojetí veličin a vztahů mezi nimi a přístup k přízi jako k útvaru, jenž se řídí fyzikálními, zejména mechanickými pravidly.

Pro hlubší pochopení tvorby příze byly zpracovány modely zobrazující zjednodušeně nejdůležitější děje. Vychází z názoru, že pro příze nejsou zcela vyhovující ani idealizace založené na představě kontinua, ani přístupy diskontinuální; jeden i druhý přístup jsou používány podle charakteru dílčích problémů.

Koncovým projevem tvorby je především geometrická struktura výsledné příze. Nedokonalost současných znalostí však nutí tvorit modely struktury do určité míry nezávisle; mají pak více popisný charakter. A byl to právě častý nesoulad původních představ o tvorbě s poznatků strukturálními, který přiměl autora k formulaci nových názorů.

Vedle teoretických metod vychází disertace z řady empirických údajů. Výsledky pozorování běžných přízí i záměrně připravených experimentů byly inspirací pro formulování teoretických představ a poté jedním z prostředků jejich ověřování. Kromě užití běžných měřicích metod bylo třeba vyvinout a používat nové či modifikované metody (měření i vyhodnocování), sloužící zejména k poznání vzájemného uspořádání vláken v přízi (analýza příčných řezů, prostorových křivek vláken, zaplnění aj.).

Závěrem je třeba připomenout, že při volbě vhodných přístupů a metod byly zaváděny potřeby, plynoucí z logiky řešených problémů, ale také reálné možnosti a technické vybavení výzkumného pracoviště.

Část D

# ŘEŠENÍ VYBRANÝCH PROBLÉMŮ TVORBY A STRUKTURY PŘÍZÉ, NALEZENÉ VÝSLEDKY A NOVÉ POZNATKY

1. Z Á K L A D N Í V Z T A H Y S O U V I S E J ČÍ  
S P Ř Ě F I Z F

1.1. K NĚKOLIKA VŠEORECNYM POJMU

Vývoj lidského poznání rozšiřuje řadu pojmu obecného charakteru, jejichž užití nebyvá vždy jednoznačné. Proto je význam některých pojmu vhodné upřesnit.

V textilní problematice se pracuje s předměty, které se v daném okamžiku vyskytují v určité části třírozměrného Eukleidova prostoru. K nim se váží různé údaje určitého smyslu (daného významem použitých pojmu, symbolů a pod.) a hodnoty (v jednotkách nějaké stupnice). Týká-li se údaj umístění předmětu v prostoru je údajem geometrickým. Je-li údaj invariantní vůči ortogonální transformaci souřadnic, je vlastností daného předmětu. Vztahuje-li se údaj jen k některé části předmětu, nebo týká-li se vztahu mezi takovými částmi je obvykle označován jako strukturální. Významný okruh údajů tvoří strukturální geometrické vlastnosti, označované často názvem morfologické vlastnosti (informující o "tvaru").

V toku času dochází k interakci zkoumaného předmětu s okolním prostředím; předmět se určitým způsobem chová. Toto chování je pozorováno prostřednictvím změny vlastnosti. Chování, které má za následek nevratné změny vlastnosti je tvorbou. Typickým příkladem je tvorba příze z výchozí vlákkenné suroviny. Změny vlastnosti předmětu, jehož chování se zkoumá, bývají vzájemně podmíněny; existují zákonitosti chování (a tedy i zákonitosti tvorby).

Starší práce o textiliích mívají obvykle popisný charakter - k daným dějům prostě přiřazují hodnoty jednotlivých vlastností. Příčinné souvislosti zde nejsou prvořadé a proces vzniku vlastnosti je chápán spíše jako „černá skříňka“. V novějších pracích se pozornost obrací ke studiu zákonitostí vzniku a chování textilií. V tomto pojetí nabývají na významu právě strukturální vlastnosti, neboť jsou na rozhraní dvou dějů: tvorby, realizované výrobním procesem a chování při hodnocení, uskutečňujícím se v laboratorních zkušebny, ale zejména ve spotřebě.

1.2. VLÁKENNÉ SOUSTAVY

1.2.1. VLÁKNA

Textilní vlákkenné útvary jsou objekty s výraznou a bohatou hierarchií vnitřního uspořádání. Podle hloubky pohledu jsou jejich částicemi molekuly, micely, fibrily, vlákna, příze i tkaniny atp. Přitom vždy „nižší“ částice je ve vyšším celku obsažena s jistou mírou vlastní samostatnosti. Vlastnosti a zákonitosti, které se váží k vlákňům a jejich částem sleduje struktura vláken. Vlastnosti a zákonitosti vyšších celků spadají do nadvlákkenné struktury - „elementární“ částicí je zde vlákno.

Pojem vlákno. Vlákno je historicky velmi starý pojem, intuitivně dobře srozumitelný, ač zcela exaktní definice dosud nebyla podána.

Třídění vláken. Vlákna je možno třídit mnoha různými způsoby. Nejstarší způsob třídění se opírá o hlediska původu, složení a výskytu vláken. Vyskytuje se již v /120/, v ČSN /125/, v publikacích V. Hladíka /38/, Z. Trávníčka /91/. V přádelnické technologii má značný význam hledisko geometrické, spjaté s délkou a podélnou geometrií, jemností a tvarem příčného řezu a s pojmy souvisejícími.

Délka. Rozložení délek vláken se vyjadřuje buď tradiční staplovou křivkou, nebo frekvencií funkcí (hustotou pravděpodobnosti) a jejimi normovanými charakteristikami /124/.

Podélná geometrie. Podélná geometrie vlákna vyplývá z tvaru jeho osy. U vlněného vlákna se zjišťuje počet zblouček na jednotku délky (dle F. Fučíka /18/ či W. Frenzela /104/ činí 4 až 12 cm<sup>-1</sup>). Jindy se vychází ze vzdálenosti  $\ell$  konců vláken zbloučkovaného a délky  $\ell$  vlákna napřímeného. W. Frenzel /104/ nazývá poměr  $\ell/\ell_0$  stupňem zbloučkování, H.J. Hennig /37/ a A. Zart /118/ užívají výraz  $(\ell-\ell_0)/\ell$  s názvem zbloučkování, V.I. Budnikov /15/ definuje koeficient napřímenosti poměrem  $\ell/\ell_0$ , S. Marschik /60/ užívá poměr  $(\ell-\ell_0)/\ell$  a nazývá jej zbloučkování, autor /70/ používá tutéž veličinu i pro část vlákna pod názvem navlnění.

Jemnost. Jemnost vláken se charakterizuje délkovou hmotností, tj. hmotností jednotky délky. Obvykle se rozlišují vlákna superjemná (do 0,01 tex), velmi jemná (0,01-0,09 tex), bavlnářská (0,09-0,3 tex), vlnařská (0,28-1,3 tex), kobercového typu (1,3-2 tex) a lýkového typu (nad 1,7 tex). Mezi jemností  $t$ , něrnou hmotností  $\rho$  a plochou příčného řezu  $\sigma$  vláknem platí vztah

$$t = m/\ell = \rho \ell \sigma / \ell = \rho \sigma \quad (1.2.1)$$

kde  $m$ ,  $\ell$  jsou hmotnost a délka vlákna. Prostřednictvím plochy příčného řezu se definiuje ekvivalentní průměr  $d$  vlákna.

$$d = 2\sqrt{\sigma/\pi} \quad (1.2.2)$$

Spojením těchto rovnic se získá výraz

$$d = 2\sqrt{t}/\sqrt{\pi}\rho \quad (1.2.3)$$

Jemnost  $t$  je závislá nejen na geometrických vlastnostech, ale i na měrné hmotnosti vláken. Proto je mnohdy přesnější posuzovat jemnosti prostřednictvím plochy příčného řezu, či ekvivalentním průměrem.

Tvar příčného řezu. Tvar příčného řezu se obvykle charakterizuje jeho plochou  $\sigma$ , plochou opsané kružnice  $\sigma_k$ , největší šířkou  $h$  a obvodem  $P$ . F.T. Pierce /85/ popisuje řez poměrem  $\sigma/\sigma_k$ , K.I. Korickij /51/ užívá výrazu  $h\sqrt{\sigma}/(2\sqrt{\sigma})$ . K. Malinovská /56/ a předpis /122/ vycházejí z veličiny

$$\eta = P/(2\sqrt{\sigma}\sigma) - 1 = \rho/(\pi d) - 1 \quad (1.2.4)$$

nazvané stupeň rozvinutí tvaru, jehož orientační hodnoty charakterizuje tab. 1.1

Stupeň rozvinutí tvaru dle /56/

Tab. 1.1

Typ průřezu vláka	$\eta$
„Kruhový“ průřez	0 - 0,07
„Trojúhelníkový“ průřez	0,09 - 0,12
Průřez „pěticípé hvězdy“	0,23 - 0,40
Průřez bavlny střední zralosti	0,45 - 0,50
Nepravidelný průřez s pilovitým okrajem	0,50 - 0,60

Ze znalosti tvaru příčného řezu lze stanovit velikost plochy  $\sigma$  povrchu vlákna, připadající na jednotku jeho hmotnosti. Platí užitím (1.2.4)

$$\sigma = \rho l / (\frac{\pi d^2}{4} \cdot \ell_0) = 4(\eta + 1) / (\rho d) \quad (1.2.5)$$

Tato hodnota se pohybuje u běžných vláken v řádu  $10^2 \text{ m}^2 \text{kg}^{-1}$ . Naproti tomu měrný povrch vlákem, zahrnující i plochy velmi jemných pórů, je několikanásobně větší.  
(J. Koldinský /48/ nalezl metodou B.E.T. pro bělenou bavlnu hodnoty 6000 až 8000  $\text{m}^2 \text{kg}^{-1}$ .)

Největší šířka  $h$  přičného řezu či ekvivalentní průměr  $d$  bývají srovnány s délkou vlákna. Typické hodnoty tohoto štíhlostního poměru jsou charakterizovány v tab. 1.2.

Štíhlostní poměr vláken dle /20/

Tab. 1.2

Vlákno	Štíhlostní poměr
bavlna	1 500
vlna	3 000
len (elementární)	1 250
juta (elementární)	170
ramie	3 000

Měrná hmotnost. V souvislosti s tradičním vyjadřováním jemnosti délkovou hmotností je obvykle třeba znát také měrnou hmotnost  $\varrho$  vláken. Orientační hodnoty pro některá vlákna jsou v tab. 1.3.

Orientační hodnoty měrné hmotnosti vláken

Tab. 1.3

Druh vlákna	$\varrho (\text{kg m}^{-3})$
bavlna	1 520
len, juta (elementární)	1 520
vlna	1 310
přírodní hedvábí	1 340
VS	1 500
AC	1 320
PAD	1 140
PES	1 360
PAN	1 160
POP	910

Mechanické vlastnosti. Pro příze mají značný význam také mechanické vlastnosti vláken. Ve specializovaných publikacích se uvádí nejčastěji tahová křivka napětí - prodloužení, pevnost a tažnost za sucha či za mokra, ve smyčce, v uzlu, dále podíl pružné, viskoelastické a plastické deformace a rheologické vlastnosti, zejména creepové a relaxační křivky.

Napětí je v textilní praxi vyjadřováno specifickým způsobem. Zatímco ve fyzice je mechanické napětí  $\sigma$  síla působící na jednotku plochy, užívá se v textiliích „napětí“  $G$  jako síla působící na jednotku jemnosti. Je-li  $F$  síla, pak užitím (1.2.1) plyne

$$G = F/t = F/(s\varrho) = \sigma/\varrho$$

(1.2.6)

což charakterizuje závislost  $G$  na měrné hmotnosti.

Podskupinu mechanických vlastností tvoří také tření. Podrobněji se jím zabývá např. monografie /40/.

Vlákna se popisují dle potřeby ještě dalšími vlastnostmi fyzikálními, chemickými, biologickými, ale i ekologickými atd.

1.2.2. VLÁKENNÉ ÚTVARY

Hierarchicky vyšší útvar vytvořený z vláken je vlákennou soustavou. Vlákenné soustavy se vzájemně odlišují:

- 1) druhem vláken,
- 2) způsobem vzájemného uspořádání vláken,
- 3) způsobem vzájemného spojení vláken.

Nejvýznamnější podskupinu tvoří soustavy, v nichž je každé vlákno v přímém kontaktu s ostatními.<sup>X)</sup> Takové objekty jsou kompaktnější, lépe odolávají vnějšímu působení, jsou tvarově stabilnější. Jsou to vlákenné útvary. Pokud jsou produktem textilní výroby, nazývají se dle normy textilní vlákenné útvary či textilie 1123/.

Třídění vlákenných útvarů. Tradiční klasifikace vychází z materiálového složení, z původu a vzniku dle technologií výroby, z účelu a způsobu užití aj. Z hlediska geometrických vlastností rozlišuje norma textilní vlákenné útvary délkové, plošné a prostorumy. Z hlediska hierarchie struktury je vhodné rozlišovat útvary jednoduché (příze, rouha apod.), jejichž nejbliže nižší stavební jednotkou jsou přímo vlákna, a útvary složené (tkaniny, pleteniny aj.) sestavené z jiných vlákenných útvarů. Významné je uspořádání částic ve vlákenném útvaru. Vyjadřuje se údaji o jejich hustotě a směrovém uspořádání. Z hlediska druhů vláken se rozlišují jednokomponentní a vícekomponentní útvary.

Vícekomponentní útvary. Ve vícekomponentních útvarech je  $m$  různých komponent - druhů vláken. Každá  $i$ -t<sup>é</sup> ( $i=1,2,\dots,m$ ) komponenta má svou měrnou hmotnost  $\varrho_i$ , jemnost  $t_i$  a je zastoupena podílem hmoty  $g_i$  ( $\sum g_i = 1$ ). Objem vláken  $i$ -t<sup>é</sup> komponenty v hmotnostní jednotce útvaru je  $g_i/\varrho_i$ . Střední měrná hmotnost vláken  $\varrho$  je pak poměrem jednotkové hmotnosti a objemu vláken v ní obsažených.

$$\varrho = 1 / \sum_{i=1}^m (g_i / \varrho_i) \quad (1.2.7)$$

Výraz

$$v_i = g_i \cdot (\varrho / \varrho_i) \quad (1.2.8)$$

vyjadřuje objemový podíl  $i$ -té komponenty.

V hmotnostní jednotce je délka vláken  $i$ -té komponenty  $g_i/t_i$ . Střední jemnost vláken  $t$  je poměrem jednotkové hmotnosti a sumární délky vláken.

$$t = 1 / \sum_{i=1}^m (g_i / t_i) \quad (1.2.9)$$

Výraz

$$\lambda_i = g_i \cdot (t / t_i) \quad (1.2.10)$$

vyjadřuje délkový podíl  $i$ -té komponenty.

Výrazy (1.2.7) a (1.2.9) jsou vážené harmonické průměry. (V praxi někdy užívané vážené aritmetické průměry proto nejsou správné.)

Zaplnění. Hustota vláken ve vlákenném útvaru se ve starších pracích, např. S. Marschik 1/59/, charakterizuje měrnou hmotností útvaru  $\gamma$ . Čím je útvar půreznější, tím nižší je jeho měrná hmotnost. Vedle půrezy je však  $\gamma$  závislé na měrné hmotnosti  $\varrho$  vláken. Hodnoty tak nejsou pro různé materiály souměřitelné.

<sup>X)</sup> Přesněji, je-li každé vlákno v matematickém smyslu uzavřeným tělesem (obsahuje i body své hranice) je vlákenná soustava souvislou množinou bodů.

Proto byla navržena veličina vyjadřující podíl celkového prostoru útvaru zaplněným objemem vláken. J. Simon, J. Marko a B. Neckář pro ni v r. 1966 užili název zaplnění. (Cizejszyčná literatura používá nejčastěji pojmy „Plotnost“, „Fibre Packing Density“, „Packungsdichte“.)

Má-li nějaký útvar objem  $V_c$ , a v něm jsou obsažena vlákna souhrnného objemu  $V \leq V_c$ , je zaplnění  $\mu$  dáno výrazem

$$\mu = V/V_c \quad (1.2.11)$$

Zaplnění je bezrozměrná veličina, ležící v intervalu  $(0; 1)$ . Lze jej interpretovat též jako podíl souhrnné plochy  $P$  řezných plošek jednotlivých vláken ku celkové ploše  $P$  nějakého myšleného řezu útvarem.

$$\mu = P/P_c \quad (1.2.12)$$

Protože výrazy  $\rho V$  i  $\rho V_c$  vyjadřují tutéž hmotnost útvaru, platí dle (1.2.11) také

$$\mu = \rho / \rho_c \quad (1.2.13)$$

což je hmotnostní interpretace zaplnění.

Zaplnění se vyjadřuje buď pro celý vlákenný útvar, nebo v jeho jednotlivých místech; pak je pojmenem strukturálním. V takovém případě je někdy považováno za skalární pole a vyhodnocují se jeho různé charakteristiky (gradient aj.). Orientační hodnoty celkového zaplnění některých útvarů jsou uvedeny v tab. 1.4.

Orientační hodnoty zaplnění některých útvarů

Tab. 1.4

Skupina	Vlákenný útvar	Zaplnění
Délkové textilie	monofil	1
	plástová (hexagonální) struktura	0,907
	ostře kroucené hedvábí	0,75 - 0,85
	lněná příze mokropředená	0,65
	česaná příze bavlněná	0,5 - 0,6
	mykaná příze bavlněná	0,4 - 0,55
	bavlněný prást	0,1
Ostatní textilie	bavlněný pramen	0,03
	tkanina	0,15 - 0,30
	pletenina	0,10 - 0,20
	vata <sup>x)</sup>	0,02 - 0,04
Netextilní materiály	kožešina <sup>x)</sup>	0,005 - 0,02
	kamenina <sup>x)</sup>	0,20 - 0,23
	dřevo <sup>x)</sup>	0,30 - 0,70
	useň <sup>x)</sup>	0,33 - 0,66

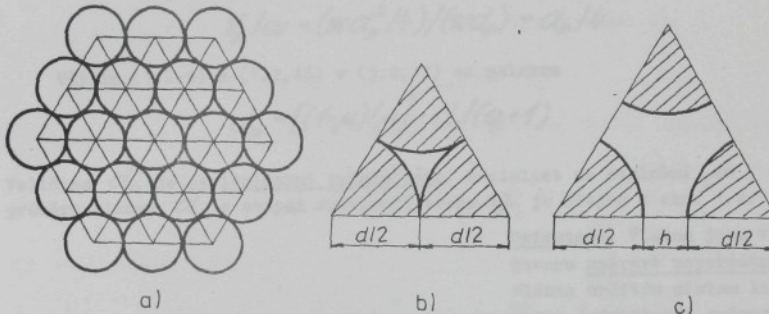
Pro ideální případ svazku paralelních, válcových vláken lze stanovit některé hraniční hodnoty. Nejtěsnější možné uspořádání (plástové) je znázorněno v příčném řezu na obr. 1.1.a).

Opakující se strukturní jednotkou je rovnostranný trojúhelník na obr. 1.1.b), jehož zaplnění je

$$\mu_{\text{lim}} = P/P_c = \left( \frac{1}{2} \frac{\pi d^2}{4} \right) / (\cos 30^\circ \cdot d^2/2) = \pi / (2\sqrt{3}) \approx 0,907 \quad (1.2.14)$$

<sup>x)</sup> B. Piller a kol. / 91 /, / 92 /.

Tato hodnota je největším možným - limitním zaplněním, jehož hodnotu odvodila řada autorů, např. P.S.Gracie /21/, K.I. Korickij /52/, J. Marko a B. Neckář /57/ a další.



obr. 1.1

Jestliže mezi sousedními vlákny je vzdálenost  $h > 0$  - obr. 1.1.c) - platí pro zaplnění

$$\mu = P/P_0 = \left(\frac{1}{2} \frac{\pi d^2}{4}\right) / [\cos 30^\circ \cdot (d+h)^2/2] = [\pi/(2\sqrt{3})] / \left(1 + \frac{h}{d}\right)^2 \quad (1.2.15)$$

Je-li  $h > d$  ( $\mu < 0,227$ ), může mezi každými dvěma sousedními vlákny volně procházet další vlátko. Vlákenné úseky mají možnost samostatného pohybu, struktura je volná. Pro  $h < d/2$  ( $\mu > 0,403$ ) by při uvažovaném pohybu muselo dojít k odsunutí „přesily“ nejméně dvou znázorněných vláken; pohyb vláken je možný jen ve shlucích, svazcích, struktura je kompaktní. V oblasti mezi  $h=d$  a  $h=d/2$  teoreticky postačí odsunout jen jedno vlátko. V této přechodové struktuře dochází k pohybu samostatných úseků i svazků. Vzniklé rozdělení, uvedené poprvé v /77/ je v tab. 1.5.

Charakter struktury podle zaplnění

Tab. 1.5

$h$	$\mu$	Charakter struktury
$h = 0$	$\mu = 0,907$	limitní
$h < d/2$	$\mu > 0,403$	kompaktní
$h \in (d/2; d)$	$\mu \in (0,227; 0,403)$	přechodová
$h > d$	$\mu < 0,227$	volná

Poresita. Veličina  $(1-\mu)$  vyjadřuje podíl celkového objemu vyplňený vzduchovými pory. G. Krautner /104/, W. Žurek /119/, B. Piller a kol. /91/, /92/ ji nazývají „podílem pórů“, „pórovitostí“ či poresitou. Velikost vzduchových pórů lze vyjádřit ze zobecněné úvahy autora, popsané v /73/. V hmotnostní jednotce útvaru je objem vláken  $V = 1/\rho$ . Objem  $V_p$  pórů v ní je užitím (1.2.11)

$$V_p = V(1-\mu) = V \cdot (1-\mu)/\mu = (1-\mu)/(g\mu) \quad (1.2.16)$$

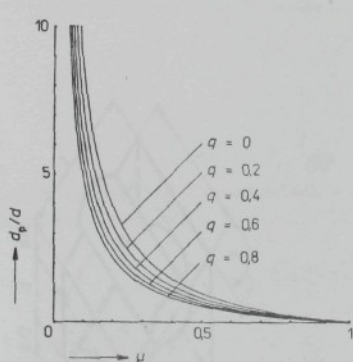
Povrch pórů  $\alpha_p$  je shodný s povrchem vláken a je vyjádřen rovnicií (1.2.5). V idealizované představě pórů jako válce s průměrem  $d_p$  platí relace mezi objemem a povrchem

$$V_p/\alpha = (\pi d_p^2/4)/(\pi d_p) = d_p/4 \quad (1.2.17)$$

Užitím (1.2.5) a (1.2.16) v (1.2.17) se nalezne

$$d_p = [(1-\mu)/\mu] \cdot d/(g+1) \quad (1.2.18)$$

Veličina  $d_p$  je ekvivalentní průměr pórů. Závislost na zaplnění  $\mu$ , ekvivalentním průměru vláken  $d$  a stupni rozvinutí tvaru  $g$  je zřejmá z obr. 1.2.



obr. 1.2

nické tření a mezimolekulární fyzikální síly způsobí adhezi styčných povrchů, někdy ještě posílenou adhezivem (pojivem).

Hustota kontaktů mezi vlákny je výsledkem vlastností vláken a vlastnosti vytvořené struktury, především její orientace, zaplnění a jemnosti. Základní analýzu

Orientace. Vlákna jsou ve vlákenném útvaru směrově uspořádána. Průchod vláknem určitým místem lez charakterizovat jednotkovým směrovým vektorem, který v pravoúhlém kartézském souřadním systému svírá s osami souřadnic směrové úhly  $\alpha$ ,  $\beta$ ,  $\gamma$ , přičemž  $\cos^2 \alpha + \cos^2 \beta + \cos^2 \gamma = 1$  (takže jen dva směrové úhly, např.  $\alpha$  a  $\beta$ , jsou vzájemně nezávislé).

V celém útvaru nebo v jeho části se vyskytuje mnoho úseků vláken různých směrů. (Definice směru ovšem závisí na tom, jaký „druh“ orientace se uvažuje.) Rozložení pravděpodobnosti výskytu je popsáno frekvenční funkcí orientace  $f(\alpha, \beta)$ .

Souhrnně je možno hustotu a směrové uspořádání znázornit vektorovým polem, kde délky vektorů odpovídají zaplněním a směry vyjadřují orientaci.

Kontakty. Jednotlivá vlákna útvaru jsou ve vzájemné interakci, vzájemně se dotýkají. V místě dotyku vzniká kontakt, schopný přenosu sil a energií.

Charakter kontaktů závisí na řádě okolností. Uplatňuje se v něm mecha-

provedl C.M. van Wyk / 117 /. Obecnější řešení navrhli např. T. Komori a K. Makishima / 50 /. Zavádí se idealizovaný vlákený útvar celkového objemu  $V_c$ , který obsahuje  $N$  rovných, válcových vláken s průměrem  $d$  a délou  $\ell$ . Vlákná  $B$  se směrovými úhly  $\alpha_B$ ,  $\beta_B$  se dotkne vlákna  $A$  s úhly  $\alpha_A$ ,  $\beta_A$ . Osa vlákna  $B$  leží "nad" (nebo "pod") vláknom  $A$  viz obr. 1.3 - ve vzdálenosti  $d/2$ . Tím je kolem vlákna definován znázorněný kosý hranol s objemem

$$V_{AB} = 2d\ell^2 \cdot |\sin \chi| \quad (1.2.19)$$

kde pro úhel  $\chi$  plyne ze skalárního součinu jednotkových směrových vektorů vláken

$$\cos \chi = \cos \alpha_B \cos \alpha_A + \cos \beta_B \cos \beta_A + \sqrt{1 - \cos^2 \alpha_B - \cos^2 \beta_B} \cdot \sqrt{1 - \cos^2 \alpha_A - \cos^2 \beta_A} \quad (1.2.20)$$

Předpokládá se, že ke kontaktu obou vláken dojde s pravděpodobností

$$P = V_{AB} / V_c = 2d\ell^2 |\sin \chi| / V_c \quad (1.2.21)$$

Je-li frekvenční funkce orientace  $f(\alpha, \beta)$ , je počet  $n$  všech kontaktů v útvaru

$$n = \frac{N^2}{2} \iiint_{\Omega} P f\left(\frac{\alpha}{2}, \frac{\beta}{2}\right) f\left(\frac{\alpha_A}{2}, \frac{\beta_A}{2}\right) d\alpha_B d\beta_B d\alpha_A d\beta_A = \frac{N^2 d \ell^2}{V_c} \cdot I \quad (1.2.22)$$

kde  $\Omega$  značí oblast integrace a zavedená veličina

$$I = \iiint_{\Omega} |\sin \chi| f\left(\frac{\alpha}{2}, \frac{\beta}{2}\right) f\left(\frac{\alpha_A}{2}, \frac{\beta_A}{2}\right) d\alpha_B d\beta_B d\alpha_A d\beta_A \quad (1.2.23)$$

(Násobení 1/2 v rovnici (1.2.22) je nezbytné, neboť kontakt vlákna A s vláknem B a kontakt vlákna B s vláknenem A je fyzicky tentýž.)

Pro úpravu výrazů je vhodné využít zaplnění uvažovaného útvaru. Ve shodě s definicí (1.2.11)

$$\mu = V/V_c = (N \pi d^3) / (4V_c) \quad (1.2.24)$$

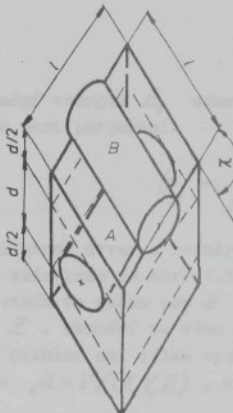
Hustota kontaktů  $\nu$  vyjádřená jejich počtem v objemové jednotce je z rovnic (1.2.22) a (1.2.24)

$$\nu = n/V_c = [16I/(8\pi d^3)]d^2 = k_v \cdot \mu^2 \quad (1.2.25)$$

Souhrnná konstanta  $k_v$  zahrnuje vliv jemnosti a orientace vláken.

Střední vzdálenost kontaktů  $\delta$  na vlákně je poměrem souhrnné délky  $N\ell$  všech vláken a dvojnásobku počtu  $n$  kontaktů (jeden kontakt je na vlákně A i na vlákně B).

$$\delta = N\ell / (2n) = [\pi d / (8I)] / \mu = k_g / \mu \quad (1.2.26)$$



obr. 1.3

Tato konstanta  $k_F$  shrnuje vliv jemnosti a orientace.

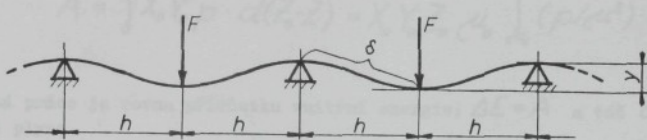
Deformační sítě. Stlačení vláknového materiálu je výsledkem řady složitých deformačních dějů. Jeho zákonitosti řešili M. a J. Eggert /17/, C.M. van Wyk /17/, H. Sommer /104/, P.D. Baljasov /3/, který připomíná práci P.V. Bajžuka /2/ a jiní. Podle studie C.M. van Wyka /17/ je patrně nejjednodušší složkou stlačování ohybová deformace vláken, vznikající působením sil v místech mezivláknových kontaktů.

V technické mechanice je běžně odvozován (viz např. /39/) vztah mezi působící silou  $F$  a deformací  $\gamma$  nekonečného nosníku, na němž jsou pravidelně ve vzdálenostech  $h$  rozloženy akční a reakční síly - obr. 1.4. Za řady předpokladů bylo pro takový nosník teoreticky stanoveno

$$F = k_F \cdot \gamma / h^3 \quad (1.2.27)$$

$$\delta = h \cdot f(\gamma/h) \quad (1.2.28)$$

kde veličina  $k_F$  a funkce  $f$  jsou závislé na modulu pružnosti a průřezu nosníku.



obr. 1.4

Deformační energie  $E_\delta$  soustředěná v délce  $\delta$  nosníku je polovinou energie obsažené v úseku mezi podporami.

$$E_\delta = \int F dy / 2 = k_F \gamma^2 / (4h^3) \quad (1.2.29)$$

Vláknový útvar o rozměrech  $X_o$ ,  $Y_o$ ,  $Z_o$  s jedním vyznačeným idealisovaným vlákem je znázorněn na obr. 1.5.a). Příslušné veličiny jsou označeny indexem  $O$ . Dalším stlačováním ve směru osy  $Z$  přejde útvar do formy dle obr. 1.5.b), s rozměry  $X_o$ ,  $Y_o$ ,  $Z$ . Nezmění se však objem  $V$  vláken v útvaru a lze předpokládat, že se podstatně nezmění ani délka vyznačeného vlákna. Zaplnění  $\mu = V/(X_o Y_o Z_o)$  se změní na hodnotu  $\mu = V/(X_o Y_o Z)$ , takže

$$\mu_o / \mu = Z / Z_o; \quad \mu_o Z_o \cdot d\mu / \mu^2 = dZ \quad (1.2.30)$$

S růstem zaplnění se podle (1.2.26) zkracuje vzdálenost mezi kontakty. Celková neproměnná délka vyznačeného vlákna je v prvním případě  $(X_o / h_o) \cdot \delta_o$ , ve druhém případě  $(X_o / h) \cdot \delta$ .

Odtud plyně

$$h/h_0 = \delta/\delta_0 \quad (1.2.31)$$

Předpokládá-li se, že se vlákno řídí rovnicí (1.2.28), potom užitím (1.2.31) a (1.2.26)

$$y/y_0 = h/h_0 = \delta/\delta_0 = \mu_0/\mu \quad (1.2.32)$$

Objem vláknenného segmentu délky  $\delta$  je  $(\pi d^2/4) \cdot \delta$ . Neproměnný objem  $V$  všech vláken je  $X_0 Y_0 Z_0 \cdot \mu_0$ . Počet  $m$  segmentů vláken délky  $\delta$  v útvaru je za užití (1.2.26)

$$m = 4V/(\pi d^2 \delta) = (4X_0 Y_0 Z_0 \mu_0 \mu) / (\pi d^2 \delta) \quad (1.2.33)$$

Platí-li pro uvažovaná vlákna energetický výraz (1.2.29), je celková energie útvaru  $E = E_s \cdot m$ , což užitím výrazů (1.2.31) až (1.2.33) vede na tvar

$$E = [\frac{k_f X_0 Y_0 Z_0 y_0^2}{(\pi d^2 k_\delta \delta)}] \cdot \mu^2 \quad (1.2.34)$$

Přírůstek  $\Delta E$  energie z počátečního stavu (index 0) do koncového stavu je

$$\Delta E = [\frac{k_f X_0 Y_0 Z_0 y_0^2}{(\pi d^2 k_\delta \delta)}] \cdot (\mu^2 - \mu_0^2) \quad (1.2.35)$$

Jestliže bylo stlačování uskutečněno tlakem  $p$  působícím na ploše  $X_0 Y_0$  po dráze  $Z_0 - Z$  potom vykonaná práce  $A$  byla při užití (1.2.30)

$$A = \int_{Z_0}^Z X_0 Y_0 p \cdot d(Z_0 - Z) = X_0 Y_0 Z_0 \mu_0 \int_{\mu_0}^{\mu} (p/\mu^2) \cdot d\mu \quad (1.2.36)$$

Dodaná práce je rovna přírůstku vnitřní energie;  $\Delta E = A$  a též  $d(\Delta E)/d\mu = dA/d\mu$   
Odtud plyně

$$p = k_p \cdot \mu^3 \quad (1.2.37)$$

kde

$$k_p = 2k_f y_0^2 / (\pi d^2 k_\delta \delta^3 \mu_0) \quad (1.2.38)$$

je souhrnná konstanta, charakterizující vliv hmoty, tvaru a uspořádání vláken.

V počátečním, ve skutečnosti nezatíženém stavu, kdy  $\mu = \mu_0$  vyjde výpočtem tlak  $p = k_p \cdot \mu_0^3$  různý od 0. Tento nepatrny tlak zřejmě ve struktuře útvaru existuje, je však zachycen vnitřními pasivními odpory.

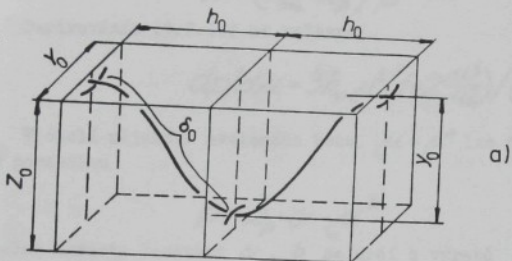
Výraz (1.2.37) je shodný s výsledkem práce C.M. van Wyka /117/. Popsané odvození je však provedeno novým způsobem. Postup užity van Wykem totiž obsahuje některé nepřesnosti. Platnost rovnice (1.2.37) byla mnohokrát experimentálně potvrzena různými autory pro řadu materiálů v oblasti nižších hodnot zaplnění. Je však omezena užitými zjednodušujícími předpoklady.

Zobecněné pojetí autora disertace vychází ze skutečnosti, že vzdálenost kontaktů na vláknach textilního útvaru je náhodná veličina a užité  $\delta$  je jen její střední hodnotou. I v málo zaplněném útvaru existuje podíl velmi krátkých vzdáleností mezi kontakty. V některé oblasti se mohou vlákna navzájem „dorazit“, např. dle obr. 1.5 c) tak, že toto místo se dalším stlačováním již nemění. Uvažované místo má trvale své mezni zaplnění  $\mu_m$ . Podobné lokality se na procesu stlačování již nepodílí, a proto by měly být vyloučeny z úvah, které vedly k rovnici (1.2.37).

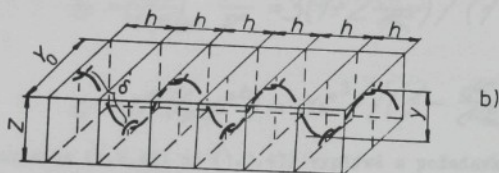
Nestlačitelný objem vláken se vlastně vyskytuje v každém dotyku mezi vlákny a jeho velikost v jednom kontaktu je možno uvažovat úměrnou zaplnění. Nestlačitelný objem vláken  $V$  v celkovém objemu  $\mu$  útvaru je pak užitím (1.2.25)

$$V = K V_c \mu^3 = K V_c k_v \mu^3 \quad (1.2.39)$$

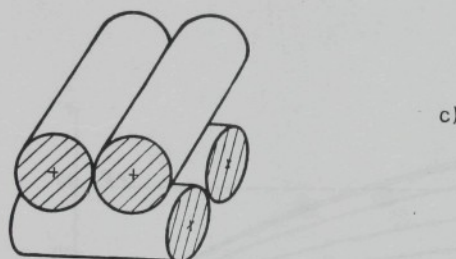
kde  $K$  značí konstantu úměrnosti.



a)



b)



obr. 1.5

správnější vyjádřit závislost rovnici  $P = k_p V^3 / (V_c - V_c)$ . Pro výraz

$$P = k_p \mu^3 / (1 - \mu^3 / \mu_m^3)^3 \quad (1.2.43)$$

Rovnice (1.2.43) je pro malá  $\mu$  prakticky shodná s výrazem (1.2.37). Pro  $\mu \rightarrow \mu_m$  však  $P \rightarrow \infty$ , což je ve shodě s praktickým pozorováním.

Funkce (1.2.43) je ve vztahu k  $\mu^3$  kubickou rovnici s jedním reálným kořenem, pro nějž plyne z Cardanových vzorců

Je-li útvar stlačen na mezní zaplnění, je v uvažovaných lokalitách soustředěn veškerý objem  $V$  vláken. ( Celkový objem je nyní  $V_{c,m}$  . ) Z (1.2.39) pak  $V = K \cdot V_{c,m} / k_v \mu_m^3$ , takže

$$K = V / (V_{c,m} k_v \mu_m^3) = 1 / (k_v \mu_m^2) \quad (1.2.40)$$

Z těchto vztahů plyne

$$V = V_c \mu^2 / \mu_m^2 \quad (1.2.41)$$

Celkový objem uvažovaných lokalit je

$$V_c = V_c \mu^3 = V_c \mu^2 / \mu_m^3 = V_c \cdot \mu^3 / \mu_m^3 \quad (1.2.42)$$

Protože objem  $V$  veškerých vláken se stlačováním nemění, je možno rovnici (1.2.37) pojímat ve formě  $P = k_p \cdot V^3 / V_c^3$  jako závislost tlaku na celkovém objemu  $V_c$  útvaru. Původně se předpokládalo, že se stlačuje každá částice tohoto objemu. Nyní však je zřejmé, že stlačovat lze pouze jeho část  $V_c - V_c$ ; objem  $V_c$  je dále nestlačitelný. Proto je užitím (1.2.42) pak vznik-

$$\frac{d\mu}{d\mu_m} = \left\{ 1 + \left[ \sqrt{\left(\frac{\mu}{3}\right)^3 + \left(\frac{\mu}{2}\right)^2} - \frac{\mu}{2} \right]^{1/3} - \left[ \sqrt{\left(\frac{\mu}{3}\right)^3 + \left(\frac{\mu}{2}\right)^2} + \frac{\mu}{2} \right]^{1/3} \right\}^{1/3} \quad (1.2.43a)$$

kde

$$\mu = \mu_m^3 k_p / p \quad (1.2.43b)$$

Derivováním (1.2.43) se nalezne

$$dp/d\mu = 3k_p \mu^2 \left( 1 + 2 \frac{\mu^3}{\mu_m^3} \right) / \left( 1 - \frac{\mu^3}{\mu_m^3} \right)^4 \quad (1.2.44)$$

V okolí nějakého zvoleného bodu  $\mu = \mu^*$  lze funkci (1.2.43) dobře nahradit obecnou parabolou

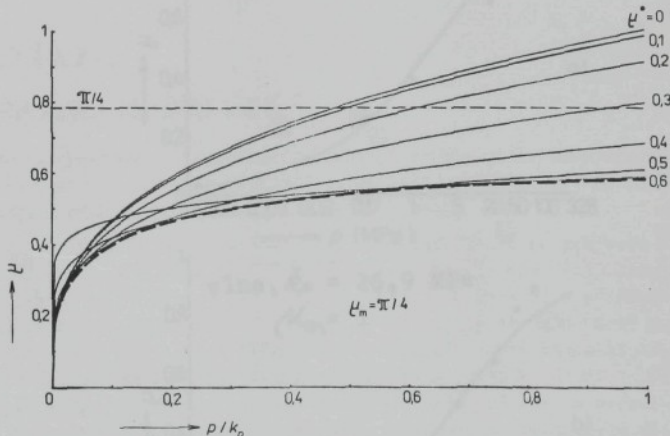
$$p = k_p \cdot c \cdot \mu^b \quad (1.2.45)$$

číselné hodnoty konstant  $c$ ,  $b$  se určí z výrazů

$$b = \left( \frac{dp}{d\mu} \right)_{\mu^*} \cdot \frac{\mu^*}{p^*} = 3 \left( 1 + 2 \frac{\mu^*}{\mu_m^3} \right) / \left( 1 - \frac{\mu^*}{\mu_m^3} \right)^3 \quad (1.2.46)$$

$$c = p^* / (k_p \mu^{* b}) = \mu^{* 3} / \left[ \left( 1 - \frac{\mu^*}{\mu_m^3} \right)^3 \cdot \mu^{* b} \right] \quad (1.2.47)$$

Aproximace (1.2.45) až (1.2.47) vyplývá z požadavku ekvivalence funkce a její 1. derivace v bodě  $\mu = \mu^*$  a je užitečná v teorii průměrů přízí. Graficky jsou výrazy (1.2.37), (1.2.43) a approximace (1.2.45) pro případ  $\mu_m = \pi/4$  znázorněny na obr. 1.6.



--- rovnice (1.2.43)

— approximace ze vztahů (1.2.45) až (1.2.47).  
Pro  $\mu^* = 0$  totožno s (1.2.37)

obr. 1.6

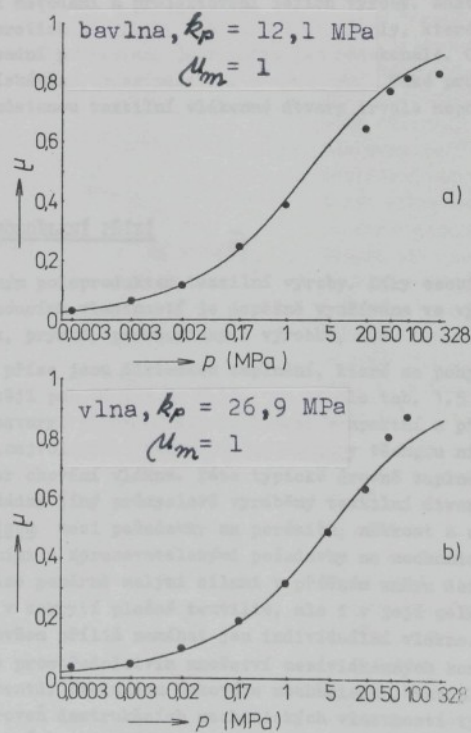
Příklady hodnot  $b$ ,  $c$  approximační paraboly (1.2.45), stanovené z (1.2.46) a (1.2.47), jsou uvedeny v tabulce 1.6.

Hodnoty  $b$ ,  $c$  approximační paraboly

Tab. 1.6

$\mu^*$	$\mu_m = \pi/4 = 0,785$		$\mu_m = 0,8$		$\mu_m = \pi/(2\sqrt{3}) = 0,907$		$\mu_m = 1$	
	$b$	$c$	$b$	$c$	$b$	$c$	$b$	$c$
0	3	1	3	1	3	1	3	1
0,1	3,019	1,050	3,018	1,046	3,012	1,032	3,009	1,024
0,2	3,151	1,341	3,143	1,319	3,098	1,209	3,073	1,151
0,3	3,531	2,251	3,501	2,151	3,338	1,678	3,250	1,466
0,4	4,370	5,367	4,286	4,846	3,845	2,838	3,615	2,143
0,5	6,130	21,42	5,907	17,36	4,812	6,087	4,286	3,639
0,6	10,24	237,4	9,568	148,2	6,669	18,17	5,480	7,365
0,7	24,82	96341	21,27	18777	10,66	97,57	7,699	18,84
0,8	-	-	-	-	22,70	2632	12,44	70,766
0,9	-	-	-	-	391,3	$5,06 \cdot 10^{22}$	27,210	644,0

Vhodnost výrazu (1.2.43) je dokumentována dobrou shodou s experimenty F. D. Baljasova [3]. Závislost mezi tlakem a zaplněním pro svazek bavlněných a vlněných vláken, uspořádaný přibližně paralelně, je znázorněna na obr. 1.7 a), b).



obr. 1.7

### 1.2.3. VLÁKNA A VLÁKENNÉ ÚTVARY V PŘÍRODĚ A SPOLEČNOSTI

Vlákenné útvary jsou patrně nejčastějším typem rostlinných a živočišných tkání. Vydaly se za miliony let přirozeným výběrem v přírodě, vznikají poměrně pomalým, postupným, avšak tím dokonalejším růstem. Přírodní vlákenné tkáně mají mnoho užitečných vlastností. Jsou houževnaté, pružné a ohebné, dobře odolávají mechanismu namáhání, bývají porézní a měkké na omak atd. Velmi účelně využívají vlastnosti hmoty, z nichž jsou vytvořeny. Mnohé z nich, např. dřevo, kůže, kožešiny, stonky rostlin a jejich části a četné další, používal člověk od pradávna pro své potřeby. Postupně začal též nové vlákenné útvary připravovat vlastní prací, vyrábět je z přírodních vláken. (Je doloženo archeologickými nálezy, že princip předení a tkání byl znám již v době kamenné. V. Hladík / 38 / v této souvislosti správně poznámenává, že se "... dodnes na těchto principech téměř nic nezměnilo".) Vznikla textilní výroba. Původně sloužila též výhradně ke zhotovování oděvních textilií a oděvů, postupně však nalézaly její výrobky uplatnění i jako bytové a technické textilie. Kvalitativní zvrat nastal zavedením průmyslové výroby chemických vláken od počátku tohoto století. Vznikl zdroj nových objemů vlákenné suroviny, ale vznikla i možnost výroby textilií nových vlastností.

K tomu přispěl i značný pokrok v technických vědách (strojírenství, elektrotechnice, inženýrské chemii) a vědách přírodních. Neobvyčejně se rozšířily možnosti výroby různých variant textilií, vznikly nové principy (netkané textilie, pletotkaniny, triaxiální tkaniny, tvarované hedvábí, aj.), byly nalezeny nové oblasti uplatnění (geotextilie, syntetické usně, speciální zdravotnické textilie, apod.).

Vznikl problém optimálního výběru textilie pro dané užití, jenž znamenal kvalitativní zvrat v tradici textilního myšlení. Vedl k rozvoji ideje cílevědomého konstruování textilií exaktními metodami a projektování jejich výroby. Nástroje k této činnosti, především ovřené teoretické poznatky a matematické modely, které mají dle A.G. Sevostjanova / 100 / často výsadní postavení, jsou zatím jen nedokonalé. O to více úsilí je třeba vynaložit k jejich získávání, zdokonalování a využívání. Také proto, že pro materiální kulturu společnosti zůstanou textilní vlákenné útvary trvale nepostradatelnými.

### 1.3. PŘÍZE

#### 1.3.1. CHARAKTER A ROZDĚLENÍ PŘÍZÍ

Příze je významným poloproduktem textilní výroby. Díky osobitým zvláštnostem své struktury a z ní plynoucích vlastností je úspěšně využívána ve výrobě tkanin, pletenin i pletotkanin, stužek, prýmeků, provaznických výrobků, atd.

Mnohá specifika příze jsou důsledkem zaplnění, které se pohybuje v rozmezí asi od 0,35 do 0,65, nejčastěji pak od 0,4 do 0,55. To je dle tab. 1.5 oblast nízko zaplněně kompaktní struktury, případně rozhraní mezi kompaktní a přechodovou strukturou. Příze je typem „nejvolnější“ struktury ze skupiny těch, u nichž je potlačen individuální charakter chování vlákna. Této typické úrovně zaplnění nedosahuje v současnosti téměř žádný jiný průmyslově vyráběný textilní útvar. Příze je útvar s optimálním kompromisem mezi požadavky na porézitu, měkkost a objemnost na jedné straně a trvanlivostními a zpracovatelskými požadavky na mechanické vlastnosti na straně druhé. Příze lze poměrně malými silami v příčném směru deformovat, což se přízivně projevuje nejen v zakrytí plošné textilie, ale i v její celkové přijemné měkkosti. Vnější síly nemohou ovšem příliš namáhat jen individuální vlákno. V kompatní struktuře se silové reakce prostřednictvím množství mezivlákenných kontaktů rozloží do mnoha vlákenných segmentů. Produktem takového mechanismu „Svatoplukových prutů“ je obvykle úspokojivá úroveň destrukčních mechanických vlastností typu pevnosti apod. Ekvivalentní průměr pór je v přízích řádově souměřitelný s ekvivalentním

průměrem vláken. Zajišťuje při hydrofilním povrchu vlákna významně velký efekt transportu vody, často tak důležitý pro fyziologicky dobré pocity při nošení. Značná porozita příze současně umožňuje dosahovat nutné úrovně tepelně izolačních vlastností textilií.

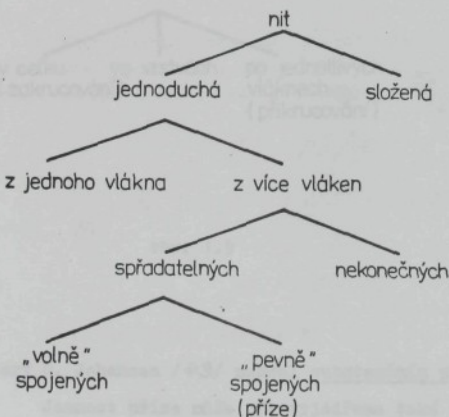
V povrchové oblasti příze je nízké zaplnění, odpovídající volné struktuře. Možný individuální pohyb jednotlivých vláknových segmentů se zde projeví v příjemném omaku, ale také ve vytvoření povrchové „ochranné sféry“, která do určité míry chrání nosné vnitřní části příze před narušením oděrem.

Příznivá je též orientace vláken v přízi. Převažující podélné uspořádání vytváří předpoklad k dobrému využití většiny vláken. Šroubovicový trend vláken, typický pro kroucenou příze, vede k vytvoření samosvorné struktury, která třecími silami stěnuje vlákna do jednotného celku.

Z nástinu některých souvislostí je tedy zřejmé, že příze je pro svá specifika ve výrobě textilií nezastupitelnou a bude i v budoucnosti významnou součástí textilních výrobků. Názor G.J. Pikovského / 88 /, podle něhož bude v budoucnu vyráběn jen malý objem přízí pro „milovníky starožitnosti“, je patrně příliš pesimistický.

Rozdělení přízí. Český pojem příze označuje dle ČSN / 123 / „délkovou textilii složenou ze spřádatelných vláken, zpevněnou zákrutem nebo pojéním tak, že při přetruhu příze dochází i k přetruhu jednotlivých vláken“. Obecnějším pojmem je nit. Typy nití lze charakterizovat schématem na obr. 1.8.

V jednoduché niti tvoří vlákna dohromady jeden nedílný celek. Ve stavbě složené nitě lze naproti tomu rozènat jednotlivé dílčí komponenty – jednoduší nitě (nitě skané, obtácené, sduzené, aj.). Za jednoduchou nit je možno považovat i jen jediné vlákno (monofil, pásek). Obvykle však tvoří jednoduchou nit více vláken nekonečných (hladké a tvarované hedvábí) nebo spřádatelných. Spřádatelná vlákna musí být vzájemně propojena. Při „volném“ propojení se obvykle uplatňuje přirozená soudržnost, někdy podpořená malým zákrutem (přasty). Při destrukci útvaru se však vlákna neporušují. Naopak při „pevném“ spojení je destrukce nitě vždy provázena porušením (přetržením) významného podílu vláken. Takové útvary jsou příze ve smyslu normy / 123 /. K jejich dalšímu rozdělení je možno navrhnut schéma dle obr. 1.9.



obr. 1.8

Vlákna v přízi mohou být spojena adhezivem (lepené příze, Bobtex) či třecími silami vzájemného provázání, kterých se nejčastěji dosahuje charakteristický šroubovicový trendem uspořádání v kroucených přízích. Existuje střídavé kroucení, dosahované většinou technikou nepravého zákrutu (komponenty samoskaných nití, např. Repco), lze si představit obousměrné kroucení, kdy by některá vlákna měla pravotočivý a jiná levotočivý směr

zákrutu, nejrozšířenější však je monotónní kroucení. Tradiční technologie zakrucují pravým zákrutem svazek vláken vcelku (selfaktorové, prstencové, dnešní rotorové příze). Jindy mohou být jednotlivé soustředné vrstvy vlákenného materiálu krouceny v různé míře (některé typy pneumatického předení), či postupně přikrucovaná i jen jednotlivá vlákna (přibližně technologie Dref I a II).

Uvedené typy mohou být i různě kombinovány.

### 1.3.2. ZÁKLADNÍ VELIČINY POPISUJÍCÍ PŘÍZI

K základním vlastnostem materiálu tvořícího přízi náležejí měrná hmotnost  $\varrho$  a jemnost  $t$  vláken. V případě vícekomponentní příze jsou střední měrná hmotnost a střední jemnost určeny výrazy (1.2.7) a (1.2.9). Dále se vztahy (1.2.1) a (1.2.3) zavádí plocha  $S$  příčného řezu a ekvivalentní průměr  $D_s$  vláken.

K veličinám popisujícím příze patří jemnost  $T$  příze, zákrut  $Z$  příze a protože příze svým tvarem poněkud připomíná válec, také průměr  $D$  příze.

Jemnost příze. Jemnost  $T$  se vyjadřuje lineární hmotností a závisí nejen na objemu vlákenné hmoty v jednotce délky, ale též na měrné hmotnosti  $\varrho$  materiálu. K posuzování geometrických vlastností není proto veličinou nevhodnější.

Analogicky k výrazu (1.2.1) se zavádí pro přízi vztah

$$T = S\varrho \quad (1.3.1)$$

kde  $S$  je souhrnná plocha vláken v příčném řezu příze, nebo také objem vláken, připadající na jednotku délky příze. Veličinu  $S$  nazval již O. Johansen /43/ substančním průřezem příze. Pro geometrické posuzování přízí je vhodnější.

Pokud by vlákna byla stlačena do homogenního válce, měla by příze průměr

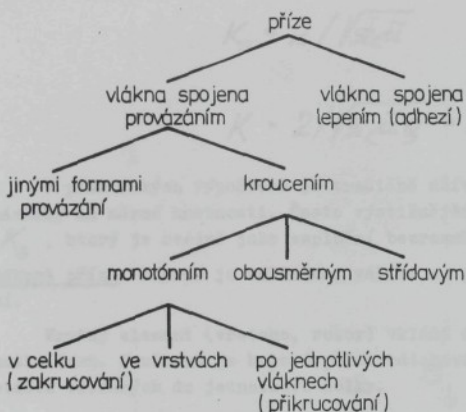
$$D_s = \sqrt{4S/\pi} = \sqrt{4T/(\pi\varrho)} \quad (1.3.2)$$

který O. Johansen /43/ nazval substančním průměrem.

Jemnost příze může být vyjádřena také ve vztahu k jemnosti užitých vláken. Výraz

$$\tau = T/t = S/d = (D_s/d)^2 \quad (1.3.3)$$

je potom poměrnou jemností, což je bezrozměrná veličina. Prakticky se poměrná jemnost užívá ve smyslu počtu vláken v příčném řezu příze. Jedná se však jen o přibližnou approximaci; podrobněji viz kap. 1.3.5.



obr. 1.9

Průměr příze. Mezi vlákny skutečné příze se vyskytují vzduchové mezery, hustota stěsnání vláken není rovnoměrná a na povrchu přechází spojité do oblasti chlupatosti. Proto neexistuje jednotná a jednoznačná definice průměru  $D_p$  příze. Různí autoři jej zavádí v souvislosti s užívanou experimentální metodou, či jako pojem teoretický. Obvykle se vychází z průměru nejménšího myšleného válce, v němž je soustředěna buď veškerá hmota příze, nebo alespoň její podstatná část.

Mezi průměrem  $D_p$  příze a substančním průměrem  $D_s$  platí ve všech praktických případech relace  $D > D_s$ . Poměr  $D_s/D_p$  je bezrozměrnou veličinou. Obvykle se používá jeho druhá mocnina, tj. za užití (1.3.2)

$$\tilde{\mu} = D_s^2/D^2 = 4S/(\pi D^2) = 4T/(\pi D^2 \varrho) \quad (1.3.4)$$

Veličina  $\tilde{\mu}$  je střední zaplnění příze, neboť podle obecné definice (1.2.12) se jedná o poměr plochy  $S$  vláken k celkové ploše  $\pi D^2/4$  příčného řezu příze.

Vztah (1.3.4) se často vyskytuje ve formě

$$D = K_s \sqrt{S} = K \sqrt{T} \quad (1.3.5)$$

kde

$$K_s = 2/\sqrt{\pi \tilde{\mu}} \quad (1.3.6)$$

$$K = 2/\sqrt{\pi \tilde{\mu} \varrho} = K_s / \sqrt{\varrho} \quad (1.3.7)$$

V praktických výpočtech je tradičně užíván součinitel průměru  $K$ , jenž však je závislý na měrné hmotnosti. Často výstižnější je užívání plošného součinitele průměru  $K_s$ , který je stejně jako zaplnění bezrozměrnou veličinou.

Zákrut příze. Zákrut je veličina, vážící se pouze ke skupině monotónně kroucených přízí.

Krutný element (vřeteno, rotor) vkládá do vláknenného materiálu  $N$  otáček za jednotku času. Současně je hotová příze odtažována rychlosí  $\omega$ . Zákrut  $Z$  je počet otáček vložených do jednotkové délky.

$$Z = N/\omega \quad (1.3.8)$$

Součin  $DZ$  průměru a zákrutu příze je bezrozměrná veličina, častěji užívaná ve tvaru

$$\alpha_e = \pi DZ \quad (1.3.9)$$

Je to intenzita zákrutu  $\alpha_e$ .

Další bezrozměrná veličina související se zákrutem je dle (1.3.4) a (1.3.9)

$$\alpha_s = Z \sqrt{S} = \alpha_e \sqrt{\tilde{\mu}} / \sqrt{4\pi} \quad (1.3.10)$$

kterou lze nazvat plošný Koechlinův zákrutový koeficient. V praktických výpočtech se ovšem tradičně <sup>x)</sup> užívá Koechlinův zákrutový koeficient  $\alpha$ , určený výrazem

<sup>x)</sup> B. Kolundžič /49/ uvádí: "Na přednášce v Société Industrielle v Milhouse 28. listopadu roku 1828 sdělil A. Koechlin svoji známou rovnici, s kterou se reguluje vztah počtu zákrutů a číslování (tj. jemnosti - pozn. aut.) příze ...".

$$\alpha = \alpha_s \sqrt{\varrho} = Z \sqrt{T} = \alpha \sqrt{\kappa \varrho} / \sqrt{4\pi} \quad (1.3.11)$$

Empirický zákrutový koeficient  $\alpha_s^*$  a zákrutový koeficient  $\alpha^*$ , definované vztahy

$$\alpha_s^* = Z S^2 \quad (1.3.12)$$

$$\alpha^* = \alpha_s^* \varrho^2 = Z T^2 \quad (1.3.13)$$

Veličina  $q$  je zákrutový kvocient; jeho hodnota byla v historii navrhována různě, jak pro bavlněné příze dokládá tab. 1.7.

Některé publikované hodnoty zákrutového kvocientu

Tab. 1.7

Zákrutový kvocient $q$	Autor	Rok	Pozn.
0,5	Koechlin	1828	1) 2)
0,6	Staub	1900	1) 2)
0,644	Johansen	1902	osnova 1) 2)
0,785	Laetsch	1905	osnova 1) 2)
0,720	Laetsch	1905	útek 1) 2)
0,577	Bissonnette	-	2)
0,565	Oeser	1937	1) 2)
0,47	Oeser	1940	2)
0,62-0,75	Laetsch	1941	1) 2)
0,666	Laetsch	1941	3)
0,666	Phrix	1942	2) 4) 5)
0,600	Neckář	1971	6)
0,577	Neckář	1971	6)
0,570	Salaba	1975	7)
0,551	Salaba	1975	7)
0,518	Salaba	1975	česana 7)
0,570	Salaba	1975	PES/ba 7)
0,589	Salaba	1980	ba/VSS 8)
0,589	Salaba	1980	ba/VSS 8)

1) Uvádí B. Kolundžič /49/

2) Uvádí K.H Banke /51/

3) Uvádí P.A. Koch a E. Wagner /47/

4) Uvádí J. Simon /102/

5) Uvádí ČSN /126/

6) viz lit. /67/

7) viz lit. /96/

8) Uvádí B. Neckář, A. Kovářová /77/

V československých normách, např. /126/ je prakticky zaveden zákrutový kvocient  $q = 2/3$  a příslušný (Phrixův) zákrutový koeficient je označován zvláštním symbolem  $\alpha_s$ . Phrixův zákrutový koeficient  $\alpha_s$  a Phrixův zákrutový koeficient jsou tedy

určeny výrazy

$$\alpha_s = Z S^{2/3} \quad (1.3.14)$$

$$\alpha = \alpha_s \varrho^{2/3} = Z T^{2/3} \quad (1.3.15)$$

Nezávislé veličiny. V souboru veličin uvedených v této kapitole je pouze 5 veličin vzájemně nezávislých. Jsou to např.  $\varrho$ ,  $t$  vláken a přízové veličiny  $T$ ,  $D$ ,  $Z$ . Místo posledních tří lze užít také trojici bezrozměrných veličin  $\tau$ ,  $\tilde{\mu}$ ,  $\alpha$ .

### 1.3.3. VZTAH MEZI JEMNOSTÍ, ZÁKRUTEM A PRŮMĚREM PŘÍZE

Mezi jemností, zákrutem a průměrem příze existuje vzájemné přiřazení, které bylo mnohokrát experimentálně prokázáno. Fyzikálně je zřejmé, že hrubší příze budou mít větší průměr než příze jemnější. Dále se zvyšujícím se zákrutem jsou vlákna více stlačována a průměr se zmenšuje. Problém přiřazení jemnosti  $T$ , zákrutu  $Z$  a průměru  $D$  je problémem stlačování vláknového materiálu, problémem vnitřní mechaniky příze.

1. hypotéza - Koechlinova. Z historického způsobu odvozování Koechlinova zákrutového koeficientu, např. v práci O. Johansena /43/, založeného na šroubovicovém modelu vláken v přízi vyplývá předpoklad, že zaplnění přízí stejné technologie a stejného materiálového složení je pouze funkcí intenzity zákrutu. Předpokládá se tedy, že platí

$$\tilde{\mu} = \tilde{\mu}(\alpha) \quad (1.3.16)$$

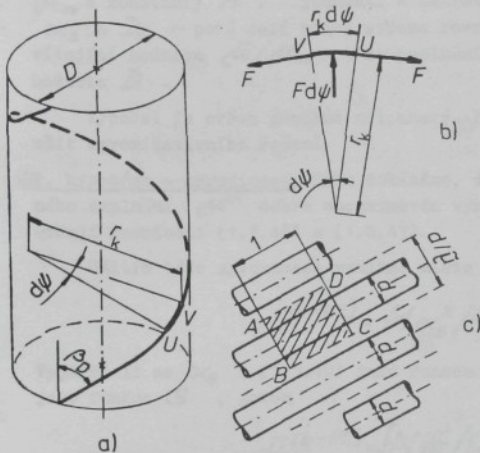
Potom ovšem jak součinitel průměru  $K$  či  $K_s$  - rovnice (1.3.6) a (1.3.7), tak i Koechlinův zákrutový koeficient  $\alpha$  či  $\alpha_s$  - rovnice (1.3.10) a (1.3.11), jsou pouze funkcí intenzity zákrutu  $\alpha$ .

Jinak řečeno, ke každému Koechlinovu zákrutovému koeficientu přísluší právě jedna hodnota intenzity zákrutu  $\alpha$  a zaplnění  $\tilde{\mu}$ , a právě jedna hodnota součinitele průměru  $K$ , resp.  $K_s$ . Podle téže úvahy je vhodné k jednomu účelu (např. osnovní příze, útkové příze) užívat stálé stejnou hodnotu intenzity zákrutu. Pak jsou veličiny  $\alpha$ ,  $\alpha_s$  a  $K$ ,  $K_s$  konstanty. Výraz (1.3.5) s konstantní hodnotou  $K$  je dodnes hojně užíván k rychlému orientačnímu výpočtu průměru. Koechlinův zákrutový koeficient  $\alpha$  je zakotven v současných normách řady zemí. Ukázalo se však, že úvahy založené na této hypotéze nejsou často dostatečně přesné, a proto byly navrhovány i různé jiné výrazy empirického charakteru.

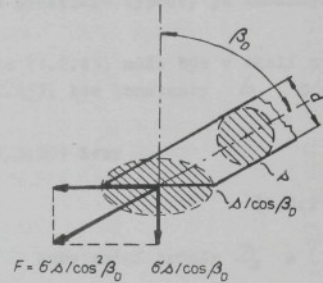
2. hypotéza - komprimáční. Jiné původní řešení zpracoval autor této práce /79/. Vychází z toho, že vlákna jsou v přízi stlačována dostřednými tlaky, vyvozenými zákrutem. Schema zjednodušené úvahy je na obr. 1.10.

Element UV idealizovaného šroubovicového vlákna na povrchu příze s průměrem  $D$  je odkloněn pod úhlem  $\beta_D$  od směru osy příze a zakřiven na poloměru křivosti  $\xi$  - obr. 1.10 a). Působí-li ve vlákně tahová síla  $F$ , působí element dostřednou silou  $F dy$  a dostředná síla vyvozená jednotkou délky vlákna je  $F dy / (\xi dy) = F / \xi$  - obr. 1.10 b). Mezi vlákny s průměrem  $d$ , která leží na průměru příze  $D$  jsou všakmezery, závislé na zaplnění  $\tilde{\mu}$  - obr. 1.10 c). Dostředná síla délkové jednotky vlákna připadá na plochu ABCD o velikosti  $1 d / \tilde{\mu}$ . Dostředný tlak  $p$  je dán výrazem

$$p = (F / \xi) / (d / \tilde{\mu}) = F \tilde{\mu} / (\xi d) \quad (1.3.17)$$



obr. 1.10



obr. 1.11

Na myšlený řez vlákna rovinou kolmou k ose příze působí tahové napětí  $\sigma$ . Protože plocha vlákkenného řezu je  $\beta/\cos\beta_D$ , působí na myšlený řez síla  $\sigma\beta/\cos\beta_D$  - obr. 1.11.

V ose vlákna je pak síla  $F = \sigma\beta/\cos^2\beta_D$ . Ve šroubovicovém modelu jsou známy výrazы  $\beta/\beta_0 = \pi D Z / \alpha$  a  $\beta_D = D / (2 \sin^2 \beta_D)$ . Jejich užití v (1.3.17) vede po úpravě na tvar

$$P = C \bar{\alpha} \alpha^2 / D \quad (1.3.18)$$

kde  $C = 2G_0/d$ . Připustí-li se, že v rámci jednoho materiálu a technologie je napětí  $\sigma$  a veličiny  $\beta$ ,  $d$  konstantní, je  $C$  konstanta. Obecněji lze do  $C$  zahrnout i neuvažované vlivy vnitřních vrstev vláken apod.

Ze vztahu (1.3.18) vyplývá větší tlak v přízích jemnějších (menší  $D$ ) a více zakroucených (větší  $\alpha$ ), na nějž upozorňuje W. Žurek [119].

Mezi tlakem působícím na vlákkenný materiál a zaplněním byla odvozena rovnice (1.2.43). Jejím užitím spolu s (1.3.18) se nalezné

$$\frac{k_p \bar{\alpha}^3}{\alpha_m^3} \left( \frac{1 - \bar{\alpha}^3 / \alpha_m^3}{1 + \bar{\alpha}^3 / \alpha_m^3} \right)^3 = C \bar{\alpha} \alpha^2 / D \quad (1.3.19)$$

Po vyjádření  $\alpha$  z (1.3.10) a vyjádření  $D$  z (1.3.4) prostřednictvím substančního průměru  $D_s$  lze (1.3.19) vyjádřit formou

$$\left( \frac{\bar{\alpha}}{\alpha_m} \right)^{35} \left( \frac{1 - \bar{\alpha}^3 / \alpha_m^3}{1 + \bar{\alpha}^3 / \alpha_m^3} \right)^3 = M \alpha_s^2 / (\alpha_m^{25} D_s) \quad (1.3.20)$$

kde  $M = 4\pi C/k_p$  je souhrnná materiálová konstanta s rozměrem délky. Formální nevýhodou tohoto výrazu je nemožnost vyjádřit zaplnění v explicitním tvaru. V tabulce 1.8 je proto uvedeno vzájemné příslušení.

Pro praktický výpočet průměru  $D$  níže je třeba znát hodnotu mezního zaplnění  $\alpha_m$  a konstanty  $M$ . Z jemnosti a zákrutu se rovnicemi (1.3.11) a (1.3.2) vypočte  $\alpha_s$  a  $D_s$  a poté celá pravá strana rovnice (1.3.20). V tab. 1.8 se nalezne odpovídající hodnota  $\tilde{u}/\alpha_m$  a ze zaplnění a  $D_s$  se rovnici (1.3.4) získá hodnota  $D$ .

Výpočet je ovšem poněkud zdlouhavý. Pro rychlé praktické výpočty je vhodnější užít approximativního řešení.

2. hypotéza - approximace. Bylo dokázáno, že tlak dle (1.2.43) může být v okolí zvoleného zaplnění  $\tilde{u}^*$  dobře approximován výrazem (1.2.45), kde konstanty  $b$ ,  $c$  se určují rovnicemi (1.2.46) a (1.2.47).

Užitím této approximace vznikne místo výrazu (1.3.20) tvar

$$\tilde{u}^{(b-1/2)} = M \alpha_s^2 / (c D_s) \quad (1.3.21)$$

Vyjádří-li se  $\alpha_s$  z (1.3.10) jako funkce  $Z$  a  $S$ , substanční průměr  $D_s$  z (1.3.2) jako funkce  $S$ , potom

$$\tilde{u}^{(b-1/2)} = [M/\tilde{\alpha}_s]/(2c)] \cdot Z^{2/1} S \quad (1.3.22)$$

Po dosazení zaplnění  $\tilde{u}$  z (1.3.4) do poslední rovnice a vhodné úpravě se nalezne výraz

$$D = \left[ \frac{c}{M} \cdot \left( \frac{2}{\tilde{\alpha}_s} \right)^{2b} \right]^{1/(2b-1)} \cdot S^{\frac{b-1}{2b-1}} \cdot Z^{\frac{-2}{2b-1}} \quad (1.3.23)$$

kterým je možno vypočítat průměr  $D$  přímo.

Je vhodné definovat kvocient  $q$  zákrutu vztahem

$$q = (b-1)/(2b-3) \quad (1.3.24)$$

Potom z (1.3.12) pro intenzitu zákrutu  $\alpha$  platí

$$\alpha = \pi D Z = \pi \left[ \frac{c}{M} \left( \frac{2}{\tilde{\alpha}_s} \right)^{2b} \right]^{\frac{1}{2b-1}} \cdot S^{\frac{2b-3}{2b-1}} \cdot \alpha_s^{\frac{2b-3}{2b-1}} \quad (1.3.25)$$

Intenzita zákrutu je nyní funkcií jen plošného zobecněného zákrutového koeficientu  $\alpha_s^*$ , takže podobně jako u 1. hypotézy všechny příze se stejným  $\alpha_s^*$  mají i stejné  $\alpha$ . (Nemají ovšem stejné  $\tilde{u}$ ).

Užitím plošného Phrixova zákrutového koeficientu  $\alpha_s$  z (1.3.14) ve vzorci (1.3.23) vznikne

$$D = q_s S^{\frac{b}{2b-1}} \alpha_s^{\frac{2b-3}{2b-1}} \quad (1.3.26)$$

$$q_s = \left[ \frac{c}{M} \cdot \left( \frac{2}{\tilde{\alpha}_s} \right)^{2b} \right]^{\frac{1}{2b-1}} \quad (1.3.27)$$

Řešení rovnice ( 1.3.20 )

Tab. 1.8

$\alpha_{effm}$	pomer funkcií	$\alpha_{effm}$										
0,002	0,00000	0,102	0,00333	0,202	0,01880	0,302	0,05450	0,402	0,12534	0,502	0,26790	
0,004	0,00000	0,104	0,00350	0,204	0,01928	0,304	0,05550	0,404	0,12730	0,504	0,27200	
0,006	0,00000	0,106	0,00367	0,206	0,01977	0,306	0,05652	0,406	0,12929	0,506	0,27615	
0,008	0,00001	0,108	0,00385	0,208	0,02027	0,308	0,05755	0,408	0,13131	0,508	0,28038	
0,010	0,00001	0,110	0,00403	0,210	0,02078	0,310	0,05859	0,410	0,13335	0,510	0,28467	
0,012	0,00002	0,112	0,00422	0,212	0,02130	0,312	0,05964	0,412	0,13543	0,512	0,28903	
0,014	0,00002	0,114	0,00441	0,214	0,02182	0,314	0,06072	0,414	0,13753	0,514	0,29347	
0,016	0,00003	0,116	0,00460	0,216	0,02235	0,316	0,06180	0,416	0,13966	0,516	0,29797	
0,018	0,00004	0,118	0,00481	0,218	0,02289	0,318	0,06290	0,418	0,14182	0,518	0,30255	
0,020	0,00006	0,120	0,00501	0,220	0,02344	0,320	0,06402	0,420	0,14402	0,520	0,30721	
0,022	0,00007	0,122	0,00523	0,222	0,02400	0,322	0,06514	0,422	0,14624	0,522	0,31194	
0,024	0,00009	0,124	0,00545	0,224	0,02457	0,324	0,06629	0,424	0,14850	0,524	0,31675	
0,026	0,00011	0,126	0,00567	0,226	0,02514	0,326	0,06745	0,426	0,15078	0,526	0,32164	
0,028	0,00013	0,128	0,00590	0,228	0,02573	0,328	0,06863	0,428	0,15310	0,528	0,32662	
0,030	0,00016	0,130	0,00613	0,230	0,02632	0,330	0,06982	0,430	0,15546	0,530	0,33167	
0,032	0,00018	0,132	0,00637	0,232	0,02692	0,332	0,07103	0,432	0,15784	0,532	0,33682	
0,034	0,00021	0,134	0,00662	0,234	0,02753	0,334	0,07225	0,434	0,16028	0,534	0,34205	
0,036	0,00025	0,136	0,00687	0,236	0,02815	0,336	0,07349	0,436	0,16272	0,536	0,34737	
0,038	0,00028	0,138	0,00713	0,238	0,02878	0,338	0,07475	0,438	0,16521	0,538	0,35277	
0,040	0,00032	0,140	0,00739	0,240	0,02942	0,340	0,07602	0,440	0,16774	0,540	0,35828	
0,042	0,00036	0,142	0,00766	0,242	0,03007	0,342	0,07731	0,442	0,17030	0,542	0,36387	
0,044	0,00041	0,144	0,00794	0,244	0,03073	0,344	0,07862	0,444	0,17290	0,544	0,36957	
0,046	0,00045	0,146	0,00822	0,246	0,03140	0,346	0,07995	0,446	0,17554	0,546	0,37536	
0,048	0,00050	0,148	0,00851	0,248	0,03207	0,348	0,08129	0,448	0,17822	0,548	0,38126	
0,050	0,00056	0,150	0,00880	0,250	0,03276	0,350	0,08265	0,450	0,18093	0,550	0,38723	
0,052	0,00062	0,152	0,00910	0,252	0,03346	0,352	0,08403	0,452	0,18369	0,552	0,39338	
0,054	0,00068	0,154	0,00941	0,254	0,03417	0,354	0,08543	0,454	0,18649	0,554	0,39957	
0,056	0,00074	0,156	0,00972	0,256	0,03489	0,356	0,08685	0,456	0,18932	0,556	0,40589	
0,058	0,00081	0,158	0,01004	0,258	0,03561	0,358	0,08829	0,458	0,19220	0,558	0,41232	
0,060	0,00088	0,160	0,01037	0,260	0,03635	0,360	0,08974	0,460	0,19513	0,560	0,41887	
0,062	0,00096	0,162	0,01070	0,262	0,03710	0,362	0,09122	0,462	0,19809	0,562	0,42554	
0,064	0,00104	0,164	0,01104	0,264	0,03786	0,364	0,09272	0,464	0,20110	0,564	0,43233	
0,066	0,00112	0,166	0,01138	0,266	0,03863	0,366	0,09423	0,466	0,20416	0,566	0,43924	
0,068	0,00121	0,168	0,01173	0,268	0,03941	0,368	0,09577	0,468	0,20726	0,568	0,44628	
0,070	0,00130	0,170	0,01209	0,270	0,04021	0,370	0,09733	0,470	0,21041	0,570	0,45344	
0,072	0,00139	0,172	0,01246	0,272	0,04101	0,372	0,09890	0,472	0,21360	0,572	0,46074	
0,074	0,00149	0,174	0,01283	0,274	0,04183	0,374	0,10050	0,474	0,21685	0,574	0,46818	
0,076	0,00159	0,176	0,01321	0,276	0,04265	0,376	0,10213	0,476	0,22014	0,576	0,47575	
0,078	0,00170	0,178	0,01360	0,278	0,04349	0,378	0,10377	0,478	0,22349	0,578	0,48346	
0,080	0,00181	0,180	0,01399	0,280	0,04434	0,380	0,10544	0,480	0,22688	0,580	0,49132	
0,082	0,00193	0,182	0,01439	0,282	0,04520	0,382	0,10712	0,482	0,23033	0,582	0,49933	
0,084	0,00205	0,184	0,01480	0,284	0,04608	0,384	0,10884	0,484	0,23383	0,584	0,50748	
0,086	0,00217	0,186	0,01521	0,286	0,04696	0,386	0,11057	0,486	0,23739	0,586	0,51580	
0,088	0,00230	0,188	0,01563	0,288	0,04786	0,388	0,11233	0,488	0,24100	0,588	0,52427	
0,090	0,00244	0,190	0,01606	0,290	0,04877	0,390	0,11411	0,490	0,24466	0,590	0,53291	
0,092	0,00257	0,192	0,01650	0,292	0,04969	0,392	0,11592	0,492	0,24839	0,592	0,54171	
0,094	0,00272	0,194	0,01695	0,294	0,05063	0,394	0,11775	0,494	0,25217	0,594	0,55068	
0,096	0,00286	0,196	0,01740	0,296	0,05158	0,396	0,11961	0,496	0,25601	0,596	0,55983	
0,098	0,00302	0,198	0,01786	0,298	0,05254	0,398	0,12149	0,498	0,25991	0,598	0,56916	
0,100	0,00317	0,200	0,01832	0,300	0,05351	0,400	0,12340	0,500	0,26388	0,600	0,57867	

$$\text{funkční hodnota} = \frac{M}{\alpha_{effm}^{2.5}} \cdot \frac{\infty^2}{D_S} = \frac{(\bar{\alpha}/\alpha_{effm})^{2.5}}{[1 - (\bar{\alpha}/\alpha_{effm})^3]^3}$$

Tab. 1.8 - pokračování

pomer funkcií	hodnota						
0,602	0,58837	0,702	1,47573	0,802	5,07569	0,902	40,9957
0,604	0,59826	0,704	1,50666	0,804	5,23182	0,904	43,5831
0,606	0,60835	0,706	1,53843	0,806	5,39437	0,906	46,3938
0,608	0,61865	0,708	1,57106	0,808	5,56368	0,908	49,4524
0,610	0,62915	0,710	1,60458	0,810	5,74010	0,910	52,7871
0,612	0,63987	0,712	1,63902	0,812	5,92403	0,912	56,4298
0,614	0,65080	0,714	1,67441	0,814	6,11585	0,914	60,4169
0,616	0,66196	0,716	1,71080	0,816	6,31600	0,916	64,7902
0,618	0,67335	0,718	1,74820	0,818	6,52494	0,918	69,5979
0,620	0,68498	0,720	1,78467	0,820	6,74317	0,920	74,8953
0,622	0,69684	0,722	1,82623	0,822	6,97119	0,922	80,7466
0,624	0,70896	0,724	1,86693	0,824	7,20958	0,924	87,2263
0,626	0,72134	0,726	1,90881	0,826	7,45893	0,926	94,4213
0,628	0,73397	0,728	1,95191	0,828	7,71988	0,928	102,433
0,630	0,74688	0,730	1,99627	0,830	7,99311	0,930	111,382
0,632	0,76006	0,732	2,04195	0,832	8,27936	0,932	121,408
0,634	0,77353	0,734	2,08899	0,834	8,57942	0,934	132,680
0,636	0,78728	0,736	2,13745	0,836	8,89413	0,936	145,398
0,638	0,80134	0,738	2,18737	0,838	9,22441	0,938	159,802
0,640	0,81571	0,740	2,23882	0,840	9,57123	0,940	176,180
0,642	0,83039	0,742	2,29185	0,842	9,93564	0,942	194,884
0,644	0,84540	0,744	2,34653	0,844	10,3188	0,944	216,344
0,646	0,86074	0,746	2,40291	0,846	10,7219	0,946	241,086
0,648	0,87643	0,748	2,46108	0,848	11,1462	0,948	269,764
0,650	0,89247	0,750	2,52109	0,850	11,5933	0,950	303,195
0,652	0,90888	0,752	2,58302	0,852	12,0646	0,952	342,408
0,654	0,92566	0,754	2,64696	0,854	12,5618	0,954	388,710
0,656	0,94283	0,756	2,71297	0,856	13,0868	0,956	443,782
0,658	0,96039	0,758	2,78116	0,858	13,6415	0,958	509,807
0,660	0,97836	0,760	2,85161	0,860	14,2280	0,960	589,654
0,662	0,99875	0,762	2,92441	0,862	14,8486	0,962	687,142
0,664	1,01557	0,764	2,99966	0,864	15,5060	0,964	807,433
0,666	1,03484	0,766	3,07747	0,866	16,2028	0,966	957,616
0,668	1,05457	0,768	3,15795	0,868	16,9420	0,968	1147,60
0,670	1,07477	0,770	3,24121	0,870	17,7271	0,970	1391,50
0,672	1,09545	0,772	3,32738	0,872	18,5615	0,972	1709,93
0,674	1,11664	0,774	3,41658	0,874	19,4493	0,974	2133,71
0,676	1,13834	0,776	3,50894	0,876	20,3947	0,976	2710,32
0,678	1,16058	0,778	3,60465	0,878	21,4027	0,978	3515,47
0,680	1,18337	0,780	3,70380	0,880	22,4783	0,980	4674,72
0,682	1,20672	0,782	3,80657	0,882	23,6275	0,982	6406,48
0,684	1,23066	0,784	3,91314	0,884	24,8566	0,984	9113,09
0,686	1,25521	0,786	4,02367	0,886	26,1728	0,986	13590,2
0,688	1,28037	0,788	4,13836	0,888	27,5839	0,988	21560,1
0,690	1,30618	0,790	4,25740	0,890	29,0986	0,990	37219,9
0,692	1,33265	0,792	4,38100	0,892	30,7267	0,992	72624,4
0,694	1,35980	0,794	4,50939	0,894	32,4790	0,994	171978,
0,696	1,38766	0,796	4,64279	0,896	34,3677	0,996	579855,
0,698	1,41626	0,798	4,78147	0,898	36,4062	0,998	
0,700	1,44560	0,800	4,92567	0,900	38,6099	1,000	

$$w = (3b+1)/[3(2b-1)] \quad (1.3.28)$$

$$v = -2/(2b-1) \quad (1.3.29)$$

Z posledních dvou rovnic plyně důležitá vazba mezi exponenty  $w$  a  $v$ .

$$v = -2.4w + 1.2 \quad (1.3.30)$$

Po vyjádření  $S$  z (1.3.1) a  $\alpha_s$  z (1.3.15) se průměr  $D$  příze (1.3.26) stane funkci jemnosti  $T$  a Koechlinova zákrutového koeficientu  $\alpha$ :

$$D = Q_a T^w \alpha^v \quad (1.3.31)$$

$$Q_a = Q_s / \varrho^{w+2v/3} \quad (1.3.32)$$

Použitím plošného Koechlinova zákrutového koeficientu  $\alpha_s$  dle (1.3.10) ve vztahu (1.3.23) lze zapsat analogicky

$$D = Q_s S^w \alpha_s^v \quad (1.3.33)$$

$$w = b/(2b-1) \quad (1.3.34)$$

$$v = -4w + 2 \quad (1.3.35)$$

Po vyjádření  $S$  z (1.3.1) a  $\alpha_s$  z (1.3.11) je průměr  $D$  příze funkci jemnosti a Koechlinova zákrutového koeficientu  $\alpha$ .

$$D = Q_a T^w \alpha^v \quad (1.3.36)$$

$$Q_a = Q_s / \varrho^{w+v/2} \quad (1.3.37)$$

Praktické určení výrazů. Odvozené vztahy lze použít, jsou-li známy hodnoty konstanty  $M$  a  $\mu_m$ , které charakterizují užitý materiál a strukturální typ příze. Určení vyžaduje získat experimentální soubor průměrů  $D$  příze různých jemností  $T$  a zákrutů  $Z$ . Obvykle nelze vyrobit experimentální příze se širokou škálou zaplnění (např. od  $\tilde{\mu} = 0,1$  do 0,8) a regresní určení  $\mu_m$  proto bývá nespolehlivé. Na základě delší dobu prováděného experimentálního sledování lze doporučit volbu hodnoty  $\mu_m$  z intervalu  $\langle \frac{Z}{4}; \frac{Z}{23} \rangle$ ; pro většinu přízí nejhodněji  $\mu_m = 0,8$ , pro kroucené hedvábí  $\mu_m = 0,9$ . Regresně se pak určuje jen konstanta  $M$ .

Základní rovnici (1.3.20) je vhodné upravit užitím (1.3.11) a (1.3.2) do tvaru

$$\frac{(\tilde{\mu}/\mu_m)^{2.5}}{[1 - (\tilde{\mu}^3/\mu_m^3)]^3} = \frac{M_{(m)} \cdot \sqrt{\rho}}{2000 \mu_m^{2.5} / S(\log \tilde{\mu}^3)} \cdot \alpha_{\mu}^2 \quad (1.3.38)$$

kde veličina

$$\alpha_u(m' \text{tex}^{1/4}) = Z(m') T_{(tex)}^{1/4} \quad (1.3.39)$$

je typem základního zákrutového koeficientu s kvocientem  $\varphi = 1/4$  (definice (1.3.13)).

Z rovnice (1.3.38) je zřejmé, že příze různých jemností a zákrutů, vyrobené stejnou technologií ze stejné suroviny budou mít stejnou hodnotu koeficientu  $\alpha_u$ , který je tedy charakteristikou zaplnění příze.

Pro každou přízi vyrobenou z materiálu o měrné hmotnosti  $\varphi$ , u níž je změřen průměr  $D$ , zákrut  $Z$  a jemnost  $T$  lze užitím (1.3.4) ve formě

$$\tilde{\alpha} = 4 T_{(tex)} / [ \alpha D_{(mm)}^2 \varphi (\text{kg m}^{-3}) ] \quad (1.3.40)$$

vyčíslit zaplnění  $\tilde{\alpha}$  a při daném  $\alpha_m = 0,8$  z (1.3.38) a (1.3.39) hodnotu  $M$ . Ze souboru experimentálních údajů je takto možné vyhodnotit charakteristickou konstantu  $M$  pro příze daného typu. V souhrnné práci /81/ byly pro jednokomponentní příze stanoveny hodnoty uvedené v tab. 1.9.

Typické hodnoty konstanty  $M$   
pro jednokomponentní příze  
(Pro všechny příze  $\alpha_m = 0,8$ )

Tab. 1.9

Vlákenný materiál	HODNOTA $M(\text{mm})$		
	příze česaná	příze mykaná	příze rotorová $\alpha_x$
bavlna $\alpha_x$ )	0,0063	0,0042	0,0027
VSe - B typ		0,0180	0,0077
PESs - B typ		0,0145	0,0054
Jiná chem. vlákna $\alpha_x$ )		0,0130	0,0056

$\alpha_x$ ) Přibližné orientační hodnoty

$\alpha_x$ ) Typ BD 200

$\alpha_x$ ) Pro česané příze typ I II, pro mykané typ A I

Charakter nalezených souvislostí bude dále dokumentován na příkladě bavlněných přízí mykaných - prstencových. Na osách grafu na obr. 1.12 jsou v logaritmických stupnicích vyneseny základní zákrutový koeficient  $\alpha_u$  a zaplnění příze  $\tilde{\alpha}$ . Body označené křížky vznikly z experimentálních údajů uvedených v /68/ a /96/. (Užito vztahů (1.3.39), (1.3.40) a pro měrnou hmotnost bavlny  $\varphi = 1500 \text{ kg m}^{-3}$ .) Soubor obsahuje 34 přízí typu AI mykaná, materiál sovětská bavlna I. a II. sortu v poměru 50/50, rozsah jemnosti od 16,5 tex do 100 tex, rozmezí Phrixova zákrutového koeficientu od 55 do  $75 \text{ m}^{-1} \text{ ktex}^{2/3}$ .

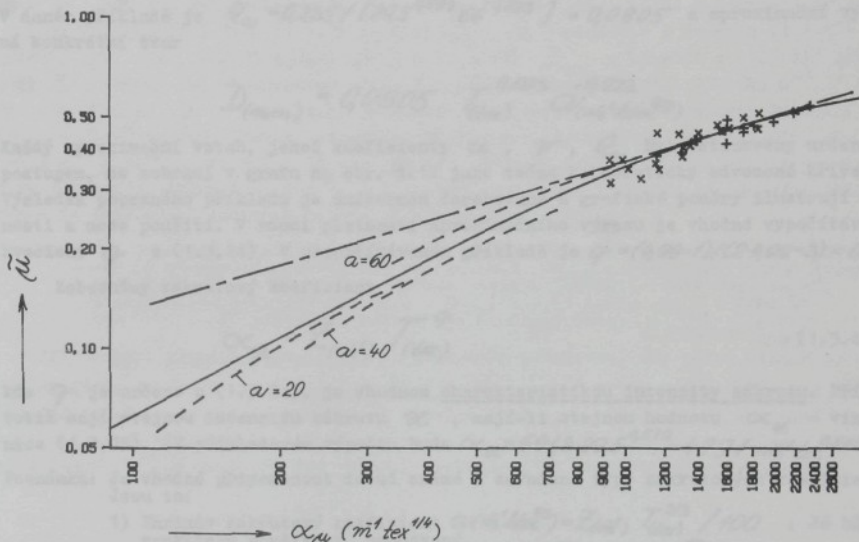
Průměry velmi hrubých přízí a pláští z bavlny studoval J. Salaba /96/ a výsledky svých měření shrnul do empirického výrazu

$$D_{(mm)} = \frac{0.48 T_{(tex)}}{[100 \alpha_{(m'tex)^{2/3}}]^{0.30343} + 2.00 \cdot 10^{-5} T_{(tex)} [80 - \alpha_{(m'tex)^{2/3}}]} \quad (1.3.41)$$

kde  $\alpha$  značí normovaný Phrixův zákrutový koeficient. Pro každou dvojici proměnných  $T$ ,  $\alpha$  lze vypočítat průměr  $D$  z (1.3.41), zaplnění  $\tilde{\alpha}$  při  $\varphi = 1500 \text{ kg m}^{-3}$

$\alpha_{zu}$  z (1.3.40) a zobecněný zákrutový koeficient  $\alpha_{zu}$  z (1.3.39). Takto nalezené závislosti pro hodnoty  $\alpha = 20, 40, 60 \text{ m}^1 \text{ktx}^{2/3}$ , vždy v rozmezí jemnosti  $T = 50$  až 1000 tex jsou znázorněny na obr. 1.12 třemi čárkovými křivkami. Je zřejmé, že vliv zákrutového koeficientu  $\alpha$  na sledovanou závislost není podstatný.

Dále byla vypočtena teoretická závislost (1.3.38) při hodnotách  $\varrho = 1500 \text{ kg m}^{-3}$ ,  $M = 0,0042 \text{ m}$ ,  $C_m = 0,8$  a vynesena v témže grafu plnou čarou. Je vidět, že křivka prochází uspokojivým způsobem jak prostorem přástí a hrubých přízí, tak i oblastí přízí běžných jemností.



obr. 1.12

. Jsou-li stanoveny potřebné konstanty (v uvažovaném příkladě  $\varrho = 1500 \text{ kg m}^{-3}$ ,  $C_m = 0,8$ ,  $M = 0,0042 \text{ m}$ ) je určen průměr příze poměrně snadné. Např. příze  $T = 29,5 \text{ tex}$  zakroucená se zákrutovým koeficientem  $\alpha = 66 \text{ m}^1 \text{ktx}^{2/3}$  má zákrut  $Z = 100 \cdot 66 / 29,5^{2/3} = 691,3 \text{ m}^1$ ,  $\alpha_{zu} = 691,3 \cdot 29,5^{1/4} = 1611,1 \text{ m}^{-1} \text{tex}^{1/4}$  a hodnota pravé strany rovnice (1.3.38) je  $(0,0042 \cdot \sqrt{29,5} \cdot 1611,1^2) / (2000 \cdot 0,8^{2,5} \cdot \sqrt{1500}) = 0,436$ . Této hodnotě dle tab. 1.8 odpovídá poměr  $\tilde{\alpha}/C_m = 0,565$  a tedy  $\tilde{\alpha} = 0,565 \cdot 0,8 = 0,452$ . Pro výpočet průměru příze je vhodné užívat vztah (1.3.40) ve formě

$$D_{mm} = \sqrt{4 T_{(aa)} / [\pi \tilde{\alpha} \varrho (\text{kg m}^{-3})]} \quad (1.3.42)$$

V daném příkladu je tedy hledaný průměr příze

$$D_{mm} = \sqrt{4 \cdot 29,5 / [\pi \cdot 0,452 \cdot 1500]} = 0,235 \text{ mm}$$

Požaduje-li se stanovit approximační vztah typu (1.3.31), který nejlépe vyhovuje právě

v okolí uvedené příze, pak je nutno položit  $\alpha^* = 0,452$ . Z (1.2.46) vznikne  
 $b = 3[1+2(0,452/0,8)^3]/[1-(0,452/0,8)^3] = 4,98$ , z rovnice (1.3.28) a (1.3.30) vznikne  
 $w = (3 \cdot 4,98 + 1)/[3(24,98 - 1)] = 0,593$ ,  $\sigma = 24,983 + 1,2 = 0,223$ . Hodnotu koeficientu  $Q_a$   
 lze nejsnadněji určit z podmínky, že pro výchozí přízi musí approximační vztah (1.3.31)  
 platit zcela přesně. Nejvhodněji se vychází z tvaru

$$D_{(mm)} = Q_a T_{(tec)}^w \alpha_{(m^1 tec^2)}^v \quad (1.3.43)$$

$$Q_a = D_{(mm)} / [T_{(tec)}^w \alpha_{(m^1 tec^2)}^v] \quad (1.3.43a)$$

V daném příkladě je  $Q_a = 0,235 / [29,5^{0,593} \cdot 66^{-0,223}] = 0,0805$  a approximační výraz  
 má konkrétní tvar

$$D_{(mm)} = 0,0805 T_{(tec)}^{0,593} \alpha_{(m^1 tec^2)}^{-0,223}$$

Každý approximační vztah, jehož koeficieenty  $u$ ,  $v$ ,  $Q_a$  byly stanoveny určeným  
 postupem, se zobrazí v grafu na obr. 1.12 jako tečna k teoreticky odvozené křivce.  
 Výsledek popsaného příkladu je znázorněn čerchované a grafické poměry ilustrují mož-  
 nosti a meze použití. V rámci platnosti approximačního výrazu je vhodné vypočítávat  
 kvocient  $q$  z (1.3.24). V propočítávaném příkladě je  $q = (4,98 - 1) / (24,98 - 3) = 0,572$ .

Zobecněný zákrutový koeficient

$$\alpha_{ae} = Z_{(m^1)} T_{(tec)}^q \quad (1.3.44)$$

kde  $q$  je určeno z (1.3.24), je vhodnou charakteristikou intenzity zákrutu. Příze  
 totiž mají stejnou intenzitu zákrutu  $\alpha_e$ , mají-li stejnou hodnotu  $\alpha_{ae}$  - viz rov-  
 nice (1.3.25). (V příkladovém výpočtu bude  $\alpha_{ae} = 69,3 \cdot 29,5^{0,572} = 4791 m^1 tec^{0,572}$ .)

Poznámka: Je vhodné připomenout dosud známé a zavedené typy zákrutových koeficientů.  
 Jsou to:

- 1) Phrixův zákrutový koeficient  $\alpha(m^1 tec^0) = Z_{(m^1)} T_{(tec)}^{2/3} / 100$ . Je běžně  
 prakticky používaný, normovaný.
- 2) Koehlinův zákrutový koeficient  $\alpha(m^1 tec^{1/2}) = Z_{(m^1)} T_{(tec)}^{1/2} / 3162$ . Starší  
 typ, v zahraničí hojně prakticky užívaný.
- 3) Koehlinův plošný zákrutový koeficient  $\alpha_S = Z_{(m^1)} [T_{(tec)}^{10/9} g (log m^3)]^{1/2}$ .  
 Významově analogický předchozímu, avšak bezrozměrný, nezávislý na měrné  
 hmotnosti vláken.
- 4) Zobecněný zákrutový koeficient  $\alpha_{ae}(m^1 tec^{1/4}) = Z_{(m^1)} T_{(tec)}^{1/4}$ .  
 V rámci materiálu a technologie charakterizuje jednoznačně zaplnění příze.
- 5) Zobecněný zákrutový koeficient  $\alpha_{ae}(m^1 tec^{1/4}) = Z_{(m^1)} T_{(tec)}^{1/4}$ , kde  $q$   
 plyne z (1.3.24). V rámci materiálu, technologie a platnosti approxim.  
 vztahu typu (1.3.31) charakterizuje jednoznačně intenzitu zákrutu.

Zbývá poznamenat, že approximativní vztahy typu (1.3.31) či (1.3.36) byly původně  
 zavedeny jako empirické W. Žurkem /119/, autorem /67/ aj. Hodnoty koeficientů ( $Q_a$ ,  
 $w$ ,  $v$  či  $\alpha_e$ ,  $w$ ,  $v$ ) stanovené regresně z experimentů se prakticky dobře  
 shodují s teoretickými relacemi, jež zde byly popsány - viz /67/, /96/.

Praktické souvislosti s volbou zákrutu. U přízi stejného materiálu a způsobu výroby  
 je podle tradičního pravidla vhodné volit zákrut tak, aby různé jemnosti příze měly stejný  
 sklon povrchových vláken. Podle vztahů uvažovaných v komprimační hypotéze i dle  
 dalších úvah jde vlastně o velmi „rozumný“ požadavek zachování tahového napětí ve  
 vláknech různě jemných přízí. Sklon povrchového vlákna lze hodnotit sklonem jeho osy,  
 která v nejjednodušším případě leží na válci o redukovaném průměru

$$D_{red} = D \cdot (D_s - d) / D_s \quad (1.3.45)$$

kde  $D$  je průměr  $D_s$  substanční průměr příze a  $d$  označuje ekvivalentní průměr

vlákna. Na průměru  $D_{red}$  svírá šroubovicová osa vlákna s osou příze úhel  $\beta_{red}$ , pro který platí v analogii k intenzitě zákrutu  $\alpha = \pi D Z = \tan \beta$  vztah

$$\tan \beta_{red} = \pi D_{red} Z = \alpha (1 - d/D_s) \quad (1.3.46)$$

Užitím (1.3.46), (1.3.10) v (1.3.20) vznikne po úpravě vztah

$$\frac{\tilde{d}^{15}}{[1 - \tilde{d}^3/\mu_m^3]^3} = \frac{M \tan^2 \beta_{red}}{4\pi} \cdot \frac{1}{D_s (1 - d/D_s)^2} \quad (1.3.47)$$

kde pro většinu přízí vyhovuje  $\mu_m = 0,8$ . Při daném typu materiálu a způsobu předení (dáno  $\phi$ ,  $M$ ) a při zvolené úrovni kroucení (dáno  $\beta_{red}$ ) lze z jemnosti příze a vlákna (užitím (1.2.3) a (1.3.2) se určí  $D_s$ ,  $d$ ) stanovit z rovnice (1.3.47) zaplnění  $\tilde{d}$ , z (1.3.42) průměr  $D$ , z (1.3.45)  $D_{red}$  a konečně z (1.3.46) zákrut příze  $Z$ . Např. pro prstencovou přízi z bavlny AI mykané ( $\phi = 1500 \text{ kg m}^{-3}$ ,  $M = 0,0042 \text{ m}$ ,  $t = 0,18 \text{ tex}$ ), jemnosti  $T = 16,5 \text{ tex}$  se při úrovni kroucení  $\beta_{red} = 25,7^\circ$  nalezně zákrut, odpovídající Phrixovu zákrutovému koeficientu  $\alpha = 66,3 \text{ m}^{-1} \text{ ktex}^{2/3}$ . Pro přízi 38 tex je již  $\alpha = 68,6 \text{ m}^{-1} \text{ ktex}^{2/3}$  a při jemnosti příze 100 tex je dokonce  $\alpha = 71,2 \text{ m}^{-1} \text{ ktex}^{2/3}$ . Hodnota Phrixova zákrutového koeficientu je tedy nutno směrem k hrubým přízím poněkud zvětšovat.

Poznámka: Pro provozní aplikaci lze uvedené výpočty nahradit zjednodušením, založeném na záobecněním zákrutového koeficientu  $\alpha_{red}$ , který při vhodné voleném exponentu  $\alpha_{red}$  zůstává v širokém rozsahu jemností téměř konstantní. V uvažovaném příkladě lze užít  $\alpha_{red} = 0,63$  takže  $\alpha_{red} = 6000 \text{ m}^{-1} \text{ ktex}^{2/3}$ . Pak platí pro zákrut zjednodušený vztah  $Z = 6000 / T_{red}$ .

Při použití různých technologií je přirozeno požadovat, aby příze stejně jemnosti a ze stejného materiálu měly stejně zaplnění  $\tilde{d}$ , neboť právě v tomto případě budou u stejně jemných přízí také analogické vnitřní poměry, stejná hustota kontaktů apod. Tento požadavek vzhledem k (1.3.47) znamená, že pro danou surovinu a zvolenou úroveň zakrucování ( $\beta_{red}$ ) musí být pro všechny technologie a jemnosti přízí veličina

$$K = M \tan^2 \beta_{red} \quad (1.3.48)$$

trvale konstantní. Pro kroucení na úrovni počítované jako „osnovní zákrut“ bylo přibližně stanoveno:

- pro bavlnu MII .....  $K = 0,000780 \text{ m}$ ,
- pro bavlnu AI .....  $K = 0,000975 \text{ m}$ ,
- pro PESe, B-typ .....  $K = 0,001370 \text{ m}$ ,
- pro VSs, B-typ .....  $K = 0,001680 \text{ m}$ .

Některé vypočtené hodnoty jsou uvedeny v tab. 1.10. Ukazují poměrně dobrý soulad s empirickou zkušeností bavlnářských přádelen.

Tabulka však naznačuje i další souvislosti, byť volnějšího charakteru. Ve skupině I jsou příze s  $\beta_{red}$  většinou pod  $20^\circ$ . (Příze AI česaná je spíše výjimkou. Kromě uvedených přízí by do skupiny I mohly být patrně zařazeny i příze vlnné - česané, kde bylo jenom hrubým měřením orientačně stanoveno  $M = 0,002 \text{ m}$ ,  $K = 0,00029 \text{ m}$ ,  $\beta_{red} = 20,8^\circ$ , a příze lnné - lenky, pro které bylo rovněž jen orientačně nalezeno  $M = 0,18 \text{ m}$ ,  $K = 0,017 \text{ m}$ ,  $\beta_{red} = 17,1^\circ$ .) Ve skupině II se  $\beta_{red}$  pohybuje kolem  $25^\circ$  a skupinu III tvoří jen rotorově předené bavlny s úhlem  $\beta_{red}$  okolo  $30^\circ$ . Současná praxe tedy vyrábí 3 skupiny bavlnářských přízí, vždy s přibližně stejným úhlem  $\beta_{red}$ . (Další souvislosti ovšem sehrává délka vláken, jejich jemnost, tření atp.)

Tab. 1.10

		SKUPINA I		SKUPINA II		SKUPINA III	
bavlna M II		česaná $M = 0,0063 \text{ m}$ ( $\beta_{red} = 19,4^\circ$ )		mykaná <sup>x)</sup> $M = 0,0042 \text{ m}$ ( $\beta_{red} = 23,3^\circ$ )		rotorová <sup>x)</sup> $M = 0,0027 \text{ m}$ ( $\beta_{red} = 28,3^\circ$ )	
$\rho = 1500 \text{ kg m}^{-3}$		10	0,506	45,5	4180	55,8 <sup>+</sup> )	5130 <sup>+</sup> )
$t = 0,14 \text{ tex}$		16,5	0,417	46,3	4180	56,7	5120
$d = 10,9 \mu\text{m}$		20	0,456	46,7	4180	57,1	5120
$K = 0,780 \text{ mm}$		25	0,438	47,1	4180	57,6	5120
$(\beta_{red} = 0,63)$		29,5	0,425	47,3	4180	58,0	5120
		38	0,405	47,8 <sup>+</sup> )	4180 <sup>+</sup> )	58,5	5120
		50	0,383	48,2 <sup>+</sup> )	4180 <sup>+</sup> )	59,1	5120
		100	0,326	49,1 <sup>+</sup> )	4150 <sup>+</sup> )	60,2	5080
bavlna A I		česaná <sup>x)</sup> $M = 0,0063 \text{ m}$ ( $\beta_{red} = 21,5^\circ$ )		mykaná $M = 0,0042 \text{ m}$ ( $\beta_{red} = 25,7^\circ$ )		rotorová $M = 0,0027 \text{ m}$ ( $\beta_{red} = 31,0^\circ$ )	
$\rho = 1500 \text{ kg m}^{-3}$		10	0,534	53,2	4890	65,2 <sup>+</sup> )	5990 <sup>+</sup> )
$t = 0,18 \text{ tex}$		16,5	0,500	54,1	4890	66,3	5990
$d = 12,4 \mu\text{m}$		20	0,486	54,6	4890	66,8	5990
$K = 0,975 \text{ mm}$		25	0,470	55,1	4900	67,4	5990
$(\beta_{red} = 0,63)$		29,5	0,458	55,5	4900	67,9	6000
		38	0,439	56,0 <sup>+</sup> )	4900 <sup>+</sup> )	68,6	6000
		50	0,417	56,7 <sup>+</sup> )	4910 <sup>+</sup> )	69,4	6010
		100	0,361	58,1 <sup>+</sup> )	4910 <sup>+</sup> )	71,2	6010
P E S s		mykaná		rotorová			
$\rho = 1380 \text{ kg m}^{-3}$		$M = 0,0125 \text{ m}$ ( $\beta_{red} = 18,3^\circ$ )		$M = 0,0054 \text{ m}$ ( $\beta_{red} = 26,7^\circ$ )			
$t = 0,16 \text{ tex}$		10	0,561	43,7 <sup>+</sup> )	3830 <sup>+</sup> )	66,4 <sup>+</sup> )	5830 <sup>+</sup> )
$d = 12,2 \mu\text{m}$		16,5	0,531	44,7	3810	68,1	5810
$K = 1,370 \text{ mm}$		20	0,518	45,2	3810	68,8	5810
$(\beta_{red} = 0,61)$		25	0,504	45,8	3820	69,7	5810
		29,5	0,493	46,2	3820	70,3	5810
		38	0,476	46,9	3820	71,4	5810
		50	0,456	47,7	3820	72,5	5810
		100	0,404	49,5	3820	75,3	5810
V S s		mykaná		rotorová			
$\rho = 1500 \text{ kg m}^{-3}$		$M = 0,0180 \text{ m}$ ( $\beta_{red} = 17,0^\circ$ )		$M = 0,0077 \text{ m}$ ( $\beta_{red} = 25,0^\circ$ )			
$t = 0,16 \text{ tex}$		10	0,582	42,8 <sup>+</sup> )	3670 <sup>+</sup> )	65,4 <sup>+</sup> )	5610 <sup>+</sup> )
$d = 11,7 \mu\text{m}$		16,5	0,554	44,0	3650	67,2	5580
$K = 1,680 \text{ mm}$		20	0,543	44,5	3650	68,1	5580
$(\beta_{red} = 0,60)$		25	0,530	45,2	3650	69,1	5580
		29,5	0,520	45,7	3650	69,9	5580
		38	0,504	46,5	3650	71,1	5580
		50	0,487	47,4	3650	72,4	5580
		100	0,438	49,6	3650	75,8	5580

<sup>x)</sup> Málo obvyklý typ přízí; byla použita hodnota  $M$  z podobného typu příze; výsledky mají jen orientační charakter.

<sup>+</sup>) Obrázek vyrobiteLNÁ, nevyrobiteLNÁ, nebo málo vyráběná příze.

#### 1.3.4. SESKÁNÍ A POČET VLÁKEN V PŘÍČNÉM ŘEZU

Dosud byla příze popisována jen z hlediska svého konečného stavu. Užívají se však též údaje vycházející z její tvorby, mezi něž patří seskání.

Seskání. Do procesu zakrucování vstupuje pramínek vláken rychlostí  $v_0$ , příze se odvídá rychlosť  $v$ , přičemž obvykle  $v < v_0$ . Toto zkrácení se vyjadřuje seskáním  $\delta$ , definovaným rovnicí

$$\delta = (v_0 - v) / v_0 = 1 - v/v_0 \quad (1.3.49)$$

Hodnota  $(-\delta)$  vyjadřuje poměrné prodloužení zákrutem. V literatuře je uváděn také součinitel  $\lambda$  zkrácení zákrutem.

$$\lambda = v/v_0 = 1 - \delta \quad (1.3.50)$$

Vstoupí-li do zakrucovacího procesu za jednotku času hmotnost  $m$ , vyjadřuje se vedle jemnosti příze  $T = m/v$  také vstupní jemnost  $T_0 = m/v_0$ , a platí

$$T_0 = T(1 - \delta) = T\lambda \quad (1.3.51)$$

Podobně vedle relativní jemnosti  $\varpi = T/t$  dle (1.3.3) existuje vstupní relativní jemnost  $\varpi_0$ .

$$\varpi_0 = T_0/t = \varpi(1 - \delta) = \varpi\lambda \quad (1.3.52)$$

Při rychlosti  $N$  otáček krutného orgánu se používá vedle zákrutu příze  $Z = N/v$  též vstupní zákrut  $Z_0 = N/v_0$ , kde

$$Z_0 = Z(1 - \delta) = Z\lambda \quad (1.3.53)$$

U běžných přízí je seskání poměrně malé (0,02 až 0,06) a  $Z_0$  lze užít jako přibližný odhad  $Z$ . U ostře kroucených útvarů (např. hedvábí při tvarování zákrutem) je někdy seskání až 0,20 i více a rozdíl mezi  $Z$  a  $Z_0$  je značný.

Délkové změny, zahrnuté v souhrnném vyjádření seskáním, vznikají z několika příčin. Jsou to:

1. Vlastní poměrné zkrácení  $\delta_z$  vzniklé přechodem rovného pramínku do přibližně šroubovicového tvaru.
2. Poměrné prodloužení  $E_y$ , vzniklé tím, že se vlákna v procesu zakrucování napínají, délka jejich osy se prodlužuje.
3. Poměrné prodloužení  $E_k$ , vznikající vyrovnáváním obloučků vláken, které jsou ve vláknach výchozího pramínku.
4. Poměrné prodloužení  $E_p$ , vznikající podélným posuvem vláken po sobě navzájem; jedná se o jistý „falešný“ průtah při zakrucování.

Obecně proto platí

$$1 - \delta = (1 + E_y)(1 + E_k)(1 + E_p)(1 - \delta_z) \quad (1.3.54)$$

U běžných přízí se obvykle hodnoty  $E_y$ ,  $E_k$ ,  $E_p$  považují za zanedbatelně malé. Avšak nižší hodnoty seskání přízí ve srovnání s hedvábím nasvědčují jistému vlivu těchto složek.

Počet vláken v příčném řezu. Vstupující pramínek je běžně tvořen vlákny z oboučkovanými, různě navlněnými, neparallelními. Četnost výskytu jednotlivých úseků vláken z hlediska úhlu  $\psi$ , který svírájí s osou pramínku, lze popsat frekvenční funkcí orientace. Někdy lze pro ni užít tvar

$$f(\psi) = \frac{2}{\pi} \cdot \frac{c}{c^2 - (c^2-1)\cos^2\psi} ; \psi \in \langle 0; \frac{\pi}{2} \rangle \quad (1.3.55)$$

nalezený autorem v 1421. (Konstanta  $c > 0$  je u běžných přízí obvykle 30 až 60.)

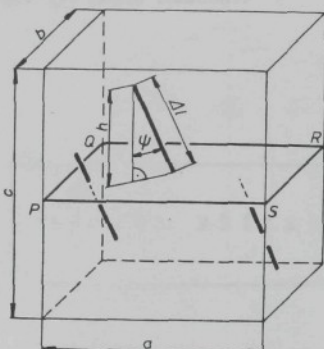
Na obr. 1.13 je znázorněn objem abc vyňatý z pramínku, obsahující  $j$  vláken-ných segmentů délky  $\Delta l$ . Svírá-li segment s normálovou řeznou rovinou PQRS úhel  $\psi$ ,

pak tuto rovinu protne jen když jeho horní konec bude ležet ve vzdálenosti menší než  $h = \Delta l \cos \psi$  nad ní. Celkově je v objemu rozptýleno

$j f(\psi) \cdot dy$  segmentů s úhlem  $\psi$ .

Řeznou rovinu ovšem protne jen jejich podíl  $(ab\Delta l)/(abc) = h/c = \Delta l \cos \psi / c$  tj. počet  $(\Delta l \cos \psi / c) \cdot (j f(\psi) dy)$  segmentů. Frekvenční funkce  $f(\psi)$  orientace segmentů, které protinají zmíněnou řeznou rovinu, je potom určena výrazem

$$\begin{aligned} f^*(\psi) &= \frac{(\Delta l \cos \psi / c) \cdot (j f(\psi))}{\int_0^{\pi/2} (\Delta l \cos \psi / c) \cdot (j f(\psi) dy)} = \\ &= \frac{\cos \psi \cdot f(\psi)}{\int_0^{\pi/2} \cos \psi f(\psi) dy} \end{aligned} \quad (1.3.56)$$



obr. 1.13

Plocha kolmého řezu vláknem je  $s$ . Jestliže však vláknko prochází rovinou řezu odkloněno o úhel  $\psi$ , je plocha řezu  $s \cos \psi$  (Viz též obr. 1.11.) Střední velikost řezné plochy vláknna protinajícího rovinu PQRS je

$$\bar{s} = \int_0^{\pi/2} \frac{s}{\cos \psi} f^*(\psi) \cdot dy = \int_0^{\pi/2} s \cos \psi f(\psi) dy \quad (1.3.57)$$

Je-li v řezu pramínkem  $n_0$  vláken, je celková řezná plocha  $S_0 = n_0 \bar{s}$ , přičemž pro jemnost  $t$  pramínku platí dle (1.3.1)  $T_0 = S_0 \rho$ . Užije-li se ještě analogický vztah (1.2.1) pro vlákna, potom

$$n_0 = S_0 / \bar{s} = (T_0 / t) \int_0^{\pi/2} \cos \psi \cdot f(\psi) \cdot dy \quad (1.3.58)$$

Přechodem pramínku do zakroucené formy, prodloužováním vláken, ani vyrovnáváním oboučků se počet vláken v příčném řezu nezmění.

Snižuje se však podélnými posuny vláken po sobě (poměrným prodloužením  $\xi_p$  - „falešným“ průtahem) v poměru  $1/(1+\xi_p)$ . V příčném řezu přízí je pak  $n = n_0 / (1+\xi_p)$  vláken. Užitím (1.3.58), (1.3.51) a (1.3.3) se naleze konečné vyjádření počtu vláken v příčném řezu přízí

$$n = k_n \tau$$

(1.3.59)

kde

$$k_n = \frac{1-\delta}{1+\epsilon_p} \cdot \int_0^{\pi/2} \cos y \cdot f(y) dy \quad (1.3.60)$$

je součinitel korekce počtu vláken. Ve speciálním případě frekvenční funkce (1.3.55) platí dle (1.3.60)

$$k_n = \frac{1-\delta}{1+\epsilon_p} \cdot \frac{2C \operatorname{arctg} \sqrt{C^2-1}}{\pi \sqrt{C^2-1}} \quad (1.3.61)$$

U většiny klasických běžných přízí je  $\delta < 0,06$ ,  $\epsilon_p < 0,02$ ,  $C > 30$ , takže je možno přibližně uvažovat  $k_n \approx 1$  a relativní jemnost příze je dobrým odhadem počtu vláken v příčném řezu. Avšak tam, kde vzniká velké seskáni (ostře kroucené hedvábí), kde je nízká hodnota  $C$  (značně neparalelní pramínky, např. již u rotorových přízí), či tam, kde dochází k velkým „falešným“ průtahům, je  $k_n$  výrazně odlišné od 1 a jeho vliv nelze zanedbat.

## 2. T V O R B A PŘÍZE

### 2.1. NÁSTÍN PRINCIPY TVORBY ZAKRUCOVENÉ PŘÍZE A POSTUPY JEJÍHO STUDIA

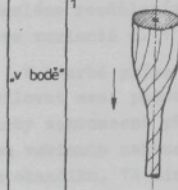
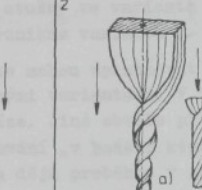
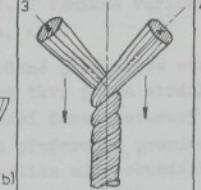
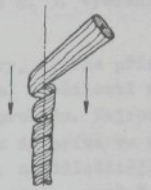
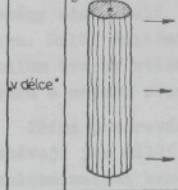
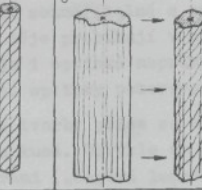
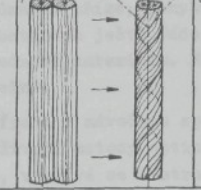
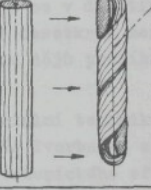
Tvorba příze je označením děje jejího vzniku. V nejobecnějším případě zahrnuje celý technologický proces předení. Z užšího hlediska do ní patří jen vlastní předení, dopřádání. V neužším a zde užívaném smyslu je ústředním procesem, ve kterém dochází k definitivnímu zformování vláknenného materiálu do podoby příze. Je to vlastní děj zakrucování. Vstupuje do něj jeden, případně několik souvislých pramínek vláken. Vzájemným pootáčením jejich průřezů se dosahuje přibližně šroubovicového uspořádání vláken, které způsobuje zpevnění útvaru a tím i vznik samotné příze.

Principy zakrucování. Tvorba příze může probíhat v malém prostoru, zahrnujícím jen krátký úsek délky. Takový princip lze nazvat zakrucováním „v bodě“. Jindy se na jednu zakrucují dlouhé délky pramínek. Jedná se o zakrucování „v délce“. Při shodě osy pramínské s osou příze je zakrucování souosé, jinak je vyosené. Přehled principů zakrucování dle autorova členění je graficky znázorněn v tab. 2.1. Souosé zakrucování je ještě rozdeleno na varianty rotačně symetrickou a asymetrickou, vyosené zakrucování na varianty z více pramínek a z jednoho pramínského. Tak vzniká znázorněných 8 variant zakrucování.

Varianta č. 1 vychází z válcového pramínského, který se v malém, poněkud kuželovitém prostoru zhušťuje a zakrzuje do formy příze. Této představě přibližně odpovídá zakrucování volného konce jehlovým košíčkem dle M. Pavka /95/, ale také

např. výroba ocelových lan. U běžných způsobů předení obvykle není dodržena podmínka válcového pramínku. Přesto je tato varianta užívána jako určité zjednodušení skutečnosti.

Varianta č. 2 uvažuje asymetrický pramínek, např. ve formě zploštělé stužky. Jejím osovým zakrucováním vzniká v alternativě a) nejprve šroubovicové těleso s přibližně obdélníkovým průřezem, které se však dále deformuje do válcového tvaru zakroucení příze. Alternativou b) varianty č. 2 je přímý přechod stužky do tvaru zakroucené příze. Tento způsob zakrucování odpovídá klasickým názorům na tvorbu příze v zákrutovém trojúhelníku, na výstupu z průtažného ústrojí vřetenových dopřádacích strojů, jak je uvádí např. V.I. Budníkov /14/. Alternativu a) s přechodem v podobě osově zakroucené stužky zvažoval dle /34/ již W.L. Balls /4/, podrobněji ji analyzovali J.W.S. Hearle a kol. /34/.

zakru- cování	Principy zakrucování			
	souosé		vyosené	
	symetrické	asymetrické	z více pramínek	z jednoho pramínek
„v bodě“	1	2	3	4
				
„v délce“	5	6	7	8
				

Tab. 2.1

Varianta č. 3 vychází ze zakrucování dvou, případně více pramínek dohromady. Je dobré známa z tradičního skaní, uplatňuje se také u samoskaných přízí typu Sirospun. Klasické zakrucování příze v zákrutovém trojúhelníku je někdy uvažováno jako vzájemné svíjení dvou plochých stužek, což pak odpovídá této variantě.

Varianta č. 4 předpokládá svíjení nejčastěji plochého pramínu vláken kolem osy budoucí příze s bezprostředně následujícím „utažením“ do kompaktní válcové formy. W.L. Balls /4/, později zejména J.W.S. Hearle a kol. /34/ uvažovali tento způsob zakrucování v zákrutovém trojúhelníku na klasických dopřádacích strojích. J. Ripka /95/ dokládá jeho reálnost u rotorových přízí z čs. strojů řady BD. Užil jej též autor v /77/ ve speciální podobě tzv. smyčkového modelu tvorby.

Také zákrut druhého řádu („překrucený“ příze), se řídí tímto mechanismem.

Varianta č. 5 je postupným zakrucováním dlouhého úseku válcového pramínku. Přibližně odpovídá tvorbě příze na selfaktoru. Je to nejstarší model, z něhož vyplýnuly i úvahy směřující ke Koechlinovu zákrutovému koeficientu a další základní pojmy, užívané již v pracích E. Müllera /66/, O. Johansena /43/ a dalších.

Varianta č. 6 uvažuje postupné zakrucování nesymetrického pramínku vláken. Je poněkud přesnějším vystízením zakrucování reálného pramínku na selfaktoru. Může být někdy uvažována také v alternativě osového zakrucování stužky, v analogii k variantě 2a.

Varianta č. 7 je postupným zakrucováním dvojice pramínků na dlouhé délce. Její technická realizace není při předení užívána. (Uplatňuje se při ruční výrobě provazů, stačených šňůrek apod.)

Varianta č. 8 vyjadřuje zakrucování pramínku formou svíjení stužky, v analogii k variantě č. 4. V závislosti na napěťových a geometrických podmínkách může místně probíhat při předení na selfaktoru. Jako modelové zjednodušení je někdy užívána pro analýzu některých fází zakrucování ve variantě č. 4.

Popsaných 8 variant vystihuje typické situace tvorby příze zakrucováním. Existuje též možnost spojitých přechodů mezi variantami 1,2,3,4 a 5,6,7,8. Např. postupným zploštováním válcového pramínku varianta č. 1 vznikne varianta č. 2. Zaškrčením a posléze rozdělením stužky ve variantě č. 2 vznikne varianta č. 3. Vyosením pramínku ve variantě č. 1 vznikne varianta č. 4, atd.

V tvorbě příze se mohou uplatňovat různé přechodové stavy, tvorba příze může oscilovat mezi popsanými variantami. V tom tkví jedna stránka složitosti zkoumání tvorby zakroucené příze. Jiné obtíží přináší časoprostorový problém. Nejrozšířenější jsou varianty zakrucování „v bodě“, které přeformují pramínky do příze ve velmi krátkém okamžiku. Většina dějů probíhne v několika milisekundách, nejdůležitější přeměny z toho trvají i jen několik desítek mikrosekund. Velikost prostoru, v němž se hlavní přeměny odehrávají, je souměřitelná s průměrem příze; pohybuje se v desetinách milimetru. Dílčí vnitřní děje probíhají v prostorech ještě řádově desetkrát menších. Studium tvorby ztěžuje i optická neprůhlednost materiálu. Řada dějů probíhá uvnitř útvaru a nejsou zvenčí opticky pozorovatelné.

Přímá pozorování tvorby příze se opírá o náročnou speciální techniku a přesto zůstávají jen dílčí a kusá. Obvykle se užívají metody optické. Tvorba se sleduje rychlosnímacími kamerami („časová lupa“), využívá se i stroboskopického efektu. Často se používají metody poznávání, spjaté s vytvářením vhodných modelů. Pojem model je označován objekt různé povahy, který se do určité míry a v nějakém stanoveném smyslu chová stejně jako originál.

Theoretický model, jako nástroj poznání, se opírá o soubor podstatných faktů a o pravděpodobné, i když v počátku nedokázané (hypotetické) předpoklady. Logicky nerozporným skloubením vznikne modelová hypotéza, která uvádí stávající fakty do vzájemné souvislosti a jejich novým výkladem předpovídá nové skutečnosti. Jestliže se tyto předpovědi prakticky přesvědčivě potvrzí, stává se model vyjádřením ověřené teorie a užité předpoklady lze na daném stupni poznání považovat za pravdivé, i když nebyly přímo ověřeny.

Závažná skupina předpokladů, užívaných při modelování tvorby, struktury i vlastností přízí se týká problému kontinuity. Je-li objekt složen z ohromného počtu částic, pak individualita nějaké částice a její interakce s okolím nejsou pro celek podstatné. Objekt může být vyjádřen modelem spojitého prostředí - kontinua a studovaný známymi metodami matematické analýzy. Pro objekty složené jen z několika částic

je úspěšný model diskontinuus, stavěný způsobem „od částice k částici“. Charakter textilních útvarů je však v nepříjemné „mezipoloze“.

Poznámka: S. Marschik /59/ již v r. 1904 uvedl: „Snad žádný materiál přírodní či vyrobený lidskou rukou neklade vědeckému zkoumání a experimentování tak tvrdosíjný odpor, jako suroviny a výrobky textilního průmyslu. Ba i ty nejjednodušší výrobky přádelny a tkalcovny, které bývají rády připodobněny k homogenním výrobkům strojírenským, mají v důsledku své heterogennosti povahy tak spletité projevy, že teoretické sledování či objasnění dějů, probíhajících při předení, tkání i ve vlastnostech koncových produktů je téměř nemožné.“ (Přeložil autor.)

Pro jednoznačné užití předpokladu kontinua je v přízi příliš málo vláken a pro reálné řešení modelu diskontinua je jich příliš mnoho. Speciální matematický kalkul vhodný pro právě takové objekty neexistuje. Vznikají proto smíšené varianty obou přístupů, nejčastěji v pojetí vláknko - svazek - útvar. Z několika vláken, tj. základních částic, se nejprve vytváří diskontinuální model reprezentativního vláknenného svazku, ve smyslu „průměrné“ stavební jednotky útvaru. Po jeho zpracování se výsledky interpretují jako zákonitosti diferenciálního elementu a užijí se při zpracování kontinuálního modelu celého útvaru.

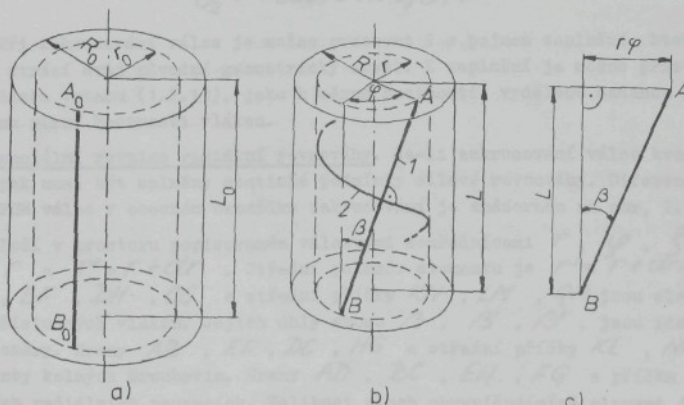
Z pohledu kontinuálních modelů jsou ve variantách tvorby zakroucené příze dle tab. 2. obsaženy 2 základní ideové alternativy: zakrucování válcovité formy pramínku a zakrucování nebo stáčení stužkové formy pramínku.

Diskontinuální hledisko zahrnuje tvary a vzájemné uspořádání jednotlivých vláken. Uvažuje se koncepce šroubovicových modelů a migračních modelů v široké škále různých alternativ.

## 2.2. MODELY ZAKRUCOVÁNÍ KONTINUUA

### 2.2.1. STAVBA VÁLCOVÉHO MODELU

Nejjednodušším případem válcového modelu je kvazistatické zakrucování spojitého válcového tělesa. Ve výchozím, nezakrouceném stavu je znázorněno na obr. 2.1 a),



1 ... šroubovice ideálního vlákna  
2 ... kolmá šroubovice

obr. 2.1

v zakrouceném stavu na obr. 2.1. b).

Základní geometrické pojmy. Zavádí se pojem ideální vlákno, jako množina bodů tvořících v nezakrouceném válci přímku rovnoběžnou s jeho osou. (Tento pojem nemusí v žádnom smyslu souviset s pojmem reálného textilního vlákna; je užíván v mechanice kontinua.)

Jedno ideální vlákno  $A_0B_0$  ležící ve vzdálenosti  $r_0$  od osy nezakrouceného válce je na obr. 2.1 a). Zakrucováním vytvoří šroubovici  $AB$  na novém (menším) poloměru  $r$  - obr. 2.1. b). Válec se stlačuje a jeho výchozí poloměr  $R_0$  se mění na hodnotu  $R$ . Seskáním se délka  $L_0$  výchozího válce zkrátí na délku  $L$ . Znázorněný úhel  $\varphi$  zkrutu vyjadřuje pootočení průřezů, vzdálených o délku  $L$ . Protože zákrut  $Z$  je počet otočení o  $2\pi$  připadajících na délku  $L = 1$ , platí

$$\varphi = 2\pi ZL \quad (2.2.1)$$

Znázorněný úhel  $\beta$  je úhlem zkosu. Po rozvinutí úseku  $AB$  šroubovice do roviny vznikne trojúhelník dle obr. 2.1. c), z něhož užitím (2.2.1) plyne

$$\operatorname{tg} \beta = r\varphi/L = 2\pi rZ \quad (2.2.2)$$

První křivost (flexe)  $k_1$ , a druhá křivost (torze)  $k_2$  ideálního vlákna jsou

$$k_1 = \sin^2 \beta / r \quad (2.2.3)$$

$$k_2 = \sin \beta \cos \beta / r \quad (2.2.4)$$

Na válci s poloměrem  $r$  lze zkonstruovat také šroubovici kolmo protínající ideální vlákno. Její úhel zkosu je  $\beta - \pi/2$ , také pro křivosti  $c_1$  a  $c_2$  platí analogicky

$$c_1 = \cos^2 \beta / r \quad (2.2.5)$$

$$c_2 = -\cos \beta \sin \beta / r \quad (2.2.6)$$

Při zakrucování válce je možno pracovat i s pojmem zaplnění, které ovšem v kontinuu ztrácí svůj původní geometrický smysl. K zaplnění je možno přistupovat jen z hlediska vztahu (1.2.13), jako k měrné hmotnosti, vydělené zadanou konstantou, významu měrné hmotnosti vláken.

Diferenciální rovnice radiální rovnováhy. Je-li zakrucování válce kvazistatickým dějem, pak musí být splněny statické podmínky silové rovnováhy. Diferenciální element ABCDEFGH válce v obecném okamžiku zakrucování je znázorněn na obr. 2.2.

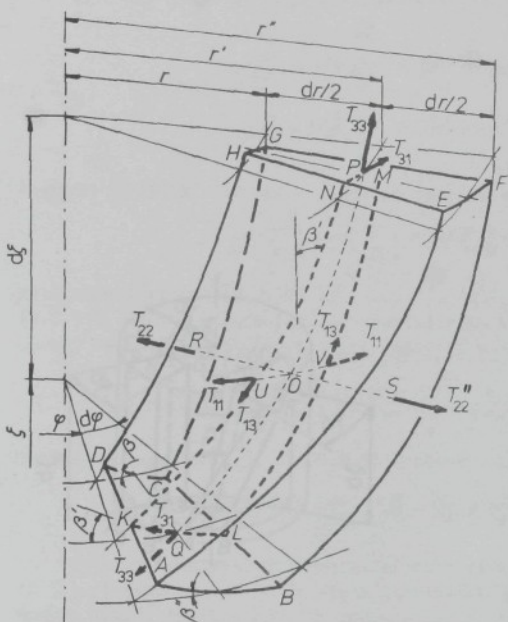
Leží v prostoru popisovaném válcovými souřadnicemi  $r$ ,  $\varphi$ ,  $\xi$ , mezi poloměry  $r$  a  $r'' = r + dr$ . Střední poloměr elementu je  $r' = r + dr/2$ . Hranы  $AE$ ,  $BF$ ,  $DH$ ,  $CG$  a střední příčky  $KN$ ,  $LM$ ,  $QP$  jsou elementy šroubovic příslušných vláken. Jejich úhly zkosu  $\beta$ ,  $\beta'$ ,  $\beta''$ , jsou idexovány ve shodě s poloměry. Hranы  $AB$ ,  $EF$ ,  $DC$ ,  $HG$  a střední příčky  $KL$ ,  $NM$ ,  $UV$  jsou elementy kolmých šroubovic. Hranы  $AD$ ,  $BC$ ,  $EH$ ,  $FG$  a příčka  $RS$  leží na kolmých radiálních paprscích. Velikost ploch ohraňujících element je

$$ABFE = AB \cdot AE = r'' d\varphi d\xi \quad (2.2.7)$$

$$DCGH = DC \cdot DH = r d\varphi d\xi \quad (2.2.8)$$

$$ABCD = EFGH = AD \cdot KL = r' \cos \beta' dr dy \quad (2.2.9)$$

$$AEHD = BFGC = AD \cdot KN = dr d\xi / \cos \beta' \quad (2.2.10)$$



obr. 2.2

znázorněno opět v obr. 2.2. (Pravoúhlý element v obr. 2.2 nelze ztotožňovat s nepravoúhlým, hvězdičkami označeným elementem v obr. 2.3 !) Síly mají symboly  $T_{11}$ ,  $T_{22}$  a  $T_{33}$ ,  $T_{13}$ ,  $T_{31}$  a jsou položeny do středu jednotlivých ploch. Přísluší k nim normálová napětí, značená ve shodě s indexy sil  $\varepsilon_{11}$ ,  $\varepsilon_{22}$ ,  $\varepsilon_{33}$  a smykové napětí  $\tau_{13}$ . Ze symetrie tenzoru napětí plyne  $\tau_{13} = \tau_{31}$ . Vzhledem k osové symetrii zakrucovaní válce se napjatost v prostoru může měnit jen ve směru poloměru. Je-li na ploše  $DCGH$  napětí  $\varepsilon_{22}$ , pak na ploše  $ABFE$  je napětí  $\varepsilon_{22}'' = \varepsilon_{22} + dr_{22}$ . (Jako kladný se bere přírůstek napětí se zvětšujícím se poloměrem.) Každá síla je součinem napětí a plochy, takže

$$T_{11} = \varepsilon_{11} \cdot AEHD = \varepsilon_{11} dr d\xi / \cos \beta' \quad (2.2.11)$$

$$T_{22} = \varepsilon_{22} \cdot DCGH = \varepsilon_{22} r dy d\xi \quad (2.2.12)$$

$$T_{22}'' = \varepsilon_{22}'' \cdot ABFE = (\varepsilon_{22} + dr_{22}) r'' dy d\xi \quad (2.2.13)$$

Silové zatištění ploch  
plyne z charakteru defor-  
mace dle obr. 2.3.  
Výchozí element

$A_o^* B_o^* C_o^* D_o^* E_o^* F_o^* G_o^* H_o^*$   
nezakrouceného válce má  
všechny hrany navzájem  
se kolmo protínající.  
Zakrucovaném přejde do  
zdeformované polohy

$A^* B^* C^* D^* E^* F^* G^* H^*$   
Hrany  $A^* D^*$ ,  $B^* C^*$ ,  
 $E^* H^*$ ,  $F^* G^*$  stále pro-  
tínají kolmo plochy  
 $A^* B^* F^* E^*$  a  $D^* C^* G^* H^*$   
což znamená, že na uve-  
dených plochách nemůže  
být žádná smyková síla.  
Naproti tomu úhly  $E^* F^* B^*$   
či  $H^* G^* C^*$  nezůstávají  
po deformaci pravými.  
Obecně ukazují na exi-  
stenci nenulových smy-  
kových sil ve zbyvají-  
cích plochách.

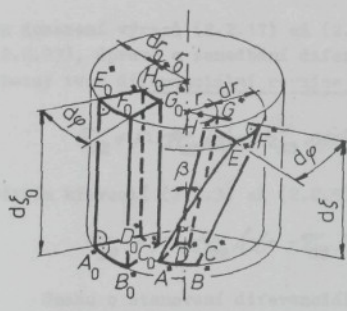
Silové zatištění  
pravoúhlého elementu

$ABCDEFGH$  je

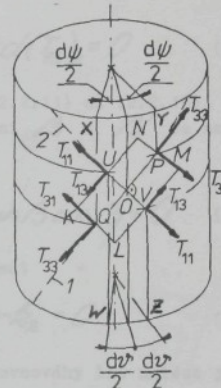
$$T_{33} = \tau_{33} \cdot ABCD = \tau_{33} r' \cos \beta' dr dy \quad (2.2.14)$$

$$T_{13} = \tau_{13} \cdot AEHD = \tau_{13} dr d\delta / \cos \beta' \quad (2.2.15)$$

$$T_{31} = \tau_{13} \cdot ABCD = \tau_{13} r' \cos \beta' dr dy \quad (2.2.16)$$



obr. 2.3



obr. 2.4

Je třeba stanovit průmět jednotlivých sil do radiálního směru - směru spojnice  $RS$  (směru „2“). Průmět  $d(T_{22})_2$  sil  $\bar{T}_{22}$  a  $\bar{T}_{22}$  je přímo dán jejich rozdílem, což užitím (2.2.12), (2.2.13) a  $r'' = r + dr$  vede při zanedbání diferenciálů vyšších řádů na tvar

$$d(T_{22})_2 = \bar{T}_{22}'' - \bar{T}_{22} = \tau_{22} dr dy d\delta + r (\partial \tau_{22} / dr) dr dy d\delta \quad (2.2.17)$$

Vektory ostatních sil leží na válcové ploše s poloměrem  $r'$  a jsou s obrazcem  $KLMN$  samostatně znázorněny na obr. 2.4. Každou zobrazenou sílu  $T$  je třeba rozložit na „svislou“ složku  $\tau T$ , rovnoběžnou s osou válce, a „vodorovnou“ složku  $t T$ , tečnou k příslušné povrchové kružnici válce. Pouze tato „vodorovná“ složka  $t T$  má do radiálního směru nenulový průmět  $t T dy/2$  či  $t T d\delta/2$ ; dvě takové síly mají průmět  $t T dy$  či  $t T d\delta$ . Konkrétně pro radiální průměty dvojic stejně značených sil v obr. 2.4 platí:

$$d(T_{33})_2 = -t T_{33} dy = -T_{33} \sin \beta' dy \quad (2.2.18)$$

$$d(T_{31})_2 = -t T_{31} dy = -T_{31} \cos \beta' dy \quad (2.2.19)$$

$$d(T_{11})_2 = -T_{11} d\theta = -T_{11} \cos\beta' d\theta \quad (2.2.20)$$

$$d(T_{13})_2 = -T_{13} d\theta = -T_{13} \sin\beta' d\theta \quad (2.2.21)$$

Poznámka: Znaménko minus je užito proto, že radiální průměty směřují proti přírůstku poloměru (tj. k ose příze).

Pro úhly  $d\psi$  a  $d\theta$  lze použitím délek  $QP$  a  $UV$  z obr. 2.2 psát podle obr. 2.4

$$d\psi = XY/r' = QP \sin\beta'/r' = \tan\beta' d\zeta/r' \quad (2.2.22)$$

$$d\theta = WZ/r' = UV \cos\beta'/r' = \cos^2\beta' d\psi \quad (2.2.23)$$

Podmínka radiální rovnováhy elementu je dána vztahem

$$d(T_{22})_2 + d(T_{33})_2 + d(T_{12})_2 + d(T_{11})_2 + d(T_{13})_2 = 0 \quad (2.2.24)$$

Po dosazení výrazů (2.2.17) až (2.2.21), užití vztahů (2.2.11) až (2.2.16), (2.2.22), (2.2.23), úprav a zanedbání diferenciálního rozdílu mezi  $\beta$  a  $\beta'$  se nalezne obecný tvar diferenciální rovnice radiální rovnováhy

$$\bar{\epsilon}_{22} + r \cdot d\bar{\epsilon}_{22}/dr - \bar{\epsilon}_{33} \sin^2\beta - \bar{\epsilon}_{11} \cos^2\beta - \bar{\epsilon}_{13} 2 \sin\beta \cos\beta = 0 \quad (2.2.25)$$

Užitím křivosti (2.2.3) až (2.2.5) šroubovic lze také psát

$$\bar{\epsilon}_{22} + r \cdot d\bar{\epsilon}_{22}/dr - \bar{\epsilon}_{33} r k_1 - \bar{\epsilon}_{11} r c_1 - \bar{\epsilon}_{13} 2 r k_2 = 0 \quad (2.2.26)$$

Snahu o stanovení diferenciální rovnice radiální rovnováhy lze nalézt již v práci V.I. Budníkova /14/. Za zjednodušujících předpokladů byl však problém řešen teprve J.W.S. Hearlem /26/ s korekcí R.L.G. Treloara a J.W.S. Hearleho /111/. Obecnější řešení uvažovali C.C. Cheng, J.L. White a K.E. Duckett /16/ a podobně i autor v práci /69/. Zcela obecné řešení ve tvaru (2.2.25) odvodili ve stejně době J.L. White, C.C. Cheng a J.E. Spruiell /116/ a autor /68/.

Deformace a zaplnění. Nezatižený element, znázorněný v obr. 2.3, leží na výchozím poloměru  $r_0$  a má hrany  $A^*D^* = dr$ ,  $B^*G^* = r_0 d\psi$ ,  $D^*H^* = d\zeta$ . Jeho objem je  $dV_0 = A^*D^* \cdot D^*G^* \cdot D^*H^* = r_0 dr d\psi d\zeta$ . Při jeho měrné hmotnosti  $\rho_0$  a měrné hmotnosti vláken  $\rho$  má dle (1.2.13) zaplnění  $M_0 = \rho_0/\rho$  a hmotnost  $dm = dV_0 \cdot \rho_0$ . Zakroucením přejde na nový poloměr  $r$  a jeho tvar se změní. S ohledem na zachování symetrie a spojitosti válce však zůstává nezměněna velikost úhlu  $d\psi$ . Po deformaci jsou délky hran  $A^*D^* = dr$ ,  $D^*C^* = r d\psi$ ,  $D^*H^* = d\zeta/\cos\beta$  nový objem  $dV = A^*D^* \cdot D^*C^* \cdot D^*H^* \cdot \cos\beta = r dr d\psi d\zeta$ , nová měrná hmotnost je  $\rho$  a zaplnění  $M = \rho/\rho_0$ . Hmotnost elementu musí zůstat zachována, takže  $dm = r dr d\psi d\zeta = \rho dV = \rho dV_0$  a platí

$$\mu/M_0 = \rho/\rho_0 = dV/dV_0 = (r dr d\zeta)/((r_0 dr d\zeta)) \quad (2.2.27)$$

Vznik deformace elementu lze vyjádřit v několika myšlených fázích, znázorněných na obr. 2.5. (Výchozí a koncový element jsou označeny shodně s obr. 2.3. Zakřivení elementů je pro zvýraznění hlavní myšlenky v obr. 2.5 vynecháno.) Element je nejprve stlačen z výchozího stavu a) do stavu b). Deformace je určena poměrnými prodlouženimi  $E_1$ ,  $E_2$ ,  $E_3$ .

$$1+\varepsilon_1 = A_1^* B_1^* / A_0^* B_0^* = A_1^* B_1^* / (r_0 dy) \quad (2.2.28)$$

$$1+\varepsilon_2 = A_1^* D_1^* / A_0^* D_0^* = A_1^* D_1^* / dr_0 \quad (2.2.29)$$

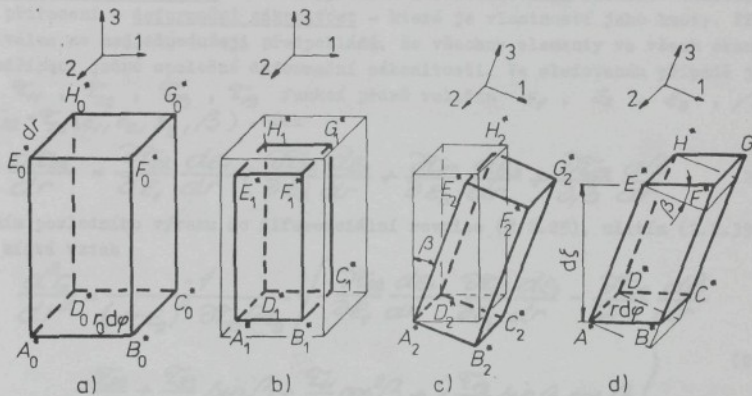
$$1+\varepsilon_3 = A_1^* E_1^* / A_0^* E_0^* = A_1^* E_1^* / d\varrho_0 \quad (2.2.30)$$

Poté je element pootočen kolem osy  $A_1 D_1$  o úhel  $\beta$  do stavu c), aniž dojde k nějaké další deformaci. Následuje zkosení o  $\beta$  do stavu d). Délka původní úsečky  $A_2^* B_2^*$  se tím změní na  $A^* B^*$ ; podobně i  $D^* C^*, E^* F^*, H^* G^*$ . Ostatní délky hran zůstávají nezměněné.

$$A_1^* B_1^* = A_2^* B_2^* = A^* B^* \cos \beta = r \cos \beta dy \quad (2.2.31)$$

$$A_1^* D_1^* = A_2^* D_2^* = A^* D^* = dr \quad (2.2.32)$$

$$A_1^* E_1^* = A_2^* E_2^* = A^* E^* = d\varrho / \cos \beta \quad (2.2.33)$$



obr. 2.5

Užitím posledních výrazů v (2.2.28) až (2.2.30) plyne

$$1+\varepsilon_1 = (r/r_0) \cos \beta \quad (2.2.34)$$

$$1+\varepsilon_2 = dr/dr_0 \quad (2.2.35)$$

$$1+\varepsilon_3 = (d\varrho/d\varrho_0) / \cos \beta \quad (2.2.36)$$

Pro zaplnění z (2.2.27) nyní platí

$$\mu = \mu_0 / [(1+\varepsilon_1)(1+\varepsilon_2)(1+\varepsilon_3)] \quad (2.2.37)$$

Deformovanost elementu je v přízi plně popsána čtyřmi veličinami: poměrnými prodlouženími  $\varepsilon_1, \varepsilon_2, \varepsilon_3$  pravoúhlého elementu a úhlem  $\beta$  zkosení.

V každém okamžiku zakrucování existují okamžitý zákrut  $Z$  a okamžitá hodnota  $d\zeta/d\epsilon$  zkracení osové délky jako konstanty spojené všem elementům válce. Dále v každém okamžiku existuje nějaká rostoucí spojitá funkce  $r_0 = r_0(r)$ , určující z jakého výchozího poloměru  $r_0$  vyšel element, vyskytující se právě na poloměru  $r$ . Z (2.2.2) a (2.2.34) až (2.2.36) je nyní zřejmé, že  $E_1, E_2, E_3, \beta$  jsou funkce jediné proměnné  $r$ . Jejich derivováním se získá

$$dE_1/dr = [(1+E_1)/r] \cdot [\cos^2 \beta - (1+E_1)/[(1+E_2)\cos \beta]] \quad (2.2.38)$$

$$dE_2/dr = -(1+E_2)^2 (dr_0/dr^2) \quad (2.2.39)$$

$$dE_3/dr = (d\zeta/dE_0) \operatorname{tg} \beta \sin \beta / r \quad (2.2.40)$$

$$d\beta/dr = \sin \beta \cos \beta / r \quad (2.2.41)$$

Při úpravách je vhodné vyjádřit (2.2.2) tvarem  $\cos \beta = 1/\sqrt{1+(2\pi r)^2}$  a odvodit nejprve  $d(\cos \beta)/dr = -\sin^2 \beta \cos \beta / r$ .

Vliv deformační zákonitosti. Mezi napjatostí a zdeformovaným elementu existuje jednoznačné přiřazení - deformační zákonitost - která je vlastností jeho hmoty. Při zakrucování válce se nejjednodušeji předpokládá, že všechny elementy ve všech okamžicích jsou podřízeny jedné společné deformační zákonitosti. Ve sledovaném případě je každé napětí  $\tau_{11}, \tau_{22}, \tau_{33}, \tau_{12}$  funkcí právě veličin  $E_1, E_2, E_3, \beta$ ; např.  $\tau_{22} = \tau_{22}(E_1, E_2, E_3, \beta)$ . Pak

$$\frac{d\tau_{22}}{dr} = \frac{\partial \tau_{22}}{\partial E_1} \frac{dE_1}{dr} + \frac{\partial \tau_{22}}{\partial E_2} \frac{dE_2}{dr} + \frac{\partial \tau_{22}}{\partial E_3} \frac{dE_3}{dr} + \frac{\partial \tau_{22}}{\partial \beta} \frac{d\beta}{dr} \quad (2.2.42)$$

Dosazením posledního výrazu do diferenciální rovnice (2.2.25), užitím (2.2.39) a úpravou se získá vztah

$$\begin{aligned} \frac{d^2 r_0}{dr^2} &= \frac{-1}{(1+E_2)^2 \cdot \partial \tau_{22} / \partial E_2} \left( -\frac{\partial \tau_{22}}{\partial E_1} \frac{dE_1}{dr} - \frac{\partial \tau_{22}}{\partial E_3} \frac{dE_3}{dr} - \frac{\partial \tau_{22}}{\partial \beta} \frac{d\beta}{dr} \right. \\ &\quad \left. - \frac{\tau_{22}}{r} + \frac{\tau_{33}}{r} \sin \beta + \frac{\tau_{11}}{r} \cos^2 \beta + 2 \frac{\tau_{12}}{r} \sin \beta \cos \beta \right) \end{aligned} \quad (2.2.43)$$

což je obyčejná dieferenciální rovnice 2. řádu s explicitně vyjádřenou druhou derivací typu

$$d^2 r_0/dr^2 = f(r, r_0, dr_0/dr) \quad (2.2.44)$$

jejímž řešením je funkce  $r_0 = r_0(r)$ .

Počáteční podmínky. V okolí každého vnitřního bodu spojitého prostředí - kontinua, je průběh napětí a deformací hladký. Bod na ose zakrucovaného válce je též vnitřním bodem, takže průběh deformace  $E_2$  v jeho okolí je hladký, avšak současně musí být osově symetrický. Splnění obou podmínek lze dosáhnout jen za předpokladu  $\lim_{r \rightarrow 0} (dE_2/dr) = 0$ . Užitím (2.2.39), kde  $(1+E_2)$  nemůže být rovno 0, vede k výrazu

$$\lim_{r \rightarrow 0} (d^2 r_0/dr^2) = 0 \quad (2.2.45)$$

Průběh funkce  $r_0 = r_0(r)$  v okolí bodu  $r = 0$  lze na základě posledního výrazu charakterizovat vztahy

$$dr_0/dr = k \dots \text{konstanta} \quad (2.2.46)$$

$$r_0 = kr \quad (2.2.47)$$

Zde se respektuje přirozený požadavek  $r_0 = 0$  pro  $r = 0$ , Z (2.2.2) a (2.2.34) až (2.2.36) nyní plyne

$$\lim_{r \rightarrow 0} (\beta) = 0 \quad (2.2.48)$$

$$\lim_{r \rightarrow 0} (1+\epsilon_1) = \lim_{r \rightarrow 0} (1+\epsilon_2) = 1/k \quad (2.2.49)$$

$$\lim_{r \rightarrow 0} (1+\epsilon_3) = d\epsilon/d\epsilon_0 \quad (2.2.50)$$

Pro zaplnění  $\mu_{r=0}$  v ose válce platí z (2.2.37)

$$\mu_{r=0} = \lim_{r \rightarrow 0} \mu = \mu_0 k^2 d\epsilon/d\epsilon_0 \quad (2.2.51)$$

Za počáteční podmínky je možno považovat

- 1) Průchod bodem  $r = 0$ ,  $r_0 = 0$ .
- 2) Hodnotu prvé derivace  $dr_0/dr = k$  v počátku.

Nulová počáteční hodnota druhé derivace dle (2.2.45) je již jen přirozeným důsledkem vlastnosti kontinua. Analogickou úvahou lze také nalézt

$$\lim_{r \rightarrow 0} d\epsilon_2/dr = 0 \quad (2.2.52)$$

což z hlediska diferenciální rovnice (2.2.25) znamená, že

$$\lim_{r \rightarrow 0} \epsilon_{22} = \lim_{r \rightarrow 0} \epsilon_{11} \quad (2.2.53)$$

V ose válce nedochází ke smykové deformaci, úhel  $\beta$  je nulový a pro smykové napětí platí

$$\lim_{r \rightarrow 0} \epsilon_{33} = 0 \quad (2.2.54)$$

Souhrnně v počátku  $r = 0$  je  $r_0 = 0$ ,  $dr_0/dr = k$ ,  $d^2r_0/dr^2 = 0$ ,  $1+\epsilon_1 = 1+\epsilon_2 = 1/k$ ,  $1+\epsilon_3 = d\epsilon/d\epsilon_0$ ,  $\beta = 0$ ,  $d\epsilon_2/dr = 0$ ,  $\epsilon_{33} = 0$ ; hodnoty  $\epsilon_{11} = \epsilon_{22}$  a  $\epsilon_{33}$  je nutno vypočítat z konkrétně užité deformační zákonitosti.

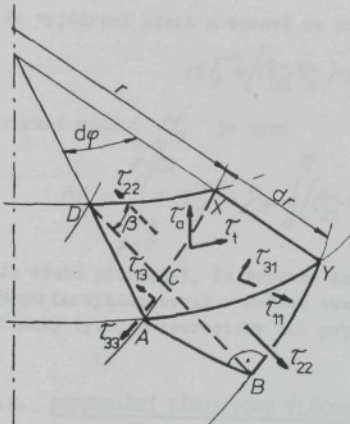
Postup řešení. Žádoucím řešením diferenciální rovnice (2.2.43) je funkce  $r_0 = r_0(r)$  vyhovující zadaným počátečním podmínkám. Nutné vstupní informace pro řešení tvoří:

- 1) deformační zákonitost, vyjadřující jednotlivá napětí  $\epsilon_{11}$ ,  $\epsilon_{22}$ ,  $\epsilon_{33}$ ,  $\epsilon_{33}$  jako funkce veličin  $\epsilon_1$ ,  $\epsilon_2$ ,  $\epsilon_3$ ,  $\beta$ . Vyskytuje se v nich charakteristické konstanty, kupř. moduly pružnosti, zaplnění  $\mu$  nezatiženého válce.
- 2) hodnota  $d\epsilon/d\epsilon_0$  změny osové délky válce je určena sledovaným okamžikem a vnějšími podmínkami procesu zakrucování. Ve výsledné přízi je vyjádřena poměrným prodloužením zákrutem  $d\epsilon/d\epsilon_0 = \lambda$  dle (1.3.50).
- 3) zákrut  $Z$ , vystihující sledovaný okamžik zakrucování
- 4) hodnota  $dr_0/dr = k$  v počátku  $r = 0$ . Při znalosti zaplnění  $\mu_0$  výchozího nezakrouceného válce ji lze stanovit vztahem (2.2.51) z volby zaplnění  $\mu_{r=0}$  v ose.

Pravou stranu rovnice (2.2.43) je třeba upravit, nebo výpočet algoritmizovat následujícím postupem:

- Z deformační zákonitosti se vyjádří jednotlivá napětí a jejich parciální derivace jako funkce  $\varepsilon_1, \varepsilon_2, \varepsilon_3, \beta$
- Veličiny  $\varepsilon_1, \varepsilon_2, \varepsilon_3, \beta$  a jejich derivace se vyjádří užitím (2.2.2), (2.2.34) až (2.2.36), (2.2.38) až (2.2.41) jako funkce  $r, r_0, dr/dr$ .

Tak se získá výraz ve formě (2.2.44), který však jen výjimečně bývá řešitelný analyticky. Obvykle je nutno užít numerické řešení. Neznámá počáteční hodnota  $dr/dr = k$  bývá nahrazována nějakou podmínkou okrajovou.



obr. 2.6

Dosažitelné výsledky. Z funkce  $r_0 = r_0(r)$  lze vyhodnotit:

- Radiální průběh deformací  $\varepsilon_1, \varepsilon_2, \varepsilon_3$  z rovnice (2.2.34) až (2.2.36) za užití (2.2.2)
- Radiální průběh zaplňení  $\alpha$  z rovnice (2.2.37)
- Radiální průběh napětí  $\tau_{11}, \tau_{22}, \tau_{33}, \tau_{12}$  z rovnice užitého deformačního zákona.
- Osové napnutí příze. Výsek elementu z obr. 2.2 rovinou kolmou k ose válce je znázorněn na obr. 2.6 včetně působících napětí.

Velikosti jednotlivých plošek jsou:

$$ADXY = r d\varphi dr, \quad ABCD = ADXY \cos \beta, \\ BCXY = ADXY \sin \beta. \quad \text{Síla } dT_\alpha^* \text{ působící na ploše } ADXY \text{ je}$$

$$dT_\alpha^* = ADXY \cdot \tau_\alpha = ABCD \cdot (\tau_{33} \cos \beta - \tau_{33} \sin \beta) + BCXY (\tau_{11} \sin \beta - \tau_{22} \cos \beta) \quad (2.2.55)$$

Dosazením a úpravou se nalezne

$$dT_\alpha^* = (\tau_{11} \sin^2 \beta + \tau_{33} \cos^2 \beta - \tau_{33} \sin 2\beta) r dr d\varphi \quad (2.2.56)$$

Odtud celková síla osového napnutí v přízi je

$$T_\alpha^* = \iint_{\substack{r=0 \\ \varphi=0}}^R dT_\alpha^* = 2\pi \int_0^R (\tau_{11} \sin^2 \beta + \tau_{33} \cos^2 \beta - \tau_{33} \sin 2\beta) r dr \quad (2.2.57)$$

- Poloměr  $R$  zakrouceného válce, nutný též pro předchozí výraz, je určen z funkce  $r_0 = r_0(r)$ . Je-li  $r = R$ , pak  $r_0 = R_0$  je právě známý poloměr výchozího nezakrouceného válce.
- Seskání. Opakováním výpočtem  $T_\alpha^*$  pro různé hodnoty  $d\delta/d\delta_0$  lze nalézt právě takovou hodnotu, při které je  $T_\alpha^* = 0$ . Pak  $d\delta/d\delta_0 = (1-\delta)$  vyjadřuje seskání  $\delta$ . Je možno vyjádřit hodnotu neutrálního poloměru  $r_n$ , určeného podmínkou  $\varepsilon_3 = 0$ . Z (2.2.36) je za užití (2.2.2)

$$r_n = \sqrt{\frac{1}{(1-\delta)^2} - 1 / (2\pi Z)} \quad (2.2.58)$$

7) Tahovou křivku. Pro obecné  $d\zeta/d\zeta_0$  vyjadřuje výraz

$$\varepsilon = (d\zeta/d\zeta_0)/(1-\delta) - 1 \quad (2.2.59)$$

poměrné prodloužení válce, vzhledem k jeho nenapnuté délce. Opakováním výpočty s různým  $d\zeta/d\zeta_0$  lze vyhledávat přiřazení  $\zeta^*$  k  $\varepsilon$ , tj. body tahové křivky.

8) Torzní moment. Podobně jako osové napnutí je také torzní moment možno odvodit z obr. 2.6. Pro tečnou sílu  $dT_t^*$  platí

$$dT_t^* = ADXY \cdot \zeta_3 = ABCD(\zeta_{33} \sin \beta + \zeta_{13} \cos \beta) + BCXY(-\zeta_{33} \cos \beta - \zeta_{13} \sin \beta) \quad (2.2.60)$$

Po vyjádření ploch a úpravě se nalezne

$$dT_t^* = [(\zeta_{33} - \zeta_{11}) \sin 2\beta/2 + \zeta_{13} \cos 2\beta] r dr dy \quad (2.2.61)$$

Torzní moment  $M_t$  je nyní

$$M_t = \iint_{r=0}^{r=R} \iint_{\varphi=0}^{\varphi=2\pi} [(\zeta_{33} - \zeta_{11}) \sin 2\beta/2 + \zeta_{13} \cos 2\beta] r^2 dr d\varphi \quad (2.2.62)$$

Je třeba zdůraznit, že popsané informace podle předchozího, autorem vypracovaného po-  
stupu lze vyhodnocovat v každém okamžiku zakrucovacího procesu, stanovovat jejich  
časový vývoj a teoreticky tak popisovat zakrucování jako děj.

## 2.2.2. DEFORMAČNÍ ZÁKONITOST VLÁKENNÉHO MATERIÁLU

Při modelování procesu tvorby příze zakrucováním je nezbytné užít konkrétní de-  
formační zákonitost, tj. závislost mezi napětími a deformacemi. Pro textilní mate-  
riály není dosud formační zákonitost uspokojivě prozkoumána a platnost užívaných  
výrazů je vždy do určité míry omezená. J.W.S. Hearle a kol. /34/ užívají lineární  
teorii pružnosti. Autor /68, 78/ užil nelineární formu, která však dostatečně nesou-  
hlasí s experimentální ověřenou zákonitostí stlačování dle výrazu (1.2.43).

Základem zde rozvíjené autorovou myšlenky je zmíněný výraz (1.2.43), jenž vy-  
jadřuje vztah mezi tlakem  $P$  a zaplněním  $\mu$  při daném mezním zaplnění  $\mu_m$   
a konstantě  $k_p$ . Byl odvozen a ověřen pro speciální případ lisování materiálu do  
tuhé, nedeformovatelné krabičky (boxu).

Obecná situace zatěžování vláknenného materiálu normálovými silami je znázorně-  
na na obr. 2.7. Působením napětí  $\zeta_{11}$ ,  $\zeta_{22}$ ,  $\zeta_{33}$  je výchozí útvar zdeformován  
poměrnými prodlouženími  $\varepsilon_1$ ,  $\varepsilon_2$ ,  $\varepsilon_3$ . Současný systém je zvolen tak, že uspo-  
řádání reálných vláken preferuje směr „3“. V rovině kolmé k tomuto směru se předpo-  
kládá isotropie.

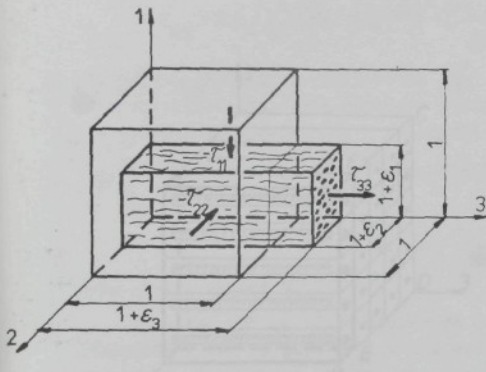
V případě  $\varepsilon_2 = \varepsilon_3 = 0$  je tlak  $-\zeta_{11}$  dle (1.2.43) roven  $-\zeta_{11} = P =$   
 $k_p \mu^3 / (1 - \mu^3 / \mu_m^3)^{1/3}$ . Původně byl odvozen jen tvar (1.2.37)  $P = k_p \mu^3$ . Později  
byl zvážen ještě vliv lokalit s mezním zaplněním, což mělo za následek vydělení  
pravé strany členem  $(1 - \mu^3 / \mu_m^3)^{1/3}$ . Zaplnění  $\mu$  se tak vyskytuje v čitateli  
a jmenovateli vzorce (1.2.43) ze zřetelně jiného důvodu. V čitateli zobrazuje  
deformaci materiálu v právě uvažovaném speciálním případě namáhání; podle (2.2.37)  
je zde  $\mu = \mu_0 / (1 + E_1)$ . Naproti tomu ve jmenovateli je  $\mu$  součástí členu,  
který vyjadřuje objemový vliv dále nedeformovatelných lokalit (míst kontaktu);

vystupuje v objemovém významu. Toto odlišení je bezvýznamné při stlačování materiálu do boxu. V obecnějším případě namáhání je však důležité.

Element zdeformovaný dle obr. 2.7 má nenulová poměrná prodloužení  $\epsilon_1$ ,

$\epsilon_2$ ,  $\epsilon_3$ . Předpokládá se, že do směru "1" přináší ohyby vláken bez vlivu lokalit s mezním zaplněním, tj. ohyby zvažované i v odvození (1.2.37), opět sílu  $k_p [(\mu / (1 + \epsilon_i))^3]$ , či podle (2.2.37)  $k_p \mu^3 (1 + \epsilon_2)^3 (1 + \epsilon_3)^3$ ; tedy již ne jen  $k_p \mu^3$ . Tato tlaková síla se ovšem nyní uplatňuje na ploše  $(1 + \epsilon_2)(1 + \epsilon_3)$ , takže způsobuje tlakové napětí  $k_p [\mu ((1 + \epsilon_2)(1 + \epsilon_3))^3] / [(1 + \epsilon_2)(1 + \epsilon_3)]$ .

Objem lokalit s mezním zaplněním je určen celkovým zaplněním  $\mu$  a je nyní stejně jako dříve zahrnut do výsledného vztahu dělením členem  $(1 - \mu^3 / \mu_m^3)^3$ . V popsaném případě je výsledný "autonomní" tlak  $P_1$  do směru "1" od uvažovaných ohybově zdeformovaných vláken určen výrazem



obr. 2.7

$$P_1 = k_p [\mu^3 / ((1 + \epsilon_1)^3 - \mu^3)] / [(1 - \mu^3 / \mu_m^3)^3 \cdot (1 + \epsilon_2)(1 + \epsilon_3)] \quad (2.2.63)$$

Jistou nepřesnosti posledního výrazu, ale i původního vztahu (1.2.43) je malý, leč přesto nenulový tlak při  $\epsilon_1 = 0$ . Tento vliv lze zachytit korekčním členem v čitateli, takže pak

$$P_1 = k_p [\mu^3 / ((1 + \epsilon_1)^3 - \mu^3)] / [(1 - \mu^3 / \mu_m^3)^3 \cdot (1 + \epsilon_2)(1 + \epsilon_3)] \quad (2.2.64)$$

Hodnota  $t_1 = -P_1$  vyjadřuje napětí. Je to složka napětí  $\sigma_{11}$ , vyvozená ohybem vláken v důsledku deformace  $\epsilon_1$ . Zavedením symboliky

$$\psi = k_p \mu^2 \mu / (1 - \mu^3 / \mu_m^3)^3 \quad (2.2.65)$$

$$\xi_i = (1 + \epsilon_i) - 1 / (1 + \epsilon_i)^2 \quad ; \quad i = 1, 2 \quad (2.2.66)$$

a užitím (2.2.37) v (2.2.64) se po úpravě získá

$$t_1 = \psi \xi_1 \quad (2.2.67)$$

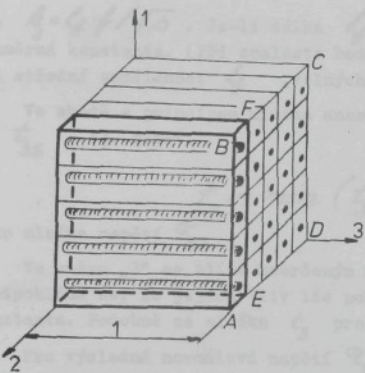
Z důvodu isotropie lze analogicky definovat složku  $t_2$  napětí  $\sigma_{22}$  vztahem

$$t_2 = \psi \xi_2 \quad (2.2.68)$$

Ohyby vláken, jež ve směru "2" vyvolávají složku napětí  $t_2$ , se však neví, bliže neurčeným mechanismem, promítají také do směru "1". Tato druhá složka napětí  $\sigma_{11}$  je nejjednodušší uvažována jako veličina  $A t_2$ , kde  $A$  je vhodná materiálová

konstanta. Druhou složkou napětí  $\tau_{22}$  je pak při předpokládané isotropii zcela analogicky veličina  $At_1$ .

Avšak výrazy  $t_1 + At_2$ ,  $t_2 + At_1$ , ještě plně neurčují výsledná napětí  $\tau_{11}$ ,  $\tau_{22}$ . Důvodem je existující napětí ve směru "3", směru převažující orientace vláken.



obr. 2.8

mezi sebou. Povrchová vrstva s řezem  $ABFE$

V reálném uspořádání vláken připadá dle rovnice (1.2.26) na jednotku jejich délky  $\mu/k_g$  kontaktů. (Konstanta  $k_g$  vyjadřuje vliv jemnosti a orientace.) V dané povrchové vrstvě je tak celkový počet

$$j = (\mu \sqrt{m} / k_g) = \mu^{3/2} / (k_g \sqrt{s}) \quad (2.2.70)$$

mezivlákenných kontaktů.

Na znázorněnou povrchovou vrstvu směrem "2" působí součet  $t_2 + At_1$  napěťových složek, odvozených ze směru "1" a "2". Je-li hodnota  $t_2 + At_1$  záporná - tlaková, pak se v mezivlákenných kontaktech projeví jako normálová síla, schopná vyvodit efekt tření. Při označení

$$t_2^* = \begin{cases} t_2 + At_1 & ; \text{ při } (t_2 + At_1) < 0 \\ 0 & ; \text{ při } (t_2 + At_1) \geq 0 \end{cases} \quad (2.2.71)$$

připadne na 1 kontakt normálová síla  $-t_2^*/j$ . Zcela analogicky zavedením

$$t_1^* = \begin{cases} t_1 + At_2 & ; \text{ při } (t_1 + At_2) < 0 \\ 0 & ; \text{ při } (t_1 + At_2) \geq 0 \end{cases} \quad (2.2.72)$$

připadá ze směru "1" na 1 kontakt normálová síla  $-t_1^*/j$  a celková normálová síla v jednom kontaktu je  $-(t_1^* + t_2^*)/j$ . Pro prokluz vlákna v jednom kontaktu je nutno

V jednotkové krychli stlačeného materiálu na obr. 2.8 jsou znázorněna vlákna v ideálně pravidelném uspořádání. V ploše  $ABCD$  je  $m$  průřezu vláken, každý s plochou  $s$ . Zaplnění jednotkové plochy  $ABCD$  a tím i jednotkové krychle je  $\mu = m \cdot s$ . Má-li každé vlákno poměrné prodloužení  $\epsilon_3$  a napětí v něm je  $E\epsilon_3$ , kde  $E$  je Youngův modul pružnosti vlákna, pak ve všech znázorněných vláknách existuje souhrnná síla

$$t_{3T} = E\epsilon_3 m \cdot s = E\epsilon_3 \mu \quad (2.2.69)$$

která působí v jednotkové ploše  $ABCD$ , takže se jedná přímo o napětí. Užitý předpoklad linearity může být obecně jiný v tahu a v tlaku;  $E_{TAH} \neq E_{TLAK}$ .

Je-li hodnota  $t_{3T}$  dostatečně velká, vznikne zejména u spředatelných staplových vláken možnost prokluzu, a to jak konců vláken, tak i krátkých sousedních úseků téhož vlákna obsahují  $\sqrt{m} = \sqrt{\mu/s}$  vláken délky 1.

překonat třecí odpor  $f \cdot (t_1^* + t_2^*)/j$ , kde  $f$  označuje koeficient tření.

Aby mohlo dojít k prokluzu, musí existovat na vlákně „volné“ prvky - volný konec, volný oblouček či smyčka apod. Průměrná vzdálenost  $\ell_f$  mezi dvěma sousedními „volnými“ prvky obsahuje  $\ell_f \cdot (\mu/k_s)$  kontaktů, jejichž tření je při prokluzu nutno překonat silou  $[f \cdot (\mu/k_s)] \cdot [f \cdot (t_1^* + t_2^*)/j]$ . Na obr. 2.8 je v jednotkové ploše ABCD  $m = \mu/6$  vláken, a proto napětí  $t_{3S}$  nutné k zajištění prokluzu je

$$t_{3S} = m [\ell_f \cdot (\mu/k_s)] / [f \cdot (t_1^* + t_2^*)/j] = -k_s \ell_f (\mu/k_s) (t_1^* + t_2^*) \quad (2.2.73)$$

kde  $k_s = \ell_f \cdot f / \sqrt{S}$ . Je-li délka  $\ell_f$  konstantní, je  $k_s$  pro daný materiál bezrozměrná konstanta. (Při znalosti hodnoty  $k_s$  lze pro daný materiál zpětně vypočítat střední vzdálenost  $\ell_f$  „volných“ prvků na vlákně.)

Ve shodě s principem minima energie se ve směru „3“ uplatní menší z napětí  $t_{3T}$  a  $t_{3S}$ , tj. napětí

$$t_3 = \min (t_{3T}, t_{3S}) \quad (2.2.74)$$

jako složka napětí  $\bar{\tau}_{33}$ .

Ve směru „3“ se blíže neurčeným mechanismem uplatňují navíc i napětí  $t_1$  a  $t_2$ . Předpokládá se, že jejich vliv lze popsat hodnotami  $Bt_1$  a  $Bt_2$ , kde  $B$  je vhodná konstanta. Podobně se složka  $t_3$  projevuje podílem  $Bt_3$  ve směrech „1“ a „2“.

Pro výsledná normálová napětí  $\bar{\tau}_{11}$ ,  $\bar{\tau}_{22}$ ,  $\bar{\tau}_{33}$  pak souhrnně platí

$$\bar{\tau}_{11} = t_1 + At_2 + Bt_3 \quad (2.2.75)$$

$$\bar{\tau}_{22} = At_1 + t_2 + Bt_3 \quad (2.2.76)$$

$$\bar{\tau}_{33} = Bt_1 + Bt_2 + t_3 \quad (2.2.77)$$

Ve speciálním případě stlačování materiálu do boxu, kdy  $E_2 = E = 0$ , platí  $t_2 = 0$  a  $t_3 = 0$ , takže pouze  $t_1 = k_s [(\mu^3/(4E_i^3)) - \mu_0^3] / (1 - \mu^3/\mu_m^3)^3 \neq 0$ . Potom  $\bar{\tau}_{11} = t_1$ ,  $\bar{\tau}_{22} = At_1$ ,  $\bar{\tau}_{33} = Bt_1$ , a poměr  $\bar{\tau}_{22}/\bar{\tau}_{11} = A$ . Vztah poměru  $\bar{\tau}_{22}/\bar{\tau}_{11}$  k napětí  $\bar{\tau}_{11}$  v daném případě namáhání sledovali experimentálně J.W.S. Hearle a H.M. El-Behery /27/. Ukázalo se, že s růstem tlaku  $-\bar{\tau}_{11}$  se poměr  $\bar{\tau}_{22}/\bar{\tau}_{11}$  vskutku ustaluje na konstantní hodnotě a to pro pramen z VS na  $A \approx 0,35$ , pro pramen bavlněný na  $A \approx 0,50$ .

Při aplikaci uvedeného modelu v diferenciální rovnici radiální rovnováhy se užívají též některé derivace. Z rovnice (2.2.37) vyplývá

$$\partial u / \partial \varepsilon_i = -u / (4E_i) \quad ; \quad i = 1, 2, 3 \quad (2.2.78)$$

Derivováním (2.2.65) se obdrží

$$dy/du = y \varphi / u \quad (2.2.79)$$

kde

$$\varphi = (1 + 8u^3/\mu_m^3) / (1 - u^3/\mu_m^3) \quad (2.2.80)$$

dále z (2.2.66)

$$d\varepsilon_i / dE_i = 3 - 2\varepsilon_i / (1 + \varepsilon_i) \quad (2.2.81)$$

Z (2.2.67) a (2.2.68) se derivováním získá

$$\begin{aligned} \partial t_{j+i} / \partial \varepsilon_i &= (\text{dy/d}\mu)(\partial \mu / \varepsilon_i) \xi_j \\ \partial t_i / \partial \varepsilon_i &= (\text{dy/d}\mu)(\partial \mu / \partial \varepsilon_i) \xi_i + \psi (\partial \xi_i / \partial \varepsilon_i) \end{aligned} \quad \left. \right\} (2.2.82)$$

Z (2.2.69) plynne

$$\begin{aligned} \partial t_{3T} / \partial \varepsilon_{i+3} &= -t_{3T} / (1+\varepsilon_i) \\ \partial t_{3T} / \partial \varepsilon_3 &= -t_{3T} / (1+\varepsilon_3) + E \mu \end{aligned} \quad \left. \right\} (2.2.83)$$

Derivováním (2.2.73) vznikne vztah

$$\partial t_{3S} / \partial \varepsilon_i = -t_{3S} / [2(1+\varepsilon_i)] - k_s \sqrt{\mu} (\partial t_1^* / \partial \varepsilon_i + \partial t_2^* / \partial \varepsilon_i) \quad (2.2.84)$$

kde dle (2.2.71) a (2.2.72)

$$\begin{aligned} \partial t_1^* / \partial \varepsilon_i &= \partial t_1 / \partial \varepsilon_i + A \partial t_2 / \partial \varepsilon_i ; t_1^* \neq 0 \\ \partial t_1^* / \partial \varepsilon_i &= 0 ; \quad t_1^* = 0 \\ \partial t_2^* / \partial \varepsilon_i &= A \partial t_1 / \partial \varepsilon_i + \partial t_2 / \partial \varepsilon_i ; t_2^* \neq 0 \\ \partial t_2^* / \partial \varepsilon_i &= 0 ; \quad t_2^* = 0 \end{aligned} \quad \left. \right\} (2.2.85)$$

Nyní již lze vyčíslit z (2.2.76) derivace

$$\partial \tilde{\varepsilon}_{22} / \partial \varepsilon_i = A \partial t_1 / \partial \varepsilon_i + \partial t_2 / \partial \varepsilon_i + B \partial t_3 / \partial \varepsilon_i \quad (2.2.86)$$

nutné při řešení diferenciální rovnice radiaální rovnováhy. (Za hodnotu  $t_3$  je dle (2.2.74) třeba považovat menší z výrazů  $t_{3T}$ ,  $t_{3S}$ .)

Zcela obecný model deformační zákonitosti by vyžadoval ještě zavedení smykových napětí. Zde se však v souladu se zjednodušením užitym již J.W. Hearlem /34/ předpokládá, že smykové napětí  $\tilde{\varepsilon}_{13}$  je v přízi podstatně menší než napětí normálová a může být zanedbáno; předpoklad je vyjádřen vztahem

$$\tilde{\varepsilon}_{13} = 0 \quad (2.2.87)$$

Popsaný model, zobecňující zákonitost (1.2.43) je samozřejmě do určité míry spekulativní. V jistém smyslu je vlastně modelem nejjednodušším, neboť je lineární z hlediska rovnic (2.2.75) až (2.2.77).

### 2.2.3. NUMERICKÉ VÝPOČTY, EXPERIMENTÁLNÍ VÝSLEDKY A DISKUSE VÁLCOVÉHO MODELU

Numerické výsledky plynoucí z popsaného řešení válcového modelu je třeba srovnávat s experimentálně stanovenými skutečnostmi. Jako příklad je zde užita příze bavlnářského typu klasicky předená ze 100% viskózových vláken.

Vstupní hodnoty. V počáteční části tahové křivky použitých vláken bylo naměřeno napětí 0,1 N/tex při prodloužení  $\varepsilon = 0,035$ . To odpovídá modulu  $E = 0,1 / 0,035 = 2,857$  N/tex a přepočtem za užití měrné hmotnosti  $\rho = 1500 \text{ kg.m}^{-3}$  se nalezně  $E = 4285,5 \text{ MPa}$ . (Hodnota je ve výpočtech užita pro tah i tlak.) Hodnota konstanty  $k_p$  byla stanovena z experimentů P.D. Baljasova /31/; u paralelně uspořádaných viskózových vláken je  $k_p = 55 \text{ MPa}$ . Pro konstantu  $k_s$  se ukázala jako vhodná hodnota  $k_s = 80$ .

Poznámka: Pro statický koeficient tření viskózových vláken nalezli dle /40/ N. Gralén a B. Olofsson hodnotu  $f = 0,3$ ; N. Gralén pak krutnou metodou

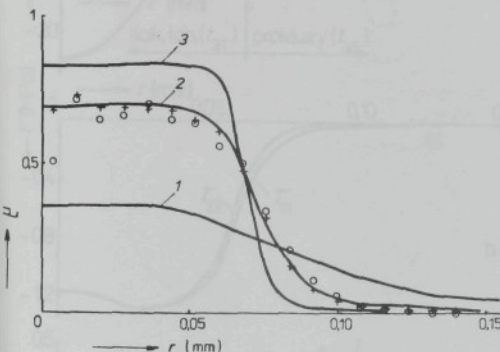
$\frac{f}{d} = 0,43$ . Užívali se pro vlákna 0,162 tex (s plochou příčného řezu  $d = 108 \mu m^2$ ) přibližně  $\frac{f}{d} = 0,36$ , pak z definice  $\frac{f}{d}$  (za rovnici (2.2.73)) plyne střední délka mezi "volnými" prvky  $\frac{f}{d} = 2,3$  mm, což víceméně souhlasí s intuitivní představou.

Experimenty, které uskutečnili J.W.S. Hearle a H.M. El-Behery /27/, vedou pro viskozová vlákna k hodnotě konstanty  $A = 0,35$ . Konstanta  $B$  byla po zkoušenostech volena jako  $B = 0$ . (Již nepatrna hodnota  $B$ , rádově  $10^{-3}$  až  $10^{-4}$ , diametrálně změní výsledky do podoby nepřijatelné pro reálnou přízi. Ostatně  $B=0$  je pro velmi orientovaný materiál předpokladem logicky velmi přirozeným.) Pro počáteční zaplnění je v analogii k pramenům, rounům a jiným "volným" vláknovým útvarům užíváno  $C_0 = 0,01$ . (V „rozumném“ rozsahu není výpočet na tuto hodnotu příliš citlivý.) Pro mezni zaplnění se užívá hodnoty  $C_m = 1$ .

Veličina  $\frac{df}{dr}$  by se měla ztotožnit se součinitelem  $\lambda$  zkrácení zákrutem a pro obvyklé příze by měla nabývat hodnoty 0,975 až 0,965. Řešení však vyžaduje hodnoty  $\lambda$  zvětšené cca o 0,015 až 0,025. Vysvětlení je možno do jisté míry hledat v napěťových poměrech při předení, (Příze se tvoří za určitého osového napnutí, které ji prodlužuje a tím zvětšuje okamžitou hodnotu součinitel  $\lambda$ . Následné uvolnění a relaxace nejsou ovšem s ohledem na viskoelasticke a plastické složky deformati již zcela reverzní procesy.)

Doplňli se vstupní hodnoty ještě o jemnost a zákrut, je možno provést prakticky numerické řešení. V konkrétním případě bylo numerické řešení založeno na metodě střelby, pro výpočty se používala metoda Runge-Kutta a Hamingovy vzorce pro metodu prediktor - korektor, dle /53/.

Výsledky experimentů. V tak subtilním útvaru, jakým je příze, nelze dost dobře sledovat rozložení napětí a deformací přímým experimentem. O deformacích však vypovídá nepřímo radiální průběh zaplnění. Lze jej experimentálně stanovit metodami SECANT

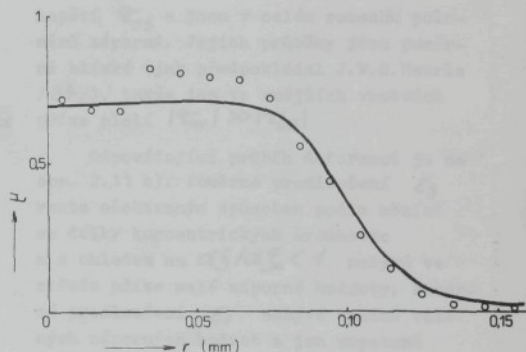


$E_{TAH} = E_{TLAK} = 4285,5 \text{ MPa}; k_p = 55 \text{ MPa}; k_S = 80;$   
 $A = 0,35; B = 0; C_0 = 0,01; C_m = 1;$   
 $T = 19,6 \text{ tex}$

Výpočet (—): 1...  $Z = 400 \text{ m}^{-1}$   
 $\frac{df}{dr} = 0,9975$   
 2...  $Z = 669 \text{ m}^{-1}$   
 $\frac{df}{dr} = 0,9900$   
 3...  $Z = 1000 \text{ m}^{-1}$   
 $\frac{df}{dr} = 0,9750$

Experiment (příze 19,6 tex,  $669 \text{ m}^{-1}$ )  
 + metoda Secant  
 ○ metoda VSOP

obr. 2.9



$E_{TAH} = E_{TLAK} = 4285,5 \text{ MPa}; k_p = 55 \text{ MPa}; k_S = 80;$   
 $A = 0,35; B = 0; C_0 = 0,01; C_m = 1;$   
 $T = 36,8 \text{ tex}$

Výpočet (—):  $Z = 497 \text{ m}^{-1}$   
 $\frac{df}{dr} = 0,9900$

Experiment (příze 36,8 tex,  $497 \text{ m}^{-1}$ ):  
 ○ metoda VSOP

obr. 2.10

nebo VSOP, popsanými v dalších kapitolách a konfrontovat tak navržený výpočet se skutečností. V uváděném příkladě je použito výsledků přízí  $T = 19,6$  tex,  $Z = 669 \text{ m}^{-1}$  a  $T = 36,8$  tex,  $Z = 497 \text{ m}^{-1}$ . Experimentální a vypočtené hodnoty radiálního průběhu zaplnění jsou znázorněny v grafech na obr. 2.9 a 2.10.

Diskuse. Výpočtem získaný radiální průběh zaplnění vykazuje stejný trend jako výsledky experimentální. Podobná míra souhlasu byla nalezena i u jiných klasicky předených přízí, zejména bavlnářského typu. Na menších poloměrech je závislost poměrně plochá, při  $d\sigma/d\epsilon < 1$  je nepatrн rostoucí. Na větších poloměrech klesá zaplnění typickou S-křivkou.

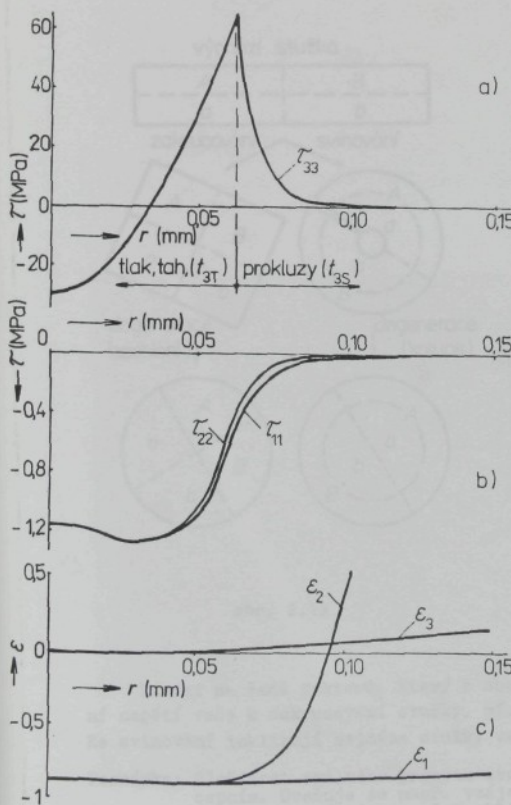
S růstem vloženého zákrutu hodnoty zaplnění narůstají, jejich pokles ve vnější části příze je stále strmější, průměr příze se zmenšuje (obr. 2.9). (Vizuálně zjištěný „průměr“ příze odpovídá přibližně místu se zaplněním  $\mu = 0,14$ .)

Průběhy napětí stanovené výpočtem pro přízí  $T = 19,6$  tex,  $Z = 669 \text{ m}^{-1}$  jsou znázorněny na obr. 2.11 a) b). Průběh napětí  $\sigma_{33}$  (ve směru tečny ke šroubovici) má v počátku záporné hodnoty jako důsledek osového stlačování vláken při  $d\sigma/d\epsilon < 1$ . Poté přechází do tahu, realizovaného nejprve rostoucím tahovým namáháním vláken. Od určitého místa (zde  $r = 0,063$  mm) však nastupuje prokluz vláken, který způsobí

zlom křivky a její pokles k nule. Takový typ průběhu očekávala řada autorů, např. již V. I. Budnikov /13/. Ukazuje se však, že oblast prokluzu zasahuje hlouběji do nitra příze a pokles v prokluzové části je strmější, než se všeobecně předpokládalo.

Napětí  $\sigma_{11}$  a  $\sigma_{22}$  ve směru normály a binormální šroubovice (radiálním směru) jsou v absolutní hodnotě jen zlomkem napětí  $\sigma_{33}$  a jsou v celém rozsahu poloměru záporná. Jejich průběhy jsou poměrně blízké (jak předpokládal J. W. S. Hearle /34/), takže jen ve vnějších vrstvách příze platí  $|\sigma_{11}| \gg |\sigma_{22}|$

Odpovídající průběh deformací je na obr. 2.11 c). Poměrné prodloužení  $\epsilon_3$  roste očekávaným způsobem podle měnící se délky koncentrických šroubovic a s ohledem na  $d\sigma/d\epsilon < 1$  nabývá ve středu příze malé záporné hodnoty. Poměrné prodloužení  $\epsilon_1$  nabývá značně velkých záporných hodnot a jen nepatrн roste s poloměrem. To dokazuje, že všecky materiál výchozího válce byl „zasunut“ na podstatně menší poloměry. Poměrné prodloužení  $\epsilon_2$  je nejprve též shodné s  $\epsilon_1$ , poté však s poloměrem prudce roste a dostává se do kladných hodnot. Zmíněné „zasouvání“ materiálu na menší poloměry totiž způsobuje v okrajových částech příze již značné pozitivní prodloužení elementů v radiálním směru.



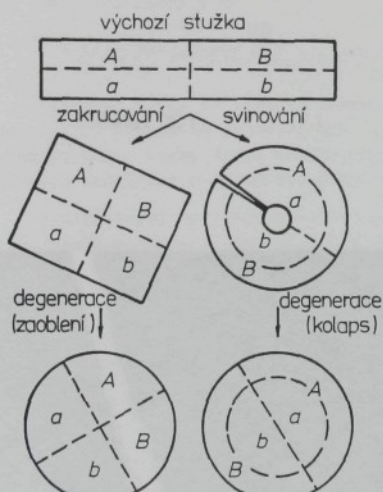
obr. 2.11

Z řady analýz provedených autorem v SVÚT Liberec (včetně uvedeného příkladu) je zřejmé, že válcový model vystihuje fyzikální podstatu nejdůležitějších dějů probíhajících v procesu tvoření příze a poskytuje výsledky souměřitelné s experimenty. U některých typů příze se ovšem objevují díloží odchylinky, nasvědčující existenci dalších, dosud nezahrnutých mechanismů. Některé z nich jsou popsány v následujících kapitolách.

#### 2.2.4. STAVBA MODELU SVINOVANÉ STUŽKY

Výchozí pramínek vláknitého materiálu podrobovaný zakrucovacímu procesu má často tvar připomínající plochou stužku. Přeměna stužky do podoby konečné příze vystihuje varianty 2 či 4, případně 6 či 8 z tab. 2.1 kapitoly 2.1.

Myšlenka tvorby příze z ploché stužky byla popsána již v r. 1928 W.L. Ballsem /4/, zvažoval ji i V.I. Budnikov /13/. Rozsáhlejší studie provedli zejména J.W. Hearle a O.N. Rose /32/, /33/. Stužkový charakter tvorby rotorové příze popsal J. Ripka /25/.



obr. 2.12

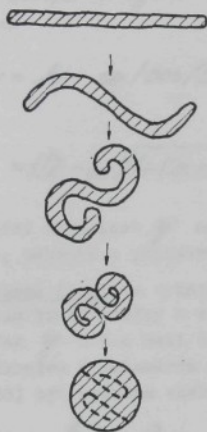
Zakrucování a svinování. Obvykle se uvažují dvě formy kroucení stužky - zakrucování nebo svinování. První je shodná s variantou 2, druhá s variantou 4 dle tab. 2.1 kapitoly 2.1. Názorné je též Hearleho schéma příčních řezů, uvedené na obr. 2.12, kde je stužka pro zvýraznění myšleně rozdělena na 4 části A, B, a, b.

Zakrucované stužky je souosé a s výjimkou degenerace jejího tvaru zaoblením je v principu velmi podobné zakrucování válce. Pozůstatky původní stužkové formy se mohou objevit ve výsledné přízi jako určitá asymetrie v řezu.

Svinované stužky je vůči přízi vyosené. V jeho prvé fázi se tvorí útvar, připomínající trubku s dutinou v ose. Přitom jedna strana stužky - AB - kryje vnější povrch, zatímco druhá strana - ab - je obsažena uvnitř. Následující degenerativní změny, označované obvykle jako kolaps, způsobují zborcení vnitřních málo stabilních vrstev a vyplňání prostoru kolem osy. Větší či menší zbytek původní dutiny může zůstat zachován v přízi i v jejím konečném tvaru.

Závisí na řadě faktorů, který z obou uvedených mechanismů nastane. Vysoké přádní napětí vede k zakrucování stužky, nízké napětí sily upřednostňují svinování. Ke svinování inklinují zejména stužky velmi ploché.

**Poznámka:** Složitost reálného procesu tvorby příze zakrucováním vede i k dalším konceptům. Uvažuje se např. vzájemné svíjení dvou stužek (var. 3, tab. 2.1 v kap. 2.1.) Jindy se předpokládá dvojité svíjení jedné stužky ve tvaru písmene S dle obr. 2.13.



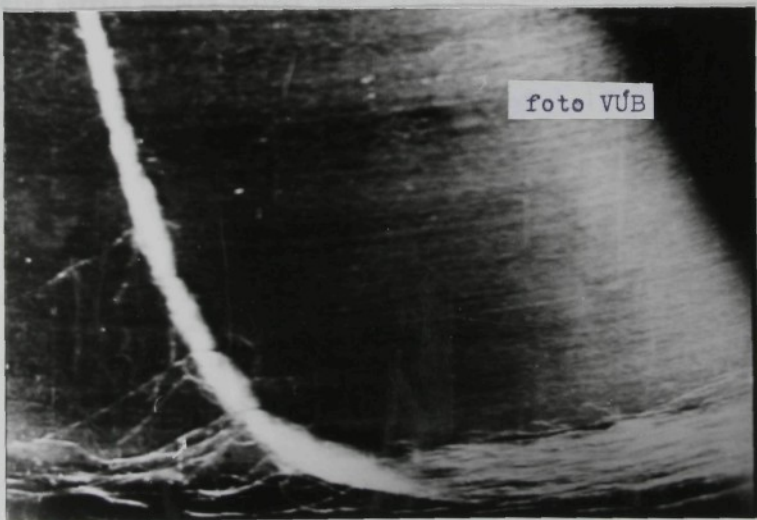
obr. 2.13

Experimenty, které prováděli J.W.S. Hearle a O.N. Bose s modelovým materiálem - pružnými pryžovými pásky, hrubými pryžovými vlákny - /32/ na speciálních modelových zařízeních, i experimenty s reálnými vlákny na klasických přádelnických strojích /33/ potvrzují reálnost všech uvažovaných forem kroucení stužky. Fotografie tvorby rotorové příze na obr. 2.14 ilustruje oprávněnost koncepce J. Ripky /95/ o svinuté stužce při tvorbě příze v rotoru.

Svinutá stužka je v plejádě možných forem kroucení velmi častý případ a je mu věnována i následující analýza.

Formy svinuté stužky. J.W.S. Hearle a O.N. Bose /32/ rozdělují tři typické formy, znázorněné na obr. 2.15. Jsou to: a) forma volná, b) forma těsná, c) forma překrytá.

Stužka šířky  $w$  je šroubovicově navinuta zákrutem  $Z$  na myšlený válec o poloměru  $r$ . Pro úhel  $\beta$  platí rovnice (2.2.2), tj.  $tg \beta = 2\pi r Z$ .



obr. 2.14

Volná forma je charakteristická jistou oscovou vzdáleností  $y$  mezi kraji svinuté stužky. Z geometrických poměrů plynne přímo  $w/(h-y) = \cos\beta$ . Užitím  $\frac{w}{h} \cos\beta = 1 + \tan^2\beta$  se získá ne výraz

$$y = h - w/\cos\beta = \\ = 1/Z - w\sqrt{1+(2\pi rZ)^2} \quad (2.2.88)$$

ukazující závislost  $y$  na šířce stužky; zákrutu a poloměru.

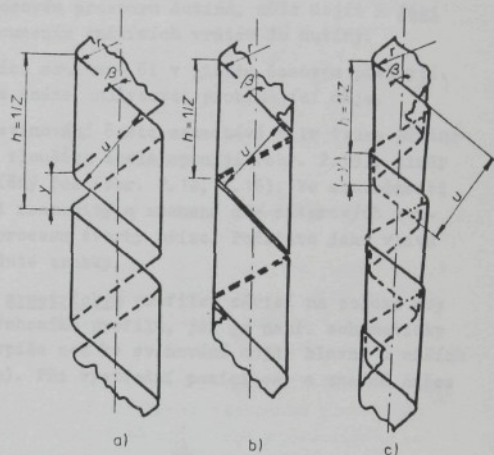
Těsná forma se vyznačuje přilehnutím krajů stužky k sobě navzájem. Pak  $y = 0$  a mezi šířkou stužky, zákrutem a poloměrem musí dle (2.2.88) být splňena vazba

$$w = h \cos\beta = \\ = 1/(Z\sqrt{1+(2\pi rZ)^2}) \quad (2.2.89)$$

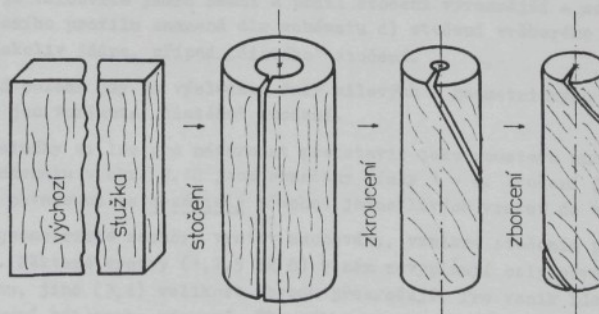
Překrytá forma je typická "kor-noutovitým" zasunutím jednotlivých ovinů do sebe, takže kraje stužky se překrývají. Hodnota  $y$  vypočtená z (2.2.88) je záporná. Absolutní hodnota vyjadřuje velikost překrytí v osovém směru.

V závislosti na přádném napětí a dynamice vkládání zákrutů se v procesu tvorby příze obvykle nejprve vytvoří volná forma, a ta postupně přechází do těsné až překryté. Nedokonalost ve vzájemném přilehnutí krajů stužky lze někdy sledovat v porušené symetrii příčných řezů příze.

Modelové fáze. Pro modelové řešení je nejvhodnějším případem těsně svinutá stužka, neboť skutečné příze se k ní obvykle blíží. Stavba takového modelu vyžaduje myšleně rozčlenit celý vznik těsně svinuté struktury do několika po sobě jdoucích fází. Zde jsou nazvány: stočení, zkroucení, zborcení (kolaps). Schematicky jsou znázorněny na obr. 2.16.



obr. 2.15



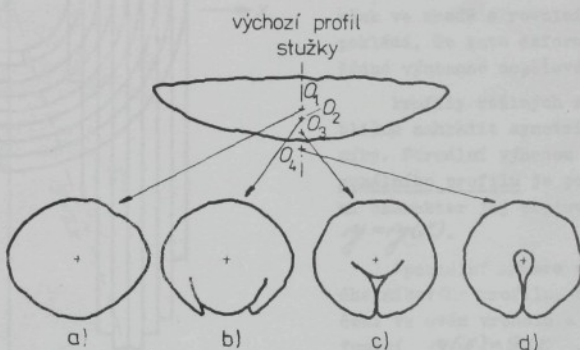
obr. 2.16

Ve fázi stočení je výchozí stužka vláken příčně ohýbána, až do vzájemného přilehnutí a spojení jejich krajů. Vzniká tvar nezakroucené duté trubky. Následuje fáze zkroucení, kterou je do ní vložen zákrut. Trubka se torzně deformuje a dochází ke změnám poloměrů. Pokud ještě zůstává v osovém prostoru dutiny, může dojít k fázi zborcení (kolapsu) charakterizované zhroucením vnitřních vrstev do dutiny.

Ve skutečnosti probíhají popsané fáze současně či v jistém časovém překrytí. Jejich myšlenkové oddělení však umožnuje snáze analyzovat probíhající děje.

**Profil stužky.** Rozbor zákonitosti svinování často zanedbává vliv tvaru příčného řezu - profilu stužky. Někdy se její tloušťka zcela opomíjí (obr. 2.15), jindy se "automaticky" uvažuje obdélníkový příčný řez (obr. 2.12, 2.16). Ve skutečnosti však může být profil stužky vláken velmi rozmanitý a znamená dle autorových rozborů závažný faktor podmínující průběh procesu tvorby příze. Podstatou jeho vlivu je obsažena již v prvé fázi stočení do duté trubky.

Charakter stočení nějaké stužky se **symetrickým** profilem závisí na poloze osy stáčení. Leží-li ve středním prostoru výchozího profilu, jak je např. schematicky znázorněno osou  $O_4$  v obr. 2.17, pak spíše než ke svinování dojde hlavně u užších stužek k souosému zakrucování - případ a). Při výstřední pozici osy a značné šířce



obr. 2.17

profilu se mohou oba kraje stočit kolem válcovitého jádra dle schématu b). (Nebo dojde ke stočení typu  $S$  dle obr. 2.13.) Čím více se osa přiblížuje k povrchu stužky, tím je válcovité jádro menší a podíl stočení výraznější - schéma c). Poloha osy vně výchozího profilu znamená dle schématu d) stočení veškerého materiálu stužky bez jakéhokoliv jádra, případ „čistého“ stočení.

Skutečná poloha osy je výsledkem řady silových a geometrických faktorů. Zde je sledována jen varianta „čistého“ stočení.

Profil stužky si lze pro názornost představit jako soustavu mnoha tenkých vrstev; na schématu v obr. 2.18 jsou označeny čísla 1 - 8. Stočení je pak možno zjednodušeně považovat za nezávislý přechod jednotlivých vrstev do válcové formy. Zůstanou-li geometrické rozměry vrstev zachovány, vznikne stočením profilu vyšrafováný útvar. Některé vrstvy (1,2,5 až 8) v něm nevyplňují celý obvod jím příslušejícího kruhu, jiné (3,4) velikost obvodu překračují. Pro vznik ideální formy duté trubky musí být proto výchozí  $y$  délky vrstev upraveny (protaženy nebo

stlačeny) na úroveň příslušného obvodu. (Stlačení je poměrně názorné, zatímco představa prodloužení působí právem nevěrohodně, neboť chybí fyzikální příčina takového děje. Jde však jen o myšlenkový mezíkrok, vedoucí později ke zmenšeným hodnotám stlačení v konečné struktuře příze.) Poloviční délka obecné vrstvy na souřadnici  $x$

je před stočením popsána hodnotou  $y = y(x)$ . Po stočení do formy duté trubky přejde  $y$  na délku  $\pi k$  poloviny obvodu. Poměrné prodloužení  $E_0$  obecné vrstvy na poloměru  $k$  je nyní určeno výrazem

$$(1+E_0) = \pi k / y(x) \quad (2.2.90)$$

Deformace  $E_0$ , závislá prostřednictvím funkce  $y(x)$  na tvaru profilu stužky, ovlivňuje napěťové poměry a tím i celý průběh tvorby příze.

Při stočení dochází dále ke smykové deformaci vzájemným posouváním vrstev po sobě. Pro zjednodušení se však ve shodě s rovnicí (2.2.87) předpokládá, že tato deformace nepřináší žádné významné napěťové důsledky.

Profily reálných stužek lze přibližně nahradit symetrickými mnohoúhelníky. Formální výhodou takového polygonálního profilu je po částech lineární charakter jej popisující funkce  $y = y(x)$ .

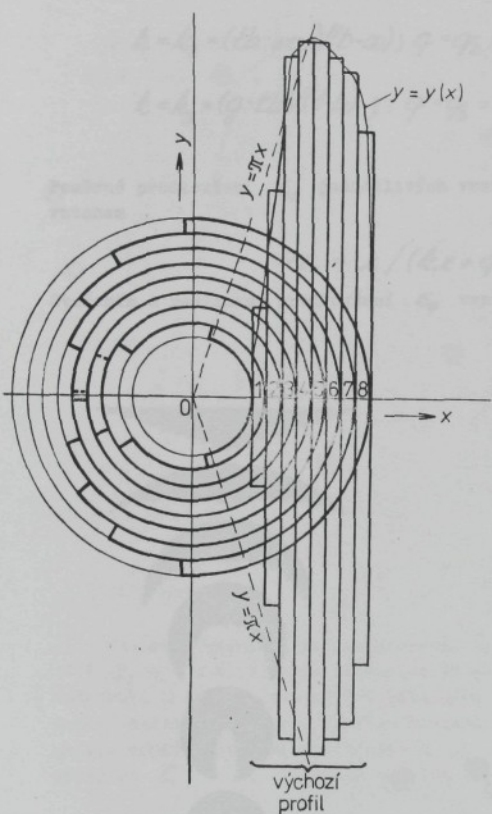
Speciální situace vznikne u trojúhelníkovitého profilu, který má osu stočení ve svém vrcholu a je popsán právě funkcí  $y(x) = \pi kx / R_o$ ,  $x \in (0, R_o)$ . Pro tento mezní profil platí z (2.2.90) v celém rozsahu  $E_0 = 0$  a vrstvy se bez délkové změny přetvoří stočením do formy plného válce dle obr. 2.19.

Obejnější příklad stočení pětiúhelníkového profilu s osou v jeho vrcholu je (bez délkové změny vrstev) znázorněn na obr. 2.20. Zde vznikne plný válec až po realizaci vhodných deformací  $E_0 \neq 0$ .

Polovina symetrického sedmiúhelníkového profilu je na schématu 2.21. Osa stočení je uvažována ve vrcholu v počátku souřadnic. Další vrcholy mají souřadnice

$$A = (aR_o, w\pi aR_o), B = (bR_o, t\pi bR_o), C = (R_o, g\pi R_o).$$

Konkrétní tvar charakterizují konstanty  $a$ ,  $b$ ,  $R_o$  a  $w$ ,  $t$ ,  $g$ . (Např. při  $w=t=g=1$  vznikne trojúhelník mezního profilu.) Pro funkci  $y = y(x)$  zde platí



obr. 2.18

$$y = (kx + q)\pi$$

$$k = k_1 = w ; \quad q = q_1 = 0 ; \quad \text{pro } x \in (0, aR_o)$$

$$k = k_2 = (tb - w\pi)/(b-a) ; \quad q = q_2 = [abR_o(w:t)/(b-a)]^{\frac{1}{2}} ; \quad \text{pro } x \in (aR_o, bR_o) \quad (2.2.91)$$

$$k = k_3 = (g - tb)/(t-b) ; \quad q = q_3 = bR_o(t-g)/(t-b) ; \quad \text{pro } x \in (bR_o, R_o)$$

Poměrné prodloužení  $\epsilon_o$  jednotlivých vrstev je užitím (2.2.91) v (2.2.90) popsáno vztahem

$$1+\epsilon_o = x / (kx + q) \quad (2.2.92)$$

Stočením a realizací prodloužení  $\epsilon_o$  vznikne opět plný válec.



Obrázek 2.19: Postupné vytváření profilu  $\epsilon_o$  od nejmenšího jeho vzdálenosti, když se vzdálenost prodlouží až do výšky  $t$ . Výsledný profil je plný válec.

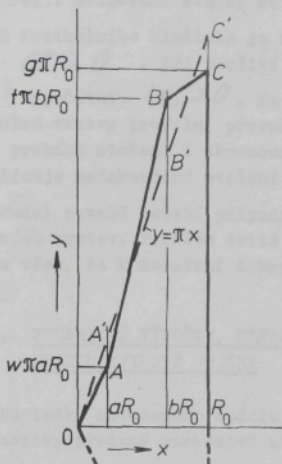
obr. 2.19



obr. 2.20

Forma duté trubky nastane jen tehdy, jestliže osa stočení leží vně profilu stužky. Jednoduchým příkladem je obdélníkový profil s osou stočení ve vzdálenosti  $X_o$  od jeho povrchu, popsaný funkcí  $y = \text{konstanta}$ ,  $x \in (X_o, R_o)$ . Takový obdélník po stočení a potřebném prodloužení  $\epsilon_o$  vrstev vytvoří dutou trubku s vnitřním poloměrem  $X_o$ .

Mechanický model svinování stužky. Obvykle postačí vycházet z náhrady reálného profilu pětiúhelníkovým a osu stočení uvažovat v jeho vrcholu. Řešení však přináší jisté problémy se singularitou v okolí osy. Je proto výhodnější vyjít z koncepce



obr. 2.21

sedmiúhelníku (obr. 2.21), kde hodnota  $\alpha$  je velmi malá (např.  $\alpha = 0,01$ ) a hodnota  $\omega = 1$ . Potom v těsném okolí osy je funkce  $y = \pi x$  totožná s mezním profilem a platí zde  $E_0 = 0$ . Konstanty  $b$ ,  $t$  a  $g$  je třeba zvolit s ohledem na tvar profilu stužky. Konstanta  $R_0$  se stanoví následujícím výpočtem.

Stužka má výchozí zaplnění  $\mu_y$ . Celková plocha jejího profilu je  $2 \int_{y_1}^{y_2} y dx$  a plocha  $S_0$  vláken v něm je  $2 \int_{y_1}^{y_2} g y dx$ . Odtud užitím (2.2.91) vyplývá

$$S_0 = \pi R_0^2 [k_1 a^2 + k_2 (b^2 - a^2) + k_3 (1 - b^2) + 2(g_2/R_0)(b-a) + 2(g_3/R_0)(1-b)] \quad (2.2.93)$$

Vzhledem k platnosti (2.2.91) jsou všechny výrazy v hranaté závorce (včetně  $g_2/R_0$ ,  $g_3/R_0$ ) nezávislé na  $R_0$ , které tak lze snadno z (2.2.93) vypočítat. Pro  $S_0$  totiž vzhledem k seskání  $\delta$  platí

$$S_0 = S(1-\delta) \quad (2.2.94)$$

kde  $S$  označuje substanční průřez příze, vyplývající ze základní rovnice (1.3.1)

Stočením mezního trojúhelníkového profilu vznikne plný válec bez vnitřního napětí ( $E_0 = 0$  a vliv smyku na napjatost se zanedbává), identický s výchozím stavem válcového kroucení, pro nějž v plné míře platí rovnice kap. 2.2.1. Také stočením daného sedmiúhelníkového profilu vznikne plný válec, avšak v jeho vrstvách je již určité napětí vyvozené prodloužením  $E_0$ . Proměnná  $x$  má nyní smysl obecného poloměru  $r$  v nezakrouceném válci a výraz (2.2.92) lze přepsat do formy

$$1+E_0 = r/(kr_0 + g) \quad (2.2.95)$$

Poměrné prodloužení  $E_0$  má stejný směr jako následující, zákrutem vyvolané poměrné prodloužení  $E_1$  - viz kap. 2.2.1. Vztahy odvozené pro zakrucování válce jsou zde platné jen v modifikaci, kdy místo  $(1+E_0)$  dle rovnice (2.2.34) se užije veličiny

$$1+E_1^* = (1+E_0)(1+E_1) = r \cos \beta / (kr_0 + g) \quad (2.2.96)$$

Derivováním (2.2.95) vznikne

$$\frac{dE_0}{dr} = \left[ g / (kr_0 + g)^2 \right] \cdot \left( \frac{dr}{dr} \right) \quad (2.2.97)$$

Pro derivaci  $dE_1^*/dr$  platí s ohledem na (2.2.96)

$$\frac{dE_1^*}{dr} = (1+E_0) \cdot \frac{dE_1}{dr} + (1+E_1) \frac{dE_0}{dr} \quad (2.2.98)$$

kde  $dE_1/dr$  je dáno rovnicií (2.2.38).

Počáteční podmínky, užité v kap. 2.2.1 pro zakrucování válce, jsou platné při zavedeném  $w = 1$  pro svinování stužky sedmiúhelníkového profilu.

Po záměně původních výrazů ( $\frac{dE}{dr}$ ),  $dE/dr$  výrazy ( $\frac{dE^*}{dr}$ ),  $dE^*/dr$  je možné řešit svinování stužky rovnicemi zakrucování válce.

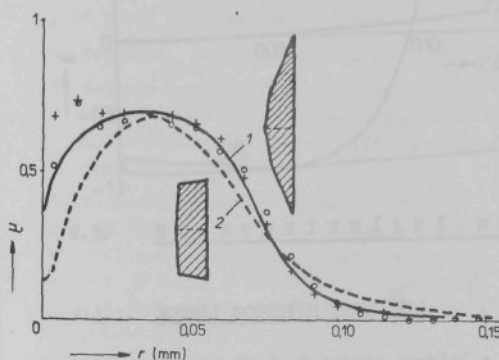
Z fyzikálního hlediska je model přípustný, vede-li v každém místě příze k hodnotám  $E^* \leq 0$ . Při použití velmi malého zákrutu se ovšem může v nějakém místě příze vypočítat  $E^* > 0$ . To znamená, že protažení  $E_0 > 0$ , vzniklé stočením příslušné vrstvy profilu, převažuje nad stlačením  $E_0 < 0$  při zkroucení. Ve skutečnosti probíhá stočení i zkroucení v počátcích tvorby současně a situace  $E^* > 0$  signalizuje nedokončené stočení stužky. Pak ovšem užitý model neplatí.

Model rovněž neřeší případnou poslední modelovou fázi - zborcení (kolaps) vnitřních vrstev. Problém totiž vyběhuje ze zvolené koncepce zakrucování kontinua. Zdá se však, že k dosažení dobrých výsledků není tato fáze nezbytná.

#### 2.2.5. NUMERICKÉ VÝPOČTY, EXPERIMENTÁLNÍ VÝSLEDKY A DISKUSE MODELU SVINOVÁNÍ STUŽKY

Důsledky zavedeného modulu svinování stužky jsou ilustrovány na příkladě výpočtu klasicky předené viskózové příze  $T = 19,6$  tex,  $Z = 669 \text{ m}^{-1}$ . Tato příze byla

užita jako příklad i při zakrucování válce v kap. 2.2.3 (experimentální hodnoty zaplnění a křivka 2 v obr. 2.9, napětí a deformace v obr. 2.11). Také nyní vychází výpočet z hodnot  $E_{TAK} = E_{TAN} = 4285,5 \text{ MPa}$ ,  $k_0 = 55,0 \text{ MPa}$ ,  $k_s = 80$ ,  $A = 0,35$ ,  $B = 0$ ,  $C = 0,01$ ,  $C_{hy} = 1$ ,  $T = 19,6 \text{ tex}$ ,  $Z = 669 \text{ m}^{-1}$ ,  $dE/dE_0 = 0,9900$ , jejichž zdůvodnění je uvedeno v kap. 2.2.3.



$$E_{TAN} = E_{TAK} = 4285,5 \text{ MPa}; k_0 = 55 \text{ MPa}; k_s = 80; A = 0,35; B = 0; C = 0,01; C_{hy} = 1; T = 19,6 \text{ tex}; Z = 669 \text{ m}^{-1}; dE/dE_0 = 0,9900$$

Výpočet ( $\frac{dE}{dr}$ ):

$$1 \dots a = 0,01; b = 0,2; w = 1; t = 2; g = 1$$

$$2 \dots a = 0,01; b = 0,1; w = 1; t = 5; g = 0,55$$

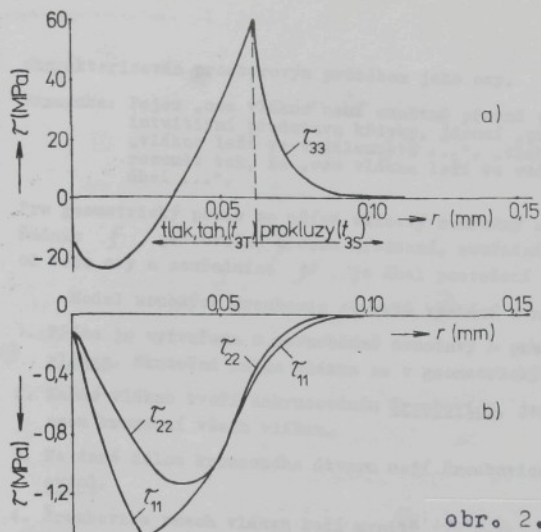
Experiment (příze 19,6 tex,  $669 \text{ m}^{-1}$ ):

+ metoda Secant

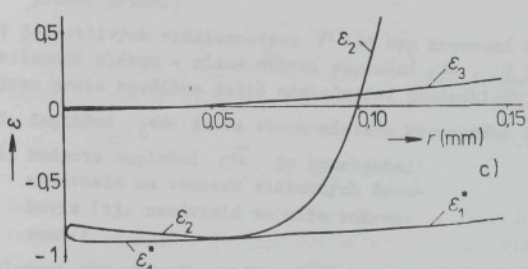
○ metoda VSOP

obr. 2.22

Křivka 2 v obr. 2.22 vychází z témař obdélníkového profilu, určeného hodnotami  $a = 0,01$ ,  $b = 0,1$ ,  $w = 1$ ,  $t = 5$ ,  $g = 0,55$ . Radiální průběh zaplnění je nyní výrazně odlišný. Podobný typ závislosti však nebyl doposud experimentálně



obr. 2.23



## 2.3. DISKONTINUÁLNÍ MODELOVÉ PŘEDSTAVY

### 2.3.1. MODELY SOUOSÝCH ŠROUBOVIC

Diskontinuální představy vychází z jednotlivých reálných částic - vláken. Tvorba příze je pojímána jako vytváření tvaru vláken a jejich vzájemného uspořádání.

Tvary a vzájemné uspořádání skutečných vláken jsou výsledkem řady složitých dějů. Reálné studium alespoň těch nejpodstatnějších je odědávna založeno na užití vhodně zjednodušených představ. Základním a současně nejstarším je model vytváření soustavy souosých šroubovic z výchozího pramínku rovnoběžných vláken.

**Poznámka:** Z této ideje vycházel A. Koehlein /dle 49/ - r. 1828, E. Müller /65/ - r. 1880, S. Marschik /59/ - r. 1904, či A.C. Gégnuff /19/ - r. 1907. V prvé polovině 20. století ji rozvinulo několik prací, z nichž bývá nejčastěji citován B.R. Schwarz /97/ - r. 1931, L. Braschler /12/ - r. 1935, či v /25/ zmínovaný V.A. Vorotilov /14/ - r. 1938. Největšího propracování však doznala myšlenka souosých šrouboovic v době od druhé poloviny 40. do začátku 70. let. V pracích V.I. Budnikova /13/, L.R.G. Treloara /110/ či G.V. Sokolova /103/, W. Wegenera a A. Kühhela /115/ a dalších je řešena řada souvislostí. Do česky psané literatury uvedl sice již modely šrouboovic J. Simon /101/.

**Základní pojmy.** Model souosých šroubovic předpokládá existenci společné osy kroucení - osy příze, kolem níž se ovíjejí jednotlivá vlákna. Z jemnosti  $\tau$  a měrné hmotnosti  $\rho$  vlákna plyne dle (1.2.1) plocha  $\sigma$  jeho přísného řezu. Tvar vlákna je

pozorován, takže realita se patrně spíše přibližuje „zaoblenému“ meznímu profilu.

Napětí a deformace, vyhodnocené v souvislosti s výpočtem křivky 1, jsou znázorněny na obr. 2.23. Zajímavé je jejich srovnání s válcovým kroucením na obr. 2.11. Charakteristický je výrazný rozdíl mezi napětím  $\tau_H$  a  $\tau_{22}$  ve vnitřní oblasti příze, způsobený rozdílným průběhem poměrných prodloužení  $\epsilon_1^*$  a  $\epsilon_2$ . Právě v tomto jevě jsou ovšem nenulové hodnoty poměrného prodloužení  $\epsilon_0$  při stočení vnitřních vrstev uvažovaného profilu stužky.

Souhrnně lze říci, že svinování stužky „rozumného“ profilu nemění v zásadě hlavní trendy, nalezené prostřednictvím modelu zakrucování válce. V osové oblasti ovšem vede k poklesu zaplnění a rozdílnému průběhu napjatosti a deformací.

charakterizován prostorovým průběhem jeho osy.

Poznámka: Pojem „osa vlákna“ není exaktně přesně vymezen. Pro běžné úvahy postačí intuitivní představa křivky, jdoucí „prostředkem“ vlákna. Výrokům typu „vlákno leží ve vzdálenosti ...“, „vlákno má úhel ...“ apod. je třeba rozumět tak, že „osa vlákna leží ve vzdálenosti ...“, „osa vlákna má úhel ...“.

Pro geometrický popis se užívá válcový souřadný systém  $\{r, \varphi, f\}$ , jehož osa souřadnic  $f$  je totéž s osou kroucení, souřadnice  $r$  vyjadřuje vzdálenost bodu od této osy a souřadnice  $\varphi$  je úhel pootočení bodu kolem osy  $f$ .

Model souosých šroubovic obvykle vychází z následujících předpokladů:

1. Příze je vytvořena z rovnoběžné soustavy - pramínku - idealizovaných nekonečných vláken. Skutečná délka vlákna se v geometrických úvahách zanedbává.
2. Každé vlákno tvoří zakrucování šroubovici, jejíž osa je současně společnou osou kroucení všech vláken.
3. Na dané délce krouceného útvaru mají šroubovice všech jeho vláken stejný počet ovinů.
4. Šroubovice všech vláken leží uvnitř myšleného válce s průměrem  $D$ . Veličina  $D$  označuje průměr příze. (Přesněji: nejmenší  $D$  splňující podmítku 4 označuje průměr příze.)

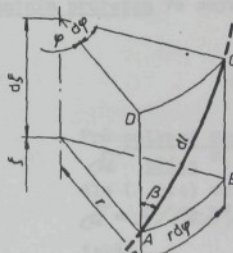
V jednotlivých vzdálenostech  $r$  od osy kroucení může existovat obecně různá úroveně stěsnání vláken - různé místní zaplnění  $\mu$ . V ideálním modelu souosých šroubovic jsou proto zaváděny ještě následující předpoklady

5. Zaplnění  $\mu$  je ve všech místech krouceného útvaru stejné, rovné hodnotě  $\tilde{\mu}$ .
6. Hodnota zaplnění  $\tilde{\mu}$  je konstanta, nezávislá na tvaroch vlákených šroubovic (tj. nezávislá na míře zakroucení).

Element osy obecného vlákna je znázorněn na obr. 2.24. Jedním ovinem šroubovice vlákna se rozumí obtočení osy o úhel  $\varphi = 2\pi$ . Element tuto osu obtací o úhel  $d\varphi$ , takže jemu příslušný „počet“ ovinů činí  $d\varphi/(2\pi)$ .

Element je vymezen délkou  $d\delta$  krouceného útvaru. Poměr  $Z = [d\varphi/(2\pi)]/d\delta$  je počet ovinů přepleněný na jednotku délky, je to zákrut elementu. V případě šroubovice je  $d\varphi/d\delta$  a tedy i  $Z$  konstanta;  $Z$  je zákrut vlákna. Z předpokladu 3 vyplývá, že  $Z$  je dokonce konstanta společná všem vlákňům, je to také zákrut příze.

Poznámka: Veličina  $Z$  se tak ztotožnuje s definicí (1.3.8). Připomeneme, že u jiných modelů mohou být zákrut elementu, vlákna, příze a zákrut ve smyslu definice (1.3.8) veličiny nazvájeme odlišné.



obr. 2.24

Za těchto podmínek je šroubovice každého vlákna popsána velmi jednoduchou dvojicí diferenciálních rovnic

$$dr/d\delta = 0 \quad (2.3.1)$$

$$dy/d\delta = 2\pi Z = \text{konstanta} \quad (2.3.2)$$

Pro znázorněný úhel  $\beta$  platí

$$\tan \beta = r dy/d\delta = 2\pi r Z \quad (2.3.3)$$

což je vztah shodný s (2.2.2). Pro ostatní goniometrické funkce se užívají vzorce  $\cos \beta = 1/\sqrt{1+\tan^2 \beta}$ ,  $\sin \beta = \tan \beta / \sqrt{1+\tan^2 \beta}$ , obecně platné pro každé  $\beta \in (0, \pi/2)$ . Vzájemné přepočty funkcí se všude tam, kde je jich třeba, uvažují jako samozřejmé a v textu se na ně zvlášt neupozorňuje. Speciálně na povrchu příze kde je  $r = D/2$  nabývá úhel  $\beta$  hodnoty  $\beta_D$  dle vztahu

$$\tan \beta_D = \pi D Z = \alpha \quad (2.3.4)$$

Výraz současně vyjadřuje intenzitu zákrutu  $\alpha$  ve smyslu definice (1.3.9).

Mezi délku  $dl$  elementu  $AC$  v obr. 2.24 a velikostí  $d\delta$  jeho osového průměru platí vztah  $dl/d\delta = \cos \beta$ . Podobně též pro délku  $\ell$  části vlákna, jež se nachází v úseku příze délky  $S$ , platí u šroubovice

$$S/\ell = \cos \beta \quad (2.3.5)$$

Kolmý řez příze protne vlákno v řezné ploše  $\delta^*$ . Příklad odříznuté části vlákna (válcového s průměrem  $d$  a plochou  $\delta$  příčného řezu) je znázorněn na obr. 2.25 a). Z geometrických poměrů vyplývá

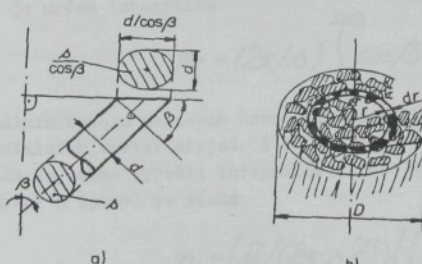
$$\delta^* = \delta / \cos \beta \quad (2.3.6)$$

Kolmý řez celou přízi je na obr. 2.25 b). Prostor mezi poloměry  $r$ ,  $r+dr$  tvoří tzv. diferenciální vrstvu, zobrazenou v řezu jako mezikruží. Části řezných ploch, které tímto mezikružím procházejí, jsou vyznačeny černě. Jejich součtová plocha  $dS$  je menší než celá plocha tohoto mezikruží. Poměr

$$u = dS/(2\pi r dr) \quad (2.3.7)$$

je podle definice (1.2.12) zaplněním diferenciální vrstvy. V přízi s průměrem  $D$  je úhrnná plocha  $S$  všech řezných ploch vláken substančním průřezem ve smyslu definice (1.3.1). Platí pro něj vztah

$$S = \int_{r=0}^{D/2} dS = 2\pi \int_0^{D/2} ur dr \quad (2.3.8)$$



obr. 2.25

Pro celkové zaplnění  
 $\tilde{u}$  příze <sup>x)</sup> platí  
dle (1.3.4) vztah  
 $\tilde{u} = S/(\pi D^2/4)$ ,  
takže

$$S = \tilde{u} \pi D^2/4 \quad (2.3.9)$$

<sup>x)</sup> V této kapitole je symbol  $\tilde{u}$  rezervován pro proměnné zaplněním diferenciálních vrstev. Pro celkové zaplnění příze je užíván symbol  $u$ .

Z ekvivalence pravých stran (2.3.8) a (2.3.9) se pro  $\tilde{u}$  nalezne

$$\tilde{u} = (8/D^2) \int_0^{D/2} \mu r dr \quad (2.3.10)$$

V modelu souosých šroubovic je někdy výhodné užívat plošný Koechlinův zákrutový koeficient  $\alpha_s$ . Spojením jeho definiční rovnice (1.3.10) s výrazem (2.3.4) je možno vyjádřit intenzitu zákrutu formou

$$x = \tan \beta = \pi D Z = 2 \sqrt{\pi / \tilde{u}} \cdot \alpha_s \quad (2.3.11)$$

Nevýhodou některých užívaných veličin je jejich závislost na procesu zakrucování; nezávislé jsou jen veličiny vstupního pramínku vláken. Např. mezi vstupní jemností útvaru  $Z_0$  a okamžitou jemností  $Z$  platí vztah (1.3.51), v němž se uplatňuje seskání  $\delta$ . Vydělením rovnice měrnou hmotnosti  $\rho$  vláken vznikne výraz

$$S_0 = S(1-\delta) \quad (2.3.12)$$

kde  $S = T/\rho$  je podle (1.3.1) substančním průřezem příze a

$$S_0 = T_0/\rho \text{ je analogicky vstupním substančním průřezem.}$$

Podobně i otáčky krutného orgánu, vztázené ke vstupní délce pramínku určují vstupní zákrut  $Z_0$ . Vztahem (1.3.53) je provázán  $Z_0$  se zákrutem  $Z$  a seskáním  $\delta$ . Odtud v analogii ke koeficientu  $\alpha_s$  dle (1.3.10) je užitečné zavést vstupní plošný Koechlinův zákrutový koeficient  $\alpha_{s0}$  vztahem

$$\alpha_{s0} = Z_0 / S_0 \quad (2.3.13)$$

Užitím (2.3.12), (1.3.44) a (1.3.10) vznikne rovnice

$$\alpha_{s0} = \alpha_s (1-\delta)^{3/2} \quad (2.3.14)$$

(Rovnice (2.3.7) až (2.3.14) platí s výjimkou geometrické interpretace úhlu  $\beta$ , zcela obecně pro každý model příze.)

K diferenciální vrstvě, znázorněné na obr. 2.25 b), se váže ještě další významná veličina. Je definována vztahem

$$dn = dS / \beta^* \quad (2.3.15)$$

Za užití (2.3.6) a (2.3.7) ji lze vyjádřit tvarem

$$dn = 2\pi \cos \beta \mu r dr / \beta \quad (2.3.16)$$

E. Braschler [12] užil pro  $dn$  název počet vláken v diferenciální vrstvě, což intuitivně vystihuje logický smysl. Počet  $n$  všech vláken v příčném řezu příze je určen integrálem

$$n = (2\pi / \beta) \int_0^{D/2} \cos \beta \mu r dr \quad (2.3.17)$$

V ideálním modelu souosých šroubovic je podle předpokladu 5 zaplnění  $\mu$  všech diferenciálních vrstev stejné. Z (2.3.10) je pak skutečně  $\mu = \tilde{u}$ . Za tétož předpokladu je možno vyřešit integrál v (2.3.17). Po vyjádření  $\cos \beta$  z (2.3.3), integraci a úpravě se získá

$$n = [\tilde{u} / (2\pi \rho Z^2)] \cdot (\sqrt{1 + (\pi D Z)^2} - 1) \quad (2.3.18)$$

Při přibližném výpočtu, který zanedbává sklon vláken ( $\beta=0$ ), vede integrace v (2.3.17) za užití (2.3.8) ke známému vztahu  $n = S/\delta = T/t = \tau$ , tj. k poměrné jemnosti  $\tau$  dle (1.3.3).

Hypotéza neutrálního poloměru. V úseku výchozího pramínku jsou všechna vlákna rovnoběžná a mají stejnou délku  $s_0$ . Vkládáním zákrutů se útvar zkraje - seskává. Po vložení  $Z$  zákrutů má délku  $s < s_0$ , přičemž veličina  $\delta = 1 - s/s_0$  je dle (1.3.49) seskáni. Zavedením seskání do (2.3.5) lze vyjádřit délku  $\ell$  jednotlivých vláken v zakrouceném útvaru výrazem

$$\ell = s_0 (1 - \delta) / \cos \beta \quad (2.3.19)$$

Délka  $\ell$  je prostřednictvím úhlu  $\beta$  závislá na poloze vlákna v přízi. Poloměr, na němž je délka  $\ell$  vlákna právě shodná s jeho výchozí délkou  $s_0$ , je neutrální poloměr  $r_n$ . Často se vyjadřuje v relativní formě vzhledem k poloměru  $D/2$  povrchu přízi.

$$x_n = r_n / (D/2) \quad (2.3.20)$$

Pro úhel  $\beta = \beta_m$  na poloměru  $r_m$  platí podle (2.3.3) a (2.3.4) vztah  $\operatorname{tg} \beta_m = 2\pi r_m Z = x_m \operatorname{tg} \beta_D$ . Užije-li se  $\ell = s_0$  a  $\beta = \beta_m$  v (2.3.19), vznikne po úpravě vztah

$$\delta = 1 - \cos \beta_m = 1 - 1/\sqrt{1 + (2\pi r_m Z)^2} = 1 - 1/\sqrt{1 + x_m^2 \operatorname{tg}^2 \beta_D} \quad (2.3.21)$$

Použitím (2.3.11) lze výraz upravit do formy se zákrutovým koeficientem  $\alpha_S$ .

$$\delta = 1 - 1/\sqrt{1 + 4\pi x_m^2 \alpha_s^2 / \tilde{\alpha}} \quad (2.3.22)$$

Obtížnější je vyjádření vzhledem ke koeficientu  $\alpha_{S0}$ . Po dosazení  $\alpha_S$  z (2.3.14), do (2.3.22) a úpravě vznikne pro výpočet seskání  $\delta$  kubická rovnice, jejímž řešením v oblasti  $\delta \in (0, 1)$  je výraz

$$\delta = 1 - (2/\sqrt{3}) \cos [(\pi/3) + (1/3) \arccos(6\sqrt{3}\pi x_m^2 \alpha_{S0}^2 / \tilde{\alpha})] \quad (2.3.23)$$

**Poznámka:** Bylo užito goniometrické řešení kořenů kubické rovnice, např. dle /53/. Rovnice má ještě třetí reálný kořen, avšak v oblasti  $\delta > 1$ .

Podle této rovnice lze užít jen  $\alpha_{S0} \leq \sqrt{\tilde{\alpha} / (6\sqrt{3}\pi)} / x_m$ , neboť v opačném případě by byl kosinus větší než 1. Do jednotkové délky vstupujícího pramínku lze tedy krutným orgánem vložit jen omezené množství otáček. Vkládáním dalších otáček dojde k destrukci, vzniku zákrutu II. řádu apod. Pro maximální hodnotu  $\alpha_{S0}$  se z (2.3.23) vypočte  $\delta = 1/\sqrt{3} \approx 0,42$  a dosazením této hodnoty do (2.3.21) se získá  $\operatorname{tg} \beta = \sqrt{2}/x_m$ . Pro každé reálné uvažované  $x_m < 1$  je pak  $\beta_D > \arctg \sqrt{2} = 55^\circ$ . Tak velké hodnoty seskání  $\delta$  i úhlu  $\beta_D$  nelze však nikdy reálně dosáhnout. Mnohem více omezí proces zakrucování jiné děje mechanické podstaty.

Pro přípustné hodnoty  $\alpha_{S0}$  nabízí rovnice (2.3.23) dvě hodnoty seskání  $\delta$ . Menší z nich (známénko minus) je modelovou hodnotou skutečného seskání. Větší hodnota vyjadřuje sice geometricky reálný, avšak nestabilní případ uspořádání struktury, který by se okamžitě přesmykl do prvého případu.

Některí autoři, jako I.G. Obuch /83/ či M.C. Basset /11/ vycházejí ze "vzorců typu (2.3.21) a (2.3.22). Citovaní autoři zavádí hypotézu o konstantní hodnotě  $x_m$ . Často se předpokládá, že polovina hmoty vláken v přízi leží uvnitř a polovina vně neutrálního poloměru  $r_n$ , tj.  $\int_{r_n}^{r_m} u 2\pi r dr = \int_{r_n}^{D/2} u 2\pi r dr$ .

Pro ideální model ( $\mu = \tilde{\mu}$ ) odtud plyne  $\kappa = (D/2)/\sqrt{2}$ , takže

$$\kappa_n = 1/\sqrt{2} \doteq 0,707 \quad (2.3.24)$$

K výpočtu seskání je třeba určit i zaplnění příze  $\tilde{\mu}$ . Podle předpokladů 5 a 6 je tato hodnota v ideálním modelu konstanta nezávislá na míře zakroucení, určovaná experimentálně. (Pokud se připustí, že  $\kappa_n$  a  $\tilde{\mu}$  jsou dosud nedefinovaným způsobem proměnné veličiny, pak vztahy (2.3.22) a (2.3.23) platí naprosto obecně.)

Hypotéza bilance délek. Úsek výchozího pramínku je vytvořen z  $n$  rovnoběžných vláken. Každé z nich má délku  $\xi_0$  a plochu  $\sigma$  svého příčného řezu. Souhrnná délka vláken ve výchozím úseku je  $L_0 = n\xi_0$ . Zakroucením vznikne útvar délky  $\xi$  se substančním průřezem  $S$  a souhrnnou délkou vláken  $L$ . Objem vlákenné hmoty je možno vyjádřit tvarem  $S\xi$  nebo také  $L\delta$ . Z ekvivalence obou výrazů plyne  $L = S\xi/n$ . Hypotéza bilance délek předpokládá, že souhrnná délka  $L_0$  vláken ve výchozím pramínku je stejná jako souhrnná délka  $L$  vláken v zakrouceném útvaru. Platí tedy  $n\xi_0 = S\xi$ , či  $\xi/\xi_0 = n/S$ . Užije-li se vztahů (2.3.17), (2.3.9) a poté vztahu (2.3.10) je možno vyjádřit seskání  $\delta = 1 - \xi/\xi_0$  ve tvaru

$$\delta = 1 - n\xi_0/S = 1 - \frac{\delta}{\tilde{\mu} D^2} \int_0^{D/2} \cos \beta \cdot \sigma r dr = 1 - \int_0^{D/2} \cos \beta \cdot \sigma r dr / \int_0^{D/2} \sigma r dr \quad (2.3.25)$$

Funkci  $\int_0^{D/2} \cos \beta \cdot \sigma r dr / \int_0^{D/2} \sigma r dr$  lze považovat za hustotu pravděpodobnosti (frekvenční funkci) veličiny  $\cos \beta$ . Podíl integrálů je v tomto označení roven výrazu  $\int_0^{D/2} \cos \beta dr / \int_0^{D/2} dr$  což je definiční vzorec pro střední hodnotu veličiny  $\cos \beta$ . Podíl integrálů vyjadřuje tedy střední hodnotu veličiny  $\cos \beta$ , zvázenou výskytem hmoty vláken, na jednotlivých poloměrech. Výraz (2.3.25) je stejně jako (2.3.21) typu  $\delta = 1 - \cos \beta$ . Nyní však  $\cos \beta$  neplyne z volby neutrálního poloměru, nýbrž je stanoveno jako zmíněná střední hodnota.

V případě ideálního modelu je  $\mu = \tilde{\mu} = \text{konstanta}$ , lze užít rovnice (2.3.18) a společně s (2.3.9) se nalezne

$$\delta = 1 - n\xi_0/S = (\sqrt{1 + (\pi DZ)^2} - 1) / (\sqrt{1 + (\pi DZ)^2} + 1) \quad (2.3.26)$$

Další úpravou při užití (2.3.4) a  $\cos \beta = \cos^2(\beta/2) - \sin^2(\beta/2)$  vznikne

$$\delta = (\sqrt{1 + \tan^2(\beta_0)} - 1) / (\sqrt{1 + \tan^2(\beta_0)} + 1) = \tan^2(\beta_0/2) \quad (2.3.27)$$

Využitím (2.3.11) lze seskání vztáhnout k zákrutovému součiniteli  $\alpha_S$ .

$$\delta = (\sqrt{1 + 4\pi \alpha_S^2 / \tilde{\mu}} - 1) / (\sqrt{1 + 4\pi \alpha_S^2 / \tilde{\mu}} + 1) \quad (2.3.28)$$

Vyjádří-li se ještě  $\alpha_S$  ze vztahu (2.3.14) prostřednictvím  $\alpha_{S0}$  a  $\delta$ , vznikne po úpravě kvadratická rovnice, jejímž řešením je

$$\delta = \frac{1}{2} \mp \frac{1}{2} \sqrt{1 - 4\pi \alpha_{S0}^2 / \tilde{\mu}} \quad (2.3.29)$$

Odmocnina je definována jenom pro  $\alpha_{S0} \leq \sqrt{\tilde{\mu}/4\pi}$ . Jako u (2.3.23) i zde je možno vložit jen omezený počet otáček do jednotkové délky vstupního pramínku. Pro maximální přípustnou hodnotu  $\alpha_{S0}$  se z (2.3.29) získá seskání  $\delta = 0,5$  a podle (2.3.27) úhel  $\beta_0 = 71^\circ$ .

Pro nižší hodnoty  $\alpha_{S0}$  nabízí (2.3.29) dvě hodnoty seskání  $\delta$ . Znaménko minus poskytuje modelovou hodnotu reálného seskání. Znaménko plus vyjadřuje seskání geometricky nestabilní a prakticky nevznikající formy - podobně jako u rovnice (2.3.23).

Popsaná hypotéza byla poprvé užita E. Braschlerem /12/ a vzorec (2.3.28) je znám jako Braschlerův vztah pro seskání. Na omezení, plynoucí z (2.3.29) poukázal P.S. Gracie /21/, J. Marko a B. Neckář /57/, J.W.S. Hearle a kol. /34/.

Hypotéza nulové osové síly. Délka každého vlákna ve sledovaném úseku výchozího pramínku je  $\xi_0$ . Zakroucením přejde vlákno do šroubovice délky  $\ell$ . Pro poměrné prodloužení  $\epsilon$  vlákna platí užitím (2.3.5) a následným zavedením seskání  $\delta = 1 - \xi/\xi_0$  vztah

$$\epsilon = (\ell/\xi_0) - 1 = \xi_0/(\xi_0 \cos\beta) - 1 = (1 - \delta)/\cos\beta - 1 \quad (2.3.30)$$

Mezi tahovým napětím a prodloužením vlákna se nejjednodušší uvažuje lineární závislost s modulem pružnosti  $E$ . Ve vlákně s plochou  $A$  příčného řezu tak vzniká tahová síla

$$P = E A \epsilon = E A [(1 - \delta)/\cos\beta - 1] \quad (2.3.31)$$

Síla  $P$  působí ve směru tečny k šroubovici vlákna. Její složka do směru osy příze je  $P \cos\beta$ . V diferenciální vrstvě na poloměru  $r$  je  $dF$  vláken, která dohromady přispívají k celkové osové síle hodnotou  $dF = P \cos\beta dr$ . Za užití (2.3.31) a (2.3.16)

$$dF = 2\pi E [(1 - \delta) \cos\beta - \cos^2\beta] ur dr \quad (2.3.32)$$

Výsledná osová síla  $F$  je určena integrálem  $F = \int_{r=0}^{R/2} dF$ . Integrací (2.3.32) a následující úpravou vznikne výraz

$$\delta = 1 - \left( \frac{2\pi}{R} \int_0^{R/2} [\cos^2\beta ur dr + F/E] \right) / \left( \frac{2\pi}{R} \int_0^{R/2} \cos\beta ur dr \right) \quad (2.3.33)$$

Obvykle se předpokládá, že osová síla v zakrouceném útvaru je prakticky nulová,  $F = 0$ . Potom pro seskání platí

$$\delta = 1 - \frac{\int_0^{R/2} \cos^2\beta ur dr}{\int_0^{R/2} \cos\beta ur dr} \quad (2.3.34)$$

Vynásobi-li se čitatel i jmenovatel hodnotou  $R/2$ , pak s ohledem na (2.3.16) a (2.3.17) lze zlomek zapsat ve tvaru  $\frac{\int_0^{R/2} \cos\beta dr}{\int_0^{R/2} dr} = \cos\beta R/2$ . Odtud je zřejmý vztah k počtu vláken. Podíl integrálů v posledním výrazu tedy vyjadřuje střední hodnotu veličiny  $\cos\beta$ , váženou počtem vláken na jednotlivých poloměrech. Opět tak vznikl výraz typu  $\delta = f \cos\beta$ .

V případě ideálního modelu lze po vyjádření  $\cos\beta$  z (2.3.3) provést potřebné integrace a po úpravě se nalezné

$$\delta = 1 - \ln \sqrt{1 + (\pi D Z)^2} / \sqrt{1 + (\pi D Z)^2} - 1 = 1 - \ln (1/\cos\beta) / (1/\cos\beta - 1) \quad (2.3.35)$$

Užitím (2.3.11) je možno vyjádřit seskání vůči  $\alpha_S$ . Platí

$$\delta = 1 - \ln \sqrt{1 + 4\pi \alpha_S^2 \bar{u}} / (\sqrt{1 + 4\pi \alpha_S^2 \bar{u}} - 1) \quad (2.3.36)$$

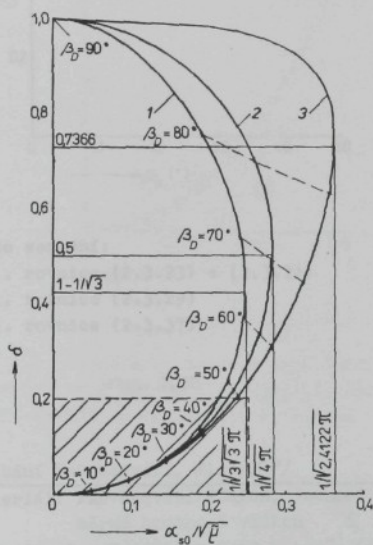
Mezi seskáním  $\delta$  a koeficientem  $\alpha_{S0}$  platí užitím (2.3.14) v (2.3.36)

$$\delta = 1 - \ln \sqrt{1 + \frac{4\pi \alpha_{S0}^2}{\bar{u}(1-\delta)^3}} / \left( \sqrt{1 + \frac{4\pi \alpha_{S0}^2}{\bar{u}(1-\delta)^3}} - 1 \right) \quad (2.3.37)$$

Výraz nelze pro  $\delta$  ani  $\alpha_{so}$  upravit do explicitního tvaru. Výpočet odpovídajících si hodnot  $\delta$ ,  $\alpha_{so}$  lze však provést parametricky. Přípustné veličiny  $\alpha_{so}$  jsou i zde omezeny a v mezním případě splňují podmíinku  $\ln \cos \beta = (3 \cos \beta - 3) / (4 - 3 \cos \beta)$ . Z numerického řešení se získá  $\beta \leq 84,008435^\circ$ , z (2.3.35) pak  $\delta \leq 0,736638$  a z (2.3.11) a (2.3.14) konečně  $\alpha_{so} \leq \sqrt{\kappa/(8\cdot2412184)}$ . Pro nižší hodnoty  $\alpha_{so}$  existují vždy dvě hodnoty  $\delta$ , které vyhoví rovnici (2.3.37). Nižší z nich je možnem reálného seskání, vyšší se týká nevznikající, nestabilní formy uspořádání.

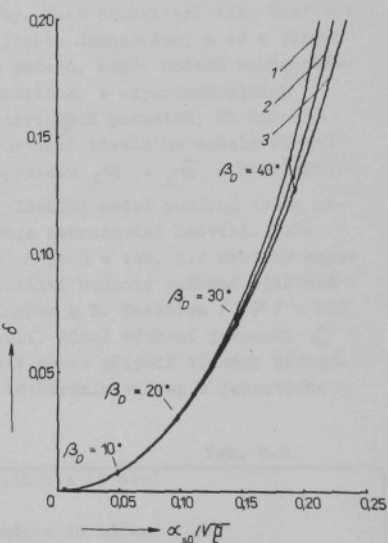
Výraz typu (2.3.35) zavedl do odborné literatury poprvé V.I. Budnikov /13/.

Porovnání hypotéz. Průběh seskání  $\delta$  v závislosti na  $\alpha_{so}/\kappa$  je pro případ ideálního modelu znázorněn na obr. 2.26. Graficky jsou vyneseny funkce: (2.3.23) při platnosti (2.3.24), dále (2.3.29) a konečně (2.3.37). Část tohoto grafu do hodnoty seskání  $\delta = 0,20$  je ve zvětšeném měřítku vynesena na obr. 2.27.



1 ... rovnice (2.3.23) s (2.3.24)  
2 ... rovnice (2.3.29)  
3 ... rovnice (2.3.37)

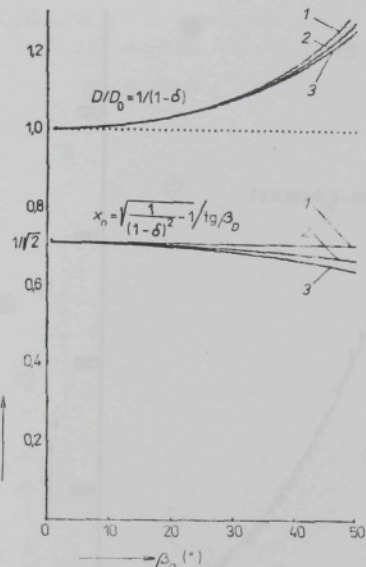
obr. 2.26



obr. 2.27

Důsledky modelových variant na neutrální poloměr a průměr zakrouceného útvaru jsou v závislosti na velikosti úhlu  $\beta_D$  ilustrovány křivkami v obr. 2.28. Poměrná hodnota  $x_n$  neutrálního poloměru je dopočítána ze seskání dle rovnice (2.3.21). (Jako závislost mezi  $\delta$  a  $x_n$  při parametrům  $\beta_D$  platí (2.3.21) obecně pro každý typ modelu souosých šroubovic.)

Mezi průměrem  $D$  zakrouceného útvaru a vstupním průměrem  $D_0$  nezakrouceného pramínu bylo při platnosti předpokladu 6 ( $\tilde{\kappa}$  = konstanta nezávislá na zákrutu) užito relace  $D/D_0 = 1/(1-\delta)$ . Z charakteru grafů je zřejmý téměř konstantní průběh  $x_n$  a mírně rostoucí průběh  $D/D_0$ .



Užito seskání:

- 1 ... rovnice (2.3.23) s (2.3.24)
- 2 ... rovnice (2.3.29)
- 3 ... rovnice (2.3.37)

obr. 2.28

#### Výpočty a experimentální výsledky.

Obecný okamžik procesu tvorby příze je určen vstupním zákrutem  $Z_0$  vloženým do vstupní jemnosti  $T$ , tj. též vstupním plošným Koehlinovým zákrutovým koeficientem  $\alpha_{50}$ . V daném okamžiku zaujímají jednotlivá vlákna jistou polohu, kroucenému útvaru přísluší jisté hodnoty seskání  $\delta$ , jemnosti  $T$ , zákrutu  $Z$  i průměru  $D$ .

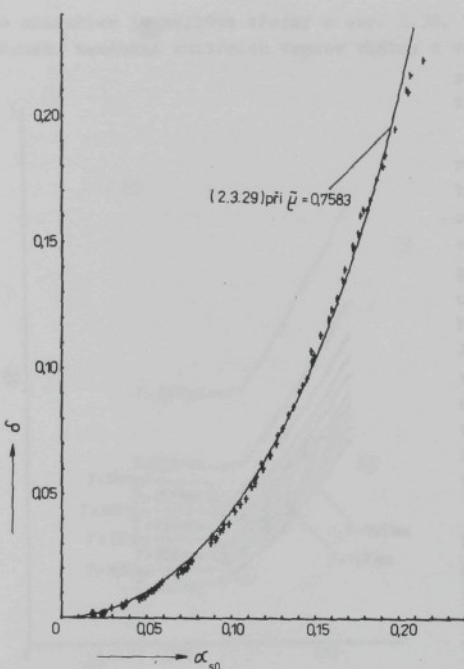
Dosavadní modelové vztahy zatím neumožňují řešit radiální průběh zaplnění  $\mathcal{C}$  a jeho vývoj v procesu tvorby. Tato charakteristika musí být do výpočtu dosazována, a to z jiných typů modelů, např. modelů zakrucování kontinua, z experimentálních a empirických poznatků, či dokonce ve variantě ideálního modelu formou předpokladu  $\mathcal{C} = \bar{\mathcal{C}} = \text{konstanta}$ .

Ideální model poměrně dobře zobrazuje zakrucování hedvábí. Jako příklad jsou v tab. 2.2 uvedeny experimentální hodnoty seskání zjištěné J. Markem a B. Neckářem [57] u PAD hedvábí. Různé výchozí jemnosti  $T_0$  byly v tomto případě získány postupným odebíráním vláken z jednotného

#### Seskání PAD hedvábí, dle [57]

Tab. 2.2

$Z_0$ (tex) $Z_0$ (m)	10,5 (95 den)	10 (90 den)	9,4 (85 den)	8,8 (80 den)	$T$ (tex) $Z_0$ (m)	11,1 (100 den)	8,3 (75 den)	7,7 (70 den)	7,2 (65 den)	6,6 (60 den)
	200	0,0020	0,0017	0,0014	0,0019	300	0,0040	0,0024	0,0020	0,0021
400	0,0063	0,0056	0,0048	0,0051	600	0,0147	0,0102	0,0087	0,0083	0,0075
600	0,0136	0,0125	0,0111	0,0111	900	0,0336	0,0233	0,0204	0,0191	0,0176
800	0,0238	0,0223	0,0199	0,0196	1200	0,0628	0,0437	0,0385	0,0362	0,0330
1000	0,0381	0,0355	0,0322	0,0308	1500	0,1081	0,0741	0,0660	0,0608	0,0551
1200	0,0576	0,0536	0,0487	0,0464	1800	0,1621	0,1147	0,1040	0,0946	0,0857
1400	0,0824	0,0771	0,0708	0,0663	2100	0,2182	0,1643	0,1492	0,1365	0,1246
1600	0,1145	0,1064	0,0972	0,0917	2400	-	0,2124	0,1966	0,1819	0,1681
1800	0,1500	0,1406	0,1290	0,1210	2700	-	-	-	0,2240	0,2114
2000	0,1863	0,1764	0,1643	0,1548	-	-	-	-	-	-
2200	-	-	-	0,1870	-	-	-	-	-	-



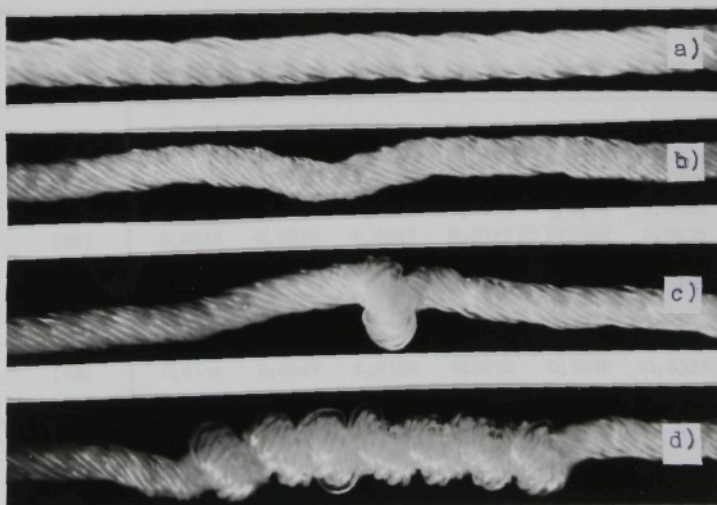
obr. 2.29

$Z_0$ , který bylo možno v dané řadě do útvaru skutečně vložit. Poté se již začal objevovat tzv. zákrut II. rádu. (Do české terminologie zavedli tento název J. Marko a B. Neckář za spolupráce J. Simona v r. 1967.)

materiálu 11,1 tex (100 den). Seskáni se zajišťovalo měřením na zákrutoměru. Všechny experimentální hodnoty jsou v závislosti na koeficientu  $\alpha_{50}$  vyneseny v obr. 2.29.

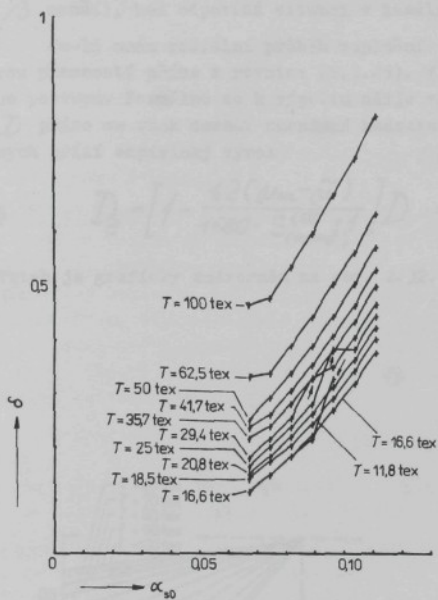
Pro srovnání je znázorněna též závislost (2.3.29), vypočtená při hodnotě  $\bar{\alpha} = 0,7582$ . Shoda je zde zřejmá. Oproti výpočtu se teprve nad  $\delta = 0,15$  objevuje náznak zpomalování nárůstu hodnot seskáni, které je nad  $\delta = 0,2$  již zřetelné. To patrně souvisí se „zuhnutím“ vlákenné struktury při extrémně vysokých zákrutech. Z citované práce /57/ vyplývá i dobrá shoda průměru  $D$  s výpočtem, při užití hodnoty zaplnění  $\bar{\alpha} = 0,7582$ . Souhlas experimentálních a teoretických závislostí potvrzuje experimentální výsledky jiných podobných prací, publikovaných A.V. Matukoniem /61/, A.V. Usenkiem /113/ aj.

Svazek vláken však nelze zakrucovat až k teoreticky maximální hodnotě  $\alpha_{50}$ . Poslední hodnoty v tab. 2.2 ukazují nejvyšší zákrut



obr. 2.30

Jeho charakter je nejlépe zřejmý z obr. 2.30. Vzniká pravděpodobně jako důsledek vzpěrného namáhání vnitřních vrstev vlákny z větších polomérů. Okamžik jeho vzniku závisí do značné míry na předpětí při zákrucování.



Anomální hodnoty

obr. 2.31

Podstatně složitější problémy přináší aplikace modelů souosých šroubovic na proces tvorby příze. Příklad experimentálních hodnot seskání, stanovených F.A. Afončíkovem pro bavlněné příze, je podle / 103 / uveden v tabulce 2.3. Na obr. 2.31 jsou tabelované hodnoty vyneseny v závislosti na  $\alpha_{50}$ . Je zřejmé, že seskání těchto přízí závisí na jejich jemnosti. Dále tvar experimentálních křivek neodpovídá vztahům odvozeným pro ideální model. Předpoklady 5 a 6 formulované v úvodu této kapitoly zde prostě neplatí.

Zaplnění  $\tilde{\alpha}$  celé příze není konstantní, ale mění se s jemností a zákrutem podle vztahu (1.3.20) odvozeného v kap. 1.3.4. (V rovnici (1.3.20) je  $\tilde{\alpha}$  značeno pouze symbolem  $\alpha$ . U bavlněných přízí je mezní zaplnění  $\alpha_m = 0,8$ , konstanta  $M \approx 4 \text{ mm}$ .) Dosazením takto stanoveného  $\tilde{\alpha}$  se výpočet seskání dle (2.3.29) přiblíží experimentální skutečnosti, avšak stále ještě není dostatečně uspokojivý.

Seskání bavlněné příze podle F.A. Afončíkova (citováno dle / 103 /)

Tab. 2.3

$T_b(\text{tex})$	$\alpha_{50}(-)$	0,0670 (82)	0,0743 (91)	0,0816 (100)	0,0890 (109)	0,0963 (118)	0,1037 (127)	0,1110 (136)
$\alpha(\text{cm})$	$\alpha$							
100	(10)	0,0467	0,0480	0,0537	0,0600	0,0672	0,0742	0,0822
62,5	(16)	0,0332	0,0339	0,0391	0,0446	0,0507	0,0566	0,0638
50	(20)	0,0250	0,0293	0,0339	0,0391	0,0447	0,0508	0,0576
41,7	(24)	0,0236	0,0261	0,0306	0,0355	0,0410	0,0468	0,0534
35,7	(28)	0,0216	0,0239	0,0281	0,0329	0,0382	0,0438	0,0503
29,4	(34)	0,0179	0,0215	0,0254	0,0331 <sup>**</sup>	0,0351	0,0408	0,0470
25	(40)	0,0163	0,0200	0,0237	0,0281	0,0386 <sup>**</sup>	0,0386	0,0448
20,8	(48)	0,0149	0,0182	0,0219	0,0263	0,0314	0,0366	0,0326
18,5	(54)	0,0140	0,0173	0,0202	0,0244	0,0292	0,0345	0,0405
16,6	(60)	0,0116	0,0147	0,0182	0,0222	0,0270	0,0321	0,0379
11,8	(85)	0,0226	0,0147	0,0182	0,0215	0,0329 <sup>**</sup>	-	-

\* )  $\alpha = Z_{\sigma(m')}/\sqrt{cm}$  ... tradičně užívaný Koechlinův zákrutový koeficient.  
Pro bavlnu platí  $\alpha_{SO} = \alpha \cdot 8,165 \cdot 10^{-4}$

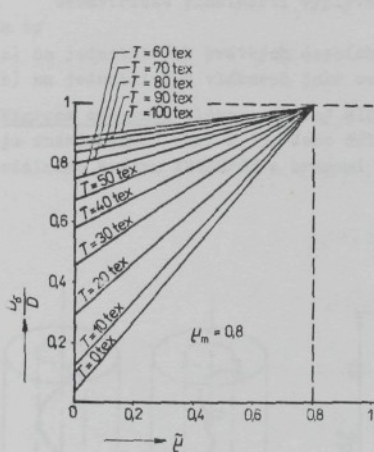
\*\*) Anomální, z trendu experimentální řady vybočující hodnoty.

Radiální průběh zaplnění  $\mu$  totiž není v přízích konstantní. Na menších, vnitřních poloměrech je zaplnění velké, k okraji příze se zmenšuje. Proto je ve skutečnosti střední hodnota  $\cos\beta$  definovaná zlomkem v (2.3.25) větší (střední hodnota úhlu  $\beta$  menší), než odpovídá situaci v ideálním modelu a seskání  $\delta$  se zmenšuje.

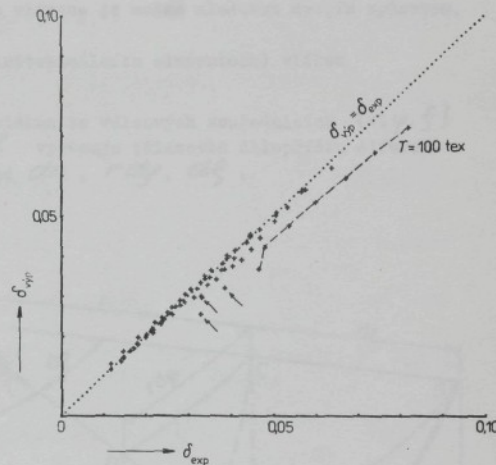
Je-li znán radiální průběh zaplnění  $\mu$ , lze seskání příze vyčíslit s dobrou přesností přímo z rovnice (2.3.25). V opačném případě je vhodné užít empirického postupu. Formálně se k výpočtu užije vztahu (2.3.26). Místo skutečného průměru  $D$  příze se však dosadí zmenšená hodnota  $D_\delta$ , pro niž autor stanovil u bavlněných přízí empirický výraz

$$D_\delta = \left[ 1 - \frac{12(\mu_m - \tilde{\mu})}{1180 \cdot S_{(tex)}^{188} + 1} \right] D = \left[ 1 - \frac{12(\mu_m - \tilde{\mu})}{126 \cdot 10^3 T_{(tex)}^{188} + 1} \right] D \quad (2.3.38)$$

Vztah je graficky znázorněn na obr. 2.32.



obr. 2.32



anomální hodnoty

obr. 2.33

Při mezním zaplnění  $\mu_m = 0,8$  a konstantě  $M = 4$  mm bylo rovnici (1.3.20) určeno zaplnění  $\tilde{\mu}$ , rovnicemi (1.3.7) a (1.3.5) při  $\rho = 1500 \text{ kg.m}^{-3}$  průměr  $D$  příze, rovnici (2.3.38) průměr  $D_\delta$  a jeho dosazením místo  $D$  do (2.3.26) seskání  $\delta$  pro všechny příze z tab. 2.3. Vzájemné porovnání experimentálních a vypočtených hodnot seskání je znázorněno na obr. 2.33. Je zde patrná přijatelná shoda, s výjimkou nejhrubší příze 100 tex, kde patrně empirický výraz (2.3.38) již zcela neplatí.

### 2.3.2. MIGRACE VLÁKEN - VYMEZENÍ ZÁKLADNÍCH POJMŮ

Poznámka: Problematika migrace se vyskytuje jak v souvislosti s tvorbou, tak i při analýze struktury příze. V této kapitole jsou rozpracovány původní autory pojmy a souvislosti užívané v kap. 2 i kap. 3.

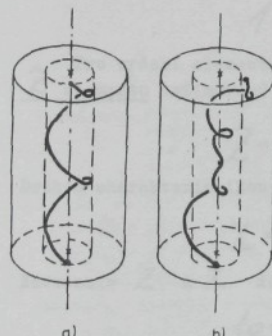
Již v době vzniku prvních modelů souosých šroubovic bylo autorům zřejmé, že nezobrazují tvorbu a strukturu zcela reálné. Otázky skutečného tvaru vláken v přízích se začaly studovat v prvé polovině tohoto století. Známé jsou práce N.T. Pavlova a V.K. Pejsachova /84/, /87/ či N.M. Bělicina /9/, /10/ nebo F.T. Peirce /86/. Pro odlišnost křivky reálného vlákna od šroubovice použil poprvé W.E. Morton /64/ název migrace.

Složky migrace. Jev migrace je možno v pojetí autora nejobecněji definovat jako odlišnost prostorových křivek reálných vláken od šroubovice. Je znázorněn na obr. 2.34. U migrujícího vlákna není splněna alespoň jedna z rovnic (2.3.1), (2.3.2), které šroubovici popisují. Neplatí-li rovnice (2.3.1), má vlákno proměnlivou vzdálenost  $r$  od osy příze, existuje u něj radiální migrace. Neplatí-li rovnice (2.3.2), má vlákno v jednotlivých místech proměnnou hodnotu zákrutu  $Z$  a lze hovořit o zákrutové migraci. Obecně je migrace souhrnem obou složek. V ryze radiální či ryze zákrutové migraci se však uvažuje jen složka jediná.

Geometrické vlastnosti vyplývající z migrace je možno sledovat dvojím způsobem, a to

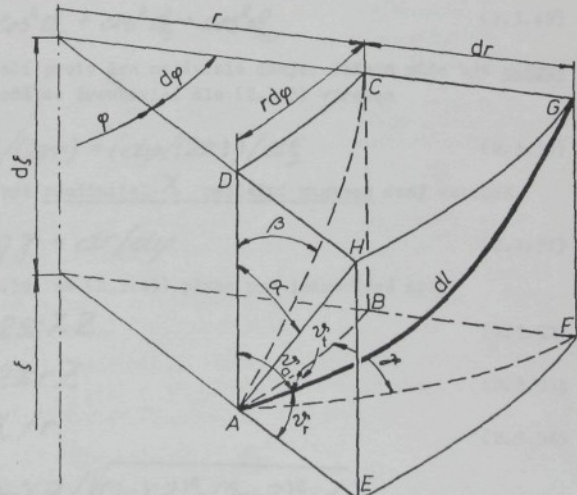
- na jednotlivých krátkých úsecích (infinitesimálních elementech) vláken
- na jednotlivých vláknech jako celcích.

Migrace elementu vlákna. Obecný element vlákna ve válcových souřadnicích  $(r, \varphi, \xi)$  je znázorněn na obr. 2.35. Jeho délka  $dl$  vymezuje tělesovou úhlopříčku diferenciálního kvádru ABCDEFGH s hranami o délce  $dr$ ,  $r d\varphi$ ,  $d\xi$ .



a) nemigrující  
b) migrující

obr. 2.34



obr. 2.35

Průměty AH, AC, AF elementu AG do jednotlivých stěn svírají s příslušnými hranami úhly  $\alpha$ ,  $\beta$ ,  $\gamma$ . Platí

$$\operatorname{tg} \alpha = dr/d\xi \quad (2.3.39)$$

$$\operatorname{tg} \beta = r dy/d\xi \quad (2.3.40)$$

$$\operatorname{tg} \gamma = dr/(r dy) \quad (2.3.41)$$

Poznamenejme, že výraz (2.3.40) je shodný s definicí (2.3.3) v modelu souosých šroubovic. Samotný element AG svírá s hranami AE, AB, AD úhly  $\varphi_r$ ,  $\varphi_t$ ,  $\varphi_a$ , takže

$$\cos \varphi_r = dr/dl \quad (2.3.42)$$

$$\cos \varphi_t = r dy/dl \quad (2.3.43)$$

$$\cos \varphi_a = d\xi/dl \quad (2.3.44)$$

Pro délku  $dl$  elementu AG konečně platí

$$dl = \sqrt{(dr)^2 + (r dy)^2 + (d\xi)^2} \quad (2.3.45)$$

Z posledních 7 rovnic vyplývají 4 nezávislé vazby mezi úhly

$$\operatorname{tg} \alpha = \operatorname{tg} \beta \cdot \operatorname{tg} \gamma \quad (2.3.46)$$

$$\operatorname{tg} \beta = \cos \varphi_t / \cos \varphi_a \quad (2.3.47)$$

$$\operatorname{tg} \gamma = \cos \varphi_r / \cos \varphi_t \quad (2.3.48)$$

$$1 = \cos^2 \varphi_r + \cos^2 \varphi_t + \cos^2 \varphi_a \quad (2.3.49)$$

Pro určení elementu postačí proto dva nezávislé údaje. Jedním může být zákrut  
Z elementu definovaný ve shodě se šroubovicí dle (2.3.3) výrazem

$$Z = \operatorname{tg} \beta / (2\pi r) = (dy/(2\pi)) / d\xi \quad (2.3.50)$$

Druhou charakteristikou může být součinitel X radiální migrace daný vztahem

$$X = r \operatorname{tg} \gamma = dr/dy \quad (2.3.51)$$

Zavedením Z a X do (2.3.39) až (2.3.49) plyne pro jednotlivé úhly

$$\operatorname{tg} \alpha = 2\pi X Z \quad (2.3.52)$$

$$\operatorname{tg} \beta = 2\pi r Z \quad (2.3.53)$$

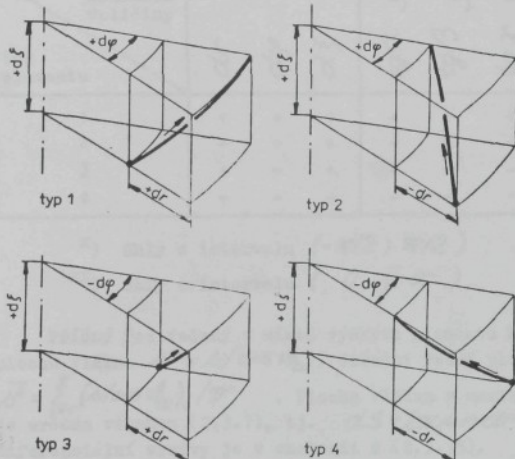
$$\operatorname{tg} \gamma = X / r \quad (2.3.54)$$

$$\cos \varphi_r = 2\pi X Z / \sqrt{(2\pi X Z)^2 + (2\pi r Z)^2 + 1} \quad (2.3.55)$$

$$\cos \varphi_t = 2\pi r Z / \sqrt{(2\pi X Z)^2 + (2\pi r Z)^2 + 1} \quad (2.3.56)$$

$$\cos \vartheta_a = 1 / \sqrt{(2\pi r Z)^2 + (2\pi r Z)^2 + 1} \quad (2.3.57)$$

Počátečním bodem elementu se rozumí bod s nižší souřadnicí  $f$  - v obr. 2.35 bod A. Diferenciál  $d\delta$  je proto vždy kladný. Diferenciály  $dr$  a  $df$  však mohou být obecně kladné i záporné. Existují tak



obr. 2.36

**Poznámka:** Formulace „na poloměru  $r$ “ bude užívána ve smyslu „v diferenciální vrstvě mezi poloměry  $r$  a  $r+dr$ “. Podobně „průchod vlákna poloměrem  $r$ “ bude užíván ve významu „element vlákna, ležící v diferenciální vrstvě mezi poloměry  $r$  a  $r+dr$ “.

Skládá se z dílčích součtů  $\mathcal{V}_1, \mathcal{V}_2, \mathcal{V}_3, \mathcal{V}_4$  průchodů typu 1, 2, 3, 4. Je-li na každém poloměru počet průchodů „ven“ roven počtu průchodů „dovnitř“, platí  $\mathcal{V}_1 + \mathcal{V}_3 = \mathcal{V}_2 + \mathcal{V}_4$  a migrace je vývážená. Lze-li navíc na každém poloměru spárovat tamní průchody vláken tak, že k elementu s úhly  $\alpha, \beta$  je přiřazen symetrický element s úhly  $(-\alpha), \beta$ , je migrace symetrická. Vyházenou a často i symetrickou migraci má většina běžně vyráběných přízí.

Při průchodu poloměrem  $r$  zanechávají vlákna v tamní diferenciální vrstvě elementy délky  $(dl)_i, i = 1, 2, \dots, \sigma$ . Střední délka elementů je určena vztahem  $\bar{dl} = \sum_{i=1}^{\sigma} (dl)_i / \sigma$ . Užitím (2.3.42) lze též psát

$$\bar{dl}/dr = \sum_{i=1}^{\sigma} |1/\cos \vartheta_r|_i / \nu \quad (2.3.58)$$

Je-li  $\sigma$  plocha kolmého řezu každým vláknem, je objem všech elementů  $dV = \nu \cdot \bar{dl}$  a výraz  $u = dV / (2\pi r dr)$  určuje zaplnění diferenciální vrstvy.

4 typy elementů s odlišnými znaménky veličin, dle obr. 2.36 a tab. 2.4. Zanedbat lze elementy, kde by bylo právě  $dr = 0, df = 0$  či  $df = 0$ .

Elementy typu 1 a 3 vystupují „ven“ k větším poloměrům. Naopak elementy 2 a 4 vstupují „dovnitř“. Je-li útvary kroucen v kladném smyslu úhlu  $\phi$ , elementy 1 a 2 se stáčejí ve směru a elementy 3 a 4 proti směru strojního zákrutu.

Přízí jednotkové délky lze pojmat jako soustavu nekonečného množství vlákených elementů všech typů. Na poloměru  $r$  je ovšem počet  $\sigma$  elementů (průchodů) konečný.

$$(u = v \cdot s (\bar{dl}/dr)) / (2\pi r) = \frac{s}{2\pi r} \sum_{i=1}^{\sigma} |1/\cos i\varphi_r|_i \quad (2.3.59)$$

Pokud se do výpočtu zahrnou jen elementy jednoho typu (1, 2, 3 či 4) vzniknou analogicky parciální zaplnění  $\mathcal{U}_1$ ,  $\mathcal{U}_2$ ,  $\mathcal{U}_3$  nebo  $\mathcal{U}_4$ . Platí

$$u = \mathcal{U}_1 + \mathcal{U}_2 + \mathcal{U}_3 + \mathcal{U}_4 \quad (2.3.60)$$

Znaménka veličin pro 4 typy elementů

Tab. 2.4

znaménko veličiny	$dr$	$d\varphi$	$dS$	$x_i$	$x_j$	$x_k$	$xx_i$	$xx_j$	$xx_k$	$\cos i\varphi_r$	$\cos j\varphi_r$	$\cos k\varphi_r$	$\sum$	$\chi$
typ elementu				$\operatorname{tg} \alpha$	$\operatorname{tg} \beta$	$\operatorname{tg} \gamma$								
1	+	+	+	+	+	+	+	+	+	+	+	+	+	+
2	-	+	+	-	+	-	-	+	+	+	+	+	+	-
3	+	-	+	+	-	-	+	-	+	-	+	-	-	-
4	-	-	+	-	-	+	-	-	-	-	+	-	-	+

$x_i$  úhly z intervalu  $(-\pi/2 ; \pi/2)$

$xx_i$  úhly z intervalu  $(0 ; \pi)$

Příčný řez vedený v místě výskytu elementu kolmo k ose příze vytvoří řeznou plochu vlákna  $\delta^* = s / \cos i\varphi_r$ . Střední řezná plocha vlákna na poloměru  $r$  je  $\bar{\delta}^* = \sum_{i=1}^{\sigma} (s / \cos i\varphi_r)_i / \sigma$ . Plocha vláken v mezikruží řezu diferenciální vrstvou je určena vztahem (2.3.7), tj.  $dS = 2\pi r u r dr$ . Počet vláken v mezikruží diferenciální vrstvy je v analogii s (2.3.15).

$$dn = dS / \bar{\delta}^* = (2\pi r u r dr / \sigma) \cdot \left[ v / \sum_{i=1}^{\sigma} (1 / \cos i\varphi_r)_i \right] \quad (2.3.61)$$

Celkový počet vláken v příčném řezu příze o průměru  $D$  lze vyjádřit vztahem

$$n = \int_{r=0}^{r=D/2} dn = \frac{2\pi}{\sigma} \int_0^{D/2} \frac{v u r dr}{\sum_{i=1}^{\sigma} (1 / \cos i\varphi_r)_i} \quad (2.3.62)$$

Na základě hypotézy bilance délek (viz kap. 2.3.1) je možno vyjádřit též seskání  $\delta$ . Za předpokladu, že výchozí pramínek je tvořen soustavou paralelních vláken a úhrnná délka všech vláken se kroucením nemění, platí první vztah ve výrazu (2.3.25); odtud plyne

$$\delta = 1 - \frac{nS}{S} = 1 - \frac{2\pi}{S} \int_0^{D/2} \frac{v u r dr}{\sum_{i=1}^{\sigma} (1 / \cos i\varphi_r)_i} \quad (2.3.63)$$

kde  $S$  je substanční průřez příze.

Nezakroucený pramínky však obvykle obsahují vlákna zvlněná a vzájemně propletená. Formálně jej lze považovat za "příze" v nezakrouceném stavu. "Seskání"  $\delta_0$  takového pramínku vůči hypotetickému pramínku paralelních vláken je rovněž určeno výrazem (2.3.63), užijí-li se v něm jemu příslušející veličiny. Z hypotetického paralelního pramínku délky 1 tedy vzniká reálný pramínek délky  $1 - \delta_0$  a posléze příze délky  $1 - \delta$ . Skutečné seskání  $\delta^*$  je potom

$$\delta^* = 1 - (1 - \delta) / (1 - \delta_0) \quad (2.3.64)$$

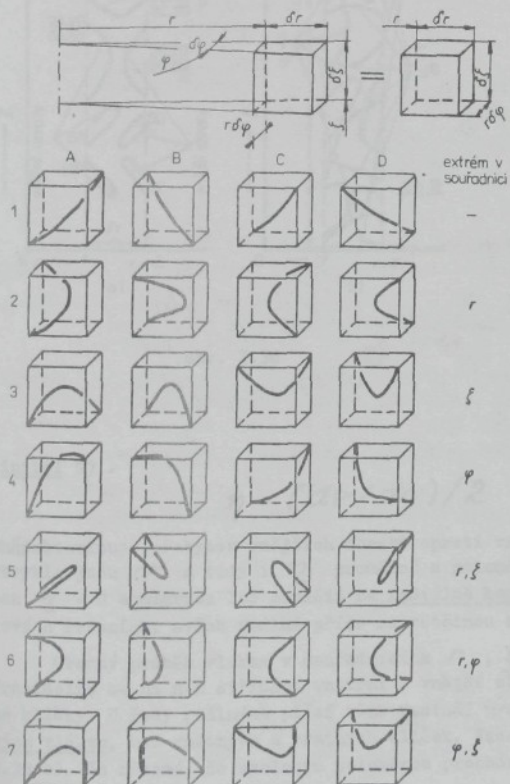
Hlavní trend směrové různorodých průchodů vláken daným poloměrem je často třeba vyjádřit směrem jakéhosi průměrného - charakteristického elementu. Intuitivní představě pravděpodobně nejlépe vyhovuje vektorový průměr. V tomto případě je každý element ležící v diferenciální vrstvě považován za elementární vektor

$$\vec{de} = [(dr)_i; r(dy)_i; (d\varphi)_i]; \quad i=1, 2, \dots, v$$

Sečtením všech elementárních vektorů vznikne součtový vektor  $\vec{de}_\Sigma = [\sum_{i=1}^v (dr)_i; r \sum_{i=1}^v (dy)_i; \sum_{i=1}^v (d\varphi)_i]$  jehož směrem je definován i směr charakteristického elementu.

Provede-li se naznačený postup jenom se skupinou elementů jednoho typu (1, 2, 3 či 4 - viz obr. 2.36), bude směr charakteristického elementu vystihovat hlavní trend v této skupině.

Migrace celých vláken. Vlátko v přízi tvoří složitou prostorovou křivku. Každému bodu na ní přísluší válcové souřadnice  $r, \varphi, \xi$  a délka  $\ell$  části vlákna od zvoleného počátku. Křivku vlákna lze popsat parametrickými rovnicemi  $r=r(\ell)$ ,  $\varphi=\varphi(\ell)$ ,  $\xi=\xi(\ell)$ . Podle průběhu těchto funkcí je možno rozlišit 28 variant úseků vlákkenné křivky. Autorovo pojetí je znázorněno na obr. 2.37.



obr. 2.37

Skupinu 1 tvoří průběžné úseky, v nichž se nevyskytuje extrémální body žádné z parametrických rovnic. Takové typy úseků jsou nejčastější.

Skupinu 2 tvoří radiální obraty, tj. úseky v okolí extrému  $d\varphi/d\ell = 0$ . Varianty 2A, 2B jsou vnitřní obraty („zvenuti“ - „dvnitři“), 2C a 2D jsou vнější obraty („zvenku“ - „ven“).

Ve skupině 3 jsou podélné klišky. Charakterizují průběh v okolí extrému  $d\xi/d\ell = 0$ . 3A a 3B jsou zpětné klišky, 3C a 3D jsou vratné klišky.

Skupina 4 shrnuje zákrutové oblouky v okolí extrému  $dy/d\ell = 0$ . 4A a 4B jsou odvracné oblouky (odvrací se od opačného směru zákrutu), 4C a 4D jsou přívracné oblouky.

Skupina 5 je tvořena úseků vláken v okolí

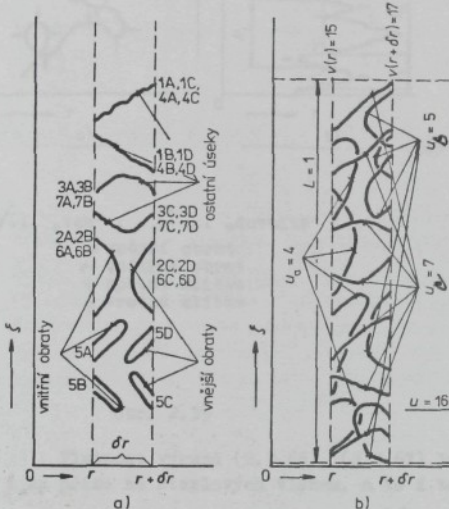
„dvojitých“ extrémů  $dr/dr = d\delta/dr = 0$ . Jsou to současně radiální obraty i podélné kličky.

Ve skupině 6 jsou úseky v okolí „dvojitých“ extrémů  $dr/dr = d\delta/dr = 0$ . Jsou současně radiálními obraty i zákrutovými oblouky. Podobně skupina 7 zahrnuje okolí „dvojitých“ extrémů  $d\delta/dr = dr/dr = 0$ . Úseky jsou současně podélnými kličkami i zákrutovými oblouky.

Vlákenné úseky je též možno sledovat jen z hlediska souřadnic  $r$ ,  $\xi$ . Pak mnohé z nich splynou do jednoho typu, jak je uvedeno na obr. 2.38 a).

Z hlediska radiální migrace zasluhují zvláště pozorností vnitřní a vnější obraty. Vnitřní obraty procházejí  $2x$  poloměrem  $r$ , vnější obraty procházejí  $2x$  poloměrem  $r + \delta r$ . na obr. 2.38 b). Ostatní úseky procházejí  $1x$  každým z obou poloměrů.

Nechť v přízi jednotkové délky v prostoru mezi dvěma dostatečně blízkými poloměry  $r$ ,  $r + \delta r$  leží celkem  $W$  vlákenných úseků, z nichž je  $u_a$  vnitřních obratů,  $u_b$  vnějších obratů a  $u_c$  ostatních úseků - obr. 2.38 b). Počet průchodů poloměrem  $r$  je  $v(r) = 2u_a + u_c$ , počet průchodů poloměrem  $r + \delta r$  je  $v(r + \delta r) = 2u_b + u_c$ . Značí-li se  $\delta v(r) = v(r + \delta r) - v(r)$ , potom  $\delta v(r)/2 = u_b - u_a$  vyjadřuje, o kolik je ve sledovaném prostoru více vnějších než vnitřních obratů. Poměr  $\delta v(r)/(2\delta r)$  je přebytek vnějších obratů přepočtený na jednotkový interval poloměru. Přechodem od diferencí k diferenčiálu vznikne charakteristika radiálních obratů - obratový součinitel  $\eta$ .



obr. 2.38

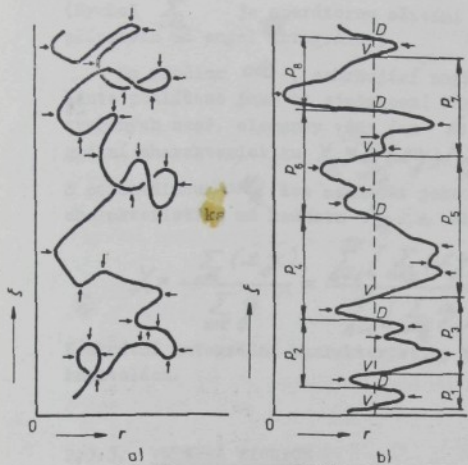
činitel  $\eta$ .

$$\eta = (dv/dr)/2 \quad (2.3.65)$$

Charakterizuje přebytek vnějších obratů oproti vnitřním obratům na poloměru  $r$ . Obvykle jsou  $v$  a tedy i  $\eta$  proměnné s poloměrem. Jestliže však  $v = \text{konst.}$ , pak  $\eta = 0$  a migraci lze označit za radiálně homogenní. Užívá se v některých modelových řešeních, avšak reálné příze se většinou značně odlišují.

Obecný průběh vlákna v souřadnicích  $r$ ,  $\xi$  je znázorněn na obr. 2.39 a). Pravidelně se na něm střídají vnitřní a vnější obraty a nezávisle též zpětné a vratné kličky. U řady reálných přízí však postačí uvažovat zjednodušený případ vzestupných vláken, bez zpětných a vratných kliček. Vzestupné vlákno je zakresleno v obr. 2.39 b). Je zřejmé, že zvolený poloměrem prochází pravidelně „ven“ a „dovnitř“.

Mezi dvěma průchody stejného typu jsou znázorněny vzdálenosti  $P_i$ ,  $i = 1, 2, \dots$ . Jejich střední hodnota  $P_{\bar{v}}$  vystihuje průměrnou periodu vlákna a převratná hodnota



*V*... „ven“ ; *D*... „dovnitř“

- vnitřní obrat
- ← vnitřní obrat
- ↓ zpětná klička
- ↑ vrataální klička

obr. 2.39

Platnost výrazů (2.3.66), (2.3.67) lze za dosti obecných předpokladů rozšířit i na příze ze staplových vláken, a to i takových, která nejsou uspořádána vzestupně.

Poznámka: Veličina  $\bar{v}$ , a tedy i  $f$  a  $P$  jsou obecně závislé na poloměru  $r$ . Konstantní jsou jen v případě homogenní migrace ( $\sigma = \text{konst}$ ), doplněné obvyklou podmírkou  $\bar{v} = \text{konst}$ .

Integrální charakteristika migrace. Smyslem studie migrace není element vlákna, nýbrž celá příze, případně některá její část. Pro vyjádření existujících migračních jevů jsou v takových útvarech užívány jisté globální charakteristiky, shrnující vhodným způsobem projevy jednotlivin - elementů vláken.

Přízi, diferenciální vrstvu, vlákno apod. lze považovat za množinu  $M$  vláken- ných elementů. Každému elementu přísluší geometrické vlastnosti jimiž jsou souřadnice  $r$ ,  $\varphi$ ,  $\xi$ , křivce vlákna odpovídající diferenciály  $dr$ ,  $d\varphi$ ,  $d\xi$ , zavedené úhly  $\alpha$ ,  $\beta$ ,  $\gamma$  atd. Charakteristikou  $X$  je zvolená vlastnost elementu, vyjádřená reálným číslem. Jiná zavedená vlastnost  $Y$  téhož elementu má smysl jeho výhody (významnosti). Za předpokladu, že

$$X = \sum_M (xy) / \sum_M y \quad (2.3.68)$$

má smysl, určuje  $X$  integrální charakteristiku množiny  $M$ , jako vážený aritmetický průměr charakteristik  $x$  jednotlivých elementů. Výraz

$$Y = \sum_M y \quad (2.3.69)$$

je integrální vahou množiny  $M$ .

$f_r = 1/P_r$  průměrnou frekvencí vlákna na daném poloměru. Veličina  $2f_r$  pak vyjadřuje počet všech průchodů vlákna daným poloměrem pře- počtený na jednotkovou délku příze.

V přízi, vytvořené z  $N$  neko- nečných vláken, které mají na polo- měru  $r$  frekvence  $(f_r)_j$ ,  $j = 1, 2, \dots, N$ , připadá na jed- notku délky celkový počet průchodů  $v = \sum_{j=1}^N [2(f_r)_j]$ . Frekvence migrace  $f$  je aritmetickým průmě- rem frekvencí jednotlivých vláken.

$$f = \sum_{j=1}^N (f_r)_j / N = v / (2n) \quad (2.3.66)$$

Její převrácená hodnota je periodou migrace  $P$ .

$$\begin{aligned} P &= \frac{1}{f} = \frac{N}{\sum_{j=1}^N (f_r)_j} = \\ &= \frac{N}{\sum_{j=1}^N (1/P_r)_j} = \frac{2n}{\sigma} \end{aligned} \quad (2.3.67)$$

Je harmonickým průměrem period jed- notlivých vláken.

(Symbol  $\sum_{\mathcal{M}_k}$  je operátorem sčítání přes všechny prvky množiny  $\mathcal{M}$ . V některých případech má smysl integrálu.)

Na množinu  $\mathcal{M}$ , zahrnující např. elementy všech vláken v přízi, může být často pohliženo jako na sjednocení disjunktních podmnožin  $\mathcal{M}_k$ ,  $k = 1, 2, \dots$  tvořených např. elementy vždy jen  $k$ -tého vlákna příze. Každá  $\mathcal{M}_k$  má integrální charakteristiku  $X_k = \sum_{\mathcal{M}_k} (xy) / \sum_{\mathcal{M}_k} y$  a integrální váhu  $y_k = \sum_{\mathcal{M}_k} y$ . S podmnožinou  $\mathcal{M}_k$  lze nakládat jako o jakémsi „makroprykem“ množiny  $\mathcal{M}$ , jehož charakteristika má hodnotu  $X_k$  a váha hodnotu  $y_k$ . Platí totiž

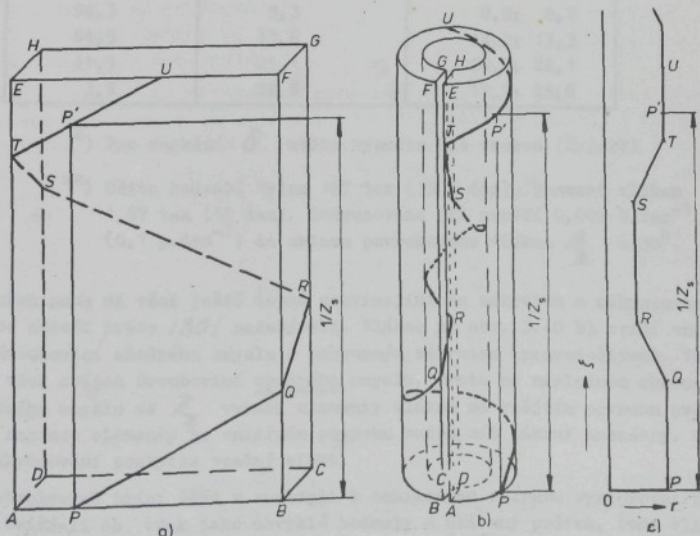
$$X = \frac{\sum_{\mathcal{M}} (xy)}{\sum_{\mathcal{M}} y} = \frac{\sum_{k=1}^n [\sum_{\mathcal{M}_k} (xy)]}{\sum_{k=1}^n [\sum_{\mathcal{M}_k} y]} = \frac{\sum_{k=1}^n (X_k y_k)}{\sum_{k=1}^n y_k} \quad (2.3.70)$$

Konkrétní integrální charakteristiky budou postupně zaváděny a popsány v dalších kapitolách.

### 2.3.3. VNESENÁ MIGRACE

Pramínek vláken se přetváří v přízi a směrová uspořádanost vláken se zobrazuje v migraci. Lze ji do jisté míry ovlivňovat procesem tvorby, ve své podstatě je však předurčena použitým pramínkem. Může proto být nazvána vnesenou migrací.

Vnesená pravidelná migrace. Tato varianta byla pozorována G.J. Ridingen / 93 /, který zakrucoval běžné textilní hedvábí a poté experimentálně analyzoval jeho strukturu. Nalezená migrace byla poměrně pravidelná a její perioda přibližně odpovídala převrácené hodnotě ochranného zákrutu, vloženého do hedvábí při jeho výrobě. Příčiny objasnili J.W.S. Hearle a O.N. Bose / 30 /.



obr. 2.40

Vyráběné hedvábí, opatřené malým ochranným zákrutem  $Z_s$ , odpovídá přibližně modelu současných šroubovic. Průchoden podávacími válečky a vodiči zakrucovacího stroje se však zploštěuje do formy stužky. Schematicky je úsek takové stužky s jedním povrchovým vláknam znázorněn na obr. 2.40 a). Vlastní zakrucování pak probíhá jako svinování stužky, popsané v kap. 2.2.4. Stočením stužky zploštělého hedvábí vznikne útvar na obr. 2.40 b). Vlákenné úseky typu PQ či TU z přední strany stužky přejdou na vnější povrch "trubky", úseky typu RS ze zadní strany budou ležet na vnitřní stěně. Úseky QR nebo TS vytvářejí přechody. Znázorněné vlákno migruje pravidelně mezi vnitřním a vnějším povrchem, jak dokládá i jeho průběh v současných  $r$ ,  $\delta$  na obr. 2.40 c). Perioda vlákna  $P_0$  je právě výškou  $1/Z_s$  jednoho ovínu ochranného zákrutu. Jak ochranný zákrut  $Z_s$ , tak i hodnota periody  $P_0 = 1/Z_s$  jsou společné všem vláknům hedvábí. Proto i výsledná perioda migrace je  $P = P_0 = 1/Z_s$ .

Následným zkroucením se perioda migrace zmenší seskáním  $\delta$ . Ve výsledné přízi potom platí

$$P = (1 - \delta) / Z_s \quad (2.3.71)$$

J.W.S. Hearle a O.N. Bose /30/ porovnali experimentální výsledky G.J. Ridinga /93/ s tímto výpočtem a našli dobrou shodu - viz tab. 2.5. Pouze u nízkých hodnot  $Z_s$  se zjišťuje anomálie způsobená jinými zdroji migrace.

Periody migrace dle /30/, /93/

Tab. 2.5

$Z_s$ $/m^{-1}/$	perioda migrace $P$ /mm/	
	výpočet <sup>x)</sup> (2.3.71)	experimenty <sup>xx)</sup>
165,9	5,3	7,5; 10,4; 5,7
142,1	6,2	6,7; 7,9
122,5	7,2	7,3; 7,8
94,3	9,3	8,9; 8,2
64,5	13,6	14,3; 13,3
41,9	21,1	20,7; 22,1
3,9	22,6	11,7; 25,6

<sup>x)</sup> Pro seskání  $\delta$  užito výpočtu dle vzorce (2.3.27)

<sup>xx)</sup> Užito hedvábí Nylon 167 tex (1500 den), jemnost vláken 1,67 tex (15 den). Zakrucováno při napětí 0,009 N.tex<sup>-1</sup> (0,1 p.den<sup>-1</sup>) do sklonu povrchového vlákna  $\beta \approx 38^\circ$ .

Mechanismus má však ještě dopad související se zákrutem a zákrutovou migrací, kterým se autoři práce /30/ nezabývali. Vlákno na obr. 2.40 b) ovíjí vnější povrch trubky šroubovicí shodného smyslu s ochranným zákrutem (pravotočivou). Vnitřní povrch je však ovíjen šroubovicí opačného smyslu. Proto po následném zkroucení zákrutem shodného smyslu se  $Z_s$  vykáže elementy vláken na vnějším povrchu zvětšený zákrut, zatímco elementy na vnitřním povrchu budou mít zákrut zmenšený. Opačný smysl zakrucování poskytne opačný efekt.

U staplových přízi může v analogii k ochrannému zákrutu vystupovat zákrut přástu. Uváží-li se však jeho obvyklé hodnoty a užívaný průtah, bude vliv tohoto mechanismu migrace zřejmě velmi malý.

Vnesená náhodná migrace. U příze je většinou výraznější náhodná varianta vnesené migrace. Směrová variabilita vláken v pramínku je obvykle důsledkem náhodných procesů, probíhajících při jeho vzniku. Přenesením do příze pak vznikne migrace se zřetelně náhodným charakterem.

Výchozí uspořádání se ovšem přetvořením pramínku v přízi mění. Příčinou jsou deformace vznikající při kroucení. Dvě krajní možnosti, rozpracované autorem, ilustruje obr. 2.41. Ve výchozím objemu jsou zakresleny dva vlákenné úsekы. Kolm na každého z nich je znázorněno okolí ve tvaru kvádrů; zbývající část výchozího objemu je prázdná. Působením sil dochází k deformacím. Ve variantě I se veškerá deformace uskutečňuje sbližováním, prolínáním a posouváním myšlených kvádrů, obepínajících vlákenné úsekы. Samy se však tyto kvádry nedeformují. V takto pojatém mechanismu deformace zůstávají směry (např. úhly  $\alpha_0$ ,  $\beta_0$ ) vlákenných úseků zachovány. Také jejich délka se stlačením ani zkosním výchozího objemu nemění. Naproti tomu varianta II předpokládá stejnometerné stlačování a zkosení všech dílčích kvádrů. Pak se ovšem směry vlákenných úseků mění v závislosti na velikosti stlačení a smykové deformace. Rovněž délka úseků je proměnlivá.

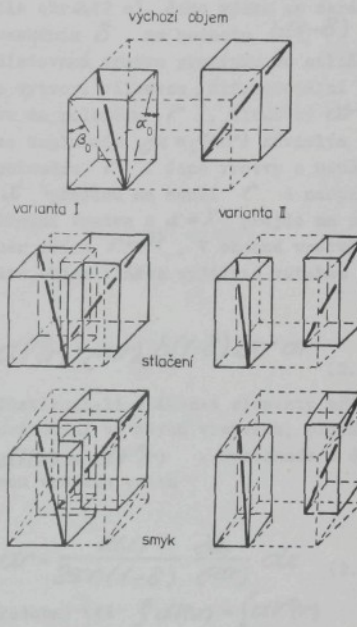
Má-li vlákenný útvor nízkou hodnotu zaplnění, jsou mezi vláknami velké prázdné meziprostory a existuje jen malý počet mezivlákkenných kontaktů. V takovém případě bude pravděpodobně převládat mechanismus podle varianty I. Naproti tomu při vysokých hodnotách zaplnění a velkém počtu mezivlákkenných kontaktů se uplatní spíše varianta II. Obecný případ deformace je nutno spatřovat v jistém kompromisu mezi oběma krajnostmi.

Je zajímavé analyzovat důsledky svíjení stužky v podmírkách platnosti II. varianty deformování. Výchozí stužka délky  $b$  je znázorněna v obr. 2.42 a). Šířka  $a = ax(x)$  závisí u obecného profilu na vzdálenosti  $x$  od zadní části povrchu stužky. Tloušťka celé stužky je  $X$  a šířka ve vzdálenosti  $x=X$  je označena  $a(X) = A$ . Ve všech místech se předpokládá konstantní zaplnění  $\mu$ . Objem vláken v naznačené diferenciální vrstvě je

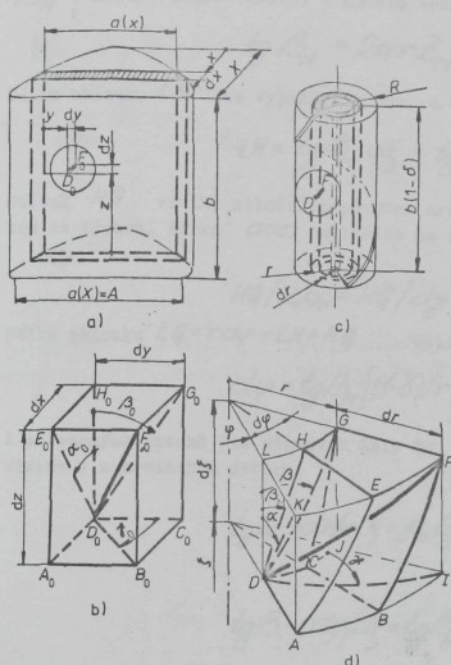
$$dV(x) = \mu a(x) b dx \quad (2.3.72)$$

Obecný element  $dE$  vlákna ze sledované vrstvy, znázorněny ve zvětšení na obr. 2.42 b), vymezuje kvádr s hranami  $dx$ ,  $dy$ ,  $dz$  kde platí

$$\operatorname{tg}\alpha = dx/dz \quad (2.3.73)$$



obr. 2.41



obr. 2.42

platí ve tvaru

$$2\pi(1-\delta) \int_0^R \mu(r) r dr = \mu_0 \int_0^x a(x) dx \quad (2.3.79)$$

Vydělením posledních dvou rovnic se získá vztah

$$J(r) \cdot \int_0^x a(x) dx = \int_0^x a(x) dx \quad (2.3.80)$$

kde

$$J(r) = \int_0^r \mu(r) \cdot r \cdot dr / \int_0^R \mu(r) r dr \quad (2.3.81)$$

Výchozí element  $D_0F$  se svinutím přetvoří na  $DF$  a výchozí kvádr z obr. 2.42 b) se přetvoří na kosý hranol v 2.42 d). Výška  $d\xi$  je původní  $dx$  zkrácené následně seskáním  $\delta$ .

$$d\xi = (1-\delta) dx \quad (2.3.82)$$

$$\tan \beta_0 = dy/dx \quad (2.3.74)$$

$$\tan \alpha_0 = dx/dy \quad (2.3.75)$$

Svinutím stužky vznikne útvar dle obr. 2.42 c). Jeho výška se zkrátí seskáním  $\delta$  na hodnotu  $b(1-\delta)$ . Sledovaná vrstva pramínku se stlačí a vytvoří válcovou, diferenciální vrstvu na poloměru  $r$ , tloušťky  $dr$ , se zaplněním  $\mu = \mu(r)$  závislém na poloměru  $r$ . Jiné vrstvy s menším  $x$  přejdou na menší  $r$  a naopak. Přední vrstva s  $x=X$  přejde na poloměr příze  $r=R$ . V obecné vrstvě lze objem vláken vyjádřit vztahem

$$dV(r) = \mu(r) b(1-\delta) 2\pi r dr \quad (2.3.76)$$

Zustávají-li vlákenné elementy při svinování ve svých vrstvách, platí  $dV(x) = dV(r)$ . Dosazením a úpravou vznikne vztah

$$dr = \frac{a(x)}{2\pi r(1-\delta)} \cdot \frac{\mu_0}{\mu(r)} dx \quad (2.3.77)$$

Podobně též  $\int dV(x) = \int dV(r)$ , odkud plyne

$$\frac{1}{2\pi(1-\delta)} \int_0^R \mu(r) \cdot r \cdot dr = \mu_0 \int_0^x a(x) dx \quad (2.3.78)$$

Tato rovnice vzájemně přiřazuje proměnné  $r$  a  $x$ . Pro poslední vrstvu

Mákrut  $Z_M$ , vložený do útvaru strojem, způsobil zkosení původní hrany  $D_0 H_0$  o úhel  $\beta_M$ . Podle vztahu (2.3.3) z modelu souosých šroubovic

$$\operatorname{tg} \beta_M = 2\pi r Z_M \quad (2.3.83)$$

Délku oblouku  $LH$  lze vyjádřit z obr. 2.42 d).

$$LH = \operatorname{tg} \beta_M d\delta = \operatorname{tg} \beta_M [(1-\delta) dx] \quad (2.3.84)$$

Oblouk  $HG$  vznikl stlačením původní hrany,  $H_0 G_0 = dy$ , a to ve stejném poměru v jakém se výchozí šířka  $a(\omega)$  stlačila na obvod  $2\pi r$ .

$$HG/H_0 G_0 = HG/dy = 2\pi r/a(\omega) \quad (2.3.85)$$

Délka oblouku  $LG = r dy = LH + HG$ . Užitím (2.3.84) a (2.3.85) vznikne

$$dy = \operatorname{tg} \beta_M [(1-\delta)/r] dx + [2\pi r/a(\omega)] dy \quad (2.3.86)$$

Z odvozených vztahů lze stanovit úhly  $\alpha$ ,  $\beta$  charakterizující směr elementu vlákna v zakrouceném útvaru.

$$\operatorname{tg} \alpha = dr/d\delta = (1/\operatorname{tg} \alpha_0 \cdot a(\omega)) / [2\pi r(1-\delta)^2 a(\omega)] \quad (2.3.87)$$

$$\operatorname{tg} \beta = rd\delta/d\delta = \operatorname{tg} \beta_M + 2\pi r \operatorname{tg} \beta_0 / [(1-\delta) a(\omega)] \quad (2.3.88)$$

Veličiny  $\operatorname{tg} \alpha_0$ ,  $\operatorname{tg} \beta_0$  jsou náhodné proměnné se středními hodnotami  $\overline{\operatorname{tg} \alpha_0}$ ,  $\overline{\operatorname{tg} \beta_0}$  a směrodatnými odchylkami  $G_{\operatorname{tg} \alpha_0}$ ,  $G_{\operatorname{tg} \beta_0}$ . Obvykle je možno předpokládat, že  $\overline{\operatorname{tg} \alpha_0} = \overline{\operatorname{tg} \beta_0} = 0$ . Pro střední hodnoty a směrodatné odchylky proměnných  $\operatorname{tg} \alpha$ ,  $\operatorname{tg} \beta$  platí pak z (2.3.87) a (2.3.88)

$$\overline{\operatorname{tg} \alpha} = 0 \quad (2.3.89)$$

$$\overline{\operatorname{tg} \beta} = \overline{\operatorname{tg} \beta_M} \quad (2.3.90)$$

$$\overline{G}_{\operatorname{tg} \alpha} = \overline{G}_{\operatorname{tg} \alpha_0} \cdot a(\omega) \cdot M_0 / [2\pi r(1-\delta)^2 a(\omega)] \quad (2.3.91)$$

$$\overline{G}_{\operatorname{tg} \beta} = \overline{G}_{\operatorname{tg} \beta_0} \cdot 2\pi r / [(1-\delta) a(\omega)] \quad (2.3.92)$$

U stužky lichoběžníkového profilu je dle obr. 2.43

$$a(\omega) = A[(1-q/A) \cdot (\omega/X) + q/A] \quad (2.3.93)$$

a pro směrodatné odchylky lze v tomto případě odvodit výrazy

$$\overline{G}_{\operatorname{tg} \alpha} = \frac{\overline{G}_{\operatorname{tg} \alpha_0}}{(1-\delta)^{3/2}} \sqrt{\frac{A}{2\pi X}} \sqrt{\frac{c_{\alpha_0}}{c_{\alpha}}} \frac{1}{\sqrt{1+q/A}} \frac{\bar{a}}{a(\omega)} \frac{\sqrt{(q/A)^2 + [(1-q/A)^2] \cdot kr}}{r/R} \quad (2.3.94)$$

$$\frac{G_{tg\beta}}{G_{tg\alpha}} = \frac{\bar{G}_{tg\beta_0}}{(1-\delta)^{3/2}} \sqrt{\frac{2\pi X}{A}} \sqrt{\frac{c_0}{\bar{c}}} \sqrt{1+q/A} \frac{r/R}{\sqrt{(q/A)^2 + [1-(q/A)^2] \cdot J(r)}} \quad (2.3.95)$$

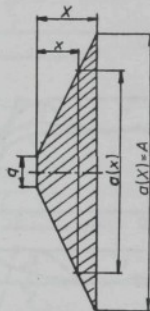
kde  $\bar{c}$  označuje střední zaplnění celé příze podle (2.3.10).

Nejjednodušším případem je stužka trojúhelníkového profilu ( $q=0$ ) svinutá do příze s konstantním zaplněním  $c(r) = \bar{c}$ . Podle (2.3.81) je nyní  $J(r) = r^2/R^2$  a po dosazení vznikne

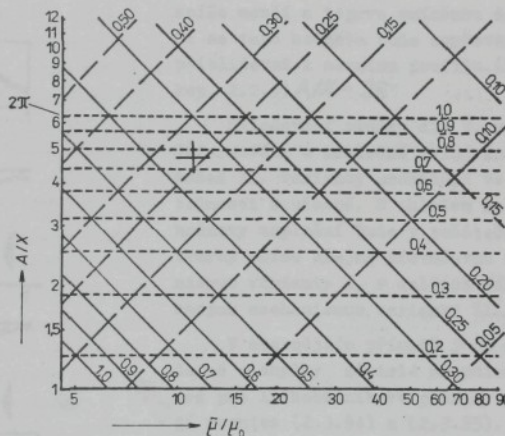
$$\frac{G_{tg\alpha}}{G_{tg\beta}} = \sqrt{A/(2\pi X)} \sqrt{c_0/\bar{c}} / (1-\delta)^{3/2} \quad (2.3.96)$$

$$\frac{G_{tg\beta}}{G_{tg\alpha}} = \sqrt{2\pi X/A} \sqrt{c_0/\bar{c}} / (1-\delta)^{3/2} \quad (2.3.97)$$

Je zřejmé, že v tomto případě jsou směrodatné odchylky nezávislé na poloměru  $r$ . Rovnice jsou ilustrovány nomogramem na obr. 2.44.



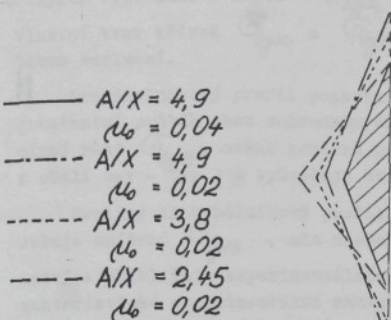
obr. 2.43



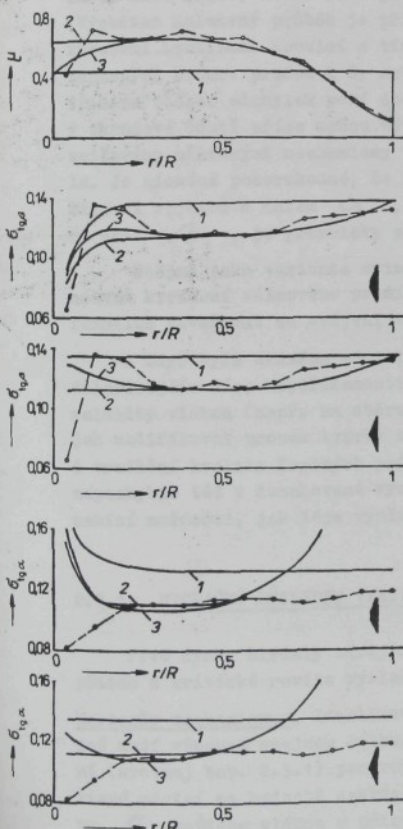
—  $\frac{G_{tg\beta}}{G_{tg\alpha}} = \text{konst.}$   
 - - -  $\frac{G_{tg\alpha}}{G_{tg\beta}} = \text{konst.}$   
 - - -  $(\frac{G_{tg\alpha}}{G_{tg\beta}}) \cdot (\frac{G_{tg\beta}}{G_{tg\alpha}}) = \text{konst.}$   
 zpracováno pro  $1-\delta = 1$ , t.j.  $\delta = 0$

obr. 2.44

Následující příklad, vycházející z „rozumných“ hodnot proměnných, je v něm znázorněn křížkem. Nechtějte výchozí  $\frac{G_{tg\beta}}{G_{tg\alpha}} = \frac{G_{tg\alpha}}{G_{tg\beta}} = \tan 25^\circ = 0,466$ . V bavlnářském typu příze je možno očekávat dle kap. 3.4.5 hodnoty  $\frac{G_{tg\beta}}{G_{tg\alpha}} = \tan 9^\circ = 0,158$  a  $\frac{G_{tg\alpha}}{G_{tg\beta}} = \tan 7^\circ = 0,123$ , takže  $\frac{G_{tg\beta}}{G_{tg\beta}} = 0,340$ ,  $\frac{G_{tg\beta}}{G_{tg\alpha}} = 0,263$  a  $(\frac{G_{tg\alpha}}{G_{tg\beta}}) \cdot (\frac{G_{tg\beta}}{G_{tg\alpha}}) = 0,775 \cdot 1 = 0,775$ . Z předchozích rovnic či grafu pak plyne  $A/X = 4,9$  a  $\bar{c}/c_0 = 11,2$ . Je-li celkové zaplnění příze  $\bar{c} = 0,45$ , je pak  $c_0 = 0,04$ . Hodnoty  $A/X$  a zejména  $c_0$  se však zdají vzhledem k reálným



obr. 2.45



Experiment (príze 19,6 tex;  $669 \text{ m}^{-1}$ ;  
VSs: 0,16 tex; 40 mm)

obr. 2.46

poměru vysoké. Zaplnění pramínku bylo možno spíše očekávat kolem hodnoty  $\mu_0 = 0,02$ . Vypočítaná hodnota 0,04 by pak odpovídala nikoliv výchozímu, ale již nějakým způsobem zdeformovanému - stlačenému pramínku. Při takto uvažovaném stlačování by ovšem musely zůstat zachovány výchozí úhly  $\alpha_0$ ,  $\beta_0$  vlákených elementů. To na rozdíl od dosud užívané představy odpovídá I. variantě deformování dle obr. 2.41. Přitom může, ale nemusí být zachován výchozí poměr  $A/X$ . Jak je znázorneno na obr. 2.45 lze všechny tři profily se zaplněním 0,02 stlačit do šrafováného profilu s  $\mu_0 = 0,04$ . Je pravděpodobné, že výchozí profil obvyklých stužek bude mít hodnotu spíše menší a teprve zmíněnou deformací se tato hodnota bude zvyšovat a přibližovat k meznímu profilu. (viz kap. 2.2.4)  $A/X = 2\pi$

Stlačování stužky dle I. varianty deformování a následné svinování podle zásad II. varianty probíhají ve skutečnosti současně. S ohledem na nízké hodnoty zaplnění bude v počáteční fázi tvorby příze zřejmě převažovat mechanismus varianty I, v dalších fázích naopak mechanismus varianty II.

V obecnějším případě jsou směrodatné odchylinky závislé na poloměru  $r$ , což pro lichoběžníkové profily dokládají rovnice (2.3.94) a (2.3.95). Graficky zpracovaný příklad je společně s experimentálně zjištovanými průběhy u jedné typické, klasicky předené příze z VSs vynesen v obr. 2.46. Ve výpočtech byly uvažovány 3 alternativy radiálního průběhu zaplnění  $\mu$  příze: typ 1 - v celém rozsahu poloměru konstantní, typ 2 - ve vnějších vrstvách směrem k povrchu příze klesající a typ 3 - se sníženým zaplněním i v prostoru kolem osy. Profil stužky byl zvolen jednak trojúhelníkový a dále lichoběžníkový s  $q/A = 0,05$ . Experimentální hodnoty obou směrodatných odchylek jsou v tomto příkladě přibližně shodné (kolem 0,11 a 0,12), což vedlo k volbě parametru  $A/X = 2\pi$ . Absolutní velikost vypočtených směrodatných

odchylek vyplýnula z užití  $\sigma_{tg\alpha} = \sigma_{tg\beta} = 0,466$ ,  $\tilde{\mu}/\mu = 12$  a  $\tilde{\mu} = 0,45$ . Vlastní tvar křivek  $\sigma_{tg\alpha}$  a  $\sigma_{tg\beta}$  je však určen profilem stužky a radiálním průběhem zaplnění.

Trojúhelníkový profil poskytuje při konstantním zaplnění - typ 1 - očekávaný konstantní průběh obou směrodatných odchylek. Pokles zaplnění - typ 2 - vyvolává mírný růst  $\sigma_{tg\beta}$ , avšak poměrně prudký nárůst  $\sigma_{tg\alpha}$ . Podobně růst zaplnění v okolí osy - typ 3 - způsobuje obrácený charakter průběhu v této části.

Zvolený lichoběžníkový profil se promítá do tvaru křivek v osové oblasti. Způsobuje snížení  $\sigma_{tg\beta}$ , ale naopak zvýšení  $\sigma_{tg\alpha}$ . Křivka  $\sigma_{tg\beta}$  typu 3 se nejvíce přibližuje experimentálnímu průběhu, neboť vykazuje i náznak extrému. Charakteristické experimentální maximum je ovšem zřetelně výraznější, zřejmě jako důsledek některých jiných, zatím ne dosti známých dějů, jež probíhají při tvorbě příze v její osové oblasti.

Radiální průběh  $\sigma_{tg\alpha}$  je ve srovnání s trendem experimentálních výsledků odlišný. V osové oblasti je vypočtená závislost opačná - klesající. V okrajové oblasti sice roste, avšak růst je podstatně vyšší než odpovídá skutečnosti. (Výpočtem nalezený průběh je přitom v souladu se způsobem deformování v modelech kroucení kontinua. Souvisí s tím, že poměrné prodloužení  $\epsilon_2$  roste ze značné záporných hodnot prudce k 0; srovnej kap. 2.2.3 a 2.2.5, nebo obr. 2.11 a 2.23.) Příčina těchto odchylek není dosud spolehlivě známa. Zdá se však, že alespoň v okrajové části příze mohou být vypočtené hodnoty  $\sigma_{tg\alpha}$  ve skutečnosti výrazně snížovány některými mechanismy vyrovnávání délek, o nichž se zmíňuje další kapitola. Je nicméně pozoruhodné, že korekční mechanismy ovlivňují významně jen radiální migraci spjatou s úhlem  $\alpha$ , zatímco jejich vliv na migraci zákrutovou, tj. na úhel  $\beta$ , je prakticky zanedbatelný.

Stejně jako varianta svinuté stužky může být řešena i vnesená migrace při osovém kroucení válcového pramínku. Z důvodu uvedených v kap. 2.2.4 ji lze totiž formálně považovat za svíjení trojúhelníkové stužky s parametrem  $A/X = 2\pi$ .

I když byla ukázána závislost vnesené migrace na řadě parametrů, zůstává nejdůležitějším míra uspořádanosti vláken ve výchozím pramínku. Snaha po zvýšení paralelity vláken (např. na sběrném povrchu rotoru) je patrně nejúčinnějším způsobem, jak modifikovat proces tvorby směrem k dosažení lepších vlastností příze. Vždyť i tradiční kvalita česaných přízí nespočívá jen v odstranění krátkých vláken, ale nepochyběně též v dosahované vysoké uspořádanosti zakrucovaných pramínek. Zde se nabízí možnosti, jak lépe využívat a tím i šetřit textilní vlákkennou surovinu.

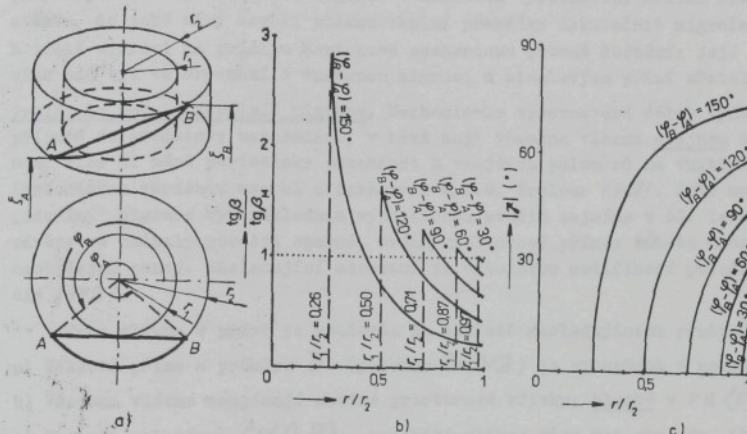
#### 2.3.4. MIGRAČNÍ DŮSLEDKY VYROVNÁVÁNÍ DĚLEK

Prvé úvahy hledaly zdroj migrace v samotném procesu zakrucování. Vycházely přitom z kritické revize výsledků do té doby uvažovaného modelu souosých šroubovic.

Mortonův mechanismus. Idealizovaný výchozí pramínek je tvořen paralelními vlákny, jež mají všechna stejnou délku. Přechodem do soustavy šroubovic se jejich délky změní (srovnej kap. 2.3.1) poměrným prodloužením  $\epsilon = [(1-\delta)/cos\beta] - 1 = (1-\delta)\sqrt{1+(2\pi rZ)^2} - 1$ , které závisí na hodnotě seskání  $\delta$  a zákrutu  $Z$ , ale i na individuálním poloměru  $r$  každého vlákna v přízi. Ve vnějších vrstvách jsou vlákná napínána zatímco kolem osy příze se stlačují. V klasické představě šroubovicového modelu se délkové změny realizují deformací samotné hmoty vlákná.

Vlákna se však také snaží zaújmout jinou, pro ně výhodnější polohu. Z vnějších oblastí mají tendenci "protlačit" se na menší poloměry, zatímco z osové oblasti příze naopak usilují, či se alespoň nebrání vytlačení na poloměry větší. Uskutečňuje-li se tento mechanismus, mění se poloha vlákna - vláknko migruje. Migrační pohyb je však brzděn pasivními odpory okolí. Dochází k němu jen v mísťech, kde je konfigurace okolních vláken příznivá. Z náhodného charakteru takových konfigurací ve struktuře příze vyplývá i náhodný charakter uvažované migrace.

Popsanou myšlenkovou koncepcí navrhl poprvé W.E. Morton /64/. Později byla analyzována pro příze se 7 a 19 vlákny v řezu J.W.S. Hearlem a V.B. Merchantem /28/, J.W.S. Hearlem a B.C. Goswamim /35/.



obr. 2.47

Citované práce se soustředují na migraci radiální. Lze však ukázat, že zmíněný mechanismus může ovlivnit i migraci zákrutovou. Idealizovaný případ je znázorněn v obr. 2.47 a). Oblouk AB představuje úsek vlákkenné šroubovice na poloměru  $r_2$ , kde jsou oba krajní body okolím pevně fixovány. Napjaté vláknko se však snaží zaújmout kratší spojnici. V mezním případě vytvoří znázorněnou úsečku AB, popsanou v polárních souřadnicích  $r$ ,  $\varphi$ ,  $\xi$  rovnicemi

$$r = \sin(\varphi_B - \varphi_A) / [\sin(\varphi_B - \varphi_A) + \sin(\varphi_B - \varphi_A)] ; \varphi \in (\varphi_A, \varphi_B) \quad (2.3.98)$$

$$\xi = \xi_B - \sin(\varphi_B - \varphi) / [\sin(\varphi_B - \varphi_A) + \sin(\varphi_B - \varphi_A)] ; \varphi \in (\varphi_A, \varphi_B) \quad (2.3.99)$$

Přičemž mezi souřadnicemi  $\xi_A$ ,  $\xi_B$  a zákrutem  $Z_M$ , vloženým do příze začrukovacím zařízením, platí z (2.3.2)  $\xi_B = \xi_A + (\varphi_B - \varphi_A) / (2\pi Z_M)$ . Využitím derivací předchozích výrazů lze vyjádřit hodnoty  $\operatorname{tg} \beta$ ,  $\operatorname{tg} \gamma$  pro obecný element úsečky vláknka. Z definičních vzorců (2.3.40), (2.3.41) plati

$$\frac{\operatorname{tg} \beta}{\operatorname{tg} \beta_M} = \frac{\sin(\varphi_B - \varphi_A)}{\varphi_B - \varphi_A} \cdot \left( \frac{r_2}{r} \right)^2 = \frac{[\sin(\varphi_B - \varphi_A) + \sin(\varphi_B - \varphi_A)]^2}{(\varphi_B - \varphi_A) \cdot \sin(\varphi_B - \varphi_A)} \quad (2.3.100)$$

$$\operatorname{tg} \gamma = \frac{\cos(\varphi_B - \varphi) - \cos(\varphi - \varphi_A)}{\sin(\varphi - \varphi_A) + \sin(\varphi_B - \varphi)} \quad (2.3.101)$$

kde  $\operatorname{tg}\beta_M = \frac{2\pi r}{Z_M}$  vyjadřuje sklon, jenž by mělo na poloměru  $r$  šroubové vlátko. Grafický průběh předchozích funkcí je pro různé hodnoty úhlového rozdílu  $\gamma_B - \gamma_A$  vynesen v obr. 2.47 b) a c). Úsečka vlákna probíhá spojité v rozmezí poloměru  $r_1 = \frac{1}{2} \sin(\gamma_B - \gamma_A) / \{2 \sin[(\gamma_B - \gamma_A)/2]\}$  a  $r_2$ . V okolí  $r_2$  je  $\operatorname{tg}\beta < \operatorname{tg}\beta_M$  takže ve srovnání se  $Z_M$  je zde sjíštován menší zákrut vláknových elementů. Kolem  $r_2$  je situace opačná, zákrut elementů vlákna je větší než  $Z_M$ . Tento jev je zdrojem zákrutové migrace. Absolutní hodnota úhlu  $\beta$  je naproti tomu nulová právě na poloměru  $r_2$  a směrem k  $r_2$  vzrůstá. Radiální migrace se tak nejzřetelněji projevuje v okolí poloměru  $r_2$ .

Ačkoliv je popsána situace jen hrubou modelovou analogií, ukazuje názorně, jakým způsobem může vznikat migrace v důsledku vyrovnaného délka. Sporná je jen otázka, do jaké míry dovolí vlátku okolní překážky uskutečnit migrační pohyby. K jisté migraci na principu Mortonova mechanismu patrně dochází; její význam se však zdá být ve srovnání s vnesenou migrací u steplových přízí zřetelně menší.

Treloarův model „ideální“ migrace. Mechanismus vyrovnaného délka vyústuje v mezním případě do představy uspořádání, v němž mají všechna vlákna stejnou délku. Přitom musí vše či méně periodicky procházet z vnějších poloměrů na vnitřní a zpět. Periodickou variantu navrhl a zpracoval L.R.G. Treloar 1121. Jeho model tzv. „ideální“ migrace byl základním východiskem studia zejména v 60. letech. Některé závěry se ukázaly později sporné, avšak myšlenkový přínos tohoto modelu byl přesto neobyčejně cenný. Následující odvození je autorovou modifikací původního postupu dle 1121.

Tvar vlákna v přízi je studován na základě následujících předpokladů:

- Válcová příze o průměru  $D$  (poloměr  $R=D/2$ ) je vytvořena z nekonečných vláken.
- Všechna vlákna zaujmají shodné prostorové křivky; hladké v  $r \in (0, R)$ .
- Obecným poloměrem  $r \in (0, R)$  prochází vlátko vždy pod stejným úhlem  $\beta$  a se stejnou absolutní hodnotou úhlu  $\alpha$  a  $\beta$ .

Podle předpokladu a) se uvažují steplová vlákna v přízi (myšleně) pospojovaná tak, aby vznikla vlákna nekonečná. Předpoklady b) a c) nahrazují náhodně odlišné průběhy jednotlivých vláken jistou „průměrnou“ křivkou. Křivka vlákna podle nich prochází od osy příze ( $r=0$ ) postupně všemi poloměry až na povrch ( $r=R=D/2$ ), kde se obrací, vrací symetricky zpět k ose a takto pravidelně periodicky pokračuje. Délka příze, na které vlátko vystoupí od osy až na povrch a opět se vrátí k ose, je konstantní perioda  $P$  migrace. (Na délce  $P/2$  prodeje vlátko od osy k povrchu příze a na stejně délce pak od povrchu k ose. Předběžně viz obr. 2.48.)

V délce jedné periody protne vlátko poloměr  $r$  celkem  $2x$ ; jednou na cestě „ven“, druhé při cestě „dovnitř“. Diferenciální vrstva mezi poloměry  $r$ ,  $r+dr$  o výšce jedné periody má objem  $p \cdot 2\pi r \cdot dr$ . Dvojnásobný průchod jednoho vlákna v ní zanechá délku  $2dl$ . Je-li  $s$  plocha příčného řezu vláknem a  $N$  počet vláken v řezu přízi, je objem vláken ve sledované vrstvě  $n \cdot 2dl \cdot s$ . Pro zaplnění  $\mu$  diferenciální vrstvy nyní platí

$$\mu = (n \cdot 2dl \cdot s) / (p \cdot 2\pi r \cdot dr) = [ns / (p \cdot 2\pi r)] \cdot dl / dr \quad (2.3.102)$$

Poznámka: V této části se běžně užívají vztahy (2.3.39) až (2.3.46) vyplývající z kap. 2.3.2 a obr. 2.35. Dále je užíván výraz (2.3.53). V něm se vyskytuje i zákrut  $Z$  elementu vlákna, který však je podle předpokladu c) stejný pro všechny elementy na téžem poloměru. (Hodnota  $Z$  může ovšem být na různých poloměrech různá.)

Platí dále

$$dr/d\ell = \cos \vartheta_r = \operatorname{tg} \alpha / \sqrt{\operatorname{tg}^2 \alpha + \operatorname{tg}^2 \beta + 1} \quad (2.3.103)$$

Dosazením posledního výrazu do (2.3.102) lze vyjádřit základní rovnici tohoto modelu ve tvaru

$$\operatorname{tg}^2 \alpha = (1 + \operatorname{tg}^2 \beta) / (K^2 \operatorname{tg}^2 \beta - 1) \quad (2.3.104)$$

kde

$$K = p\mu / (2\pi sZ) = p\mu / [R\tilde{u}(1-\delta)2\pi RZ] \quad (2.3.105)$$

Prvá forma vyjádření  $K$  plyne přímo z úpravy. V druhé formě je pro výraz  $sZ$ , jenž vyjadřuje vstupní substanční plochu  $S_0$  pramínku paralelních vláken, užito podle obecně platných vztahů (2.3.12) a (2.3.9)  $sZ = S_0 = \pi R^2 \tilde{u} (1-\delta)$ ;

$R = D/2$  je polomér,  $\tilde{u}$  celkové zaplnění a  $\delta$  seskání příze.

Výraz (2.3.104) má smysl pouze pro  $\operatorname{tg} \beta > 1/K$ , tj.  $r > ms/(p\mu)$  či  $r > R^2 \tilde{u} (1-\delta)/(p\mu)$ .

Model "ideální" migrace zavádí ještě další předpoklad:

d) Zákrut  $Z$  všech elementů vláken je konstantní.

e) Zaplnění  $\mu$  je ve všech místech příze konstantní.

Předpokladem d) se zanedbává zákrutová migrace a stejně jako v modelu souosých šroubovic platí

$$d\varphi/d\ell = \operatorname{tg} \beta / r = 2\pi Z = \text{konstanta} \quad (2.3.106)$$

Zákrut  $Z$  každého elementu je shodný se zákrutem  $Z_m$ , uděleným přízi zakrucovacím zařízením. Předpoklad e) znamená, že každá diferenciální vrstva má zaplnění  $\mu$  shodné s celkovým zaplněním  $\tilde{u}$  příze.

Pro veličinu  $K$  potom platí

$$K = \frac{p\tilde{u}}{2\pi sZ} = \frac{p}{R} \cdot \frac{1}{1-\delta} \cdot \frac{1}{2\pi RZ} = \frac{p}{R} \cdot \frac{1}{1-\delta} \cdot \frac{1}{\operatorname{tg} \beta_D} \quad (2.3.107)$$

kde  $\beta_D$  je úhlem  $\beta$  povrchového vlákna na poloměru  $r = R = D/2$ . Základní rovnice (2.3.104) je definována pro  $\operatorname{tg} \beta > 1/K$ , tj. též  $r > R^2(1-\delta)/p$  či  $r > R/(K \operatorname{tg} \beta_D)$ . Úpravou (2.3.104) za užití (2.3.106) vznikne

$$d\ell = \frac{dr}{\operatorname{tg} \alpha} = \frac{+ \sqrt{K^2(2\pi rZ)^2 - 1}}{(2\pi rZ)^2 + 1} dr = - \sqrt{\frac{K^2 \operatorname{tg}^2 \beta - 1}{\operatorname{tg}^2 \beta + 1}} \cdot \frac{d(\operatorname{tg} \beta)}{2\pi Z} \quad (2.3.108)$$

Rovnice (2.3.106) a (2.3.108) tvoří soustavu dvou diferenciálních rovnic, popisujících prostorový tvar křivky vlákna. Znaménko "+" platí pro části vlákna vystupující od osy k povrchu, znaménko "-" pro části opačné. Průběh vlákna je v souřadnicích  $r$ ,  $\xi$  schematicky znázorněn v obr. 2.48. Při jeho výpočtu je nezbytné užít numerické postupy, neboť integrace (2.3.108) vede k neúplnému eliptickému integrálu 2. druhu. Podle obr. 2.48 prochází prvá znázorněná část vlákna bodem  $r = R/(K \operatorname{tg} \beta)$ ,  $(\operatorname{tg} \beta = 1/K)$ ,  $\xi = 0$  a dále bodem  $r = R$ ,  $(\operatorname{tg} \beta = \operatorname{tg} \beta_D)$ ,  $\xi = \pi/2$ .

Z (2.3.108) proto platí vztah

$$\int_0^{p/2} d\delta = \frac{p}{2} = \int_{R/(K \operatorname{tg}\beta)}^R dr / \operatorname{tg}\alpha = \int_{R/(K \operatorname{tg}\beta)}^R \sqrt{\frac{K^2(2\pi r Z)^2 - 1}{(2\pi r Z)^2 + 1}} dr = \int_{1/K}^{\operatorname{tg}\beta} \sqrt{\frac{K^2 \operatorname{tg}^2 \beta - 1}{\operatorname{tg}^2 \beta + 1}} \frac{dr}{2\pi Z} \quad (2.3.109)$$

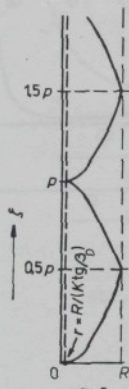
jenž je východiskem k výpočtu sestavení  $\delta$ . Jsou-li u dané příze známé veličiny  $p$ ,

$R$  a  $Z$ , lze vyhledat (opět numerickým výpočtem) hodnotu  $K$  vyhovující poslední rovnici a z (2.3.107) pak sestavení vyjádřit. Je-li perioda  $p \gg R$ , je hodnota  $K$  značně velká a výraz  $K^2 \operatorname{tg}^2 \beta - 1$  obsažený v (2.3.109) lze přibližně nahradit výrazem  $K^2 \operatorname{tg}^2 \beta$ .

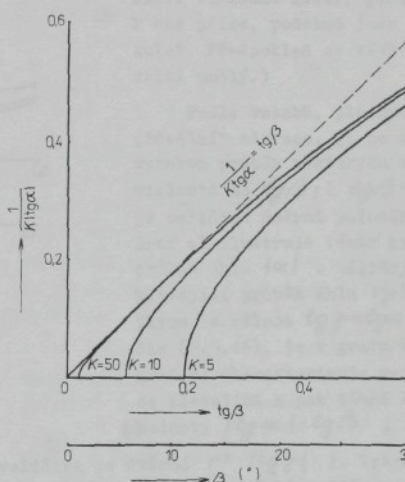
$$\text{Vznikne } p/2 = [1/(2\pi Z)] \cdot \int_0^{\operatorname{tg}\beta} (K \operatorname{tg}\beta / \sqrt{K \operatorname{tg}^2 \beta + 1}) d(\operatorname{tg}\beta).$$

Integraci se po úpravě na konec získá  $\delta = \operatorname{tg}^2(\beta_0/2)$ , což je rovnice (2.3.27), odvozená též pro model sousoších šroubovic.

Oblastě spjaté s nezbytností užívání speciální numerické postupy přiměly L.R.G. Treloara /112/ k vypracování přibližného řešení. Základní rovnice (2.3.104) poskytuje průběhy, znázorněné v obr. 2.49. Pro velké hodnoty  $K$  je sledovaná závislost



obr. 2.48



obr. 2.49

jen málo zakřivená a v oblasti nepříliš velkých hodnot  $\operatorname{tg}\beta$  ji lze nahradit přímou  $1/(K \operatorname{tg}\alpha) = \pm \operatorname{tg}\beta$ . Ještě lepší approximace vznikne, zamění-li se  $K$  vhodnější konstantou  $K'$ , takže platí přibližně

$$d\delta / (K' dr) = 1 / (K' \operatorname{tg}\alpha) = \pm \operatorname{tg}\beta ; K' = \text{konstanta} \quad (2.3.110)$$

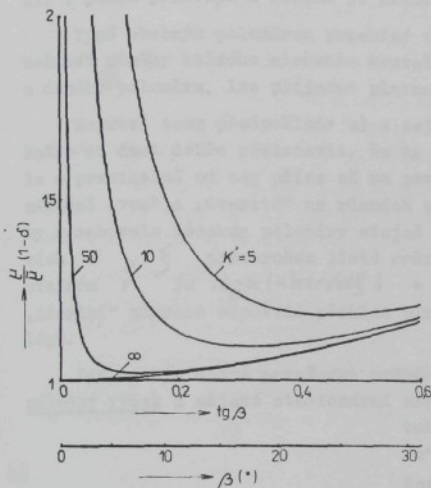
Konstanta  $K'$  se obvykle volí z podmínky zachování původní periody migrace. Požaduje se, aby vlákno procházející bodem  $r=0$ ,  $\xi=0$  procházelo též bodem  $r=R$ ,  $\xi=p/2$ . Integraci (2.3.110) v daných mezech vznikne  $(1/K') \int_0^{p/2} d\delta = p/(2K') = \int_0^R \operatorname{tg}\beta dr = \int_0^R 2\pi r Z dr = \pi R^2 Z$ . Odhad

$$K' = (p/R) \cdot [1/(2\pi R Z)] = (p/R) / \operatorname{tg}\beta_0 = K(1-\delta) \quad (2.3.111)$$

Rovnice (2.3.110) s konstantou (2.3.111) je v rámci výchozích předpokladů jen přibližně platným vztahem. Pokud by měla platit přesně, bylo by nutné odstoupit od předpokladu e), připustit  $u \neq \tilde{u}$ . V uvedeném případě by totiž platil dosazením

$\operatorname{tg}\alpha$  z (2.3.110) do (2.3.103), (2.3.103) do (2.3.102) a užitím dříve odvozených výrazů (2.3.106), (2.3.111) a  $m_3 = \frac{1}{2} R^2 \tilde{\alpha} \cdot (1-\delta)$  vztah

$$(\mu/\tilde{\alpha})(1-\delta) = \sqrt{1/(K'\operatorname{tg}\beta)^2 + \operatorname{tg}^2\beta + 1} \quad (2.3.112)$$

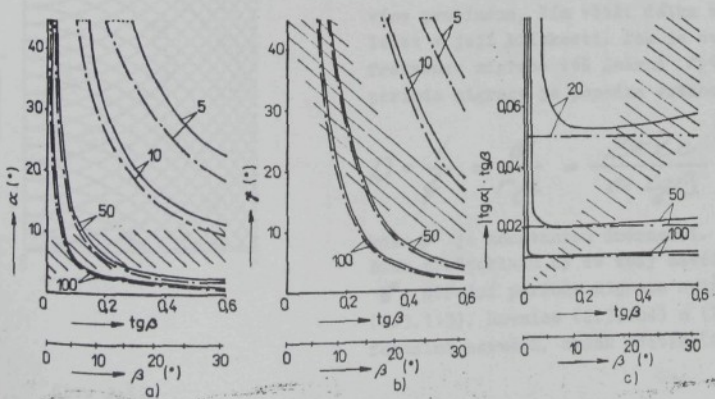


obr. 2.50

Grafický průběh je v obr. 2.50 vyjádřen pro několik hodnot  $K'$ . Je zde znova zřejmé, že pro dostatečně velkou periodu  $P$  migrace (velké  $K'$ ) a napříliš velkou intenzitu zákrutu (nevelké  $\operatorname{tg}\beta$ ) je předpoklad e)  $(\mu = \tilde{\alpha})$  približně splněn. Výrazné diference se objeví jen v oblasti kolem osy, kde není základní vztah (2.3.104) definován. (V přesném řešení modelu navrhoje Treloar uvažovat v této oblasti vlákkenné úseky, jdoucí kolmo k ose příze, podobně jako „loukotě kola“. Předpoklad se však zdá být velmi umělý.)

Podle vztahů, platných v modelu „ideální“ migrace, je na obr. 2.51 vynesen průběh některých veličin v závislosti na  $\operatorname{tg}\beta$ ; ( $\operatorname{tg}\beta = 2\pi r Z$  je veličina úměrná poloměru  $r$ ). Graf a) ilustruje téměř hyperbolický průběh úhlu  $|\alpha|$ . Odlišným způsobem klesající průběh úhlu  $|\gamma|$ , který plyně z relace  $\operatorname{tg}\gamma = \operatorname{tg}\alpha / \operatorname{tg}\beta$  dle (2.3.46), je v grafu b). Konečně graf c) charakterizuje nejprve prudce klesající a pak téměř konstantní hodnoty  $|\operatorname{tg}\alpha| \cdot |\operatorname{tg}\beta|$ ; ( $|\operatorname{tg}\alpha| \cdot |\operatorname{tg}\beta| =$

$= |\operatorname{tg}\gamma| \cdot \operatorname{tg}^2\beta = |\operatorname{tg}\gamma| \cdot (2\pi r Z)^2$ , takže veličina je úměrná  $r^2 \cdot |\operatorname{tg}\gamma|$ ). Vyšrafováné plochy znázornují oblast a trend průběhu středních hodnot těchž veličin, experimentálně zjištovaný (zejména metodou VSOP - viz kap. 3.4.5) u obvyklých typů přízí.



obr. 2.51

rov. (2.3.110); —— rov. (2.3.110)

Je zřejmé, že shoda teorie s experimentem je v tomto případě minimální. Model ideální migrace realitu příze prakticky nevystihuje. K tomuto poznatku však do spěl autor po rozvinutí experimentálních metod a vyhodnocovacích postupů potřebných pro analýzu struktury příze. Ve své době byla „ideální“ migrace jedinou teoretickou koncepcí, jež konečnou správně formulovala hlavní pojmy a problémy.

Ekvidistantní migrace. Konstanta  $K$  z modelu „ideální“ migrace je dle (2.3.105) funkci periody  $P$ , zaplnění  $\mu$  a zákrutu  $Z$ . Uvedené veličiny jsou podle předpokladů a) až e) konstanty, společné pro všechny elementy všech vláken v přízi. V jiném přístupu k řešení je nutné dřívější předpoklady modifikovat.

Tímž obecným poloměrem prochází vlákna pod různými úhly. Připustí-li se však možnost záměny každého elementu skutečného vlákna jistým „průměrným“ elementem z daného poloměru, lze přijmout platnost předpokladu c).

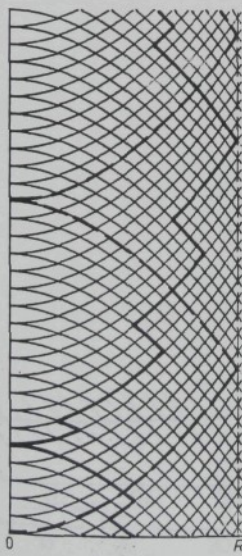
Naproti tomu předpoklady a) a zejména b) se zdají být velmi problematické. Nelze si dost dobré představit, že by vláknko, dokonce každé vláknko, procházelo stále a pravidelně od osy příze až na povrch a zpět. Spiše se bude obracet více méně náhodně „ven“ a „dovnitř“ na různých poloměrech. Není ani důvod předpokládat, že by zasahovalo všechny poloměry stejně frekventovaně. Na obr. 2.52 je v souřadnicích  $r$ ,  $\xi$  znázorněno jisté směrové pole, odpovídající předpokladu c) (na stejném  $r$  je  $|tg\alpha| = |dr/d\xi| = \text{konst.}$ ). Ve srovnání s čárkováným vláknem „ideální“ migrace odpovídá příklad plně vytěženého vlákna situaci nepochybně lépe.

Zdá se být možné považovat průběh každého vlákna v souřadnicích  $r$ ,  $\xi$  za náhodný výsek z nějaké stacionární ergodické náhodné funkce  $r = r(\xi)$ . Pokud se taková funkce nazve průběhem „nekonečného vlákna“ v souřadnicích  $r$ ,  $\xi$ , lze přijmout formulaci předpokladu a). Nekonečné vláknko může procházet různými poloměry s různou střední frekvencí  $f$  migrace.

Každý poloměr  $r$  určuje uvnitř příze válcovou plochu, jejíž velikost  $A$  je tomuto poloměru úměrná; V jednotkové délce příze je  $A = 1 \cdot 2\pi r$ . Souhrnná délka vláknenných úseků v bezprostředním okolí sledované plochy je úměrná její velikosti  $A$  a zaplnění  $\mu$ , tj. úměrná součinu  $A\mu$  či jen  $r\mu$ . Je možno předpokládat, že zmíněná plocha bude tím více protínána, čím větší délka vláken bude ležet v její blízkosti. Pak je ovšem střední frekvence migrace též úměrná  $r\mu$  a střední perioda migrace je popsána vztahem

$$P = \frac{1}{f} = \frac{C}{r\mu} = \frac{2\pi Z C}{\mu \operatorname{tg}\beta} \quad (2.3.113)$$

kde  $C$  je konstantou úměrnosti. Místo dřívějšího předpokladu b) se tedy zavádí předpoklad b\*) Střední perioda migrace splňuje podmínu (2.3.113). Rovnice (2.3.104) a (2.3.105) se formálně nezmění, avšak užitím (2.3.113) platí



Obr. 2.52

$$K \operatorname{tg} \beta = \pi c / (m s) = c / [R^2 \tilde{\mu} (1-\delta)] \quad (2.3.114)$$

$$\operatorname{tg}^2 \alpha = (1 + \operatorname{tg}^2 \beta) / [( \frac{\pi c}{m s})^2 - 1] = (1 + \operatorname{tg}^2 \beta) / [(\frac{c}{R^2 \tilde{\mu} (1-\delta)})^2 - 1] \quad (2.3.115)$$

z (2.3.103) dále plyne

$$dr/dl = \cos \varphi_r = \pm m s / (\pi c) = \pm R^2 \tilde{\mu} (1-\delta) / c = \pm \text{konst.} \quad (2.3.116)$$

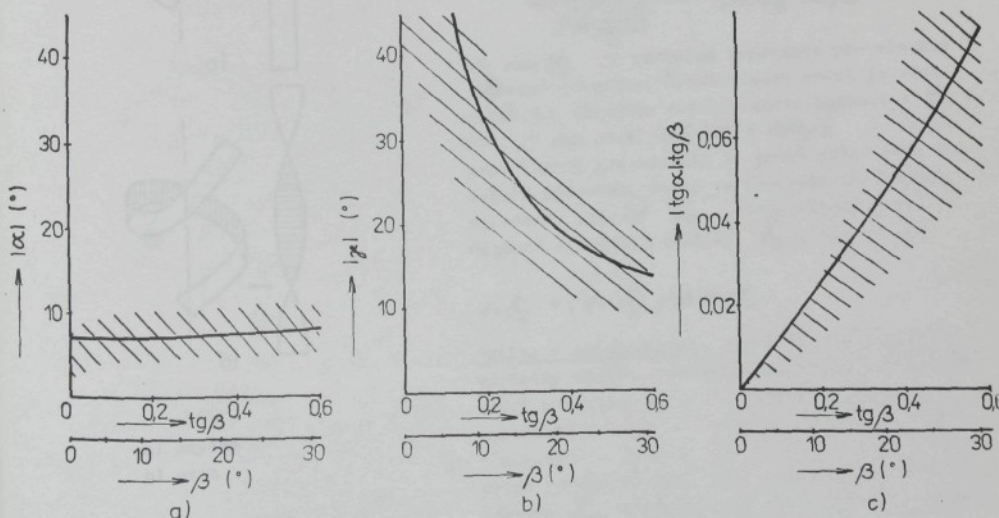
Poslední rovnice ukazuje, že vlákenné úseky zanechávají v diferenciálních vrstvách stejné šířky  $dr$  stále stejnou délku  $dl$ . Autor disertace proto v 172/ nazval popsanou koncepcí modelem ekvidistantní migrace.

Veličina  $c$  je v odvozených vztazích konstantou. U různých přízí se ovšem může měnit v závislosti na charakteru použitých vláken a technologie, vlivem zákrutu i jemnosti. Je charakteristikou „migrační aktivity“ vláken v přízi.

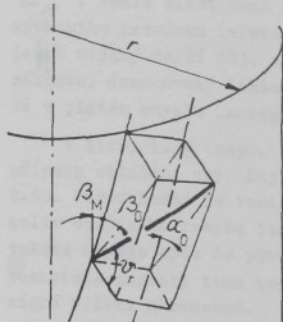
Je zajímavé, že odvozené výrazy neobsahují s výjimkou  $R$  proměnnou  $\mu$ . Dřívější předpoklad e) ( $\mu \tilde{\mu}$ ) může být případně zaveden, je však vzhledem ke sledovaným úhlům irelevantní. Obvykle je též užíván předpoklad d).

Průběh některých veličin je pro případ  $\varphi_r = 83^\circ$  vynesen v obr. 2.53. Na rozdíl od modelu „ideální“ migrace (viz obr. 2.51) je zde patrná dobrá shoda trendů vypočtených a experimentálně zjištovaných závislostí.

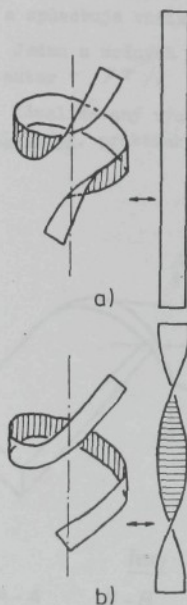
Model ekvidistantní migrace byl odvozen spíše z hlediska vyrovávání délek. Vyjadřuje však také vnesenou náhodnou migraci vznikající za podmínky platnosti I. varianty deformování z obr. 2.41. V tomto případě zůstávají při všech deforma-



obr. 2.53



obr. 2.54



a) smyčka  
b) ovin

obr. 2.55

cích nedotčeny myšlené kvádry, obepínající vlákenné úseky. Takový kvádr se umístí v přízi způsobem naznačeným v obr. 2.54, zachovávaje přitom výchozí úhly  $\alpha_0$ ,  $\beta_0$ . (Jen se pootočí o úhel  $\beta_M$ , v důsledku zákrutu  $Z_M$  vloženého do příze strojem.) Také úhel  $\varphi_r$ , pro který zde platí  $\operatorname{tg} \varphi_r = 1 / (\operatorname{tg} \alpha_0 \cos \beta_0)$ , je závislý jen na výchozích úhlech  $\alpha_0$ ,  $\beta_0$ .

Je možno předpokládat, že ve výchozím nezaokrouceném pramínu vláken jsou vlákenné úseky různých směrů rozmístěny nezávisle na jejich poloze. Pak bude v přízi na každém poloměru stejné rozložení výskytu různých úhlů  $\alpha_0$ ,  $\beta_0$ , stejné rozložení úhlů  $\varphi_r$  i stejná střední hodnota veličiny  $\cos \varphi_r$ . Nahradili se ve smyslu předpokladu c) reálné elementy vláken „průměrnými“, je  $\cos \varphi_r$  těchto elementů (totiž střední hodnota  $\cos \varphi_r$  reálných elementů) konstanta. To však je dle (2.3.116) definicí ekvidistantní migrace.

Výpočet seskání je v ekvidistantní migraci podobný jako u modelu souosých šroubovic. Z definičních rovnic úhlů je  $d\delta/dl = \cos \varphi_a = \cos \varphi_r / \operatorname{tg} \alpha$  a zavedením vztahu (2.3.115) s (2.3.116) vznikne

$$\begin{aligned} \cos \varphi_a &= \frac{d\delta}{dl} = \frac{\cos \varphi_r}{\operatorname{tg} \alpha} = \\ &= \frac{\cos \varphi_r \cdot \sqrt{1/\cos^2 \varphi_r - 1}}{\sqrt{1 + \operatorname{tg}^2 \beta}} = \sin \varphi_r \cos \beta \end{aligned} \quad (2.3.117)$$

kde  $\sin \varphi_r$  je společná konstanta pro všechny vlákenné elementy. Šroubovicový model je však zvláštním případem ekvidistantní migrace s  $\varphi_r = 90^\circ$ . (V něm platí  $d\delta/dl = \cos \beta$ ). Odvození vzorce pro seskání je proto možné vést obdobným způsobem. Je-li ve šroubovicovém modelu vypočteno seskání  $\delta_H$ , vede ekvidistantní migrace k hodnotě seskání  $\delta_E$ , dle vztahu

$$1 - \delta_E = (1 - \delta_H) \sin \varphi_r \quad (2.3.118)$$

Smyčky a pseudozákrut. Autorovy experimentální výsledky studia směrového uspořádání vlákenných úseků v klasických i rotorových přízích dokumentované v kap. 3,4,5, proti všem tradičním předpokladům ukázaly, že průměrný sklon k ose příze (průměrný úhel  $\beta$ ) neodpovídá hodnotám zákrutu  $Z_M$  vloženého do příze strojem. Zejména na vnitřních poloměrech byl průměrný úhel  $\beta$  větší než hodnota  $\beta_M$  očekávaná dle vztahu

$\operatorname{tg} \beta_M = 2\pi r Z_M$ . Ve shodě s tímto pozorováním se experimentálně zjistilo, že většina vláken obtáčí jednotkovou délku osy příze vícekrát, než odpovídá zákrutu  $Z_M$ . Vedle klasického mechanismu vzniku zákrutu vzájemným pootáčením průřezu výchozího pramínku (vřetenem, rotem apod.) musí tedy probíhat při tvoření příze ještě nějaký delší děj, způsobující obtáčení osy vlákna kolem osy příze. Přírůstek zákrutu, dosažovaný tímto dějem, není přímým projevem vkládané torzní deformace. Je v jistém smyslu „neregulérním“ zákrutem - pseudozákrutem.

V literatuře (např. G.V. Boholov /103/) se obvykle poukazuje na dva možné případy obtáčení osy. Nejlépe je lze znázornit na plochém vlákně (pásku) - obr. 2.55. Porozuměná je varianta a), nazvaná smyčka, která může vzniknout bez jakéhokoliv otáčivého pohybu jen prostým osovým stlačením vlákna. Vytažením přechází taková smyčka zpět do původního nezakrouceného vlákna. Vzájemné pootáčení průřezů poskytuje naproti tomu tradiční ovin (obr. 2.55 b)), jehož osovým vytažením se získá vláknko zkroucené.

Krutné orgány vkládají do vláken příze jen oviny. Při tvoření příze však mohou vznikat z mnoha geometrických a mechanických příčin také smyčky, které jsou pak zdrojem pseudozákrutů.

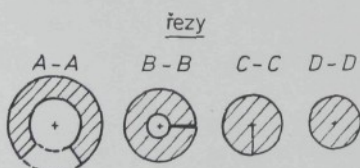
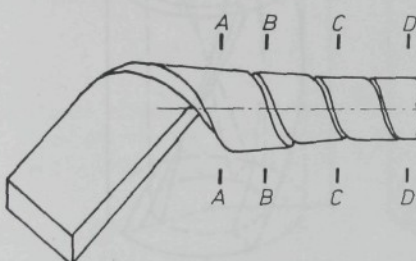
Zdá se, že předpoklad tvorby smyček může uspokojivě vysvětlit experimentální výsledky. Prostřednictvím smyček se patrně vláknko v daném okamžiku vyrovnává s přebytkem své délky. Obecně mohou vznikat jako pravo- i levotočivé. Avšak torze, která vznikla ve vlákně vkládáním ovinů, se zčásti rozšiřuje i do úseků budoucích smyček a způsobuje vznik především smyček shodného směru se zákrutem.

Jednu z možných forem vzniku „přebytečné“ délky tvořící posléze smyčku zpracoval autor v /77/.

Idealizovaný výchozí pramínek konstantního zaplnění je uvažován jako soustava paralelních, prakticky neroztažených vláken. Jeho zakrucování je znázorněno v obr. 2.56.

Dochází při něm nejprve k ohýbu pramínku (řez A-A), dále k jeho uzavření (řez B-B), vymízení vnitřní dutiny (řez C-C) a dokroucení do konečného stavu (řez D-D). Zákrut je v důsledku deformační setrvánosti ukládán do zakrucovaného útvaru postupně, v průběhu celého děje.

Situaci je nejprve vhodné analyzovat v podmírkách, které nepřiblíží k mechanickým důvodům, způsobujícím nekonstantní radiální průběh zaplnění v přízi. V takových podmírkách by mohl sledovaný děj probíhat podle schématu na obr. 2.57. Prvá deformace stužky, odpovídající předchozímu řezu A-A, je na obr. 2.57 a). Zákrut sledovaného útvaru je v tomto okamžiku  $Z_1$ , jeho výška je  $\sigma$ . Vlákná tvoří šroubovicové křivky, ležící mezi vnitřním poloměrem  $r_{min}$  a vnějším poloměrem  $r_{max}$ . Sklon obecného vlákna na poloměru  $r$  k ose útvaru je popsán úhlem  $\beta_1$ , při čemž podle (2.3.3) platí



obr. 2.56

$$\operatorname{tg} \beta_1 = 2\pi r_1 Z_1$$

(2.3.119)

Délka  $\ell_1$  obecného úseku vlákna je

$$\ell_1 = v/\cos \beta_1 = v \sqrt{1 + (2\pi r_1 Z_1)^2}$$

(2.3.120)

Na vnitřním poloměru je nejkratší délka

$$\ell_{\min} = v/\cos \beta_{\min} = v \sqrt{1 + (2\pi r_{\min} Z_1)^2}$$

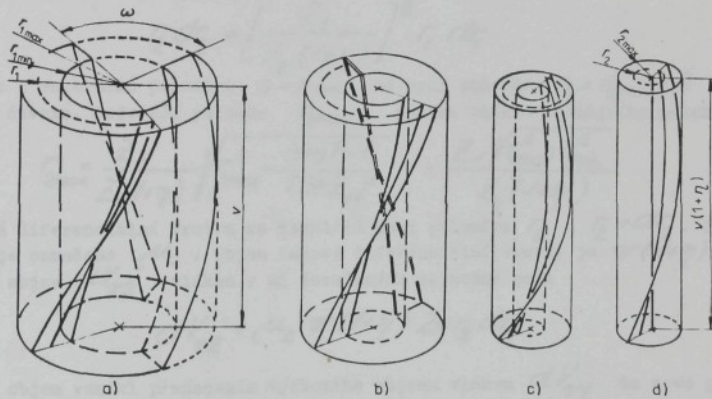
(2.3.121a)

Na vnějším poloměru je naopak největší délka

$$\ell_{\max} = v/\cos \beta_{\max} = v \sqrt{1 + (2\pi r_{\max} Z_1)^2}$$

(2.3.121b)

Předpokládá se, že právě až do okamžiku znázorněného v obr. 2.57 a) jsou potřebné délky vláken v úsecích zajištovány všeobecnými prokluzy vláken, jež proběhnou působením minimálních sil a ponechávají celému tvaru prakticky původní, konstantní hodnotu zaplnění  $\mu_1$ .



obr. 2.57

Obecná diferenciální vrstva mezi poloměry  $r_1$  a  $r_1+dr$  má objem  $v \cdot 2\pi r_1 dr$ . Stužka se však nachází jen v její části o velikosti  $1-\omega/(2\pi)$ . Objem této části diferenciální vrstvy je tedy  $[1-\omega/(2\pi)]v \cdot 2\pi r_1 dr$  a při konstantní hodnotě zaplnění  $\mu_1$  je v ní obsažen objem  $dV_{v_1}$  vláken.

$$dV_{v_1} = [1-\omega/(2\pi)]\mu_1 v \cdot 2\pi r_1 dr$$

(2.3.122)

V následující fázi dochází postupně k naběhnutí dalších zákrutů, uzavření stužky (obr. 2.56, řez B-B) a vymísení vnitřní dutiny (řez C-C) za současné zmenšení osové délky útvaru. V celé této fázi se předpokládá, že výchozí délky vláken v úseku zůstávají trvale neproměnné. Předpoklad vyjadřuje takovou úroveň mezivlákených třecích sil, která zabranuje dalšímu prokluzům.

Děje, které ve skutečnosti probíhají současně, jsou po částech znázorněny na obr. 2.57 b), c), d). Schéma b) ilustruje uzavření stužky do formy jakési „trubky“. Vložením dalšího zákrutu se sice vnější i vnitřní průměr zmenšuje - - obr. c), dutina však stále přetrvává. Pro její uzavření je třeba útvar protáhnout z původní délky  $r_1$  na délku  $r_{1min}$  - - obr. d). Teprve potom přejde vlákno z vnitřního poloměru  $r_{1min}$  do osy a dutina se uzavře. Poměrné prodloužení  $\eta$  útvaru je určeno vztahem

$$1+\eta = r_{1min}/r_1 = 1/\cos\beta_{1min} = \sqrt{1 + (2\pi r_{1min} Z_1)^2} \quad (2.3.123)$$

Vlákno na obecném poloměru  $r_2$  bude mít délku

$$l_2 = r(1+\eta)/\cos\beta_2 = r(1+\eta)\sqrt{1 + (2\pi r_2 Z_2)^2} \quad (2.3.124)$$

kde  $Z_2$  je zákrutem útvaru na obr. 2.57 d). Podle předpokladu o neproměnné délce vláken je však  $l_1 = l_2$ , což při užití (2.3.120) a (2.3.124) vede k výrazům

$$r_2 = \frac{Z_1}{Z_2(1+\eta)} \sqrt{r_1^2 - \frac{(1+\eta)^2 - 1}{(2\pi Z_1)^2}} = \frac{Z_1 \sqrt{r_1^2 - r_{1min}^2}}{Z_2 \cdot (1+\eta)} \quad (2.3.125)$$

$$r_2 dr_2 = \left[ \frac{Z_1}{Z_2(1+\eta)} \right]^2 r_1 dr_1 \quad (2.3.126)$$

Vlákno z vnitřního poloměru  $r_1 = r_{1min}$  má nyní poloměr  $r_2 = r_{2min} = 0$ ; leží v ose útvaru. Největší poloměr  $r_{2max}$  zaujme vlákno z vnějšího poloměru

$$r_{2max} = \frac{Z_1}{Z_2(1+\eta)} \cdot \sqrt{r_{1max}^2 - \frac{(1+\eta)^2 - 1}{(2\pi Z_1)^2}} = \frac{Z_1 \sqrt{r_{1max}^2 - r_{1min}^2}}{Z_2(1+\eta)} \quad (2.3.127)$$

Obecná diferenciální vrstva se rozkládá mezi poloměry  $r_2$  a  $r_2 + dr_2$ . Její zaplnění je označeno  $\mu_2$ . Objem takové diferenciální vrstvy je  $\pi(1+\eta) 2\pi r_2 dr_2$  a pro objem  $dV_{r2}$  vláken v ní dosažených je možné psát

$$dV_{r2} = \mu_2 \pi(1+\eta) 2\pi r_2 dr_2 \quad (2.3.128)$$

Tento objem vznikl přenesením výchozího objemu vláken  $dV_{r1}$  do nové polohy. Platí tedy  $dV_{r1} = dV_{r2}$ , což užitím (2.3.122), (2.3.126) a (2.3.128) poskytuje vztah

$$\mu_2 = \mu_1(1+\eta) [1 - \omega/(2\pi)] Z_2^2 / Z_1^2 \quad (2.3.129)$$

Z předchozí rovnice je zřejmé, že i po přechodu do stavu dle obr. 2.57 c) je zaplnění  $\mu_2$  ve všech vrstvách stejné. Neproměnnost zaplnění je však hlavním nedostatkem dosud formulovaného modelu. Mechanické důvody reálnou existenci takového útvaru nepřipouštějí. Zaplnění vnitřních vrstev je ve skutečnosti vysoké a podle pravidel silové rovnováhy jeho hodnota směrem k povrchu klesá.

Nekonstantní průběh zaplnění, odpovídající mechanickým zákonitostem, lze docílit radiálním přemístěním hmoty vláken. Každou obecnou diferenciální vrstvu je nutno přesunout z výchozího poloměru  $r_2$  na nový, obvykle menší poloměr  $r_3$  - - obr. 2.58. Nepohyblivá zůstávají jen vlákna n. povrchu ( $r_2 = r_{2\max}$ ) a vlákno v ose ( $r_2 = 0$ ). Tím vznikne z původního neproměnného zaplnění  $\mu_2$  průběh zaplnění  $\mu_3 = \mu_3(r_3)$ . Objem vláken ve výchozím válci s poloměrem  $r_2$  byl  $\pi(r_2^2) \pi r_2^2 \mu_2$ . Tentýž objem je nyní soustředěn uvnitř válce s poloměrem  $r_3$  a je v tomto případě roven hodnotě  $\pi(r_3^2) \int_{r_3}^{r_2} \mu_3 dr_3$ . Z ekvivalence obou výrazu plyne

$$r_2 = \sqrt{2 \int_{r_3}^{r_2} \mu_3 r_3 dr_3 / \mu_2} \quad (2.3.130)$$

Povrchová vrstva  $r_2 = r_{2\max}$  se uvažuje jako nepohyblivá, takže i její  $r_3 = r_{2\max}$  a z (2.3.130)

$$r_{2\max} = \sqrt{2 \int_{r_3}^{r_{2\max}} \mu_3 r_3 dr_3 / \mu_2} \quad (2.3.131)$$

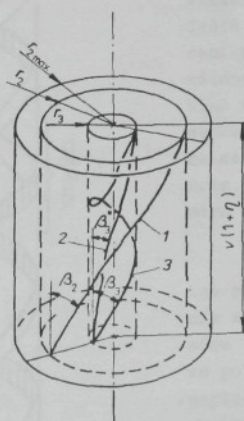
Z posledních dvou rovnic vznikne vztah

$$r_2 = r_{2\max} \sqrt{\int_{r_3}^{r_2} \mu_3 r_3 dr_3 / \int_{r_3}^{r_{2\max}} \mu_3 r_3 dr_3} \quad (2.3.132)$$

Přiřazující každému posunutému poloměru  $r_3$  výchozí hodnotu  $r_2$ .

Úsek vláknna, znázorněný v obr. 2.58 jako "1", leží ve výchozí poloze na poloměru  $r_2$  a pro jeho délku  $\ell_2$  platí vztah (2.3.124). Úsek se však přesune na poloměr  $r_3$ . Geometrie šroubovice vyžaduje na tomto poloměru průběh označený "2", jehož délka  $\ell_3^*$  je analogicky k  $\ell_2$  dána výrazem

$$\ell_3^* = \pi(r_3^2) / \cos \beta_3^* = \pi(r_3^2) / \sqrt{1 + (2\pi r_3 Z_2)^2} \quad (2.3.133)$$



obr. 2.58



obr. 2.59

Je-li  $\ell_3 < \ell_2$ , je  $\ell_3^* < \ell_2$  a rozdíl  $(\ell_2 - \ell_3^*) > 0$  vyjadřuje přesbytek délky, jenž nelze do útvaru tradičním způsobem uměstnat.

Přesbytek délky se ovšem neprojeví teprve v protaženém zakrouceném a uzavřeném útvaru, v němž byl formálně odvozen. Realizuje se postupně v celém procesu, znázorněném na obr. 2.57 a) až d). Jeho základ je položen již v okamžiku, kdy je stužka vláken ještě otevřená a kolem osy je velká dutina. Navíc lze předpokládat, že vlákno přesouvá svůj přesbytek délky podél osy zpět do počátečních fází, kde je více volného prostoru. Přesbytek délky zde může "vyhýznout" na povrch pramínku ve formě smyčky, jak je znázorněno na obr. 2.59. Tento děj dále podporuje neparalelnitá vláken ve výchozím pramínku. Znázorněná smyčka může být uložena do mezery mezi boční stěny stužky, později na sebe přilehnoucí, nebo do otevřené dutiny útvaru. Při zakrucování ji mohou uchopit okolní vlákná a svým působením rozšířit, stlačit či přenést na jiné poloměry. Blížší experimentální analýza mnoha existujících možností nebyla dosud uspokojivě provedena. V [77] se zavádí zjednodušující předpoklad, podle něhož leží "průměrná" smyčka společně s oviny na poloměru  $\bar{r}_3$  - obr. 2.58, úsek "3" vlákna. Smyčky a oviny způsobují výsledné obtáčení vlákna kolem osy; přestavu charakterizuje pro případ plochého vlákna obr. 2.60.

Přidáním smyček se původní zákrut  $Z_2$  vlákna zvětší na hodnotu  $Z_3$ . Délka úseku "3" vlákna z obr. 2.58 bude analogicky k (2.3.124) popsána výrazem

$$\ell_3 = \frac{\pi(1+\gamma)}{\cos \beta_3} = \pi(1+\gamma) \sqrt{1 + (2\pi r_3 Z_3)^2} \quad (2.3.134)$$

Podle předpokladu o neproměnné délce vláken je vzniklá hodnota  $Z_3$  právě taková, že platí  $\ell_2 = \ell_3$ . Užitím (2.3.124), (2.3.134) a (2.3.132) pak vznikne

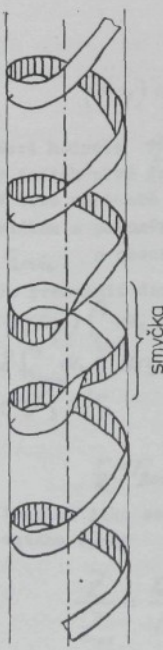
$$Z_3/Z_2 = r_2/r_3 = (\bar{r}_{max}/r_3) \sqrt{\int_0^{r_3} u_3 r_3 dr_3 / \int_0^{\bar{r}_{max}} u_3 r_3 dr_3} \quad (2.3.135)$$

Poslední rovnice ukazuje, že ačkoliv byl krutným orgánem vložen do útvaru zákrut  $Z_2$ , má vlákno na poloměru  $r_3$  zákrut  $Z_3 \neq Z_2$ .

Doposud vložený zákrut  $Z_2$  je obecně menší než celkový, krutným orgánem udílený zákrut  $Z_M$ . Aby vznikla konečná příze (obr. 2.56, řez D-D), musí být ještě uložen rozdíl  $Z_M - Z_2$ . Předpokládá se, že dokroucení probíhá podle obvyklých pravidel zkrutu homogenní válcové tyče (čímž se současně opouští dosavadní předpoklad neproměnné délky vláken; v řešení se zanedbává seskání vznikající při dokroucení). Zákrut každého vlákna se dokroucením zvětší o  $Z_M - Z_2$  a jeho konečná hodnota  $Z$  bude  $Z = Z_3 + Z_M - Z_2$ . Při zavedení po- měru

$$q = Z_2/Z_M \quad (2.3.136)$$

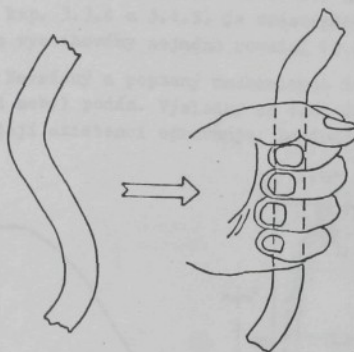
lze psát vztah  $Z/Z_M = (Z_3/Z_2)q + (1-q)$ . Dokroucením změní vlákna poněkud své poloměry. Z obecného poloměru  $r_3$  přejdou na poloměr  $r$ , z poloměru  $\bar{r}_{max}$  na poloměr  $\bar{r}_{max}$ . V důsledku toho se změní i hodnoty zaplnění. Místo  $(u_3 = u_3(r_3))$  bude v diferenciální vrstvě na poloměru  $r$  zaplnění  $u = u(r)$ . Přibližně je možno předpokládat, že hodnoty poloměrů  $r$  budou přímo úměrné poloměrem  $r_3$ , tedy  $r = \alpha r_3$ , kde  $\alpha = \text{konstanta}$ .



obr. 2.60

Pro zaplnění z toho plyne  $\mu(r) = \mu_3(r_3)/\alpha^2$ . Poměr  $Z_3/Z_2$  určený (2.3.135) lze tak vyjádřit pomocí nových proměnných  $\mu$  a  $r$  a pro poměr  $Z/Z_M$  vznikne výsledný vztah

$$Z/Z_M = (Z_3/Z_2)q + (1-q) = (r_{max}/r) \sqrt{\int_{ur} dr / \int_{ur}^{max} dr} \cdot q + (1-q) \quad (2.3.137)$$



obr. 2.61

Obecnější forma výrazu vznikne za hrnutí zvláštního způsobu chování vláken v okolí osy útvaru. Uzavření vnitřní dutiny (obr. 2.57 a) až c)) jsou úseky vláken, jež leží na jejím povrchu, ze všech stran stále více objímány a svírány okolními vlákny. Dochází tak k vyrovnaní jejich zakřivení, podobně jako když se rukou sevře ohnutá pružná tyč - obr. 2.61. Jeden či několik takových úseků vláken se posléze umístí v samotném středu příze. Ostatní "regulérní" úseky vláken z vnitřního poloměru dutiny již nemohou přejít vytážením - - obr. 2.57 d) - až do osy, nýbrž pouze na nějaký minimální poloměr  $r_{2min} > 0$ . V tomto případě je poměrné osové prodloužení  $\gamma$  menší než dle (2.3.123) a je popsáno vztahem

$$(1+\gamma) = \cos \beta_{2min} / \cos \beta_{1min} = \sqrt{[1 + (2\pi r_{min} Z_1)^2] / [1 + (2\pi r_{2min} Z_2)^2]} \quad (2.3.138)$$

Nová hodnota  $\gamma$  neovlivňuje platnost navazujících výrazů (2.3.125) až (2.3.127) v jejich první formě vyjádření. Analogický vztah platí nyní i mezi  $r_{min}$  a  $r_{2min}$ . V této variantě jsou při radiálním přemisťování vláknenných úseků nepohyblivá právě vlákna z poloměru  $r_{2max}$  a  $r_{2min}$ . Objem vláken v meziálcovém prostoru mezi  $r_{2min}$  a obecným  $r_2$  je před přesunutím  $\nu(1+\gamma) \pi (r_2^2 - r_{2min}^2) \mu_2$ .

Po přesunutí diferenciální vrstvy z  $r_2$  na  $r_3$  je tentýž objem popsán vztahem  $\nu(1+\gamma) \int_{r_{2min}}^{r_3} \mu_3 2\pi r_3 dr_3$ . Z ekvivalence obou výrazů plyne  $r_2^2 - r_{2min}^2 = 2 \int_{r_{2min}}^{r_3} \mu_3 r_3 dr_3$  a speciálně pro vnější okrajovou vrstvu  $r_{2max}^2 - r_{2min}^2 = 2 \int_{r_{2min}}^{r_{2max}} \mu_3 r_3 dr_3$ . Z obou rovnic se pak získá

$$r_2 = r_{2max} \sqrt{(1 - r_{2min}^2/r_{2max}^2) \int_{r_{2min}}^{r_3} \mu_3 r_3 dr_3 / \int_{r_{2min}}^{r_{2max}} \mu_3 r_3 dr_3 + r_{2min}^2/r_{2max}^2} \quad (2.3.139)$$

Podobně jako se dospělo k odvození rovnice (2.3.137), vznikne užitím posledního vztahu výraz

$$\frac{Z}{Z_M} = \frac{r_{max}}{r} \sqrt{\frac{(1 - r_{min}^2/r_{max}^2) \int_{r_{min}}^{r_3} ur dr}{\int_{r_{min}}^{r_{max}} ur dr} + \frac{r_{min}^2}{r_{max}^2} \cdot q + (1-q)} \quad (2.3.140)$$

jenž určuje hodnotu  $Z/Z_M$  v rozmezí poloměru  $r \in (r_{min}, r_{max})$ .

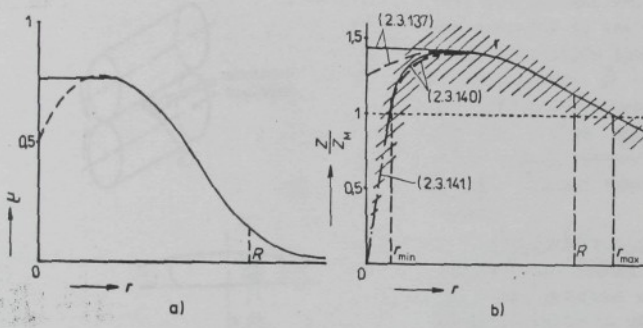
- 113 -  
Pro poloměry  $r < r_{min}$  není poměr definován. Uváží-li se, že v těsném prostoru kolem osy příze se vyskytuje dle principu z obr. 2.61 zejména rovnoběžné vlákenné úseky, lze v osové oblasti doplnit předchozí vztah empirickou rovnicí

$$Z/Z_M = r/r_{min} ; \quad r \in (0, r_{min}) \quad (2.3.141)$$

Příklad grafických průběhů závislosti  $Z/Z_M$  na  $r$  je ukázán na obr. 2.62.

Dvě varianty radiálního průběhu zaplnění užité ve výpočtech jsou na obr. a). Pro  $q = 1$ ,  $r_{max} = 1,19R$ ,  $r_{min} = 0,4R$  (kde  $R = D/2$  je poloměr příze) jsou závislosti vyneseny v obr. b). Oblast experimentálně zjištovaných závislostí (viz kap. 3.3.4 a 3.4.5) je znázorněna šrafovaně. Experimentální výsledky jsou dobře vystihovány rovnici (2.3.140) a (2.3.141).

Navržený a popsaný mechanismus tvorby smyček je hypotézou, jejíž přímý důkaz dosud nebyl podán. Výsledky se však dobře shodují s experimentálními skúšenostmi, což její existenci opravňuje. Logická konstrukce této hypotézy není v rozporu



obr. 2.62

ním vláken, zatímco konečné zpevnění a sevření struktury je i s příslušnými mechanickými důsledky výsadou spíše posledních fází celého děje.

V každém případě je experimentálně nastolený problém pseudozákrutu novou otázkou, která si v budoucnu zaslouží další analýzy.

Vyrovnávání navlnění vláken. Doposud popsané mechanismy přinášely zesložitění stavby příze, spojené se vznikem a rozšiřováním migrace. Existuje však i děj, jenž stavbu příze zjednodušuje a přibližuje ji k šroubovicovému modelu.

Nedokonalá směrová uspořádanost vláken ve výchozím pramínku se přenáší do příze jako vnesená migrace. Vlákenné úseky jsou zohýbány, zkadeřeny a jinak prostorově zdeformovány. Lze na nich pozorovat jisté navlnění. V některých fázích zakrúcování však dochází, zejména na větších poloměrech, k protahování vlákenných úseků formou prokluzní nebo napínání vláken. Pro dané vlátko je často výhodné uskutečnit takové protažení na vrub vyrovnávání jeho původně navlněného tvaru. Důsledkem je snížení efektu migrace a přiblížení tvaru vlákenného úseku k mezní představě šroubovice.

Vyrovnání navlnění se vzhledem k pasivním odporům, vyvozeným okolím uvažovaného vlákna, snadněji uskutečňuje při nižších hodnotách zaplnění. Tuto myšlenku navrhl U. Liebscher /55/ využít pro zvýšení kvality rotorových přízi. Příze částečně rozkrucoval, poté poněkud protahoval a opět zakroutil do původní výše zákrutu. Experimenty ukázaly zlepšení uspořádanosti vláken v přízi a jako důsledek i zvýšení pevnosti.

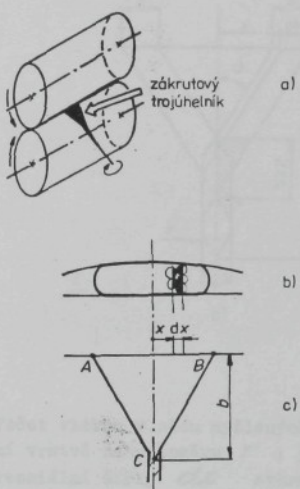
s ostatními poznatkami.  
Na první pohled se zdá být v jistém protikladu vznik přebytku délky a napínání vláken, které vyplynulo z analýz mechanikou kontinua.  
Přebytek délky a smyčky se však utvářejí v prvních fázích děje v prostoru s odolnějším a otevřenějším uspořádáním.

Existenci mechanismu výrovnávání navlnění naznačují také experimentální výsledky analýzy příčných řezů zejména rotorových přízí, provedené B. Neckářem a L. Švehlovou / 80 /.

### 2.3.5. TVORBA PŘÍZE A ZDROJE MIGRACE V ZÁKRUTOVÝM TROJÚHELMÍKU

Příze se nejčastěji vyrábí spřádáním na prstencovém dopřádacím stroji. Předělem mezi zónou protahování a zónou zakrucování je svěrná linie výstupního páru válečků průtažného ústrojí. Přechod vláken z nezakrouceného pramínku do zakroucené příze je provázen charakteristickým geometrickým uspořádáním, nazývaným tradičně zákrutový trojúhelník. Znázorněn je na obr. 2.63. Celkový vzhled charakte-

rizuje obr. a), schéma průřezu pramínkem v místě svěrné linie je v obr. b) a tvar zákrutového trojúhelníku je naznačen na obr. c). Zákrutový trojúhelník ABC je rovnoramenný; jeho osa symetrie je tvorěna osou příze. K nejvýznamnějším dějům dochází v okolí vrcholu C, ve vzdálenosti b od svěrné linie. Zde probíhá některá z forem zakrucování „v bodě“ dle tab. 2.1 za kap. 2.1. Obvykle se předpokládá souosé zakrucování asymetrického pramínku nebo vyosené zakrucování z jednoho či dvou svazků.



obr. 2.63

Zákrutový trojúhelník vzniká přiváděním jednotlivých vláken k vrcholu C. Ve svěrné linii tvoří pramínek vláken plochý pásek s proměnlivou hustotou materiálu. Rozložení materiálu napříč pásku je obvykle symetrické, s maximem v osové oblasti. Vlákna procházející ve vzdálenosti  $x$  diferenciálním úsekem  $dx$  v něm zanechají černě vyznačené části ploch svých příčných řezů. Souhrnná plocha  $da$  černě vyznačených částí charakterizuje množství materiálu ve sledovaném diferenciálním úseku a poměr  $da/dx$  je pak mírou množství materiálu ve vzdálenosti  $x$ .

Vznik příze dle modelu souosých šroubovic.

Osvým zakrucováním asymetrického pramínku vznikne příze bez migrace, tj. příze dle modelu souosých šroubovic, jen při splnění mnoha podmínek. Většinou však nelze potřebné podmínky prakticky splnit a to je impulsem ke vzniku migrace. Teoretické podmínky tvorby šroubovicové geometrie jsou tak východiskem k pochopení mechanismů migračních dějů, jak vyplýne z následujícího autorova řešení.

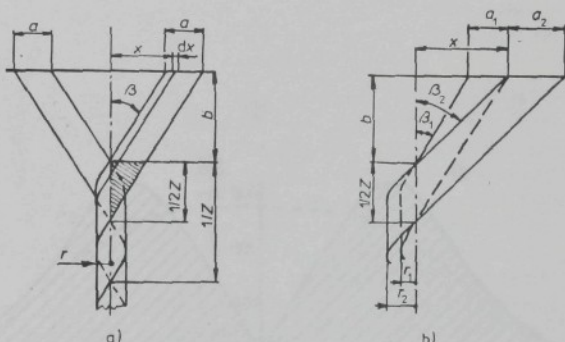
Za vrcholem zákrutového trojúhelníku vzniká zakroucený útvar se zákrutem  $Z$ , jenž přiřazuje vztahem  $\operatorname{tg} \beta = 2\pi r Z$  (rovnice 2.3.3) každému poloměru právě jednu hodnotu úhlu  $\beta$  sklonu vlákna k ose příze. (Při quasistatickém řešení je  $Z = Z_M$  zákrutem, který vkládá do příze dopřádací stroj. V dynamickém řešení však může být v důsledku deformační setrvánosti materiálu  $Z < Z_M$ ). Dále má na poloměru  $r$  zakroucený útvar určitou hodnotu zaplnění  $\mu$ . Ta určuje množství vláken, tvorících na daném poloměru šroubovice.

Na druhé straně je však pro úhel  $\beta$  rozhodující poloha vlákna v zákrutovém trojúhelníku a pro hodnotu zaplnění množství vláken v jeho jednotlivých místech.

Situaci charakterizuje obr. 2.64 a). Silně vytažené vlákno vychází z místa  $x$  ze své linie a postupuje pod úhlem  $\beta$  na odpovídající poloměr  $r$  zakrouceného útvaru. Ostatní vlákna, ukládající se pod úhlem  $\beta$  na poloměr  $r$ , jsou rovnomořně rozložena v symetrické dvojici myšlených "pásů" označené šíře  $a$ . Z vyšrafovaného trojúhelníku plyne  $\operatorname{tg} \beta = 2\pi r Z$ , což společně s  $\operatorname{tg} \beta = 2\pi r Z$  poskytuje výraz

$$a = \pi r$$

(2.3.142)



obr. 2.64

Počet vláken v obou myšlených „pásicích“ odpovídá počtu  $dn$  vláken v diferenciální vrstvě na poloměru  $r$ ; je vyjádřen dříve odvozeným vztahem (2.3.16). Z diferenciální šířky  $dr$  svérné linie vychází proto do diferenciální vrstvy na poloměru  $r$  celkem  $du = (\alpha dn / dx) \cdot dr$  vláken. Užitím (2.3.16), (2.3.142) a výrazu  $\cos \beta = 1/\sqrt{1 + \operatorname{tg}^2 \beta} = 1/\sqrt{1 + (2\pi r Z)^2}$  vznikne

$$du = \frac{1}{b} \cdot \frac{\alpha dn dr dx}{\sqrt{1 + (2\pi r Z)^2}} \quad (2.3.143)$$

kde  $\alpha$  označuje plochu příčného řezu vláknem. Z místa  $x$  však vychází vlákna na více poloměrů zakrouceného útvaru. To dokumentuje obr. 2.64 b), na němž jsou zakresleny dva mezní „pásy“, procházející místem  $x$ . Jak je zřejmé, vychází z místa  $x$  vlákna pod úhly od  $\beta_1$  až po  $\beta_2$  a ukládají se na poloměry od  $r_1$  až po  $r_2$ . Z geometrických poměrů plyne  $\operatorname{tg} \beta_1 = 2\pi r_1 Z = |x|/[b + 1/(2Z)]$  a  $\operatorname{tg} \beta_2 = 2\pi r_2 Z = |x|/b$ . (Absolutní hodnota  $|x|$  je ve výrazech užita s ohledem na osovou symetrii znázorněné situace.) Odtud

$$r_1 = |x| / (2\pi b Z + \pi) \quad (2.3.144)$$

$$r_2 = |x| / (2\pi b Z) \quad (2.3.145)$$

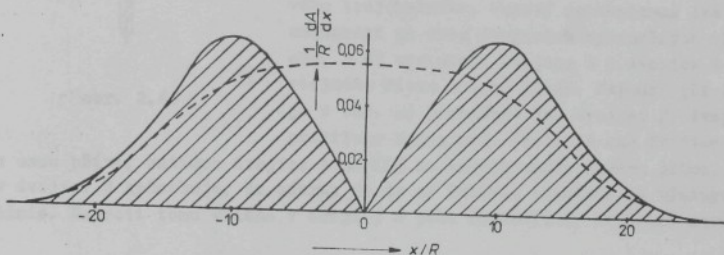
Celkový počet vláken, vycházející z diferenciálu  $dx$  svérné linie je tedy  $dm = \int_{r_1}^{r_2} du$ , plocha těchto vláken je  $dA = \alpha dm$ . Dosazením (2.3.143) až

(2.3.145) vznikne po úpravě

$$dA/dx = \int_{x/(2\pi bZ)}^{x/(2\pi bZ)} \left( u / \sqrt{1 + (2\pi rZ)^2} \right) dr \quad (2.3.146)$$

Již dříve bylo ukázáno, že  $dA/dx$  charakterizuje množství vlákenného materiálu v místě  $x$  pramínku, sevřeného svěrnou linií. Pramínek vláken, který má zakroucený útvaru vytvořit soustavu souosých šroubovic, musí proto mít svou hmotu rozloženu dle rovnice (2.3.146).

Příklad závislosti  $dA/dx$  na  $x$  je uveden na obr. 2.65 v poměrných hodnotách; (hodnoty byly vztaženy k poloměru  $R$  příze). Při výpočtu byl užit radiální průběh zaplnění  $u$  příze, znázorněný plnou čarou v obr. 2.62 a) a hodnoty  $2\pi AZ = \operatorname{tg} 20^\circ$ ,  $bZ = 2,5$ .



obr. 2.65

Výsledné rozložení hmoty vláken napříč přiváděným pramínkem se výrazně odliší od reálných případů na prstencových dopřádacích strojích. Ty vedou spíše k typu průběhu znázorněnému v obr. 2.65 čárkováně. Vypočtený průběh by snad bylo možné do určité míry napodobit přiváděním dvou samostatných pramínek těsně vedle sebe do svěrné linie. Některé pokusy tohoto typu skutečně naznačují lepší uspořádání vláken v přízi.

Migraci mechanizmus vyrovnávání objemu. Kdyby se vlákna z reálného pramínku ukládala na jednotlivé poloměry dle odpovídajícího úhlu  $\beta$ , byl by objem materiálu rozložen po poloměru příze fyzikálně nepřijatelným způsobem. Pro vyrovnání objemu vých disproporcí musí být mnohá vlákna přemístěna na jiné poloměry tak, aby mohlo vzniknout fyzikálně oprávněné radiální rozložení zaplnění. To však znamená, že taková vlákna jsou ukládána pod jiným úhlem  $\beta$ , než odpovídá modelu souosých šroubovic. Nevyhnutelným důsledkem je zákrutová migrace.

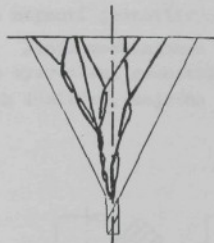
Vláknko, které se ukládá na nějaký poloměr pod „nesprávným“ úhlem, je však zdrojem dalších nesrovonalostí. Je-li  $\beta$  menší než odpovídá vztahu  $\operatorname{tg} \beta = 2\pi rZ$ , vlákno se kroucením postupně „vytočí“ před oblast vrcholu do prostoru zákrutového trojúhelníku a tam má snahu přejít mezi vlákna, jež budou uložena na menší poloměry. Je-li naopak  $\beta$  větší, vzdaluje se postupně místo prvého styku vlákna se zakrouceným útvarem od vrcholu trojúhelníku a vlákno má tendenci

zařadit se do skupiny, jdoucí na větší poloměry. Důsledkem je migrace radiální.

Na vhodném poloměru nemůže tedy vlákno setrvat z důvodu objemových a na ostatních poloměrech nemůže setrvat z důvodu úhlových. V této variantě zakrucování jsou vlákna odsouzena k trvalým migračním polybům.

Obvykle se předpokládá, že zdrojem migrace je vnesená neparallelnita výchozího pramínku a mechanismus vyrovnávání délek. V analyzované variantě zakrucování by však docházelo k migraci, i kdyby byl pramínek ve svérnné linii dokonale parallelní a poskytoval vláknům potřebné délky.

#### Předkrucování vláken.

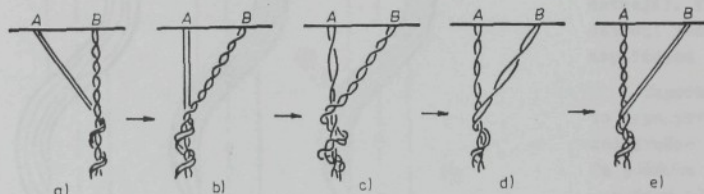


obr. 2.66

Vedle přímořáde jidoucích vláken se v zákrutovém trojúhelníku vyskytují také průbhy, znázorněný v obr. 2.66. Krutný moment zde proniká dovnitř zákrutového trojúhelníku a předběžně zakrucuje malé svažky vláken. Ty se jako předkroucené celky mohou ukládat do vytvářené příze podobně jako při výrobě skané nitě. Vlákna pak netvoří šroubovice, ale jiné křivky, projevující se mj. i efektem migrace.

Předkrucování může být důsledkem několika příčin. Jednou z nich je kolisání napnutí ve vláknech zákrutového trojúhelníku. Takový mechanismus lze nejlépe znázornit na dvou dvojicích nekonečných vláken. Na obr. 2.67 vystupují dvojice A a dvojice B ze stále stejného místa svérnné linie. Napnutí při zakrucování je v obr. a) přenášeno jen dvojicí B, dvojice A je prakticky nenapojená. Proto je osa dvojice B shodná

s osou příze, zatímco dvojice A nabíhá do zakrouceného útvaru šikmo. Krutný moment v dvojici B způsobuje, že zákrut je do ní vkládán okamžitě po výstupu ze svérnné linie. Naproti tomu vlákna v dvojici A jsou rovnoběžná, vzájemně nezakroucená.



obr. 2.67

Popsaný stav je stabilní, může existovat neomezenou dobu a tvoří ze všech vláken soustavu souosých šroubovic.

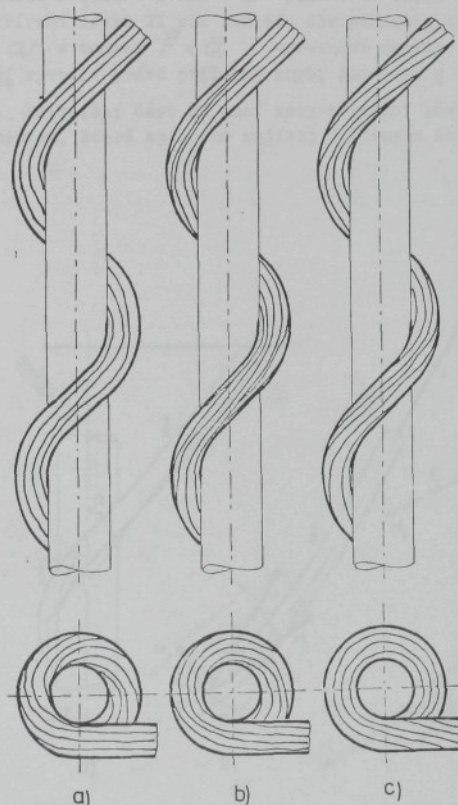
Situace se však změní, přenesete-li se napnutí z dvojice B na dvojici A, která v důsledku toho přejde do osy útvaru - obr. b). V prvých okamžicích je jádro příze vytvářeno dvojicí nezakroucených vláken a je obtáčeno z dřívějška předkroucenou dvojicí B. V dalších fázích procesu se stav mění. Torzní moment se ve dvojici A přenáší po celé délce jejího volného úseku, jehož zákrut začne postupně narůstat - obr. c). Do osové oblasti přichází stále více zakroucená dvojice A - obr. d), až se za dostatečně dlouhou dobu hodnota jejího zákrutu ustálí na úrovni zákrutu

příze - obr. e). Opačný proces probíhá ve dvojici B, jejíž volný úsek není nadále přikrucován. Zákruty, které jsou v něm obsaženy, se postupně spotřebovávají při ovíjení jádra - obr. c). Tím klesá velikost překroucení - obr. d), až se ustálí forma paralelní dvojice vláken - obr. e).

Koncový stav dle obr. e) je opět stabilní a stejně jako počáteční stav v obr. a) vede k soustavě sousošých šroubovic. Přechodové formy - obr. b) a d) - jsou však zdrojem radiální a zákrutové migrace. Pokud by bylo napnutí v poměrně rychlém sledu střídavě pňenášeno z dvojice A na B a zpět, nedocházelo by ke vzniku ustálených stavů. Obě dvojice by trvale oscilovaly mezi situacemi na obr. c) a d). (Tento princip je využit v technologii SIROCIUN.)

Va složitějších podmínkách probíhá podobný jev i v zákrutovém trojhélníku, kde napnutí jednotlivých vláken v důsledku mnoha náhodných příčin neustále kolísá.

Jiným mechanismem předkrucovaní se experimentálně zabýval P. Kroupa /54/. Pro vysvětlení geometrických jevů popsaných v citované práci a pro objasnění jejich důsledků, zejména migračních, navrhnul autor následující modelovou koncepci.



obr. 2.68

Základní představa vychází z analýzy ovíjení válců (jenž nahrazuje ostatní materiál příze) svazkem nekonečných vláken.

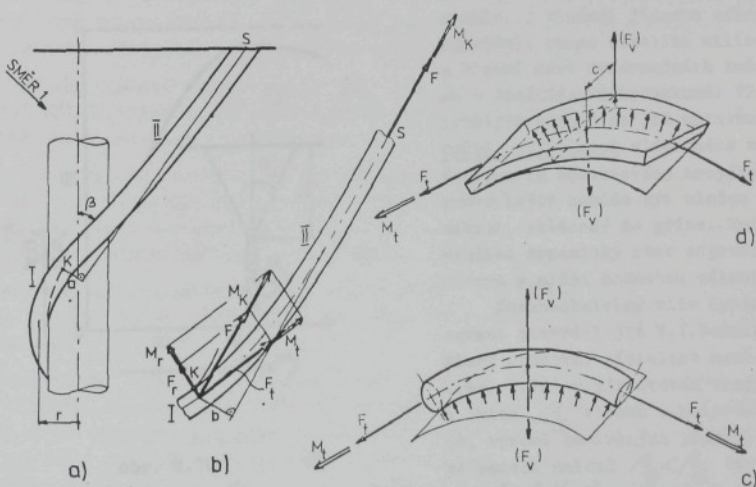
Předpokládá se, že svazek má přibližně kruhový průřez a do místa ovíjení přichází pod napětím z podávacího zařízení, schopného přenosu sil a momentů (např. z posledního páru válečků průtažného ústrojí). V podávacím ústrojí jsou vlákna uspořádána paralelně.

Experimenty tohoto typu potvrzují děje, znázorněné na obr. 2.68. Na počátku ovíjení - (schema a) - se přivádí svazek rovnoběžných vláken, jenž podle principu minima energie přechází do ovinu tak, že se deformauje jenom ohybově. Jednotlivá vlákna svazku se umisťují znázorněným způsobem, vzdálenost každého vlákna od osy válce je proměnlivá. S každým ovinem se však do svazku vkládá

i jistá torzní deformace. Na počátku se vkládá celá do přiváděcí části svazku, neboť ta klade zanedbatelný odpor. Tak se postupně vytvářejí přechodové stavby dle schematu b). V přiváděcí části svazku počet zákrutů stoupá. V ovinech se jeho vlivem zpomaluje proměna vzdáleností jednoho každého vlákna od osy válce. Posléze se ustaluje stav dle schematu c). V přiváděcí části se zákrut stabilizuje na určité hodnotě. Do ovinu přechází tento svazek vláken tak, že jednotlivá vlákna tvoří soustavu "paralelních" šroubovic, které mají společně s válcem jedinou osu.

Silové poměry ustáleného stavu jsou zjednodušeně znázorněny v obr. 2.69. Úsek I na schematu a) je tvořen oviny svazku na válci. Úsek II mezi bodem  $K$  prvního kontaktu a bodem  $S$  svěru přiváděcího ústrojí tvoří přiváděcí část svazku. Pohled směrem 1 je na schematu b). V bodě  $S$  působí síla  $F$  a torzní moment  $M_K$ . Podle své ohybové tuhosti je přiváděcí část II poněkud zakřivena. V ose svazku nad bodem  $K$  působí proto na část I nejen síla  $F$  a torzní moment  $M_K$ , ale i ohybový moment  $\vec{F} \times \vec{b}$ . Složka  $F_t$  síly  $F$  způsobuje osové pnutí v ovinech. Složka  $F_r$  též síly působí radiálně (směr binormální šroubovice) a je kompenzována reakcí válcové podložky. Složka  $M_r$  momentu  $M_K$  musí být právě tak velká, aby vyvodila potřebnou torzi šroubovice vláknenného svazku. Složka  $M_t$  působí ve směru radiálním, což způsobuje mírné zakřivení úseku II při pohledu dle schematu a). Vznikne totiž znázorněné rameno  $\alpha$  a moment  $\vec{F} \times \vec{\alpha}$  vyrovnává moment  $M_t$ . Konečně ohybový moment  $\vec{F} \times \vec{b}$  musí vyvodit právě potřebný ohyb, plynoucí z 1. křivosti šroubovice.

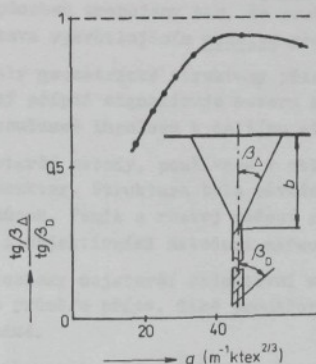
Přiváděcí část II musí tedy "povinně" působit na úsek I ohybovým a torzním momentem, které společně zajistí deformaci do dané šroubovice. Ohybový moment se



obr. 2.69

ve všech praktických případech ustavuje průhybem části II v pohledu dle schématu b). Torzní moment bývá ovšem zajištován dvojím způsobem. Na obr. 2.69 c) a d) jsou zjednodušeně zakresleny elementy svazku vláken z okolí bodu K. (Sleduje se pouze důsledek osové síly  $F_t$  a krutného momentu  $M_t$ .) Svazek přibližně kruhového průřezu je ve schématu c). Dvojice osových sil  $F_t$  působí ve styku s válcem výslednicí  $F_x$ . Reakční spojité zatížení rezultuje do síly  $F_y$  opačného směru. Shodné působiště akční a reakční síly nevede ke vzniku žádného dalšího momentu; proto musí být torzní moment  $M_t$  na obou stranách elementu. Torzní moment a tím i zákrut se pak vyskytuje i v celé přiváděcí části II; ta je výrazně předkroucena. Jiná situace vznikne v případě plochého pásku - schema d). Také zde působí dvojice osových sil  $F_t$  výslednicí  $F_x$  na povrch válce, a to v rovině osy pásku. Torzní tuhost pásku způsobuje jeho snahu „zdvihnout se“ naznačeným způsobem (jde vlastně o zmenšení torzní deformace). Reakční spojité zatížení proto působí zejména na hraně svazku. Výslednice akčních a reakčních sil dávají moment (ve schématu F·C), který vyvolává torzní moment šroubovice  $M_t$ . Na pravé straně znázorněného elementu a tím i v celém přiváděném úseku II postačuje působit pouze tahovou silou. (Tato varianta vysvětluje, proč se nepozoruje předkrukování při navýjení plochého pásku na válcový trn.)

V obvyklých případech mají svazky vláken vznikající v zákrutovém trojúhelníku příze spíše kruhový průřez a jsou tedy předkrucovány zákrutem, který odpovídá šroubovici ovinu. Je ovšem nutné zdůraznit, že po přechodu do ovinu tvoří vlákna svazku ideálně soustavu souosých šroubovic - tedy útvar bez migrace (srovnej obr. 2.68 c)). S migrací však jistě souvisí náhodné výkyvy popsaného mechanismu. Lze si snadno představit, že v důsledku nevelkých anomalií v délkách vláken, v ohýbových a torzních tuhostech apod. dojde při přechodu z přiváděcí části do šroubovice ovinu k částečnému pootočení svazku a tím k přechodu vláken na jiné poloměry. Tak může vznikat migrace nepochybně snázeji, než např. mechanismem Mortonovým.



obr. 2.70

Dynamika kroucení zákrutového trojúhelníku. Přeměna materiálu z výchozího pramínku do příze probíhá neobyčejně rychle. K vložení jednoho zákrutu je zapotřebí pouze několika milisekund a hlavní část deformacních změn proběhne v desítkách mikrosekund. Při tak rychlých dějích se již uplatňuje deformační setrváčnost vláknenného materiálu. Ve vrcholu zákrutového trojúhelníku proto ještě nemusí být uložen veškerý zákrut, vkládaný do příze. Bude zde vznikat dynamický stav odpovídající útvaru s nižší hodnotou zákrutu.

Nezanedbatelný vliv dynamiky zakrúcování potvrdil již V.I.Budnikov [44], který studoval závislost mezi úhlem  $\beta_\Delta$  (obr. 2.70) v zákrutovém trojúhelníku a úhlem  $\beta_0$  vláken v hotovém produktu při výrobě bavlněných přástů. Ve všech případech nalezl  $\beta_\Delta < \beta_0$ . Závislost poměru  $\text{tg } \beta_\Delta / \text{tg } \beta_0$  na Phrixově zákrutovém koeficientu  $\alpha$  je patrná z grafu na obr. 2.70. U přízí bude tento poměr

s ohledem na větší jemnost a tím i větší zakřivení vláken zřejmě ještě menší.

## 3.1. V Z N I K A H O D N O C E N Í S T R U K T U R Y P Ř Í Z E

Strukturální údaj je podle kap. 1.1 informací o části celku. Soubor strukturálních údajů vztázených k jednotlivým částem příze bývá souhrnně nazýván struktura příze. Obecně zahrnuje geometrické vlastnosti i další údaje zejména fyzikální povahy, vyjadřuje geometrické uspořádání i vzájemné spolupůsobení vláken v přízi. Struktura příze popisuje konečný stav, dosažený procesem tvorby. Tvorba struktury jednoznačně předurčuje.

Zdálo by se, že popis struktury je implicitně obsažen v zákonitostech tvorby a není třeba jej samostatně rozvádět. Strukturální tématika má však některé osobité zvláštnosti. Experimentální metody sledování struktury hotové, v čase neproměnné příze se značně odlišují od metod studia proměnlivých útvarů, vyskytujících se v jednotlivých okamžicích tvorby. Metodami výzkumu struktury se zjišťují i skutečnosti, které stávající představy o tvorbě příze nepředpokládaly a nedokázá je zatím uspokojivě vysvětlit. Strukturální poznatky mají význam při uplatňování příze v textilních výrobcích. Je-li příze již vyrobena, přestávají být užitečné informace o její předchozí tvorbě, zatímco struktura příze ovlivňuje navazující výrobu a výsledné vlastnosti plošných textilií. Struktura příze má své vlastní problémy i ve formální stránce. Tentýž jev lze vyjádřit různým způsobem, zavést a užívat různé veličiny odlišující se vhodností pro další využití, názorností popisu apod. Existence "struktury příze" jako samostatné tématiky je tedy oprávněná.

Nejsoustavnější je struktura příze propracována ve své geometrické tématice. Tzv. geometrická struktura příze je i hlavní náplní této kapitoly. Praktický význam má soubor vhodně vybraných podstatných rysů struktury příze, jenž dovoluje vytvářet si určitou zásadní geometrickou představu. Jsou-li v ní jednotlivé poznatky nerozporným způsobem propojeny tak, že současně respektují i obecné přírodovědné zákony, je představa vysvětlujícím modelem geometrické struktury příze.

Modely geometrické struktury příze by měly být logickým vyústěním modelů tvorby. Opačný případ signalizuje mezeru nebo rozpor v systému současných poznatků, jenž je současně impulsem k dalšímu studiu.

Nejstarší metody, používané v oblasti geometrické struktury příze, měly subjektivní charakter. Struktura byla původně sledována jen lidskými smysly, bez jakýchkoliv pomůcek. Vznik a rozvoj měření a měřicí techniky postupně umožnily vyhodnocovat přízi i objektivními metodami měření délek, ploch objemu a úhlů.

Historicky nejstarší objektivní metody zahrnovaly měření délky, hmotnosti, zákrutu a průměru příze. Také proměřování mikroskopických obrazů příze je poměrně dluho známé.

Rozsah metod, užívaných v současné době zahrnuje ještě hmotovou nestejnomořnost, slabá a silná místa a nopky a někdy též měření chlupatosti. Na výzkumných pracovištích byly ovšem vyuvinuty speciální objektivní metody a zařízení, umožňující většinou pracně, ale zato poměrně podrobně měřit mnohé detailní stránky geometrické struktury. Metody bezprostředního zjišťování délek, ploch, objemu a úhlů v geometrické struktuře příze tvoří skupinu přímých metod, založených nejčastěji na optickém principu. Snadněji lze získat obrazy vnější struktury, zachycující jen vlákna ve vnějších vrstvách příze. Komplikovanější je porízení obrazů vnitřní struktury.

Aby se dalo vlákno, které prochází vnitřkem příze sledovat, musí být okolní materiál nějakým způsobem odstraněn. Překrývající vlákna lze odstranit fyzicky (řezy, výbruhy). Jiný způsob spočívá v jejich optickém „odstranění“. V tomto případě nutno již na počátku předení opticky odlišit ta vlákna, která budou později v přízi sledována; bývají nazývány značená vlákna. V absorbční variantě se pak ostatní materiál „zprůhlední“ vhodnou volbou imersní kapaliny a druhu záření. V emisní variantě vyzařují značená vlákna v přízi záření, které dobře proniká okolním materiálem.

Získávané obrazy vnitřní i vnější struktury příze je třeba vyhodnotit. Objektivní vyhodnocování naráželo v minulosti na značné obtíže. Teprve rozvinutá přístrojová technika vybavená automatizačními prvky a navazující výpočetní technika činí metody ve větší míře prakticky použitelnými.

Snaha obejít náročnost a zdlouhavost prací předchozího typu vede k ideji zařízení, které by se nezabývalo postupným měřením jednotlivých detailů struktury, ale dokázalo by zahrnout „nejednou“ všechny vlivy do výsledných charakteristik. Takové integrální metody by bylo možné používat i v provozních podmírkách řádelen. Ač se zvažují různá řešení (např. měření směrového rozložení vláken v přízi nekterými difrakčními metodami či zjištování distribuce poru aplikací některých nejsou porosimetrických) není problém zatím vyřešen.

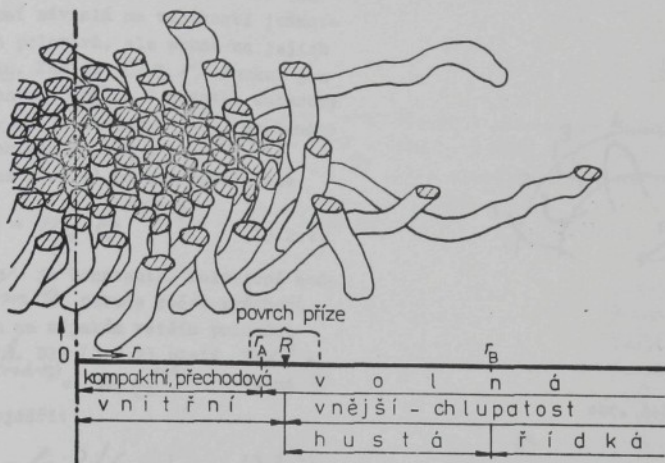
### 3.2. GEOMETRICKÁ STRUKTURA VNĚJŠÍCH VRSTEV PŘÍZE

#### 3.2.1. OBLASTI PŘÍZE

Kolem osy příze je vlákný materiál silně stlačen, vlákna k sobě přiléhají a v mnoha místech se navzájem dotýkají. Hodnota zaplnění obvykle odpovídá kompaktní struktuře, soustava stěsnaných vláken působí téměř monolitním dojmem. Materiál z této oblasti patří nepochybně k „nosné“ podstatě příze. S rostoucím p. ohrem zaplnění klesá postupně až do prostoru, kde se jen tu a tam vyskytne osamocený konec vlákna. Tato oblast již nepochybně přísluší k vnějšímu „obalu“ příze.

Textilní odborníci odedávna pociťovali kvalitativní rozdíl mezi strukturou „nosných“ a „obalových“ vrstev a intuitivně předpokládali existenci jistého rozhraní mezi nimi. Exaktní vymezení hraničního poloměru je však problematické. Původní kvalita „nosné“ struktury totiž přechází do nové kvality v „obalové“ sféře plynule. Je výhodné zavést některé poloměry jako charakteristiky struktury příze. Na nich však nedochází k žádným skokovým změnám. Definice takových poloměrů jsou založené pouze na dohodnuté a dodržované úmluvě.

Na obr. 3.1 je schematicky znázorněna část úseku příze. Poloměr  $r_A$  ležící v úrovni zaplnění  $\mu = 0,227$  symbolizuje rozhraní mezi přechodovou a volnou strukturou. Nedaleko  $r_A$  leží tzv. poloměr příze  $R$ . Definuje se tak, aby co nejlépe vyjádřil intuitivně pociťované kvalitativní rozhraní mezi „nosnou“ a „obalovou“ částí. Body s poloměrem  $r < R$  přísluší vnitřní oblasti příze a struktura v tomto prostoru je vnitřní strukturou příze. Při  $r > R$  se analogicky jedná o vnější oblast či oblast chlupatosti a vnější strukturu příze. Typické rysy vnitřní a vnější struktury se od sebe výrazně liší, přechod v okolí poloměru  $R$  je však plynulý. V některých případech je vhodné speciálně sledovat přechodové formy v prostoru kolem rozhraní obou oblastí. Přechodový prostor je obvykle pojímán jako sféra povrchu příze.



obr. 3.1

Ve vnější oblasti se vyskytují rozmanité tvary převážně nenapojatých úseků vláken, velký podíl prostoru je vyplněn vzduchem, hustota mezivlákených kontaktů je velmi nízká a vlákkenné úseky se do značné míry chovají navzájem nezávisle. Alternativní název - oblast chlupatosti - je zde zcela oprávněný. Na poloměrech  $r > R$  je již tak nízká koncentrace hmoty, že jednotlivé vlákkenné úseky mají minimální možnost navzájem se setkat. Je to oblast izolovaných „chlupů“, oblast řídké chlupatosti. Mezi poloměry  $R$  a  $r$  v oblasti husté chlupatosti je hustota mezivlákených kontaktů sice malá, ne však zanedbatelná.

### 3.2.2. OBLAST HUSTÉ CHLUPATOSTI, POLOMĚR A PRŮMĚR PŘÍZE

V oblasti husté chlupatosti lze mezi dvěma obecnými poloměry  $R$  a  $r$  pozorovat rozmanité tvary vlákkenných úseků, znázorněné na obr. 3.2. Oba poloměry protínají jen úsek typu 1. Konec vláken typu 2 či 3 a obraty typu 4 a 5 protínají jen jeden z těchto poloměrů. Nestejný počet úseků v jednotlivých typových skupinách 2 až 5 způsobuje rozdíly v počtu průchodů vláken sledovanými poloměry. V následujícím textu je popsán autorův model tohoto jevu.

Počet průchodů vláken poloměrem. V přízi konečné délky projdou vlákna poloměrem  $R$  celkem  $m_1$  krát, jiným poloměrem  $r$  pak  $m$  krát. Hodnota poměru  $m/m_1$  závisí na volbě poloměrů  $R$  a  $r$ ; je jejich funkcí  $C(R, r)$ . Vztah mezi  $m_1$  a  $m$  je pak možno uvažovat ve formě

$$m = m_1 C(R, r) \quad (3.2.1)$$

kde pro  $C(r_1, r)$  musí platit

$C(r_1, r) \geq 0$ . V části husté chlupatosti je možno zjednodušeně předpokládat, že změna počtu průchodů vláken není závislá na velikosti jednotlivých poloměrů, ale pouze na jejich rozdílu. Pak je  $C(r_1, r)$  funkci jen argumentu  $r - r_1$ . V dodatku autorovy práce [2] je uvedeno, že za uvedeného předpokladu je  $C(r_1, r) = C(r - r_1)$  a výraz (3.2.1) má konkrétní tvar

$$m = m_1 \cdot e^{C(r - r_1)} \quad (3.2.2)$$

kde  $C$  je konstanta. Poloviční hodnota  $m/2$  nabude počet průchodů vláken na nějakém větším poloměru  $r = r + h$ . Dle (3.2.2) platí  $m/2 = m_1 e^{C(r+h-r_1)} = m_1 e^{Ch}$ . Odtud lze vyjádřit

$$h = \ln 2 / (-C) \quad (3.2.3)$$

Konstanta  $h$  je vhodnou charakteristikou změny počtu průchodů s poloměrem. Zvětší-li se libovolný poloměr o  $h$ , sníží se počet průchodů vláken právě na polovinu. Veličina  $h$  je poloměrovým intervalem polovičního úbytku průchodů vláken. (Analogicky se ve fyzice zavádí „poločas rozpadu“ u radioaktivních látek apod.)

Po vyjádření  $C$  z (3.2.3) nabude rovnice (3.2.2) tvaru

$$m = m_1 \cdot e^{(-\ln 2) \cdot (r - r_1) / h} = m_1 \cdot 2^{(r_1 - r) / h} \quad (3.2.4)$$

K jejímu numerickému využití je nutno znát interval  $h$  polovičního úbytku a počet  $m_1$  průchodů vláken na nějakém poloměru  $r_1$ .

Zaplňení. V přízi délky  $\Delta r$  prochází diferenciální vrstvou mezi poloměry  $r$  a  $r + dr$  celkem  $m$  vláknových elementů. V oblasti chlupatosti je možno pro zjednodušení považovat jejich střední délku  $dl$  za úměrnou šířce  $dr$  vrstvy, nezávisle na poloměru. Pak  $dl/dr = K = \text{konstanta}$ .

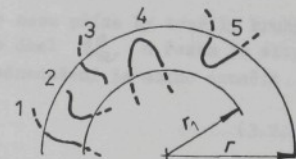
Pro zaplnění  $\mu$  ve sledované diferenciální vrstvě platí  $\mu = (m dl)/(\Delta r dr \alpha)$ ;  $\alpha$  je plocha příčného řezu vláknem. Po dosazení vznikne

$$\mu = \left[ m_1 K \alpha / (\Delta r dr) \right] \cdot 2^{(r_1 - r) / h} \quad (3.2.5)$$

Na poloměru  $r = r_1$  je zaplnění  $\mu = \mu_1$ , takže z posledního výrazu  $\mu_1 = m_1 K \alpha / (\Delta r dr)$ . Užitím v (3.2.5) vznikne konečný výraz

$$\mu = \mu_1 \cdot (r_1 / r) \cdot e^{(-\ln 2) \cdot (r_1 - r) / h} = \mu_1 \cdot (r_1 / r) \cdot 2^{(r_1 - r) / h} \quad (3.2.6)$$

Pro numerický výpočet je nutno znát interval  $h$  a zaplnění  $\mu_1$  na nějakém poloměru  $r_1$ .



obr. 3.2

Pravděpodobnosti výskytu vláken. Ve vnější oblasti příze je zaplnění  $\mu$  funkcí poloměru  $r$ . Jsou-li v rovině přičného řezu - obr. 3.3 - zavedeny pravoúhlé souřadnice  $x, y$  je

$$r = \sqrt{x^2 + y^2} \quad (3.2.7)$$

a zaplnění  $\mu = \mu(r) = \mu(x, y)$ .

Řezné plochy válcových vláken rovnoběžných s osou příze by tvořily kruhy s poloměrem  $d$  vlákna. Vlákná je však zejména o úhel  $\vartheta_a$  a řezem je elipsa s plochou  $\pi d \cdot (d/\cos \vartheta_a) / 4$ . Pro zdjednodušení je možno označit

$$d_E = d / \cos \vartheta_a \quad (3.2.8)$$

a považovat střední hodnotu tohoto efektivního průměru za konstantní veličinu  $d^*$ . Reálný řez vláknem je tak nahrazován kruhovou řeznou plochou myšleného vlákna rovnoběžného s osou příze, jehož průměr je  $d^*$ .

Celková plocha řezů všech vláken ve vnější oblasti příze je nadále označena  $S_e$ . Počet  $n_e$  vlákenných řezů v této oblasti je

$$n_e = 4 S_e / (\pi d^{*2}) \quad (3.2.9)$$

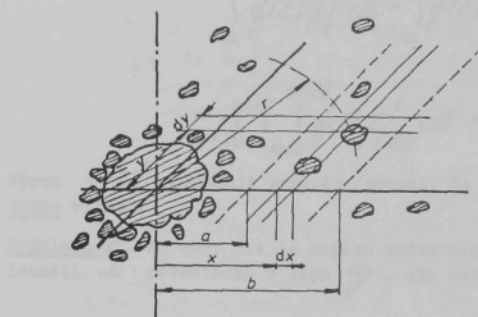
Průměrná plocha vlákenných řezů obsažená v elementární ploše o velikosti  $dx dy$  je  $\mu(x, y) \cdot dx dy$ . a střední "počet" vláken v ní je  $d_n = \mu dx dy / (\pi d^{*2})$ . Konkrétní rozmístění vláken je ovlivněno náhodnými ději. Pravděpodobnost, že náhodně vybrané vláknko protíná element  $dx dy$  je  $d_n / n_e = \mu dx dy / S_e$  (Výraz "vláknko protíná" či "vláknko leží" je užíván ve smyslu "střed řezu vláknka protíná či leží".) Pravděpodobnost, že takové vláknko leží v diferenciálním proužku šíře  $dx$  je pak  $dq_1 = (dx / S_e) \cdot \int_{-\infty}^{\infty} \mu(x, y) dy$ . Pravděpodobnost, že alespoň vláknko leží v diferenciálním proužku, je  $dq(x) = n_e dq_1$ . Odtud plyne

$$dq(x) = f(x) dx \quad (3.2.10)$$

kde

$$f(x) = \left[ 4 / (\pi d^{*2}) \right] \int_{-\infty}^{\infty} \mu(x, y) dy \quad (3.2.11)$$

Pravděpodobnost, že jedno náhodně vybrané vláknko leží v pruhu mezi  $x=a$  a  $x=b$ ; je  $\int_a^b dq_1$ . S pravděpodobností  $(1 - \int_a^b dq_1)$  pak vláknko v tomto pruhu neleží. Pravděpodobnost  $P_a^b$  že ani jedno ze všech  $n_e$  vláken



obr. 3.3

v uvažovaném pruhu neleží, je  $P_a^b = \left(1 - \int_{x=a}^{x=b} \int_{-\infty}^{\infty} u(x,y) dy\right)^{n_e}$ , což vede na tvar

$$P_a^b = \left(1 - \int_a^b \left[ \int_{-\infty}^{\infty} u(x,y) dy \right] dx / S_e\right)^{4S_e/(9\pi d'^2)} \quad (3.2.12)$$

Není-li interval  $(a,b)$  příliš široký, lze připustit, že  $\int_a^b \left[ \int_{-\infty}^{\infty} u(x,y) dy \right] dx \ll S_e$  a výraz (3.2.12) je možno vyjádřit ve tvaru

$$P_a^b = e^{- \int_a^b f(x) dx} \quad (3.2.13)$$

kde  $f(x)$  je dáno v (3.2.11). Pro funkci  $P_a^b$  z (3.2.13) platí následující vztahy

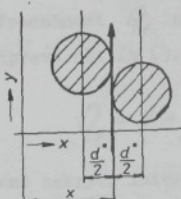
$$P_a^b \cdot P_b^c = P_a^c \quad (3.2.14)$$

$$\int_a^b f(t) P_t^b dt = \int_a^b f(t) P_a^t dt = 1 - P_a^b \quad (3.2.15)$$

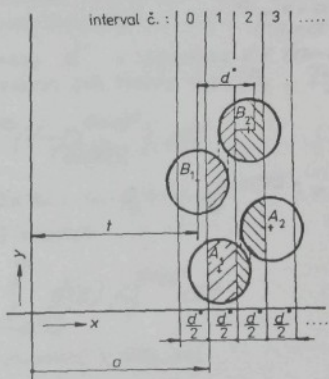
$$P_a^{a+2\delta} + \int_{a+\delta}^{a+2\delta} f(t) P_t^b dt = P_{a-\delta}^{a+\delta} + \int_{a-\delta}^a f(t) P_t^{b+2\delta} dt \quad (3.2.16)$$

Výraz  $1 - P_a^b$  označuje pravděpodobnost, že v pruhu od  $x=a$  do  $x=b$  leží alespoň jedno vlákno.

Průhlednost. Na obr. 3.4 je šipkou znázorněn světelný paprsek, procházející ve vzdálenosti  $x$  rovnoběžně s osou  $y$ . Aby nebyl pohlcen, nesmí v intervalu  $x \pm d/2$



obr. 3.4



obr. 3.5

ležet střed žádného vlákna. Pravděpodobnost  $P$  volného průchodu tohoto paprsku je, jak bylo odvozeno, určena výrazem

$$P = P_{x-d^*/2}^{x+d^*/2} \quad (3.2.17)$$

Veličina  $P$  určuje těž podíl paprsků, které projdou ve zminěné vzdálenosti  $x$ ; vyjadřuje průhlednost příze v místě  $x$ . Funkci  $f(x)$  lze vyjádřit z (3.2.11) zavedením (3.2.6) s (3.2.7) a užitím substituce  $y = x \operatorname{tg}\alpha$  ve tvaru

$$f(x) = \frac{4\pi r_1^2}{\pi d^*} \int_0^{(x+r_1/d^*)/2} e^{-\frac{x \ln 2}{h \cos \alpha}} \cdot \frac{dx}{\cos \alpha} \quad (3.2.18)$$

Z rovnice (3.2.17) vznikne užitím (3.2.13) s (3.2.18) a integrací podle  $x$  tvar

$$- \ln P = \frac{h \pi r_1^2}{\pi d^* \ln 2} \left[ \int_0^{x/2} e^{-\frac{(x-d^*/2) \ln 2}{h \cos \alpha}} dx - \int_0^{x+d^*/2} e^{-\frac{(x+d^*/2) \ln 2}{h \cos \alpha}} dx \right] \quad (3.2.19)$$

Integrály v posledních dvou rovnicích je možno dobře numericky vypočítat.

Zakrytí intervalů. Na obr. 3.5 jsou počítají hodnotou  $x = \alpha$  znázorněny intervaly šíře  $d^*/2$ , označené požadovanými čísly 0, 1, 2, 3, ... . Každý interval se považuje za zakrytý právě tehdy, neprojde-li jím světlý paprsek rovnoběžný se směrem  $y$ .

Interval č. 1 může být zakryt dvojím způsobem. Postačuje, leží-li v něm střed alespoň jednoho vlákna - např.  $A_1$ . Pravděpodobnost takového jevu je  $1 - P_a^{x+d^*/2}$ . Nevezmíme-li uvedený případ, může být ještě interval zakryt vlákny typu  $B_1$ ,  $B_2$  ze sousedních intervalů. V intervalu č. 1 neleží střed ani jednoho vlákna s pravděpodobností  $P_a^{x+d^*/2}$ . Pravděpodobnost, že alespoň jedno vlákno má střed v proužku šíře  $dt$  ve vzdálenosti  $x = t$  je dle (3.2.10)  $f(t) dt$ . Pravděpodobnost, že v rozmezí  $x \in (t, \alpha)$  neleží střed žádného vlákna je  $P_t^{\alpha}$ . Výraz  $f(t) P_t^{\alpha} dt$  pak označuje pravděpodobnost, že ve vzdálenosti  $x = t$  existuje střed vlákna  $B_1$ , a toto vlákno je zleva nejbližší hranici  $x = \alpha$ . Aby byl interval č. 1 zakryt, musí současně střed alespoň jednoho vlákna typu  $B_2$  ležet v rozmezí  $x \in (\alpha + d^*/2, t + d^*)$ , což nastane s pravděpodobností  $1 - P_{\alpha+d^*/2}^{t+d^*}$ .

Popsaná situace pak musí nastat alespoň pro jedno  $t$  z intervalu  $t \in (\alpha - d^*/2, \alpha)$ . Pravděpodobnost  $Q_1^*$ , že interval č. 1 bude zakryt jen vlákny typu  $B_1$ ,  $B_2$  je proto

$$Q_1^* = P_a^{x+d^*/2} \int_{\alpha - d^*/2}^{\alpha} f(t) P_t^{\alpha} (1 - P_{\alpha+d^*/2}^{t+d^*}) dt \quad (3.2.20)$$

Výsledná pravděpodobnost  $Q_1$  zakrytí intervalu č. 1 je  $Q_1 = (1 - P_a^{x+d^*/2}) + Q_1^*$ .

Po dosazení a úpravě užitím (3.2.14), (3.2.15) vznikne

$$Q_1 = 1 - P_a^{x+d^*/2} - \int_{\alpha - d^*/2}^{\alpha} f(t) P_t^{t+d^*} dt \quad (3.2.21)$$

Pro současné zakrytí intervalů č. 1 a 2 existují 3 možnosti:

- a) v každém z obou intervalů leží střed nejméně jednoho vlákna
- b) v intervalu č. 1 leží střed nejméně jednoho vlákna, v intervalu č. 2 neleží střed žádného vlákna
- c) v intervalu č. 1 neleží střed žádného vlákna, v intervalu č. 2 leží střed nejméně jednoho vlákna.

Pokud v žádném z obou intervalů neleží střed nějakého vlákna, nemohou být současně

zakryté. V okolí  $x = \alpha + d^{*}/2$  totiž projde světelný paprsek bez zábran.

Pravděpodobnost možnosti a) je  $(1 - P_{\alpha}^{\alpha+d^{*}/2})(1 - P_{\alpha+d^{*}/2})$ .

V možnosti b) musí být interval č. 2 zakryt dvojicí vláken typu  $A_1, A_2$ . Pravděpodobnost  $Q_2^*$ , že interval č. 2 bude zakryt jen vlákny typu  $A_1, A_2$  je v analogii k (3.2.20).

$$Q_2^* = P_{\alpha+d^{*}/2}^{\alpha+d^{*}} \int_{\alpha}^{\alpha+d^{*}/2} f(t) P_t^{\alpha+d^{*}/2} (1 - P_{\alpha+d^{*}}^{t+d^{*}}) dt \quad (3.2.22)$$

(Ve výrazu (3.2.20) je třeba užít místo  $\alpha$  hodnotu  $\alpha + d^{*}/2$ .) V této situaci ovšem jistě leží vlákno  $A_1$  v intervalu č. 1. Výraz (3.2.22) je proto pravděpodobností celé možnosti b).

V možnosti c) musí být interval č. 1 zakryt jen vlákny typu  $B_1, B_2$ . Pak ovšem střed vlákna  $B_2$  leží jistě v intervalu č. 2. Výraz  $Q_1^*$  určený vztahem (3.2.20) je tedy i pravděpodobností celé možnosti c).

Pravděpodobnost  $Q_{1,2}$  současného zakrytí intervalů č. 1 a 2 je  $Q_{1,2} = (1 - P_{\alpha}^{\alpha+d^{*}/2})(1 - P_{\alpha+d^{*}/2}) + Q_1^* + Q_2^*$ . Upravou a užitím (3.2.14), (3.2.15) vznikne

$$Q_{1,2} = 1 - P_{\alpha-d^{*}/2}^{\alpha+d^{*}/2} - \int_{\alpha-d^{*}/2}^{\alpha+d^{*}/2} f(t) P_t^{t+d^{*}/2} dt = Q_1^* - \int_{\alpha}^{\alpha+d^{*}/2} f(t) P_t^{t+d^{*}/2} dt \quad (3.2.23)$$

Podmíněná pravděpodobnost  $V_{2/1}$  zakrytí intervalu č. 2 za předpokladu, že je zakrytý interval č. 1 je

$$V_{2/1} = 1 - \left( \int_{\alpha}^{\alpha+d^{*}/2} f(t) P_t^{t+d^{*}/2} dt \right) / \left( 1 - P_{\alpha-d^{*}/2}^{\alpha+d^{*}/2} - \int_{\alpha-d^{*}/2}^{\alpha} f(t) P_t^{t+d^{*}/2} dt \right) \quad (3.2.24)$$

Poslední výraz lze snadno zobecnit. Užije-li se v něm místo  $\alpha$  hodnota  $\alpha + (i-2)d^{*}/2$ ,  $i=2,3,\dots$ , vznikne podmíněná pravděpodobnost  $V_{i/(i-1)}$  zakrytí  $i$ -tého intervalu za předpokladu, že je zakryt interval  $i-1$ . Pravděpodobnost, že je zakryto  $k$  po sobě jdoucích intervalů počínaje  $x=\alpha$ , tj. pravděpodobnost zakrytí v rozmezí  $x \in (\alpha, \alpha + kd^{*}/2)$ , může být nyní popsána výrazem

$$U(\alpha, k) = \begin{cases} Q_1 & \text{pro } k=1 \\ Q_1 \cdot \prod_{i=2}^k V_{i/(i-1)} & \text{pro } k=2,3,\dots \end{cases} \quad (3.2.25)$$

U všech známých přízí je jejich vnitřní oblast zaplněna vláknovým materiélem do té míry, že je vlastně neprůhledná. Zvolí-li se např.  $\alpha = \alpha_0$  v místech, kde průhlednost nepřesahuje hodnotu  $P = 0,005$ , pak  $U(\alpha_0, k)$  vyjadřuje prakticky pravděpodobnost, že od osy příze až po  $x = \alpha_0 + kd^{*}/2$  neprojde žádný paprsek. Výraz

$$F(k) = 1 - U(\alpha_0, k) \quad (3.2.26)$$

je naopak pravděpodobností, s jakou světelný paprsek projde v nějakém místě  $x < \alpha_0 + kd^{*}/2$ . Jinak řečeno,  $F(k)$  vyjadřuje pravděpodobnost, že průchod prvního světelného paprsku nastává blíže než ve vzdálenosti  $x = \alpha_0 + kd^{*}/2$ .  $F(k)$  je hodnotou distribuční funkce rozložení vzdáleností  $x = \alpha_0 + kd^{*}/2$  průchodu paprsků.

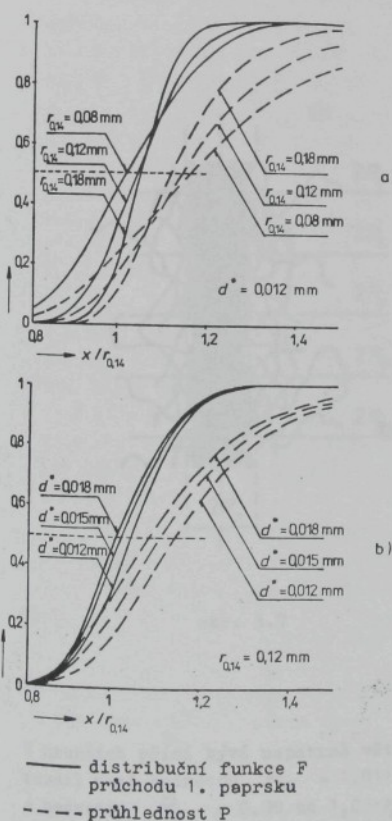
Číselně lze hodnoty  $F(k)$  vyjadřovat metodami numerické integrace. Je nutno využít z definičních vztahů (3.2.11) a (3.2.13) při užití (3.2.6). S výhodou lze využít úpravu vedoucí k (3.2.18) a (3.2.19). Odvozený tvar distribuční funkce  $F(k)$  je však jen přibližný. V provedených úvahách se totiž zanedbávala skutečnost, že

v zakrytých intervalech se „spotřebuje“ jistý počet vláken, které pak již nejsou k dispozici pro zakrývání intervalů dalších. Funkce  $F(k)$  bude proto ve skutečnosti inklinovat s rostoucím  $k$  k vyšším hodnotám.

**Poznámka:** Hodnoty distribuční funkce  $F(k)$  se uvedenými vztahy mohou počítat jen pro přirozená  $k$ , tj. pro  $x$  s krokem  $\frac{k}{\alpha^* R_p / 2}$ . Ačkoliv je možné odvodit i výrazy platné pro necelá  $k$ , prakticky postačuje stanovit  $F(k)$  v mezipolohách interpolací.

**Poloměr a průměr příze.** Poloměr  $R$  příze je dohodnutý způsobem stanovená veličina, používaná ve smyslu rozhraní mezi vnitřní a vnější oblastí příze. Jeho dvojnásobek  $D = 2R$  je průměr příze.

Pro určení  $R$  či  $D$  byly navrženy laboratorní postupy založené na různých principech. Nejstarší varianty pracovaly s posuvnými a mikrometrickými měridly. Doporučovalo se např. měřit průměr „indikačními hodinkami“ při malém přitlaku. Vtipná varianta popisovaná S. Marschikem [59] spočívá v navinutí mnoha ovinů příze hustě vedle sebe na válec a změření jeho volného průměru i průměru nití ovinutého. Rozdíl obou hodnot je dvojnásobkem průměru příze. V této variantě se přitlačná síla měridla rozkládá na mnoho nití, jež jsou tak méně stlačovány.



obr. 3.6

Nedefinované příčné deformace příze jsou hlavním problémem všech kontaktních metod měření. Bezkontaktní metody založené většinou na pozorování příze ve svazku rovnoběžných světelných paprsků tento nedostatek odstraňují.  $R$  či  $D$  se v nich stanovuje buď na podkladě hodnot průhlednosti, nebo z polohy prvého průchozího paprsku. Příklady výpočtem stanovených závislostí  $P$  a  $F$  jsou uvedeny v obr. 3.6. Výpočet se opírá o vztahy (3.2.17) a (3.2.26) při užití (3.2.6) a (3.2.13). Ve všech znázorněných případech byla užita hodnota intervalu polovičního úbytku  $\mu = 0,013 \text{ mm}$ , častá u běžných typů bavlnářských přízí. Symbol

$R_{0.14}$  označuje poloměr  $R$ , na němž je zaplnění  $\mathcal{U} = 0,14$  a funkční hodnoty jsou vyneseny v závislosti na poměrné hodnotě  $x/R_{0.14}$ . V grafu a) lze sledovat vliv poloměru  $R_{0.14}$  při konstantní hodnotě efektivního průměru  $d^*$  vláken. Z grafu b) je zřejmý vliv  $d^*$  při neproměnné hodnotě  $R_{0.14}$ .

Pokud se poloměr  $R = R_p$  příze definuje na podkladě průhlednosti, je obvykle vyjadřován hodnotou  $x$  v místě, kde je  $P = 0,5$ , tj. kde prochází právě polovina světelného toku. V příkladech na obr. 3.6 se hodnota  $R_p$  pohybuje okolo  $1,1 \cdot R_{0.14}$ .

až  $1,15 \cdot R_{0,14}$ . Hrubší příze (velké  $R_{0,14}$ ) a hrubší vlákna (velké  $d''$ ) inklinují k menším hodnotám, jemnější příze a vlákna k hodnotám větším. Odpovídající zaplnění na poloměru  $R_p$  se pohybuje dle (3.2.6) kolem 0,045 až 0,075, při čemž hrubší příze a hrubší vlákna inklinují k vyšším hodnotám a naopak.

Definuje-li se poloměr  $R = R_F$  příze na základě průchodu prvních paprsků, je nutno vycházet z distribuční funkce  $F$  jejich rozložení. O místě  $x$ , kde je  $F(x) = 0,5$  platí, že právě v polovině případu projde první světelný paprsek v menší vzdálenosti. Takové  $x$  je mediánem vzdálenosti prvních světelných paprsků od osy příze, a protože funkce  $F$  je přibližně symetrická kolem bodu  $F(x) = 0,5$ , je medián prakticky roven aritmetickému průměru. Poloměr  $R_F$  příze lze definovat jako aritmetický průměr vzdáleností  $x$ , ve kterých procházejí první světelné paprsky. V příkladech na obr. 3.6 se  $R_F$  pohybuje v rozmezí okolo  $1,01 \cdot R_{0,14}$  až  $1,05 \cdot R_{0,14}$ . Odpovídající zaplnění je dle (3.2.6) asi 0,08 až 0,13. K větším hodnotám  $R_F / R_{0,14}$  a nižším hodnotám zaplnění inklinují příze hrubší (větší  $R_{0,14}$ ) a příze vyrobené z jemnějších vláken. Poloměr  $R_F$  tvoří asi 85% až 90% poloměru  $R_p$ .

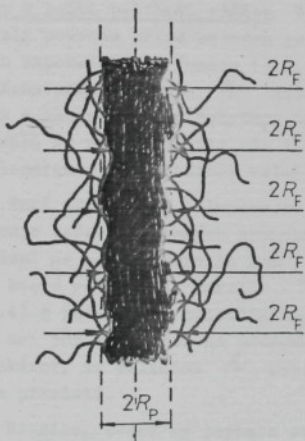
Experimentálně lze poloměry  $R_p$  či  $R_F$  vyhodnocovat ze zvětšených průmětů příze, jak je schematicky znázorněno v obr. 3.7. Metoda používaná v SVÚT

zobrazuje přízi na matnici projekčního mikroskopu v 50 až 100 násobném zvětšení. Pak je možno i běžnými délkovými měřidly odebírat v mnoha místech rozměry  $D_p = 2R_F$  a posléze z nich stanovit aritmetický průměr. Čárkovánou znázorněnou linie průhlednosti  $P = 0,5$  lze objektivně určit vhodným fotometrickým zařízením - viz např. J. Kašpárek /44/. Ukazuje se však, že zaškolený pracovník laboratoře je s uspokojivou přesností a reprodukovatelností schopen stanovovat je i subjektivně. Vzdálenost mezi těmito liniemi pak určuje průměr  $D_p = 2R_p$  zobrazeného úseku příze.

Laboratorní výsledky dlouhodobě zjištované v SVÚT potvrzují závěry nalezené v obr. 3.6 z vy počtených teoretických křivek. Poměr  $R_F / R_p$  se skutečně pohybuje kolem 0,85 až 0,9. Experimentálně stanovený poloměr  $R_F$  leží obvykle v těsném okolí  $R_{0,14}$ .

U hrubších přízí bývá nepatrně větší, u jemnějších přízí i poněkud menší. Nevelký rozdíl mezi hodnotou  $R_F = 1,01 \cdot R_{0,14}$  až  $1,05 \cdot R_{0,14}$  nalezenou z obr. 3.6 a hodnotou  $R_F = 0,98$  až  $1,03 \cdot R_{0,14}$  zjištovanou experimentálně může být dobře vysvětlen dříve zmíněnou nepřesností teoretického odvození funkce  $F$ .

Na základě dosavadních zkušeností se zdá, že  $R_F$  vystihuje lépe než  $R_p$  intuitivně počítované rozhraní mezi vnitřní a vnější oblastí příze. Průměru  $D_p = 2R_F$



obr. 3.7

také dobré odpovídají vztahy odvozené v kap. 1.

Poznámka: Nutno podotknout, že popsané konkrétní souvislosti se týkají okruhu bavlnářských přízí, pro něž byly vypočteny grafy na obr. 3.6. V jiných případech mohou platit i jiné poměry.

### 3.2.3. PRŮBĚHY VLÁKEN, HRANICE A OBLAST ŘÍDKÉ CHLUPATOSTI

Vnější oblast příze je možno experimentálně sledovat metodami pro zjišťování průběhu zaplnění  $\mu$  (kap. 3.3. a 3.4.) a to až do poloměru, kde přibližně  $\mu = 0,01$ . Tato vzdálenost nebývá ve srovnání s poloměrem  $R$  příze větší než  $R + 0,05$  mm až  $R + 0,1$  mm. Na větších poloměrech se vyskytuje vlákna tak řídce, že je třeba užít jiných metod.

Měření chlupatosti. Speciální postupy, vypracované pro měření chlupatosti, jsou obvykle založeny na zjišťování počtu vláken, procházejících místy, vzdálenými nejméně několik desetin milimetru od povrchu příze. Stručný přehled používaných zařízení uvádí např. A. Barella a A.M. Manich / 8 /.

Nejméně prozkoumané však zůstávají oblasti, vzdálené asi 0,05 až 0,4 mm od povrchu příze. Sem nezasahuje s potřebnou přesností ani metody měření radiálního průběhu zaplnění, ani metody měření chlupatosti. A právě v tomto prostoru dochází zřejmě k některým důležitým změnám v zákonitostech struktury vnější oblasti.

Změny v počtu průchodů vláken. V kap. 3.2.2. byl pro oblast husté chlupatosti v okolí povrchu příze odvozen počet  $m$  průchodů vláken obecným poloměrem  $r$  ve tvaru exponenciální funkce (3.2.4), která uspokojivě vystihuje experimentální výsledky. Konstantní hodnota  $\nu$  intervalu polovičního úbytku závisí na použitém materiálu a technologii a pohybuje se rádově kolem 0,01 mm. Bližším rozborom naměřených výsledků se však zjistilo, že hodnota  $\nu$  ve funkci (3.2.4) není zcela neproměnná. S poloměrem  $r$  většinou velmi mírně, avšak s určitým zrychlením přirůstá.

Také při měření chlupatosti v prostorech značně vzdálených od povrchu příze vykazuje počet vlákených průchodů s přirůstajícím poloměrem exponenciální pokles. Poukázal na něj A. Barella / 6 / nebo K.P.R. Pillay / 89 /. Experimentálním průběhem, které nalezli A. Barella / 7 / či K.P.R. Pillay / 89 / však vyhovuje rovnice (3.2.4) s intervalem polovičního úbytku  $\nu$  v úrovni 0,3 až 0,7 mm, což je hodnota asi 50x větší než na povrchu příze. Podrobnejší analýzou experimentálních dat lze ukázat, že veličina  $\nu$  není zcela neproměnná, ale mírně, zpomalujícím se způsobem přirůstá.

Rovnice, která by popsala počet  $m$  vlákených průchodů v širokém rozsahu poloměrů, musí proto obsahovat proměnnou veličinu  $\nu$  intervalu polovičního úbytku. Původní vztah (3.2.4) lze jinak vyjádřit zápisem

$$m = m_0 e^{-\ln 2 \cdot \int_{\nu}^{\nu} (1/r) dr} \quad (3.2.27)$$

Uvedený tvar je obecnou formou závislosti  $m$  na  $r$  i pro případ, kdy  $\nu \neq \text{konst.}$  Z derivace (3.2.27) plyne výraz

$$\nu = -\ln 2 \cdot m/(dm/dr) \quad (3.2.28)$$

použitelný pro sledování průběhu veličiny  $\nu$  z experimentálně zjišťované závislosti  $m = m(r)$ . Bohužel, dříve zmíněný nedostatek experimentálních údajů přibližně z prostoru poloměrů  $r \in (R + 0,05 \text{ mm}; R + 0,4 \text{ mm})$  nedovoluje určit průběh  $\nu$  v této důležité oblasti. Příčiny vedoucí ke změnám  $\nu$  nejsou doposud dostatečně známé a zaslouhovaly by si podrobnejšího studia.

Z experimentálních výsledků, nalezených metodami zjišťování zaplnění přibližně pro  $r < R + 0,05$  mm a metodami měření chlupatosti přibližně pro  $r > R + 0,4$  mm je možno navrhnut empirickou funkci pravděpodobného průběhu  $h$  např. tvarem

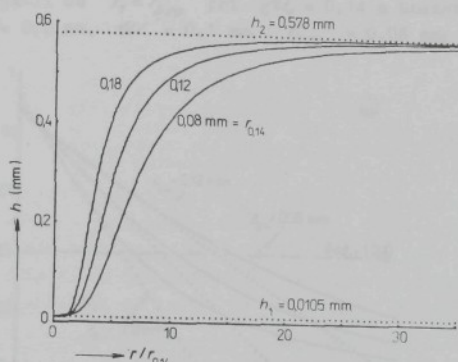
$$h = 1 / \left[ \frac{k}{2 \ln 2 \cdot (x/\sqrt{x^2+k^2} + x^2/k^2)} + \frac{1}{h_2} \right] \quad (3.2.29)$$

kde

$$x = (r - r_{0,14} - u) / 2 \quad (3.2.30)$$

$$q = h_1 h_2 / [(h_1 - h_2) \ln 2] \quad (3.2.31)$$

Veličina  $r_{0,14}$  označuje poloměr se zaplněním  $u = 0,14$ , veličiny  $h_1$ ,  $h_2$ ,  $w$ ,



a)

$k$  jsou empirické konstanty s rozdílem délky. Navržená funkce (3.2.29) limituje pro velmi malá  $r$  (přesněji pro  $r \rightarrow -\infty$ ) k hodnotě  $h = h_1$ , naopak pro velká  $r$ , ( $r \rightarrow \infty$ ) se blíží k  $h = h_2$ . Příklad průběhu funkce

$h$  je pro hodnoty

$h_1 = 0,0105$  mm,

$h_2 = 0,578$  mm,

$k = 0,2$  mm,

$u = 0,1$  mm a

$r_{0,14} = 0,08$  mm;  $0,12$  mm;

$0,18$  mm vynesen v obr.

3.8 a). Funkce  $h$  zde

tvoří rostoucí S-křivky. Poznamenejme, že konstanta  $k$  souvisí se strmostí S-křivky. Pro  $k \rightarrow 0$  platí

$h = h_1$  až do hodnoty

$x = 0$  a poté funkce

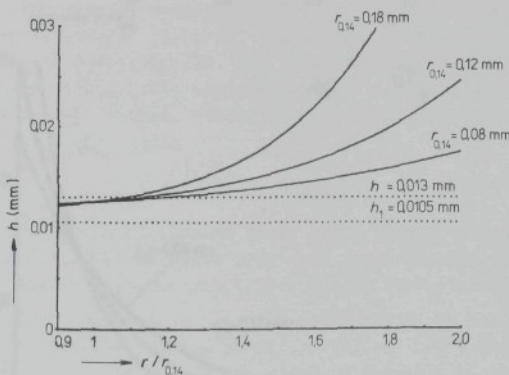
skokem přejde na  $h = h_2$ . Konstanta  $w$  souvisí s polohou strmé části křivky vzhledem k  $r_{0,14}$ .

Průběhy v rozmezí  $r/r_{0,14} \in (0.9; 2.0)$  jsou zvětšeny v obr.

3.8 b). Je vidět, že

dříve užitá hodnota

$h = 0,013$  mm přijala



b)

obr. 3.8

telně approximuje nynější průběhy v okolí  $r/r_{0,14} = 1$ .

Výraz  $-\ln 2 \cdot \int (1/h) dr$  vede po dosazení (3.2.29) s (3.2.30) a provedení integrace na tvar

$$-\ln 2 \cdot \int (1/h) dr = k / (x + \sqrt{x^2 + k^2}) + x(2 \ln 2 / h_2) + C \quad (3.2.32)$$

kde  $C$  je integrační konstanta.

Počet  $M$  průchodů vláken poloměrem  $r$  je dle obecného vztahu (3.2.27) dán nyní výrazem

$$M = M_1 \cdot C \left\{ \frac{k}{x + \sqrt{x^2 + kq}} - \frac{k}{x_1 + \sqrt{x_1^2 + kq}} - (x - x_1) \frac{2 \ln 2}{h_2} \right\} \quad (3.2.33)$$

kde  $x$  a  $q$  jsou určeny vztahy (3.2.30), (3.2.31),  $x_1$  je hodnota  $x$  při  $r = r_1$ . Ve zvláštním případě, je-li  $h_1 = h_2 = h$  je  $q = \infty$  a vztah (3.2.33) se ztotožní s rovnicí (3.2.4).

Pro zaplnění  $C$  platí ze stejné úvahy, která vedla ke vzniku rovnice (3.2.6) tvar

$$C = C_1 \frac{r_1}{r} \cdot C \left\{ \frac{k}{x + \sqrt{x^2 + kq}} - \frac{k}{x_1 + \sqrt{x_1^2 + kq}} - (x - x_1) \frac{2 \ln 2}{h_2} \right\} \quad (3.2.34)$$

Použije-li se  $R = R_{0.14}$  při  $M_1 = 0.14$  a hodnoty  $h_1 = 0.0105$  mm,  $h_2 = 0.578$  mm,  $k = 0.2$  mm,  $w = 0.1$  mm,  $R_{0.14} = 0.08$  mm; 0.12 mm; 0.18 mm, vzniknou průběhy

zaplnění, znázorněné plnou čarou v semilogaritmickém grafu na obr. 3.9 a). Čárkovaně je zde vyznačen průběh dle rovnice (3.2.6)

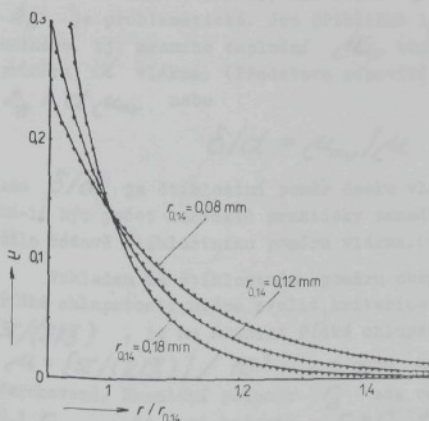
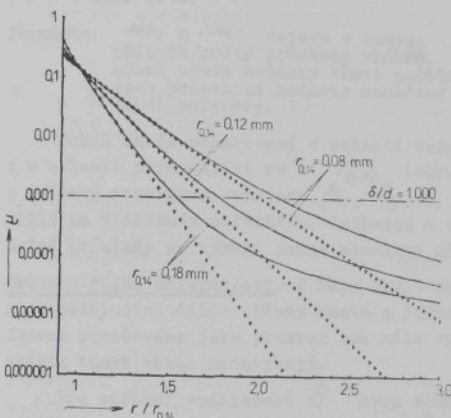
při  $h = 0.013$  mm = konst. Charakter funkcií (3.2.34) a (3.2.6) v rozmezí  $r = 0.9 \cdot R_{0.14}$

až  $r = 1.5 \cdot R_{0.14}$  lze detailně posoudit

z obr. 3.9 b). Na velkých poloměrech jsou rozdíly v hodnotách obou funkcí značné, do

$r = 1.5 \cdot R_{0.14}$  je však možno považovat oba typy průběhů za prakticky stejné. Odvození poloměru a průměru příze, užívající v předešlé kapitole rovnici (3.2.6), zůstává proto i nadále v platnosti.

Vztah (3.2.33) je též možno přibližně porovnat s výsledky měření A. Bareilly / 7 /. V citované práci se mj. uvádějí údaje o rozložení konců vláken bavlněných klasicky předených přízí v relativní (pro-



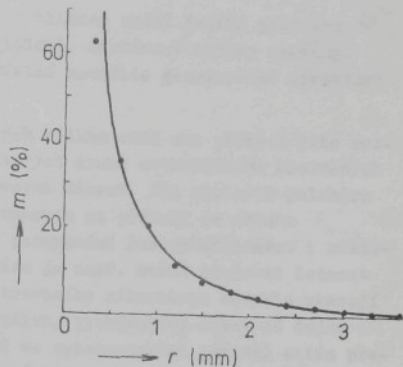
obr. 3.9

centní) formě. Připustí-li se, že v oblastech značně vzdálených od povrchu příze protínají koncové části vláken každý poloměr jen 1x, a dále, že smyčky vláken mají

přibližně stejné rozložení jako konce a protínají každý poloměr před svým obrazem právě  $2x$ , pak je rozložení konců v tomto prostoru úměrné rozložení počtu všech vlákených průchodů jednotlivými poloměry. Pro srovnávací výpočet rovnice (3.2.33) se jako v předechozích pro- potech užilo  $m_1 = 0,0105 \text{ mm}$ ,  $m_2 = 0,578 \text{ mm}$ ,  $k = 0,2 \text{ mm}$ ,  $w = 0,1 \text{ mm}$  a vzhledem k jemnostnímu rozsahu přízi zkoumaných v práci /7/ byla odhadnuta hodnota  $\gamma = r_{0,14} = 0,10 \text{ mm}$ . Zavedeli se ještě  $m_1 = 5,71 \cdot 10^5$  vznikne závislost  $m$  na  $r$ , znázorněná spo- lečně s experimentálními hodnotami dle /7/ v obr. 3.10.

Poznámka:  $m_1$  a  $m$  nejsou v tomto případě počty průchodů vláken, nýbrž pouze hodnoty těto počtům úměrné. Jedná se o stejnou úměru, s jakou jsou procentní hodnoty naměřené v /7/ úměrné počtu všech vlákených prů- chodů poloměry.

obr. 3.10



Dobrá shoda pozorovaná v oblasti velmi vzdálené od povrchu příze (obr. 3.10) i v oblasti přimykající se k  $r_{0,14}$  (obr. 3.9 b) vznikla užitím navržených rovnic s jedinou soustavou konstant  $m_1, m_2, k, w$ . Hodnoty konstant budou ovšem závislé na vlákenném materiálu, technice a technologii výroby příze. Zde uvedené číselné příklady se týkají pouze klasicky předených bavlněných přízí mykaných.

Hranice řídké chlupatosti. V kap. 3.2.1 je na obr. 3.1 naznačena poloměrem  $B$  hranice oddělující dílčí oblast husté a řídké chlupatosti. Řídká chlupatost je intuitivně pociťována jako prostor tak málo vyplňený vlákenným materiálem, že se zde vlákna téměř vůbec nedotýkají.

Pro střední vzdálenost  $\delta$  dvou sousedních kontaktů na vlákně byla v kap. 1.2.2 odvozena rovnice (1.2.26), dle které  $\delta = k/m$ . Experimentální určení konstanty  $k$  je problematické. Jen přibližně lze vyjít z úvahy, že v případě nejvyššího možného, tj. mezního zaplnění  $\mu_m$  bude střední vzdálenost  $\delta$  řádově odpovídat průměru  $d$  vlákna. (Představa odpovídá obr. 1.5 c) v kap. 3.2.1.) Pak by platilo  $k = d \mu_m$  nebo

$$\delta/d = \mu_m/m \quad (3.2.35)$$

kde  $\delta/d$  je štíhlostní poměr úseku vlákna vytnutého dvěma sousedními kontakty. Má-li být počet kontaktů prakticky zanedbatelný, je třeba, aby se  $\delta/d$  přiblížilo řádově štíhlostnímu poměru vlákna. (tab. 1.2 v kap. 1.2).

Vzhledem ke štíhlostnímu poměru obvyklých textilních vláken je pro hranici řídké chlupatosti možné zvolit kriterium  $\delta/d = 10^3$ . Užije-li se pro  $\mu_m = \mu_{lim} = \pi/(2\sqrt{3})$ , je na hranici řídké chlupatosti zaplnění dle (3.2.35) ve výši  $\mu = [\pi/(2\sqrt{3})]/10^3 = 0,0009$ . Na obr. 3.9a) je tato úroveň znázorněna čerchovaně. Hranici poloměr  $B$  zde odpovídá hodnotám v rozmezí  $1,5 r_{0,14}$  až  $2,1 r_{0,14}$ , tj. asi hodnotě  $B = r_{0,14} + 0,09 \text{ mm}$ . Protože  $r_{0,14}$  odpovídá přibližně poloměru  $R$  příze, je možné u bavlnářských přízí uvažovat oblast řídké chlupatosti v prostoru poloměrů  $r > R + 0,09 \text{ mm}$ . Zbývá připomenout, že hranici poloměr  $B$  leží bohužel v experimentálně nejméně dostupné oblasti, kam spolehlivě nezasahuje ani soudobé metody hodnocení radiálního průběhu zaplnění, ani metody měření chlupatosti.

### 3.2.4. VLÁKNA NA POVRCHU PŘÍZE

Vlákna, která leží na povrchu příze, tj. v blízkém okolí jejího poloměru  $R$ , lze ještě dobře sledovat přímými optickými metodami. Získávané obrazy umožňují využívat jak typické zákonitosti, tak i místní anomálie geometrické struktury v této oblasti.

Často se měří úhel  $\beta_0$  sklonu povrchových vláken vůči ose příze a jeho rozptyl. Obzvlášť významný je tento postup u některých druhů netradičních kroucených přízí, u nichž nelze obvyklými metodami stanovovat zákrut. Při znalosti poloměru  $R$  příze je totiž možné odhadnout hodnotu zákruty na povrchu ze vztahu

$Z = \operatorname{tg} \beta_0 / (2\pi R)$ . Na základě přímého pozorování lze využívat i některé osobité zvláštnosti povrchu. U rotorové příze je např. možné sledovat četnost a geometrickou strukturu ovinků. Obrazy z rastrovacího mikroskopu obvykle ukazují jisté šroubovitě navinuté „shluhy“ několika vláken, vytvářející někdy až dojem šroubovicové „rozbrázděného“ povrchu příze. Ač ve využívání povrchů zatím převažují subjektivní popisné metody, jsou nalézané informace cennou součástí poznání geometrické struktury přízí.

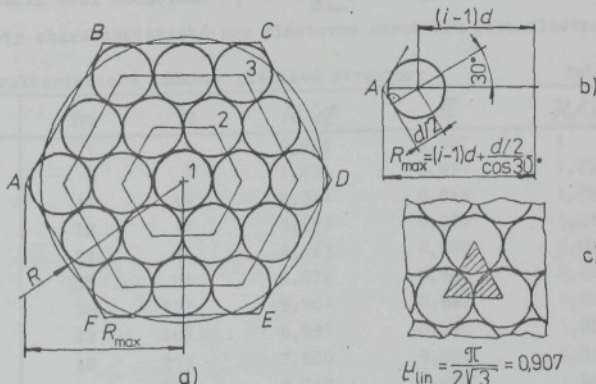
### 3.3. GEOMETRICKÁ STRUKTURA V PŘÍČNÝCH ŘEZECH

#### 3.3.1. IDEALIZOVANÉ PŘÍČNÉ ŘEZY

Snaží se pochopit zákonitosti reálných řezů vedla v minulosti ke vzniku idealizovaných modelů. Řezná plocha každého vlákna se v nich obvykle uvažuje jako kruh s průměrem  $d$  a předpokládá se nějaké pravidelné uspořádání těchto kruhů.

E.R. Schwarz /1981, 1991/ analyzoval dvě základní formy idealizovaných řezů: „uzavřenou“ formu šestíúhelníkového uspořádání, známou jako plástová struktura, a otevřenou formu uspořádání v kruzích, označovanou jako struktura válcová.

Plástová struktura. Plástová struktura, znázorněná na obr. 3.11 a), je nejtěsnějším uspořádáním. Vlákna jsou v ní sestavena do šestíúhelníkových vrstev. V 1. vrstvě je jediné středové vlákno. Každá další obecně  $i$ -tá vrstva,  $i = 2, 3, \dots$ ,



obr. 3.11

obsahuje  $M = 6 (i - 1)$  vláken. Řez obsahující jen první vrstvu má jediné vlákno. Obecně řez, obsahující  $i$  vrstev,  $i = 1, 2, \dots$ , má celkem  $3i^2 - 3i + 1 = M$  vláken. Z uvedeného vztahu vyplývá těž

$$i = 1/2 + \sqrt{M/3 - 1/12} \quad (3.3.1)$$

Vláko ve vrcholu  $A$  šestiúhelníku, znázorněném na obr. 3.11 b), má svůj střed ve vzdálenosti  $2d$ , obecně pak  $(i-1)d$  od osy útvaru. Od vrcholu  $A$  je střed vzdálen o  $(d/2)/\cos 30^\circ$  takže vzdálenost vrcholu  $A$  od osy útvaru je  $R_{max} = (i-1)d + d/(2\cos 30^\circ)$ . Plocha šestiúhelníku  $ABCDEF$  je  $S = 3R_{max}^2 \cdot \cos 30^\circ$ . Kruh o stejně ploše má poloměr  $R = \sqrt{S/\pi}$ . Dosazením předchozích vztahů vznikne rovnice

$$R/d = \left[ (i-1) + 1/(2\cos 30^\circ) \right] / \sqrt{(3 \cos 30^\circ)/\pi} \quad (3.3.2)$$

nebo užitím (3.3.1)

$$R/d = \left[ \sqrt{\frac{M}{3} - \frac{1}{12}} - \frac{1}{2} + \frac{1}{2\cos 30^\circ} \right] \cdot \sqrt{\frac{3 \cos 30^\circ}{\pi}} \quad (3.3.3)$$

Takto zavedené  $R$  je možno považovat za poloměr idealizované příze s plástovou strukturou. Pro její střední zaplnění  $\tilde{\mu}$  platí

$$\tilde{\mu} = n(\pi d^2/4)/S = n/(2R/d)^2 \quad (3.3.4)$$

Platnost vztahů (3.3.3) a (3.3.4) lze rozšířit i pro  $M$ , jež neodpovídají podle (3.3.1) celočíselné hodnotě  $i$ . Pak vyjadřuje obecně platnou závislost poloměru a zaplnění na počtu vláken v příčném řezu

Plástová struktura je s výjimkou okrajů tvořena opakující se jednotkou rovnostranného trojúhelníku, znázorněného na obr. 3.11 c). Jeho zaplnění, odvozené již v kap. 1.2.2, činí  $\mu = \mu_{lim} = \pi/(2\sqrt{3}) = 0,907$ . Příze se zaplněním  $\tilde{\mu} = \mu_{lim}$  obsahující  $M$  vláken v řezu, by měla poloměr  $R_{lim}$  a platilo by  $[M \cdot (\pi d^2/4)] / (\pi R_{lim}^2) = \mu_{lim}$ . Odůvodněno plyně

$$R_{lim}/d = \sqrt{M/(4\mu_{lim})} \quad (3.3.5)$$

Nevelký rozdíl mezi hodnotami  $R$  a  $R_{lim}$  je dán pouze vlivem okrajů příze.

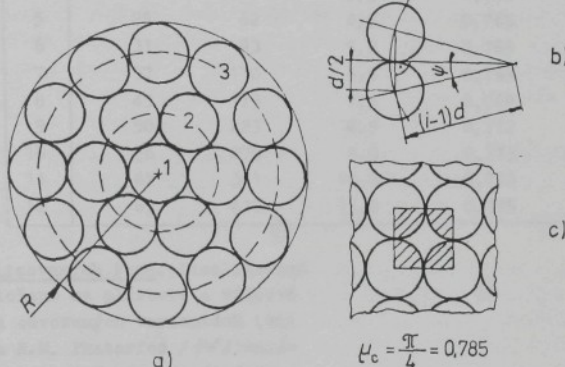
Hodnoty charakteristické pro plástovou strukturu jsou ilustrovány v tab. 3.1.

Charakteristické hodnoty plástové struktury

Tab. 3.1

$i$	$m$	$n$	$R/d$	$\tilde{\mu}$	$R/R_{lim}$
1	1	1	0,525	0,907	1
2	6	7	1,434	0,851	1,032
3	12	19	2,344	0,865	1,024
4	18	37	3,253	0,874	1,019
5	24	61	4,163	0,880	1,015
6	30	91	5,072	0,884	1,013
7	36	127	5,981	0,887	1,011
8	42	169	6,891	0,890	1,009
9	48	217	7,800	0,892	1,008
10	54	271	8,710	0,893	1,008
11	60	331	9,619	0,894	1,007
12	66	397	10,528	0,895	1,007

Válcová struktura. Válcová struktura je znázorněna na obr. 3.12 a). Vlákna zde tvoří kruhové vrstvy, přičemž v každé z nich je obsažen jejich maximální umístitelný počet. První vrstva obsahuje jediné vlákno, jehož střed leží na poloměru  $r=0$ . Středy vláken obecně  $i$ -té vrstvy,  $i = 1, 2, \dots$ , leží na poloměru  $r=(i-1)d$ . Dvě nejtěsněji k sobě přimknuté, tj. dotýkající se vlákna  $i$ -té vrstvy jsou znázorněna na obr. 3.12 b). Pro úhel  $\gamma$  zde platí  $\gamma = \arcsin \left\{ (d/2) / [d(i-1)] \right\} = \arcsin \left[ 1/(2i-2) \right]$ .



obr. 3.12

Nejmenší úhlová vzdálenost středů 2 vláken je  $2\gamma$  a počet  $m$  vláken umístitelných do  $i$ -té vrstvy je dán celou částí čísla  $360^\circ / (2\gamma)$ . Platí vztah

$$m = \text{int} \left\{ 180 / \arcsin \left[ 1/(2i-2) \right] \right\}; \quad i=2, 3, \dots \quad (3.3.6)$$

Symbol  $\text{int}$  je užit ve smyslu „celá část čísla“; tedy např.  $\text{int} 12,602 = 12$ ;  $\text{int} 18,762 = 18$  atp. Sečtením  $m$  ze všech vrstev vznikne celkový počet  $N$  vláken v příčném řezu.

Poloměr  $R$  příze s válcovou strukturou je vyjádřen prostřednictvím vztahu

$$R/d = j - 1/2 \quad (3.3.7)$$

kde  $j = 1, 2, \dots$ , označuje pořadové číslo poslední vrstvy. Pro střední zaplnění  $\bar{m}$  platí shodně s pláštovou strukturou obecně platený výraz (3.3.4). Konfigurace vláken válcové struktury připomíná na větších poloměrech čtvercové uspořádání v obr. 3.12 c). V tomto případě tvoří opakující se strukturální jednotka čtverec o straně  $d$  s plochou  $d^2$ , obsahující úhrnnou plochu  $\pi d^2/4$  vláken. Jeho zaplnění je  $\mu_c = (\pi d^2/4)/d^2 = \pi/4 = 0,785$ .

Poznámka: Vlákna v  $i$ -té vrstvě leží mezi polomery  $(i-1/2)d$  a  $(i+1/2)d$ . Plocha tohoto mezikruží je  $\pi(i-1/2)^2 d^2 - \pi(i+1/2)^2 d^2 = \pi d^2(2i-2)$ . Užije-li se v (3.3.6) místo  $180^\circ$  hodnota  $\pi/2$  v radiánech, zanedbá se celá část (symbol int) a přibližně se položí  $\arcsin \left[ 1/(2i-2) \right] \approx 1/(2i-2)$ , je možno vyjádřit počet vláken v  $i$ -té vrstvě přibližným vztahem  $m = \pi(2i-2)$ . Zaplnění  $i$ -té vrstvy by pak mělo hodnotu  $(\pi d^2/4) \cdot [\pi/(2i-2)] / [\pi d^2(2i-2)] = \pi/4 = \mu_c$ .

Příze se zaplněním  $\bar{m} = \mu_c$ , obsahující  $N$  vláken v řezu by měla poloměr  $R_o$  a platilo by  $N(\pi d^2/4) / (\pi R_o^2) = \mu_c$ . Odtud

$$R_o/d = \sqrt{N/(4\mu_c)} \quad (3.3.8)$$

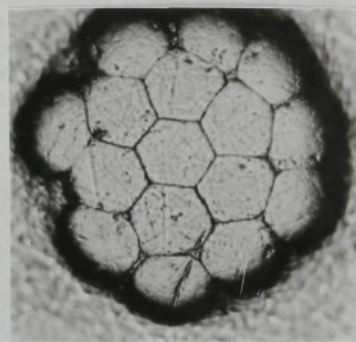
Hodnoty charakteristické pro válcovou strukturu jsou uvedeny v tab. 3.2. Je zde m.j. patrný i velmi malý rozdíl mezi poloměry  $R$  a  $R_c$ .

Charakteristické hodnoty válcové struktury

Tab. 3.2

$i$	$m$	$n$	$R/d$	$\tilde{u}$	$R/R_c$
1	1	1	0,5	1	0,886
2	6	7	1,5	0,778	1,005
3	12	19	2,5	0,760	1,017
4	18	37	3,5	0,755	1,020
5	25	62	4,5	0,765	1,013
6	31	93	5,5	0,769	1,011
7	37	130	6,5	0,769	1,011
8	43	173	7,5	0,769	1,011
9	50	223	8,5	0,772	1,009
10	56	279	9,5	0,773	1,008
11	62	341	10,5	0,773	1,008
12	69	410	11,5	0,775	1,007

Užití idealizovaných řezů. Idealizované modely, založené na pláštové a válcové struktuře a odvozených variantách (viz K.B. Iyer a R.M. Phatarfod /44/) nalézájí dobré uplatnění hlavně při řešení některých otázek struktury a vlastnosti hladkého zakrouceného hedvábí. Studie, které zpracovali K.B. Iyer a R.M. Phatarfod /44/, J. Marko a B. Neckář /57/ a mnozí další tuto praktickou použitelnost dokládají. Příklad experimentálně získaného příčného řezu zakrouceným hedvábím, pořízený J. Markem /58/, dokumentuje na obr. 3.13 blízkost skutečnosti k idealizovaným modelům. Bohužel, u přízí ze staplového materiálu nelze pláštový ani válcový model dost dobře využít. Řezы takovými přízemi mají odlišný charakter. Idealizované řezů se zde mohou uplatnit jen jako srovnávací „měřítka“, jako mezní, prakticky nedosažitelné uspořádání.



obr. 3.13

### 3.3.2. EXPERIMENTÁLNÍ METODY POŘIZOVÁNÍ PŘÍČNÝCH ŘEZŮ

Laboratorní postupy pro získávání příčných řezů přízí využívají většinou preparačních metod klasické, případně rastrovací mikroskopie. Uspořádání vláken v přízích je potřebné nejprve fixovat. Teprve pak je možno nit příčně řezat. Pro pozorování v dopadajícím světle postačí vložit do zorného pole mikroskopu jedinou řeznou plochu. Pro pozorování v procházejícím světle se však musí odříznout z příze velmi tenký plátek a umístit do imersní kapaliny mezi dvě mikroskopická sklízka. To klade vysoké požadavky na kvalitu předchozí fixace vláken v pojícím materiálu. Metoda dopadajícího světla je z tohoto hlediska snažší. Přináší však problémy, spjaté

noží na klasickém mikrotomu. Mikrořezy se přiloží na podložní sklíčko, zakápnou xylenem a překryjí krycím sklíčkem. (Xylen rozpuští voskové části preparátu a je současně imersní kapalinou.) Příklad řezu pořízeného touto metodou ilustruje obr. 3.14.

Popsaný postup umožňuje získat v poměrně krátkém čase množství dostatečně kvalitních a vyhodnocování schopných příčných řezů příze.

### 3.3.3. VYHODNOCOVÁNÍ PŘÍČNÝCH ŘEZŮ; METODA SECANT

Geometrické poměry v obrazech jednotlivých příčných řezů je možno objektivně analyzovat proměřováním pozorovaných vzdáleností, ploch a úhlů. Z těchto možností vychází i metoda SECANT, vypracovaná autorem a popsána v /781, 180/.

Primární vyhodnocení. Obraz řezu nebývá leckdy jednoduchý a jeho správnou interpretaci zajišťuje stále nejlépe lidské oko. Potřebné zvětšení se získává buď průměrem preparátu na matnici projekčního mikroskopu nebo dodatečnou projekcí filmového negativu mikroskopického řezu. Dále je nutno zavést v obrazu souřadny systém, např. systém pravoúhlých souřadnic  $X$ ,  $Y$ .

Pro popis řezu příze by bylo nejsprávnější proměřit kontury všech vláken. Takový postup by však byl neúměrně pracný. V metodě SECANT se proto vyhledávají jen středy vlákných řezů (ve smyslu těžiště). Jejich poloha se stanovuje subjektivním odhadem. Změření a zaznamenávání souřadnic středů vlákných řezů provádí vhodné zařízení automaticky.

Poznámka: V SVÚT se používá přístroj DIGIMET /121/ vlastní konstrukce.

Osa příze a polární souřadnice. Stanovení průsečíku osy příze s rovinou jejího příčného řezu je vždy do jisté míry problematické a zatížené empirickými prvky. V metodě SECANT se vychází z hypotézy těžiště vytvořeného z „převážné“ většiny vláken. Z úvah, vedoucích k určení osy příze, je vhodné vyloučit malý počet těch vláken, jež jsou příliš vzdálena od shluku ostatních.

V řezu příze je obecně  $n$  vláken se středy  $(X_i, Y_i)$ ;  $i = 1, 2, \dots, n$ . Kvadrát vzdálosti mezi  $i$ -tým a  $j$ -tým středem je  $(X_i - X_j)^2 + (Y_i - Y_j)^2$ .

Aritmetický průměr kvadrátů vzdáleností  $j$ -tého středu od všech ostatních je

$$\bar{\ell}_j^2 = \sum_{i \neq j} [(X_i - X_j)^2 + (Y_i - Y_j)^2] / (n-1) . \text{ Po úpravě}$$

$$\bar{\ell}_j^2 = (\bar{X}^2 + X_j^2 - 2X_j\bar{X} + \bar{Y}^2 + Y_j^2 - 2Y_j\bar{Y}) \cdot n / (n-1) \quad (3.3.9)$$

$$\text{kde } \bar{X}^2 = \sum_{i=1}^n X_i^2 / n, \quad \bar{X} = \sum_{i=1}^n X_i / n, \quad \bar{Y}^2 = \sum_{i=1}^n Y_i^2 / n, \quad \bar{Y} = \sum_{i=1}^n Y_i / n.$$

Hodnotu  $\bar{\ell}_j^2$  lze použít jako kritérium odlehlosti  $j$ -tého vlákna od ostatních a na jeho základě vyloučit např. 10% nejodlehlejších středů. Aritmetický průměr

$X_0$  a  $Y_0$  z odpovídajících souřadnic středů zbývajících vláken určuje jejich těžiště  $O \equiv (X_0, Y_0)$ , považované za průsečík osy příze s rovinou sledovaného příčného řezu. Vzdálenost středu  $i$ -tého vlákna od osy je

$$r_i = \sqrt{(X_i - X_0)^2 + (Y_i - Y_0)^2} \quad (3.3.10)$$

Průvodí z bodu  $O$  do  $i$ -tého středu vlákna svírá s osou pořadnic úhel

$$\varphi_i = \left( \arccos \frac{X_i - X_0}{r_i} \right) \cdot \frac{Y_i - Y_0}{|Y_i - Y_0|} \quad (3.3.11)$$

kde pro případ  $\nu_i = \nu_0$ , se druhý činitel klade roven 1. Dvojice  $r_i, \nu_i$  tvoří polární souřadnice  $i$  - tého středu vlákna s polem  $O$  v ose příze.

Radiální rozložení ploch je zaplnění. Kolem středu každého vlákna se rozprostírá jeho řezná plocha. V metodě SECANT se vychází z modelové konstrukce.

Nejjednodušším případem je idealizované válcové vlákno, rovnoběžné s osou příze. Jeho řezná plocha je tvořena kruhem o průměru  $d$  vlákna. Leží-li střed na poloměru  $r_i$ , zasahuje kruhová plocha poloměry v rozmezí  $r_i \pm d/2$ . Na obr. 3.15 je kruhová řezná plocha vlákna protnuta obecným poloměrem  $r$ . Pro znázorněný úhel  $\psi$  platí z kosinové věty v trojúhelníku  $OSU$

$$\cos \psi = [r^2 + r_i^2 - (d/2)^2] / (2rr_i) \quad (3.3.12)$$

Hodnota  $x^*$  je určena výrazem

$$x^* = r \cos \psi \quad (3.3.13)$$

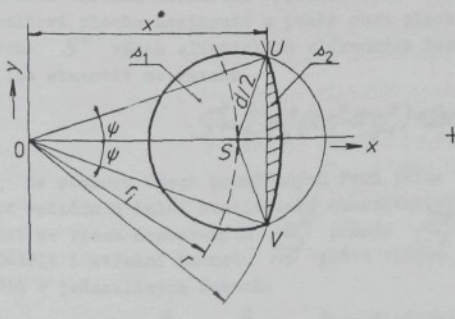
Pro plochu  $\Delta_2$  kruhové úseče lze psát

$$\Delta_2 = (\pi r^2 \cdot 2\psi) / (2\pi) - x^* (r \sin \psi) = r^2 (\psi - \sin \psi \cos \psi) \quad (3.3.14)$$

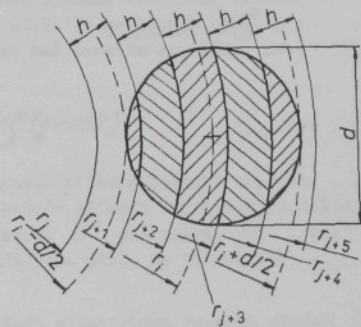
Pro plochu  $\Delta_1$  pak platí

$$\Delta_1 = 2 \int_{r_i-d/2}^{r_i} \sqrt{(\frac{d}{2})^2 - (x-r_i)^2} dx = (x^* - r_i) \sqrt{\left(\frac{d}{2}\right)^2 - (x^* - r_i)^2} + \quad (3.3.15)$$

$$\left(\frac{d}{2}\right)^2 \arcsin \frac{x^* - r_i}{(d/2)} + \frac{\pi d^2}{8}$$



obr. 3.15



obr. 3.16

Plocha  $\Delta(r) = \beta_1 + \beta_2$  silně vytažené části je za užití předchozích rovnic určena vztahem

$$\Delta(r) = (r \cos \psi - r_i) \sqrt{\frac{d}{2}^2 - (r \cos \psi - r_i)^2} + \frac{d}{2}^2 \arcsin \frac{r \cos \psi - r_i}{d/2} + r^2 (\psi - \sin \psi \cos \psi) + \frac{\pi d^2}{8} \quad (3.3.16)$$

kde  $\psi$  plyne z (3.3.12).

Rozložení plochy vlákenného řezu po poloměrech lze sledovat zavedením soustavy třídních intervalů ve formě mezikruží s konstantní šírkou  $h$ . Obecně  $j$ -tý třídní interval,  $j = 1, 2, \dots$ , je vymezen dolním poloměrem  $r_{j-1} = h(j-1)$  a horním poloměrem  $r_j = h j$ . Na obr. 3.16 je znázorněn kruhový vlákenný řez, zasahující do 5 třídních intervalů s pořadovými čísly  $j+1$  až  $j+5$ . Ve třídě  $j+1$  zanechává řez plochu  $\Delta(r_{j+1})$ . Ve třídě  $j+2$  zanechává plochu  $\Delta(r_{j+2}) - \Delta(r_{j+1})$  atd., až ve třídě  $j+5$  je plocha  $\Delta(r_{j+5}) - \Delta(r_{j+4}) = \pi d^2/4 - \Delta(r_{j+4})$ . Načazeným postupem je možno užitím (3.2.16) rozdělit plochu každého kruhového řezu vláknna do zavedených třídních intervalů.

Tvoří-li vláknna křivky podle šroubovicového modelu, jsou jejich řezy elipsami. Vlákno se středem na poloměru  $r_i$  poskytuje elipsu o ploše  $\pi d^2/(4 \cos \beta_i)$  kde dle (2.3.3) platí  $\tan \beta_i = 2\pi r_i Z$ . (Srovnej kap. 2.3.1, obr. 2.25 a.) Ve srovnání s kruhem je plocha elipsy zvětšena součinitelem  $1/\cos \beta_i$ , závislým na poloměru  $r_i$  středu vlákenného řezu a zákrutu  $Z$  příze.

Rozmístění plochy elipsy do třídních intervalů vede na obtížněji zpracovatelné matematické vztahy. V přibližném řešení postupuje výpočet stejně jako u kruhových řezních ploch, avšak místo původního vztahu (3.3.16) se užívá jako modifikace

$$\Delta^*(r) = \Delta(r) / \cos \beta_i = \Delta(r) \sqrt{1 + (2\pi r_i Z)^2} \quad (3.3.17)$$

Poznámka: V rozdělení ploch do třídních intervalů vznikne jen zanedbatelně malá nepřesnost a souhrnná plocha je teoreticky zcela přesná. Jen nepatrnou nepřesnost vnáší do výhodnocování dokonce i zanedbání profilů bežných textilních vláken.

Významné rozdíly mohou vzhledem k výpočtu způsobit skutečné sklonové vláken vůči ose příze, ovlivněné vedle zákrutu i všemi formami migrace. Na tyto rozdíly je nutno pamatovat při interpretaci výsledků.

Po rozdělení elliptických řezů všech vláken do třídních intervalů je možno v každém třídním mezikruží vyjádřit součtovou vlákennou plochu. Snadno se vypočíslí i celková plocha mezikruží a poměr obou ploch je dle (1.2.12) zaplněním  $\mu_j^*$ .

Plocha  $S^*$  všech elliptických vlákenných řezů vznikne buď prostým sečtením, nebo ji lze stanovit ze vztahu

$$S^* = \sum_j \mu_j^* (\pi r_j^2 - \pi r_{j-1}^2) = 2\pi h^2 \sum_j \mu_j^* (j-1/2) \quad (3.3.18)$$

Ze souboru všech proměřených řezů příze lze stanovit střední hodnoty uvažovaných veličin a další statistické charakteristiky. V každém třídním intervalu je možno určit ze všech stanovených  $\mu_j^*$  průměr  $\bar{\mu}_j^*$ , z hodnot  $S^*$  pak průměr  $\bar{S}^*$ . Lze vyjádřit i střední hodnotu  $\bar{m}$  počtu vláken v příčném řezu příze ze zjištěných počtů v jednotlivých řezech.

Charakteristiky  $k_s$  a  $k_n$ . Úhrnná plocha  $S^*$  všech elliptických řezních plošek vláken v průměrném příčném řezu příze bude v případě, kdy reálná příze odpovídá modelu sousojých šroubovic, shodná se substancním průřezem  $S$ , jehož hodnotu lze zjistit z jemnosti příze a měrné hmotnosti vláken. Naproti tomu špatně uspořádaná, intenzivně migrující vlákna budou často výrazně skloněná a řezná rovina je oproti výpočetním předpokladům protne v protáhlější, plošně větší ellipse. Pak ovšem bude

$S > \bar{S}^*$ . Veličina

$$\bar{k}_s = \bar{S}^* / S$$

(3.3.19)

dovoluje porovnat skutečné uspořádání vláken s uspořádáním do šroubovic.

V průměru je velikost řezné plochy jednoho vlákna ve skutečné přízi  $1/k_s$  násobkem hodnoty, uvažované dle modelu šroubovic. Také zaplnění  $\bar{\mu}_j^*$  v jednotlivých třídních intervalech neodpovídá při  $k_s \neq 1$  skutečnosti. Připustí-li se pro zjednodušení, že migrační jevy ovlivňují všechny třídní intervaly ve stejném míře, je skutečné zaplnění  $\bar{\mu}_j$  dáno výrazem

$$\bar{\mu}_j = \bar{\mu}_j^* / k_s$$

(3.3.20)

Pokud by byla "příze" tvořena jen soustavou vláken rovnoběžných s její osou, odpovídalo by počet  $\bar{n}$  vláken v průměrném příčném řezu hodnotě poměrné jemnosti  $\tau$  (viz kap. 1.3.3, rovnice (1.3.3)) a substanční průřez by byl určen výrazem  $S = \tau \cdot \pi d^2 / 4$ . Počet  $\bar{n}$  vláken v příčném řezu skutečnou přízí bude ovšem menší. Řezná (totiž eliptická) plocha každého vlákna bude proti kruhu zvětšena sklonem, způsobeným jak zákrutem, tak i migračními jevy. Je-li průměrná velikost skutečné řezné plochy jednoho vlákna  $\bar{s}_E$ , je substanční plocha  $S = \tau \cdot \pi d^2 / 4 = \bar{n} \bar{s}_E$ . Veličina

$$k_m = \bar{n} / \tau = (\pi d^2 / 4) / \bar{s}_E$$

(3.3.21)

charakterizuje skutečný počet vláken v příčném řezu příze v poměru k počtu, který by mohl mít stejně jemný svazek paralelních vláken. Pokud by všechna vláka svírala s osou příze úhel  $\vartheta_{a,i} = \vartheta_s = \text{konst.}$ , platilo by  $\bar{s}_E = (\pi d^2 / 4) / \cos \vartheta_s$  a vztah (3.3.21) by mohl být vyjádřen ve tvaru

$$\vartheta_s = \arccos k_m = \arccos (\bar{n} / \tau)$$

(3.3.22)

Takto definovaný úhel  $\vartheta_s$  je ekvivalentním úhlem sklonu vláken.

### 3.3.4. PRAKTIČKÉ VYUŽITÍ, VÝSLEDKY A DISKUSE

Analýza geometrické struktury příze z příčných řezů je prakticky dobře proveditelná a poskytuje řadu cenných informací.

Příklady výsledků. Dosahované výsledky ilustrují příklady několika jednokomponentních přízí bavlnářského typu, vypřádaných na prstencových a rotorových strojích. V tab. 3.3 jsou dokumentovány údaje o materiálech, přízích a vyčísleny hodnoty nalezených charakteristik. Obr. 3.17 znázorňuje hodnoty zaplnění  $\bar{\mu}_j$ , vynesené na středních poloměrech  $(\bar{r}_j + r_j')/2 = h (j-1/2)$  třídních intervalů. Stejné grafy jsou pro příze č. 1 a 2 zakresleny plnou čarou v obr. 3.18 a). V třídních intervalech bylo zaplnění stanoveno nezávisle ještě odlišnou metodou, nazvanou autorem VSOP (viz kap. 3.4.4 a 3.4.5). Takto nalezené hodnoty a jejich průběhy jsou znázorněny čárkovaně. Poměry  $\bar{\mu}_j(\text{SECANT}) / \bar{\mu}_j(\text{VSOP})$  jsou pak vyneseny pro obě příze v obr. 3.18 b).

Diskuse. Soubor 8 bavlnářských přízí uvedeny v tab. 3.3 vznikl běžnými technologickými postupy, pouze příze č. 5 a 6 byly zámrně vyrobeny s extrémně vysokým zákrutem.

## Výsledky nalezené metodou SECANT

Tab. 3.3

Poř. číslo příze	1	2	3	4	5	6	7	8
MATERIÁL								
druh	VSS	VSS	Diolen	Tesil	Tesil	Diolen	VSS	VSS
délka $\ell$ (mm)	40	40	32	38	38	32	34	34
jemnost $t$ (tex)	0,16	0,16	0,17	0,17	0,17	0,17	0,145	0,145
měr.hmotnost $\rho$ (kg. $\cdot$ $\text{m}^{-3}$ )	1500	1500	1360	1360	1360	1360	1500	1500
průměr vlákna <sup>1)</sup> $d$ ( $\mu\text{m}$ )	11,7	11,7	12,6	12,6	12,6	12,6	11,1	11,1
RÍZE								
typ výpředu <sup>2)</sup>	P	BD	BD	BD	BD	BD	BD	A
jemnost $\tau$ (tex)	19,6	19,2	20,1	21,5	20,5	35,5	34,6	37,6
zákrut <sup>3)</sup> $Z$ ( $\text{m}^{-1}$ )	669	784	812	747	1150	784	561	407
zákr.koeff <sup>4)</sup> $\alpha$ ( $\text{m}^1 \cdot \text{ktx}$ )	48,6	56,2	60,0	57,7	86,2	84,7	59,6	45,7
subst.průřez <sup>5)</sup> $S$ ( $\text{mm}^2$ )	0,01307	0,01280	0,01478	0,01578	0,01509	0,02613	0,02307	0,02508
pom.jemnost <sup>6)</sup> $\tau'$ (-)	121,0	118,5	118,2	126,2	120,7	209,3	238,6	259,5
VYHODNOCENÍ								
poč.hodnocených řezů (-)	61	58	60	61	60	57	60	60
šířka tř.int. $\bar{v}$ (mm)	0,008	0,008	0,008	0,008	0,008	0,010	0,010	0,010
plocha $S^*$ ( $\text{mm}^2$ )	0,01255	0,01078	0,01224	0,01298	0,01314	0,02304	0,01988	0,02184
stř.poč.vl. $\bar{n}$ (-)	115,7	97,0	93,6	99,8	96,4	170,1	196,8	221,7
směr. odch. $\sigma_n$ (-)	14,5	12,6	12,0	14,7	13,8	21,9	20,6	24,0
var. koef. $v_n$ (%)	12,5	13,0	12,8	14,8	14,3	12,9	10,5	10,8
charakteristika $k_s$ (-)	0,961	0,842	0,828	0,823	0,871	0,882	0,882	0,8708
charakteristika $k_m$ (-)	0,956	0,818	0,791	0,790	0,798	0,813	0,824	0,854
ekvival. úhel sklonu $\theta_s$ (°)	17,0	35,1	37,6	37,7	37,0	35,6	34,4	31,3

1) dle rovnice (1.2.3)

2) P - prstencová, BD - rotorová BD 200 S (Elitex), A - rotorová Autocoro (Schlafhorst)

3) u rotorových strojní zákrut

4) dle rovnice (1.3.15)

5) dle rovnice (1.3.1)

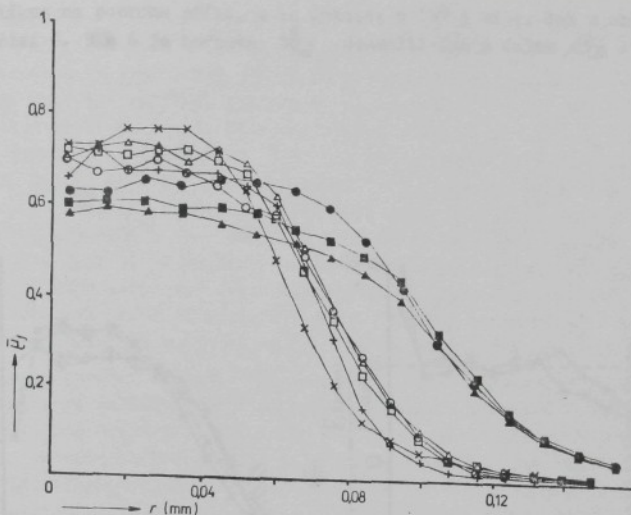
6) dle rovnice (1.3.3)

Vedle citovaných autorů metody spolupracovali na získání experimentálních výsledků S.M. Ishtiaque, J. Draslarová, A. Kamyšev.

U prstencové příze č. 1 se charakteristiky  $k_s$  a  $k_m$  odlišují o méně než 5%. Odnotka  $k_m$  a z ní plynoucí  $\theta_s$  odpovídají přibližně modelu souosých šroubovic.

Poznámka: V případě šroubovicového modelu platí dle (3.3.21) a (2.3.26), (1.3.3) vztah  $k_m = 1 - \delta$ . Seskáni  $\delta$  se vypočte rovnicií (2.3.26). Příze č. 1 má  $R = D/2 = 0,09$  mm, zákrut  $Z = 0,669 \text{ mm}^{-1}$ , takže  $\delta = 0,0334$ ,  $k_m = 0,966$  a  $\theta_s = 15^\circ$ .

V prstencových přízích z VSS jsou vlákna poměrně dříve uspořádána, migrační jevy nejsou výrazné. Příčinou dobrého uspořádání, pozorovaného i u prstencových přízí z jiných materiálů, je patrně paralelisacní efekt průtažného ústrojí. Pramínek takto paralelisovaných vláken vytváří přízi, přibližující se do určité míry soustavě šroubovic. Počet vláken v příčném řezu je zde možné přibližně vyjádřit poměrnou jemností  $\tau'$ .



Pořadová čísla přízí dle tabulky 3.3 :

+ ... 1 ; x ... 2 ; O ... 3 ;  $\Delta$  ... 4 ;  
□ ... 5 ; ● ... 6 ; ▲ ... 7 ; ■ ... 8

obr. 3.17

Jiné závěry poskytují příze rotorové. U přízí č. 2 až 7, vypředených na rotorových strojích typu BD, se pohybuje charakteristika  $k_m$  bez ohledu na materiál, jemnost i zákrut kolem hodnoty 0,81.

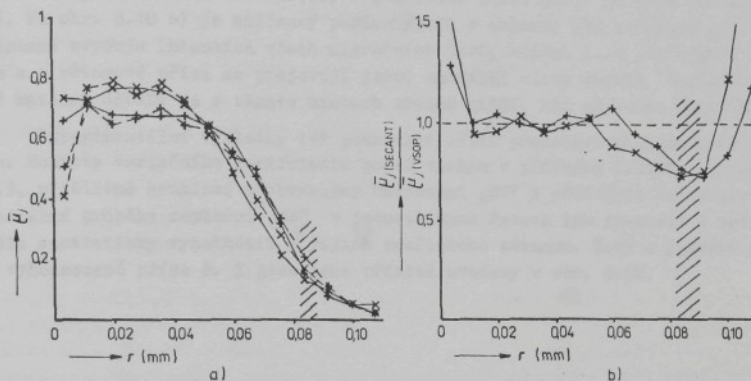
Poznámka: Toto tvrzení obecně neplatí. Hodně zobrazená, jemně navlněná či jinak přirozeně zakřivená vlákna  $k_m$  snižuje. Např. u bavlny lze uvažovat  $k_m$  kolem hodnoty 0,75. V těchto případech se však snižuje  $k_m$  i u přízí prstencových.

Příze č. 8, vypředená na rotorovém stroji Autocoro, má  $k_m$  nepatrne vyšší. V příčném řezu rotorovými přízemi je tedy o 15 až 19% vláken méně, než odpovídá obvykle užívanému výpočtu podle poměrné jemnosti  $\varphi$  a u některých (např. bavlněných) vláken bývá tento „úbytek“ ještě výraznější. Příčinou je velký sklon vláken, vzniklý vedle zákrutu zejména výraznou neuspřádaností celé struktury – výraznou radiální i zákrutovou migraci. Vliv zákrutu zde není nejpodstatnější. To dokládají charakteristiky  $k_S$ , které by v případě souosých šroubovic nabývaly hodnoty 1. Ve skutečnosti je  $k_S$  ve srovnání s  $k_m$  větší u běžně kroucených přízí jen o přibližně 4% a pouze u extrémně zakroucených přízí č. 5 a 6 o asi 9%.

Zajímavé je posoudit vliv zákrutu na hodnoty  $k_m$  a  $k_S$ , např. srovnáním přízí č. 4 a 5. Bylo by možné předpokládat, že s přirůstajícím zákrutem se budou vlákna více zešikmovat a v důsledku toho bude  $k_m$  klesat. Pozoruje se však, že  $k_m$  se s přibývajícím zákrutem nemění. To znamená, že větší zešikmení vláken zákrutem je patrně kompenzováno snižující se migrací, jak je schematicky znázorněno v obr. 3.19. Nelze ovšem vyloučit ani osové protažení vláken.

Neuspřádanost vláken ve struktuře rotorových přízí názorně dokumentuje úhel  $\psi_S$ . U přízí č. 2, 3, 4 a 7, 8 překračují jeho hodnoty úhel  $\beta_D$  sklonu šroubovi-

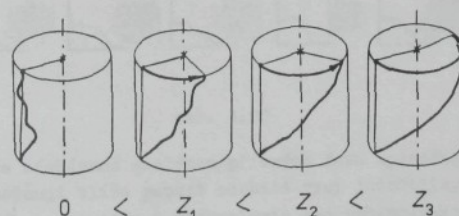
cového vlákna na povrchu příze, a to dokonce o  $10^{\circ}$  i více. Jen u extrémně zakroucených přízí č. 5 a 6 je hodnota  $\vartheta_S$  souměřitelná s úhlem  $\beta_D$ .



//// oblast poloměru příze

obr. 3.18

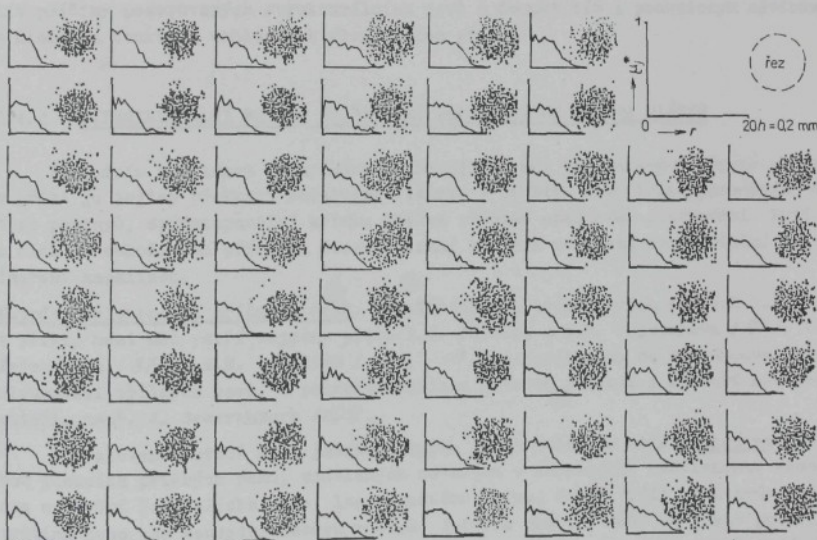
Radiální průběhy zaplnění, získané dle (3.3.20) a dokumentované v obr. 3.17, odpovídají zákonitostem tvorby přízí, popsáným v kap. 2.2. Je zajímavé, že extrémně zakroucené příze (např. č.5) se svým průběhem příliš neliší od přízí „normálně“ zakroucených. Potvrzuji se tak nelineární zákonitosti stlačování („dosednutí“ materiálu), analyzované v kap. 1.2.2 a kap. 2.2.2. Obr. 3.17 dokládá i charakteristický rozdíl v radiálním průběhu zaplnění prstencových a rotorových přízí. Zaplnění prstencové příze č. 1, ačkoliv je méně zakroucená, klesá směrem k povrchu prudčeji, než je tomu u rotorové příze č. 2. Takový rozdíl byl pozorován často i u jiných materiálů a souvisí zřejmě s vlivem uspořádanosti vláken na mechanické parametry vlákkenného svazku.



obr. 3.19

Použitá rovnice (3.3.20) vychází ze zjednodušujícího předpokladu, že  $\bar{u}_f^*$  je na všech poloměrech příze úměrné skutečnému zaplnění  $\bar{u}_f$ . Společnou konstantou úměrnosti je právě  $1/k_S$ . Užitý předpoklad lze prověřit, je-li nezávisle zjištěno skutečné zaplnění jinou metodou. Na obr. 3.18 a) jsou porovnány průběhy zaplnění u přízí č. 1 a 2, stanovené metodou SECANT na základě rovnice (3.3.20) a dále stanovené metodou VSOP. Vzájemné poměry znázorňuje obr. 3.18 b). V malém prostoru kolem osy a na druhé straně ve vnější oblasti příze jsou pozorovány poměrně velké rozdíly, způsobené odlišností experimentální přípravy vzorků a primárního vyhodnocení u obou metod. V podstatné části příze je však shoda přijatelná. Na obr. 3.18 b) je zajímavý pokles grafů v oblasti pod povrchem příze. Zde se výrazně zvyšuje intenzita všech migračních jevů, vlákna jsou stále hůře uspořádána a v rotorové přízi se projevují ještě anomální vlivy ovinků. Zaplnění stanovené metodou SECANT je v těchto místech zřejmě nižší, než odpovídá skutečnosti.

Experimentální výsledky též poskytují dílčí představu o nestejnomořnosti příze. Hodnoty variabilního koeficientu počtu vláken v příčných řezech, uvedené v tab. 3.3, přibližně souhlasí s obvyklými hodnotami „CV“ z přístroje Zellweger-Uster. Radiální průběhy zaplnění  $\bar{u}_f^*$  v jednotlivých řezech lze posoudit a případně dále statisticky vyhodnotit z jejich grafického záznamu. Řezy a průběhy zaplnění z vyhodnocené příze č. 7 jsou jako příklad uvedeny v obr. 3.20.



obr. 3.20

Informace získávané analýzou příčných řezů zpřesňují naše znalosti pravidel struktury. Umožňují blíže popsat osobité rysy jednotlivých přízí, určit specifické vlivy vlákkenného materiálu i technologie pro optimalizaci výroby. Kupř. v dalším rozvoji techniky a technologie rotorových přízí je nepochyběně třeba zaměřit úsilí na lepší uspořádání vláken, která jsou velmi nepravidelně uložena nejen na povrchu rotorové příze, ale v celém jejím průřezu. Známá nižší pevnost a omezená horní hranice vypředatelné jemnosti jsou jen odrazem nedokonalých poměrů strukturálních.

### 3.4. PROSTOROVÉ USPOŘADÁNÍ VLÁKEN

#### 3.4.1. MOŽNOSTI IDEALIZOVANÝCH MODELŮ

Geometrická struktura zahrnuje ve svém celku tvary vláken a jejich vzájemné uspořádání v trojrozměrném prostoru příze. Skutečné geometrické vztahy jsou poměrně složité. Vyplývají z řady zákonitých, ale i náhodných dějů, probíhajících při tvorbě příze; ovlivňují je vlastnosti užitého materiálu, techniky a technologie.

Potřeba vystihnout hlavní zákonitosti struktury vedla k formulaci některých idealizovaných modelů, vzniklých na podkladě zjednodušených pohledů na vytváření příze. Takové modely vyjadřují poznatky a představy o tvorbě i struktuře současné.

Nejstarší, nejrozšířenější a nejjednodušší je model sousoších šroubovic. Je zvláštním případem obecnějšího modelu tzv. „ideální“ migrace i modelu ekvidistantní migrace; existuje však i mnoho dalších variant. Problematice modelového vyjádření tvaru a vzájemného uspořádání vláken v přízi byla věnována kap. 2.3.

Používané modelové představy vystihují skutečné poměry v různé míře. Zatím se nepodařilo vypracovat jednotný model, jenž by zobrazoval strukturu staplových přízí obecně, úplně a správně. Rozhodující význam má stále experimentální studium struktury konkrétních přízí. To ovšem na druhé straně poskytuje jen fakta bez jejich vnitřních souvislostí. Nejefektivnější je zřejmě spojení soudobých experimentálních a modelových možností a znalostí do celku, který umožnuje postupně vysvetlit příčiny pozorovaných strukturálních jevů a dospět tím k praktickým závěrům z hlediska tvorby i vzhledem k vlastnostem příze.

#### 3.4.2. EXPERIMENTÁLNÍ METODY ZJIŠŤOVÁNÍ PROSTOROVÝCH KŘIVEK VLÁKEN

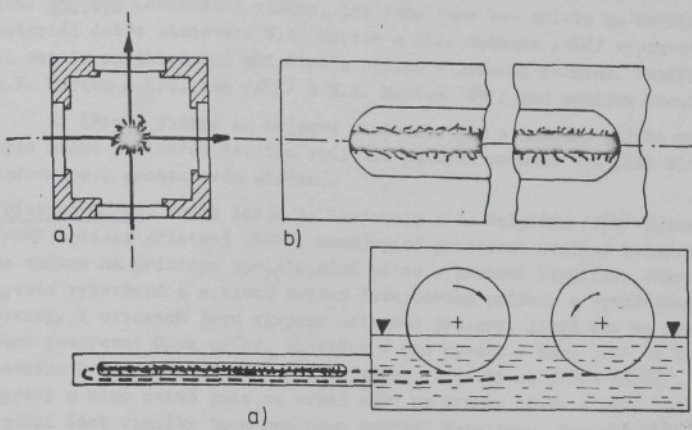
Základním problémem experimentálního zjištování prostorových křivek vláken v přízi je jejich překrytí ostatními vlákny. V průběhu doby byly vypracovány dva typy postupů, zpřístupňující křivku vlákna přímému optickému pozorování. Prvý z nich je založen na příčných řezech, druhý využívá možnosti zprůhlednění příze imersní kapalinou.

Metoda posloupnosti příčných řezů. První studie o prostorových tvarech vláken v přízi, mezi něž patří zejména práce N.T. Pavlova a V.K. Pejsachova /84/, V.K. Pejsachova /87/ a N.M. Bělicina /91, /10/ byly založeny na vyhodnocení posloupnosti příčných řezů. V principu stejnou metodou pracují i někteří soudobí autoři, např. J. Sparrenborn /105/.

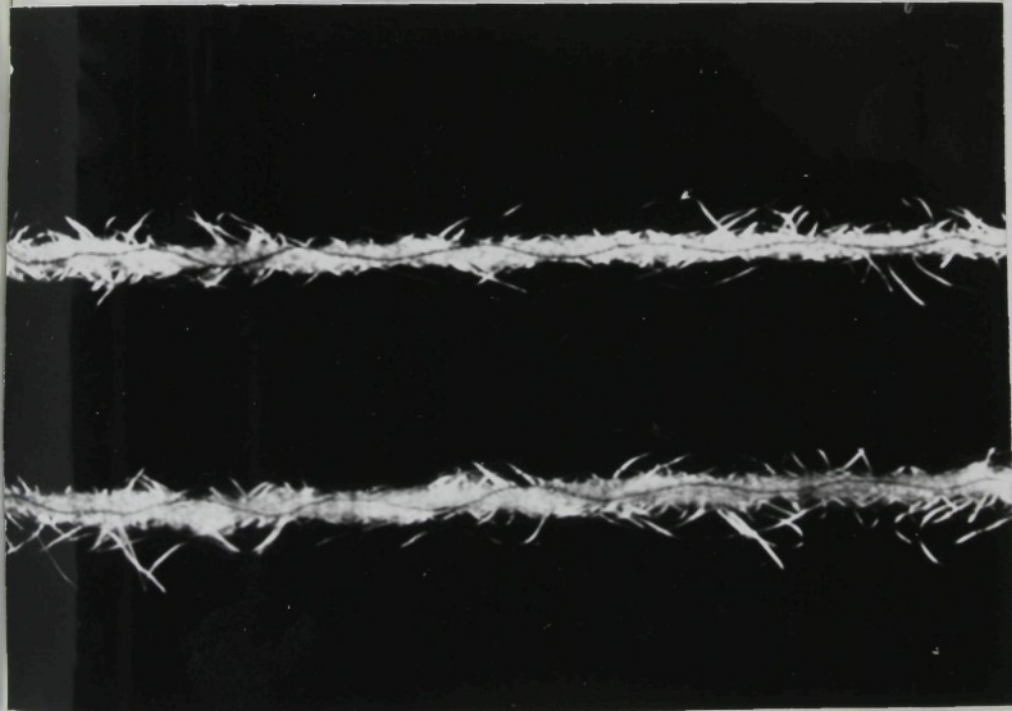
V uvažované metodě se z jednoho vzorku příze pořizuje celá posloupnost za sebou jdoucích příčných řezů, vzdálených navzájem o konstantní vzdálenost. Jsou-li dva sousední řezy blízko sebe, lze u každého vlákna dobře určit, v kterém bodě protíná jeho osa sousední řeznou rovinu. Autorce práce /105/ se takto podařilo zrekonstruovat křivky všech 62 bavlněných vláken (příze 8,2 tex), vyskytujících se v jednom 6,2 mm dlouhém úseku příze. Vzdálenost (tloušťka) řezů volila 0,01 mm.

Metoda poskytuje poměrně nejúplnější představu o geometrické struktuře příze, vyžaduje však obrovské množství řezů. Např. v /105/ muselo být pro jedený úsek příze délky pouze 6,2 mm pořízeno a vyhodnoceno 620 fotografií.

Metoda zprůhlednění. Ačkoliv jsou mnohá textilní vlákna vytvořena z opticky čirého materiálu, je z nich vyroběná příze neprůhledná. Světelné paprsky se totiž lámu



obr. 3.21



obr. 3.22

a rozptylují na rozhraní vlákno - vzduch. Ponoří-li se však taková příze do imersní kapaliny, jejíž index lomu se shoduje s indexem lomu vlákenného materiálu, vznikne optický homogenní soustava s průhlednou přízí. Pokud je v pozorovaném místě zapředenou značenou (obarvené) vlákno, lze jeho tvar bez ohledu na ostatní (průhledný) materiál dobré sledovat. W.E. Morton a R.J. Summers /62/ vypracovali a poprvé užili metodu zprůhlednění při studiu vláken v mykaném pramenu. Později ji použili W.E. Morton a K.C. Yen /63/ a W.E. Morton /64/ pro analýzu tvaru vláken v přízích.

Na křivku vlákna se nejprve usuzovalo jen z jednoho jejího průmětu. Později bylo možné pořizovat dvojice vzájemně kolmých průmětů a z nich získat všechny informace o prostorovém uložení.

Přístroj OMEST. Podle ideje A. Stejskala a J. Kašpárka /106/ zkonstruoval A. Stejskal /107/ optický přístroj OMEST, umožňující pozorovat dvojici kolmých průmětů značeného vlákna na principu zprůhlednění příze v imersní kapalině. Jádrem zařízení je kyveta vytvořená z ocelové trubky čtvercového průřezu s vyfrézovanými podélnými otvory. V otvorech jsou vlepeny skleněné průzory, jimiž lze ve dvou kolmých směrech pozorovat úsek příze, umístěný v ose kyvety - obr. 3.21 a) b). Kyveta je připevněna k vaničce s převíjecími cívками. Z cívky se příze odvíjí, prochází osou kyvety a mimo zorné pole se vrací zpět na druhou cívku - obr. 3.21 c). Kyveta a spodní část vaničky jsou naplněny imersní kapalinou. Optická část přístroje zobrazuje kolmé průměty pozorovaného úseku příze buď v 20 násobném zvětšení vedle sebe na matnici, nebo v 2,5 násobném zvětšení na filmový negativ.

Převíjením příze za současného sledování obrazů na matnici se nalezne místo obsahující značené vlákno. Poté se pohyb příze zastaví a průměty se vyhodnotí buď přímo z matnice, nebo se zaznamenají na filmový negativ.

Zařízení umožňuje pracovat podle potřeby s normálním nebo polarizovaným světlem. Příklad dvojice kolmých průmětů příze se značeným vláknenem, pořízený v polarizovaném světle je na obr. 3.22.

Příze se značenými vlákny. Metodou zprůhlednění nelze analyzovat příze z běžné výroby. K výpředu se užívá zvláště připravený materiál, obsahující malé množství značených, nejlépe černé obarvených vláken.

V přízi jemnosti  $T$  z vláken jemnosti  $t$  by měl podíl černé komponenty činit dle autorovy zkušenosti asi  $(40 \frac{t}{T_{tek}}) / T_{tek}$  %. Podstatný vliv má stejnoměrné rozmístění a dokonalé ojednocení značených vláken.

Možnosti zprůhlednění imersní kapalinou. Imersní kapalinou se zprůhlední jen příze vyrobené z opticky stojnorodých materiálů. Orientační hodnoty indexů lomu některých vláken a kapalin dle /76/ jsou uvedeny v tab. 3.4. Doporučovanou imersí bývá zejména metylsalicilát.

Problémy při zprůhlednění přináší optický cizorodé příměsi, které obraz znejasňují i zcela zatemňují. Vyskytuje se u vláken přírodních i chemických. Některé z nich je možno odstranit vhodnou preparaci přízových vzorků. Např. tuhy, vosky, pektiny a ostatní látky obsažené na vláknach bavlny se odstraní preparací v  $ZnCl_2$  dle /95/, nebo postupy podobnými merceraci. Úspěšné bývají i extrakce v organických rozpouštědlech. V chemických vláknach je neodstranitelnou cizorodou látkou zejména matovací prostředek. Dobře je možno analyzovat příze z vláken lesklých. Zprůhlednit většinou nelze příze polyesterové. Příčinou je výrazný dvojílom PES vláken. Také směsové příze způsobují značné problémy.

Jinak velmi efektivní metoda zprůhlednění je tedy značně omezena optickými vlastnostmi použitého materiálu. Nejlepší výsledky dává u lesklých vláken viskozových a polyamidových.

Indexy lomu některých vláken a imersních kapalin  
dle /76/

Tab. 3.4

Materiál	Index lomu <sup>1)</sup>
VLÁKNA	bavlna 1,532
	vlna 1,547
	len 1,528
	VS 1,519-1,523
	PAD 1,526
	PES 1,537
IMERSE	furfurol 1,526
	chlorbenzen 1,525
	metyl jodistý 1,529
	benzyl cianistý 1,521
	metylsalicilát 1,538
	benzaldehyd 1,545

<sup>1)</sup> Ve směru kolmém k podélné ose vlákna.

### 3.4.3. METODY VYHODNOCOVÁNÍ A JEJICH VÝSLEDKY

Křivky průmětů značených vláken jsou zaznamenány fotografiemi nebo ve formě souřadnic mnoha bodů. Podobně se zaznamenávají i prostorové křivky vláken z posloupnosti příčných řezů.

Pro vyhodnocení takových záznamů vzniklo během doby mnoho metod. Patrně nejstarší je metoda stanovení koeficientu migrace dle W.E. Mortona /63/. Hodnocení koeficientu zapředení podle J. Kašpárka /45/ sehrálo významnou roli při vývoji rotorových přízí. Značně rozšířená je metoda výpočtu střední polohy vláken, směr odchylky a intenzity (radiální) migrace vypracovaná J.W.S. Hearlem a kol. /34/. V jiné (lineární) variantě ji užili B. Neckář a J. Hyková /75/ nebo J. Sparrenborn /105/. Metody dynamické statistiky používal pro vyhodnocení G. Riding /93/, /94/. Z teorie markovských procesů vyšli A.S. Abhiraman a W. George /1/. Vyhodnocení směrových a hustotních charakteristik vláken v přízi z hlediska jejich radiálního průběhu navrhli a použili B. Neckář /71/, B. Neckář a A. Kovářová /76/.

Koeficient zapředení. Vlákno délky  $\ell_p$  zaujímá v přízi složitou křivku, schématicky znázorněnou v obr. 3.23 a). Plně vytážené kličky, smyčky a odstávající konce leží ve vnější oblasti a nepodílí se na některých vlastnostech příze (např. na pevnosti). Ani čárkovaně znázorněné části sevřené ve vnitřní oblasti se však neuplatňují ve vlastnostech v plné míře. Zdvojené konce, uzly i prosté zešikmení snižují míru využití vlákna v přízi. Vhodnou charakteristikou vlákna může být poměr součtu  $\sum f_i$  osových průmětů částí ležících ve vnitřní oblasti příze a celkové délky  $\ell_p$  vlákna.

Zjednodušenou variantu takové charakteristiky vycházející jen z obrazu jednoho průmětu navrhl J. Kašpárek /45/, /95/ - obr. 3.23 b). Místo skutečné délky  $\ell_p$  vlákna se užívá délka  $\ell_p$  jeho průmětu. Místo hodnot  $f_i$  se zjišťují délky  $f_{p,i}$ , v nichž leží průměty úseků vlákna uvnitř průmětu („stínu“) příze. Veličinu

$$K_F = \sum_i f_{p,i} / \ell_p \quad (3.4.1)$$

nazval J. Kašpárek /95/ koeficientem zapředení.

Pro šroubovicové vlákno z poloměru  $r$  se zákrutem  $Z$  lze  $K_F$  stanovit teoretickým výpočtem, jak ukázal autor v /82/. Průmět tohoto vlákna je v souřadnicích  $\xi$ ,  $\eta$  popsán harmonickou funkcí s periodou  $1/Z$ ; např. funkcí  $\eta = r \sin(2\pi Z \xi)$ . Úsek průmětové křivky v rozsahu jedné periody má délku

$$l_p = \int_{1/2}^{1/2} \sqrt{1 + (dy/d\xi)^2} \cdot d\xi = 4r \cdot E(\sin^2 \beta, \pi/2) / \sin \beta \quad (3.4.2)$$

kde  $E(\sin^2 \beta, \pi/2) = \int_0^{\pi/2} \sqrt{1 - \sin^2 \beta \sin^2 u} du$  je úplný eliptický integrál 2. druhu.

Pro úhel  $\beta$  platí  $\tan \beta = 2\pi r Z = \text{konst.}$  Leží-li šroubovicové vlákno ve vnitřní oblasti příze, je  $K_F = (1/Z) / l_p$ , nebo po úpravě

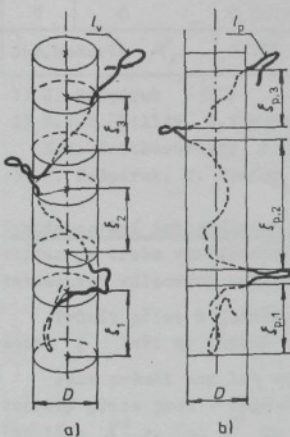
$$K_F = \cos \beta \cdot (\pi/2) / E(\sin^2 \beta, \pi/2) \quad (3.4.3)$$

Hodnoty vypočtené posledním vztahem ilustruje tab. 3.5.

Hodnoty  $K_F$  dle (3.4.3)

Tab. 3.5

$\beta(^{\circ})$	$K_F$	$\cos \beta$
0	1	1
5	1,0	1,0
10	0,99	0,98
15	0,98	0,97
20	0,97	0,94
25	0,95	0,91
30	0,93	0,87
35	0,90	0,82
40	0,86	0,77
45	0,82	0,71



Výsledky experimentálního hodnocení  $K_F$ 

Tab. 3.6

PŘÍZE		ba	ba	ba	ba	ba	ba	VSS	VSS
vlákný materiál		C	C	P	P	R	R	P	R
typ x)		31,4	29,5	32,2	29,5	31,3	29,5	24,8	25,7
jemnost (tex)		750	-	758	-	871	-	510	536
REL. ČETNOST	1)	2)	1)	2)	1)	2)	3)	3)	
KOEF. ZAPŘEDENÍ									
třída č.	třídní hodnota $K_F$								
0	1	0	0	0	0	0	0	0	0
1	0,95	0,0503	0,165	0,0216	0,115	0	0,060	0,0279	0
2	0,90	0,3704	0,600	0,1593	0,445	0,0224	0,160	0,1138	0,0019
3	0,80	0,3389	0,070	0,4552	0,210	0,1577	0,455	0,2514	0,0096
4	0,63	0,1340	0,045	0,1908	0,090	0,3574	0,080	0,1956	0,3488
5	0,40	0,0355	0,045	0,0688	0,050	0,2765	0,085	0,1477	0,2331
6	0,20	0,0404	0,030	0,0364	0,020	0,0837	0,075	0,1198	0,2023
7	0,08	0,0177	0,020	0,0354	0,040	0,0565	0,035	0,0699	0,1233
8	0,02	0,0049	0,025	0,0128	0,030	0,0166	0,045	0,0220	0,0193
9	0	0,0079	0	0,0197	0	0,0292	0,005	0,0519	0,0617
Stř.hodnota $K_F$		0,760	0,807	0,686	0,762	0,504	0,668	0,542	0,373

1) J. Kašpárek /951

x) C ... česaná, prstencově doprádaná

2) K.P.R. Pillay, N.Viswanathan,

P ... mykaná, prstencově doprádaná

M.S. Parthasarathy /90/

R ... rotorová

3) J. Kašpárek, P. Ursíny /461

Vyhodnocování integrálních charakteristik. Průběh složitých prostorových křivek vláken je třeba vyhodnocovat vzhledem k ose příze, obvykle ztotožňované s osou  $\xi$  zaváděných válcových souřadnic  $r$  (poloměr),  $\varphi$  (úhel),  $\xi$  - srovnej s kap. 2.3.2.

Průmět příze s jedním vyznačeným vláknem je na obr. 3.24 a). V obecné vzdálenosti  $\xi$  leží na vlákně bod, zobrazený v bodu  $P$ .

Jako průmět osy lze volit např. přímku  $\alpha^*$ , definovanou tak, že obě krajové kontury příze jsou v celé délce pozorovaného úseku od ní v průměru stejně vzdáleny (totiž o  $X^*$ ). Bod  $P$  je od této osy vzdálen o  $X^*$ . Ze dvou kolmých průmětů (veličiny příslušející některému z těchto průmětů jsou v dalším textu opatřovány indexy 1 nebo 2) plynou odpovídající vzdálenosti  $X_1^*$  a  $X_2^*$ , určující poloměr  $r = [(X_1^*)^2 + (X_2^*)^2]^{1/2}$  bodu vlákna. Poloměr  $R$  příze je vhodné definovat výrazem  $R = (X_1^* + X_2^*) / 2$ . Pak platí  $r/R = 2[(X_1^*)^2 + (X_2^*)^2]^{1/2} / (X_1^* + X_2^*)$ .

Podobný postup užili např. autor /70/ či J. Sparrenborn /109/.

V jiné metodě se vychází z bodů  $B$  a  $C$ , ležících na konturách příze právě ve vzdálenosti  $\xi$  - 3.24 a). Střed  $A$  úsečky  $BC$  je považován za bod osy příze v místě  $\xi$  a  $X'$  za vzdálenost bodu  $P$  od ní. Poměr  $r/R$  se definuje ze 2 kolmých průmětů vztahem  $r/R = [(X'_1/X'_1)^2 + (X'_2/X'_2)^2]^{1/2}$ . Podobně postupovali např. J.W.S. Hearle /34/, B.S. Gupta /24/ a další autoři, vycházející z manchesterské školy.

Úhlová souřadnice  $\varphi$  vyplývá u prvé metody ze vztahu  $\cos \varphi = X^*/r$ , u druhé pak je  $\cos \varphi = (X'_1/X'_1)/(r/R)$ .

V extrémech  $E_I$ ,  $E_{II}$ , ... křivky vláknového průmětu je odpovídající vzdálenost  $\lambda^*$  či  $\lambda'$  přímo poloměrem  $r$ . V těchto místech tedy postačuje k jeho určení pouze jeden průměr.

Bodům na vláknových křivkách je možno přiřazovat nějakou vlastnost  $y = y(r, \varphi, f)$ , např.  $y = (r/R)^2$ ,  $y = dr/d\varphi$  a popisovat geometrickou strukturu střední hodnotou typu  $I = \int y d\varphi / \int d\varphi$  - obr. 3.24 b). Tato veličina je ve smyslu kapitoly 2.3.2 integrální charakteristikou.

Poznámka:  $I$  je průměr "vážený" průměty  $d\varphi$  vláknových elementů do osy  $f$ . B. Neckář a J. Hyková 1.75/1 jej nazývají integrální  $f$ -charakteristikou. V autorské práci 1.82/7 je uvedeno obecnější definice, vyhovující i přeloženým vláknům, kličkám, smyčkám, uzlilkům a jiným složitějším křivkám. Pro názornost se však nyní výklad omezuje jen na vzestupná vlákna, procházející každou souřadnicí  $f$  jen 1x.

Přibližné řešení modelu „ideální“ migrace dle L.R.G. Treloara 1112/1, po- psané v kap. 2.3.4, vede ke vztahu (2.3.10), z něhož užitím (2.3.111), (2.3.39), (2.3.53) plyně

$$(r/R)^2 = \pm 2f/p + C \quad (3.4.4.)$$

kde  $P$  je perioda migrace a  $C$  vhodná integrační konstanta. Tato závislost je vnesena plnou čarou v obr. 3.24 c). Ve svých úvahách z ní vyšli J.W.S. Hearle, B.S. Gupta a V.B. Marchant 129/. Jimi navržené charakteristiky migrace jsou při označení  $y = (r/R)^2$  definovány následujícím způsobem:

1) střední poloha vlákna

$$\bar{Y} = \frac{\int y d\varphi}{\int d\varphi} \quad (3.4.5)$$

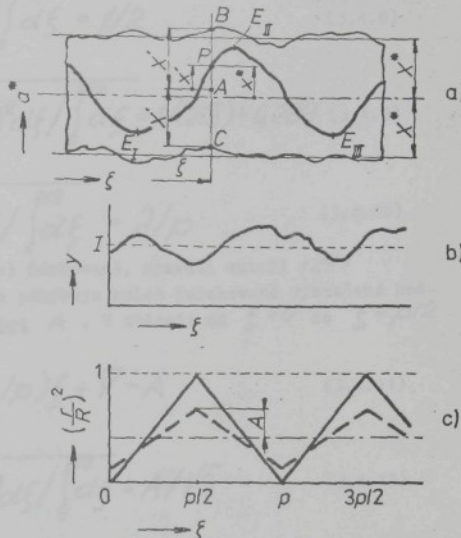
2) směrodatná odchylka migrace

$$D = \sqrt{\frac{\int (y - \bar{Y})^2 d\varphi}{\int d\varphi}} \quad (3.4.6)$$

3. intenzita migrace

$$J = \sqrt{\frac{\int (dy/d\varphi)^2 d\varphi}{\int d\varphi}} \quad (3.4.7)$$

V předchozích výrazech je oblastí integrace  $\Omega$  interval na ose  $\xi$ , do něhož se sledované vlákno promítá. Každému vláknu tak přísluší veličiny  $\bar{Y}$ ,  $D$ ,  $J$  a jejich průměrná hodnota pak charakterizuje strukturu celé příze. V případě „ideální“ migrace lze bez újmy na obecnosti volit v (3.4.4.) znaménko +, konstantu  $C = 0$



obr. 3.24

a integrovat v mezích od  $\xi=0$  do  $\xi=p/2$ . Tak se nalezne

$$\bar{Y} = \int_0^{p/2} (2/p) \xi d\xi / \int_0^{p/2} d\xi = 1/2 \quad (3.4.8)$$

$$D = \sqrt{\int_0^{p/2} (2\xi/p - 1/2)^2 d\xi} / \int_0^{p/2} d\xi = 1/(2\sqrt{3}) \approx 0,289 \quad (3.4.9)$$

$$J = \sqrt{\int_0^{p/2} (2/p)^2 d\xi} / \int_0^{p/2} d\xi = 2/p \quad (3.4.10)$$

Obecnější průběh, znázorněný v obr. 3.24 c) čárkováně, nazvali autoři 1291 neúplnou migraci; křivka  $(r/R)^2$  se zde pohybuje kolem čerchované vyznačené hodnoty  $\bar{Y}$  pouze v rozmezí amplitudy migrace  $A$ . V oblasti od  $\xi=0$  do  $\xi=p/2$  je

$$y = (r/R)^2 = (4A/p)\xi + \bar{Y} - A \quad (3.4.11)$$

Pro neúplnou migraci proto platí

$$D = \sqrt{\int_0^{p/2} (4A\xi/p - A)^2 d\xi} / \int_0^{p/2} d\xi = A/\sqrt{3} \quad (3.4.12)$$

$$J = \sqrt{\int_0^{p/2} (4A/p)^2 d\xi} / \int_0^{p/2} d\xi = 4A/p \quad (3.4.13)$$

Z posledních dvou vztahů lze vyjádřit

$$P = 4\sqrt{3} D/J \quad (3.4.14)$$

Stanoví-li se hodnoty  $D$  a  $J$  na podkladě experimentů, je takto definované  $P$  ekvivalentní periodou migrace.

Je třeba připomenout, že veličiny  $\bar{Y}$  a  $D$  jsou bezrozměrné, zatímco  $1/J$  má rozměr délky.

Typické hodnoty, nalezené některými autory zejména u bavlnářských přízí, uvádí tab. 3.7. Popsaným postupem vyhodnotili poprvé svá měření J.W.S. Hearle a B.S. Gupta 131. Vlivem parametrů předení na dosahované hodnoty  $\bar{Y}$ ,  $D$ ,  $J$  studovali B.S. Gupta a D.S. Hamby 121 a B.S. Gupta 123/ posléze formulovalo některé regresně získané závislosti. Výtaž z dalších výsledků B.S. Gupta 124, uvedený rovněž v tab. 3.7, dobře dokumentuje vliv jemnosti a zákrutového koeficientu.

Předmětem analýz byly i příze rotorové. J.W.S. Hearle, P.R. Lord a N. Senturk 136/ pro ně nalezli téměř 10x menší směrodatnou odchylku migrace  $D$ , což přisuzují osobitému způsobu jejich tvorby. Odlišné hodnoty publikovali K.P.R. Pillay, N. Viswanathan a M.S. Parthasarathy 190/. U rotorových přízí zjistili též menší  $D$ , ale v hodnotách souměřitelných s přízí prstencovou. Dále nalezli na rozdíl od všechny předchozích autorů několikanásobně větší úroveň intenzity migrace  $J$ , přičemž jimi stanovené hodnoty jsou vyšší u přízí rotorových.

Veličiny  $\bar{Y}$ ,  $D$ ,  $J$  lze za jistých podmínek získat z údajů pořízených metodou VSOP, postupem uvedeným v autorově práci 121/. B. Neckář a J. Hyková tak nalezli hodnoty  $\bar{Y}$  a  $J$ , uvedené v práci 175/. Řádová velikost intenzity migrace  $J$  zde dobré souhlasí s výsledky práce 190/. Zdá se, že dřívější autoři, kteří nalézali nízké hodnoty  $J$ , nezahrnovali do svých výsledků oscilaci vlákených křivek, která se vyskytuje na krátkých délkách.

Experimentálně stanovené hodnoty migračních charakteristik  
 $\bar{Y}$ ,  $D$ ,  $J$ .

Tab. 3.7

Materiál	Příze	Jemnost $T$ (tex)	Zákr. koef. $\alpha$ ( $m^2 \text{tex}^{2/3}$ )	$\bar{Y}$	$D$	$J$ ( $m'$ )	Literární pramen; poznámka
VSs 38 mm 0,17 tex	P	24	34	0,33	0,16	100	lit. 131
		24	49	0,37	0,18	190	
		24	97	0,40	0,20	460	
VSs 40 mm 0,17 mm	P	39	73	0,54	0,25	308	3500 <sup>1)</sup> 5500 <sup>1)</sup> lit. 122/ 7500 <sup>1)</sup>
		39	73	0,59	0,22	230	
		39	73	0,47	0,22	253	
VSs 51 mm 0,22 tex	P	120	63	0,48	0,17	95	lit. 124/
		120	83	0,47	0,19	134	
		118	106	0,40	0,23	257	
		118	131	0,53	0,19	216	
		41	53	0,61	0,21	164	
		41	71	0,53	0,24	276	
		40	88	0,55	0,24	298	
		38	105	0,58	0,21	406	
		16	60	0,58	0,26	359	
		16	83	0,53	0,26	461	
		16	87	0,58	0,26	543	
		130	135	0,37	0,19	-	lit. 136/
VSs 37 mm 0,17 tex	R R <sup>2)</sup>	63	114	0,40	0,043	-	
		52	97	0,43	0,025	-	
		33,8	-	0,54	0,32	1110	
VSs 38 mm; 0,17 tex	R	33,8	-	0,44	0,24	1520	lit. 190/
		33,8	-	0,75	0,29	1550	
ba 27,2 mm; 0,17tex	P	33,8	-	0,72	0,27	1730	
		33,8	-	0,72	0,27	1730	
VSs 38 mm 0,17 tex	R	48	63	0,47	-	1380	3) lit. 125/
		51	77	0,36	-	1170	
		41	59	0,39	-	1330	
		46	72	0,40	-	1390	
		43	77	0,49	-	1690	
		30	61	0,51	-	2060	
		30	66	0,50	-	2340	
		27	63	0,51	-	2590	
juta	J	28	70	0,43	-	2350	lit. 108/
		207	41	0,91	0,17	45	
		207	62	0,87	0,19	55	
		207	72	0,85	0,22	101	

P ... bavlnářský typ, prstencová

R ... bavlnářský typ, rotorová

J ... klasické uspořádání juty

1) otáčky vřeten za min; přád. napětí trvale 0,4 N

2) experim. rotorový stroj s průt. válečky

3) vypočteno z výsledků metody VSOP

Popisovaným způsobem byly sledovány i jiné typy přízí. Jako příklad jsou v tab. 3.7 uvedeny výsledky dosažené dle D. Sura a A.C. Chakravartyho /108/ u přízí jutových.

Východiskem k formulaci charakteristik  $\bar{Y}$ ,  $D$  a  $J$  byl model ideální migrace, vykazující lineární vazbu mezi  $(r/R)^2$  a  $\xi$ . Ukázalo se však, že prostorové křivky skutečných vláken v přízi jej ani v náznaku nepřipomínají. Realitě bližší se zdá být spíše model ekvidistantní migrace, popsaný v kap. 2.3.4. Jeho rovnice (2.3.115) je možno zapsat ve formě

$$dr/d\xi = \tan \alpha = \pm \sqrt{1 + \tan^2 \beta} / C \quad (3.4.15)$$

Poznámka: Bez bližšího odkazu se nyní užívají vztahy (2.3.39) až (2.3.50), zavedené v kap. 2.3.2.

kde  $C = \{C/[R^2 \tan(1-\delta)]\}^{1/2} - 1$  konstanta. Dle (2.3.16) po zavedení  $C$  je

$$dr/d\xi = \cos \varphi_r = \pm 1/\sqrt{C+1} \quad (3.4.16)$$

a platí též

$$d\xi/dr = \cos \varphi_a = (dr/d\xi) \cdot (dr/d\xi) = C/[C+1, \sqrt{C+1}] \quad (3.4.17)$$

U většiny přízí se hodnota  $\sqrt{1+\tan^2 \beta} = 1/\cos \beta$  přiliš neliší od 1, např. při  $\tan \beta = 20^\circ$  je  $1/\cos \beta = 1,06$ . Podle (3.4.15) je potom přibližně  $dr/d\xi = \pm$  konst. a vztah mezi souřadnicemi  $r$  a  $\xi$  je po částech lineární. Příklad je znázorněn na obr. 3.25.

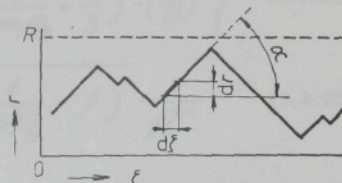
Analogicky k dřívějším veličinám  $\bar{Y}$ ,  $D$ ,  $J$  definuje autor následující integrální charakteristiky:

### 1) Střední polomér vláken

$$\bar{r}_E = \frac{\int r d\xi}{\int d\xi} \quad (3.4.18)$$

či s přihlédnutím k poloměru  $R$  příze ze střední polohy vláken

$$\bar{r}_E/R = \frac{\int (r/R) d\xi}{\int d\xi} \quad (3.4.19)$$



obr. 3.25

### 2) Směrodatnou odchylku poloměru

$$\overline{\sigma_E} = \sqrt{\frac{\int (r - \bar{r}_E)^2 d\xi}{\int d\xi}} \quad (3.4.20)$$

nebo směrodatnou odchylku polohy

$$\overline{\sigma_E}/R = \sqrt{\frac{\int [(r/R) - (\bar{r}_E/R)]^2 d\xi}{\int d\xi}} \quad (3.4.21)$$

a samozřejmě též variační koeficient poloměru

$$V_E = 100 \overline{\sigma_E}/\bar{r}_E = 100 (\overline{\sigma_E}/R)/(\bar{r}_E/R) \quad (3.4.22)$$

3) Intenzitu migrace

$$\operatorname{tg}\alpha_E = \sqrt{\int_{\omega} (dr/d\xi)^2 d\xi / \int_{\omega} d\xi} = \sqrt{\int_{\omega} \operatorname{tg}\alpha d\xi / \int_{\omega} d\xi} \quad (3.4.23)$$

a vzhledem k rovnici (2.3.52) též střední součinitel migrace

$$X_E = \operatorname{tg}\alpha_E / (2\pi r) \quad (3.4.24)$$

4) Je rovněž vhodné vyjadřovat střední zákrut vláken

$$Z_E = \int_{\omega} [d\psi/(2\pi d\xi)] d\xi / \int_{\omega} d\xi = \int_{\omega} [\operatorname{tg}\beta/(2\pi r)] d\xi / \int_{\omega} d\xi \quad (3.4.25)$$

Na rozdíl od dříve popsaných charakteristik  $\bar{V}$ ,  $D$ ,  $J$  se ve výrazech (3.4.18) až (3.4.25) uvažuje souhrnná integrační oblast  $\omega$ , zahrnující křivky všech vláken dohromady.

V ideálním případě splňují tvary vláken podmínky ekvidistantní migrace, zaplnění  $\mu$  je na každém poloměru rovné zaplnění  $\tilde{\mu}$  příze ( $\mu = \tilde{\mu} = \text{konst.}$ ) a zákrut  $Z$  je konstantní. Tak se vlákna vztahují jen na poloměrech  $r \in (0, R)$  a procházejí určitým poloměrem stále pod stejnou úhly  $\operatorname{tg}\alpha$ ,  $\beta$ ,  $\varphi$ .

V takto ideálním případě lze posléze vypočítat střední polohu vláken ve formě výrazu

$$E/R = \frac{\cos\beta_0}{1-\cos\beta_0} \frac{1}{2\operatorname{tg}\beta_0} \left( \frac{\operatorname{tg}\beta_0}{\cos\beta_0} - \ln \left| \operatorname{tg}\beta_0 + \frac{1}{\cos\beta_0} \right| \right) \quad (3.4.26)$$

Směrodatná odchylka polohy vede podobně ke vztahu

$$\overline{C}_E/R = \left\{ \frac{\cos\beta_0}{1-\cos\beta_0} \frac{1}{\operatorname{tg}^2\beta_0} \left( \frac{1}{3\cos^3\beta_0} - \frac{1}{\cos\beta_0} + \frac{2}{3} \right) - \left( \frac{E}{R} \right)^2 \right\}^{1/2} \quad (3.4.27)$$

Pro intenzitu migrace vznikne

$$\operatorname{tg}\alpha_E = \sqrt{\frac{\cos\beta_0}{1-\cos\beta_0} \cdot \frac{1}{3} \left( \frac{1}{\cos^3\beta_0} - 1 \right)} \cdot \frac{1}{\sqrt{C}} \quad (3.4.28)$$

a pro střední zákrut vláken se nalezne

$$Z_E = Z \quad (3.4.29)$$

Charakteristiky pro ideální případ ekvidistantního modelu jsou uvedeny v tab. 3.8, v závislosti na úhlu sklonu  $\beta_0$  vláken na povrchu příze. V rozmezí obvyklých úhlů  $\beta_0$  jsou téměř neproměnné.

V ekvidistantním modelu jsou frekvence a perioda migrace veličiny proměnné s poloměrem. Z (2.3.113) a výrazu pro  $C$  za rovnici (3.4.15) plyne pro frekvenci vztah

$$f = r_E \mu / [\sqrt{C+1} R^2 \tilde{\mu} (1-\delta)] \quad (3.4.30)$$

V modelu, kde je  $\mu = \tilde{\mu} = \text{konst.}$  může být střední frekvence migrace vyjádřena vztahem

$$f_E = \int_0^R f d\xi / \int_0^R d\xi = \left[ \int_0^R r d\xi / \int_0^R d\xi \right] / [\sqrt{C+1} R^2 (1-\delta)] = r_E / [\sqrt{C+1} R^2 (1-\delta)] \quad (3.4.31)$$

Vedle poloměru  $R$  příze a seskání  $\delta$  je v posledním výrazu též konstanta  $C$ .

Vyjádří-li se z (3.4.28), lze psát

$$\frac{f_E}{R^2(1-\delta)} = \frac{\frac{E}{R} \operatorname{tg} \alpha_E}{\sqrt{\frac{\cos \beta_0 - 1}{3} \left( \frac{1}{\cos \beta_0} - 1 \right)^2 + \operatorname{tg}^2 \alpha_E}} = \frac{\frac{E}{R} \sin \alpha_E}{R^2(1-\delta)} \quad (3.4.32)$$

Užije-li se (3.4.32) pro obecnou strukturu příze, lze  $f_E$  považovat za ekvivaletní frekvenci migrace a  $P$  za ekvivalentní periodu migrace.

Charakteristiky migrace pro ideální případ ekvidistantního modelu

Tab. 3.8

$\beta_0$ (°)	$E/R$ (-)	$G_E/R$ (-)	$\sigma_E$ (%)	$\sqrt{E} \operatorname{tg} \alpha_E$ (-)	$Z_E/Z$ (-)
0	2/3	1/(3\sqrt{2})	35,2(2\sqrt{2})	1	
5	0,666	0,236	35,4	1,00	
10	0,666	0,236	35,4	1,01	
15	0,664	0,236	35,5	1,02	
20	0,663	0,236	35,7	1,03	
25	0,660	0,237	35,9	1,05	
30	0,657	0,237	36,1	1,08	
35	0,653	0,238	36,5	1,11	
40	0,647	0,239	36,9	1,16	
45	0,643	0,240	37,3	,21	

Příklady reálných výsledků jsou uvedeny v tab. 3.9. Souhrn ročových přízí, sledovaný v 1/751, dosahuje v průměru  $E/R = 0,61$ ,  $G_E/R = 0,7$  a  $\sigma_E = 44\%$ .

Experimentální hodnoty migračních charakteristik

Tab. 3.9

Materiál - příze	$T$ (tex)	$Z_M$ ( $\bar{m}^1$ )	$\sigma$ ( $\bar{m}^1$ klex <sup>2/3</sup> )	$2R$ ( $\mu m$ )	$\beta_0$ (°)	$E/R$ ( $\mu m$ )	$\frac{E}{R}$ (-)	$G_E/R$ ( $\mu m$ )	$\frac{G_E}{R}$ (-)	$\sqrt{E} \operatorname{tg} \alpha_E$ (%)	$\sigma_E$ (%)	$f_E$ ( $\bar{m}^1$ )	$P_E$ ( $\mu m$ )	$Z_E$ ( $\bar{m}^1$ )	$\frac{Z_E}{Z_M}$ (-)
VSs, 38 mm 0,17 tex rotorová (dle 1/751)	48	479	63	283	23	89	0,63	39	0,28	44	0,130	527	1,9	655	1,37
	51	563	77	289	27	80	0,55	35	0,24	44	0,136	59	2,2	772	1,37
	41	499	59	261	22	75	0,57	35	0,26	47	0,124	102	2,0	734	1,47
	46	561	72	246	23	71	0,58	32	0,26	45	0,119	5,0	2,0	755	1,35
	43	624	77	217	23	70	0,65	29	0,27	41	0,124	673	1,5	854	1,37
	30	630	61	196	21	65	0,66	27	0,27	42	0,134	839	1,2	883	1,40
	30	683	66	184	22	60	0,65	26	0,28	43	0,143	927	1,1	967	1,42
	27	702	63	183	22	57	0,62	25	0,27	44	0,149	930	1,1	865	1,23
ba, 35 mm česaná (dle 1/1051) <sup>1)</sup>								57	22	39	0,206				
								- (46) <sup>2)</sup>	- (16) <sup>2)</sup>	- (35) <sup>3)</sup> (0,175) <sup>2)</sup>	-	-	-	-	-
								(67) <sup>3)</sup>	(28) <sup>5)</sup>	(42) <sup>5)</sup> (0,233) <sup>5)</sup>					

1) Hodnoty zpracovány z grafických výsledků, uvedených v textu citované přednášky pro jeden 6,2 mm dlouhý úsek příze.

2) Pouze vlákna, která procházela celou délkou 6,2 mm jednoho sledovaného úseku příze.

3) Jen vlákna, která mají ve sledovaném úseku příze konec.

4) Ve výpočtu dle (3.4.22) užito  $\delta = 0$ .

Tyto charakteristiky vystihují rozmístění hmoty vláken po poloměru. Ve srovnání s teoretickým výpočtem (tab. 3.8) je hodnota  $\frac{G_E}{R}$  poněkud nižší a naopak  $\frac{G_E}{R}$  a variační koeficient  $\frac{\sigma_E}{G_E}$  vyšší, což dokumentuje větší soustředění hmoty vláken na malých poloměrech.

Poznámka: Uvažuje-li se pro jednoduchost např. lineární pokles zaplnění typu  $\mu = \mu_0 (1 - r/R)$ , naleze se při malých  $R$  výpočtem  $\frac{G_E}{R} = 1/2$ ,  $\frac{G_E}{R} = (3/10 - (1/2)^2)^{1/2} = 0,224$  a  $\frac{\sigma_E}{G_E} = 45\%$ .

Vlastní migraci však popisuje zejména její intenzita  $t g \alpha_E$ . (Z hodnot tab. 3.9 pro rotorové příze plynne jistá závislost na jemnosti a zákrutovém koeficientu. Autor stanovil lineární regresi (korel. koef. 0,77) empirický vztah  $t g \alpha_E = -6,1 \cdot 10^{-3} T_{tex} + 5,1 \cdot 10^{-4} D_{tex}^{0,23} + 0,143$ .) V tabulce 3.9 jsou uvedeny též hodnoty  $t g \alpha_E$ , plynoucí z výsledků měření J. Sparrenbornové /105/. Řádová shoda s hodnotami dle /75/ je zde zřejmá. K podobným hodnotám by zřejmě vedla i měření v práci /90/, soudě podle blízkosti hodnot  $J$  v tab. 3.7.

Zajímavé výsledky poskytuje poměr středního zákrutu  $Z_E$  vláken a zákrutu  $Z_M$  vloženého do příze strojem. Ač by bylo možné očekávat  $Z_E/Z_M = 1$ , pohybují se zjištěné hodnoty kolem 1,35. Znamená to, že vlákna obtáčení osu příze více, než by bylo možné na první pohled očekávat. Vysvětlení nabízí tvorba smyček a pseudozákrut, popsáne v kap. 2.3.4.

#### 3.4.4. ANALÝZA STRUKTURY METODOU VSOP

Pro vyhodnocení geometrické struktury příze z prostorových křivek vláken byla autorem vyvinuta metoda VSOP [„Vnitřní Struktura Omestem sledované Příze“]. V původní verzi /68/, /70/ se sledoval pouze radiální průběh zaplnění. Později /71/, /76/, /77/ byla metoda zdokonalena a zahrnuto do ní vyhodnocení směrového uspořádání vláken. Postupně byla prostudována řada klasických a rotorových přízí /71/, /74/ a dílčí výsledky publikovány např. v /72/, /73/, /77/.

Experimentální část a primární vyhodnocení. Metoda pracuje se značenými vláknami, jejichž dvojice vzájemně kolmých průmětů se zaznamenávají na filmový negativ v přístroji OMEST.

Pro vlastní vyhodnocení je možné použít jen značená vlákna či jejich úseky, vyskytující se ve sledované přízi osamoceně. Ve shlucích více vláken nelze průmět dobře odlišit. Z podobných důvodů nemohou být do vyhodnocení zařazeny také přeložené konce vláken a různé typy smotků a uzlíků. Pro získání reprodukovatelných výsledků je podle dosavadních zkušeností třeba zpracovat prostorové křivky asi 60 vláken příze.

Filmový negativ se dvěma vzájemně kolmými průměty značeného vlákna je promítán<sup>x</sup>) na matnici projekčního zařízení v poloze, v níž průměty leží rovnoběžně s osou  $M$  matnice - obr. 3.26. Kolmice k ose  $M$ , vzájemně vzdálené o konstantu  $\delta$ , symbolizují myšlené příčné řezy přízí.  $i$  - tát kolmice protiná první průmět značeného vlákna ve vzdálenosti  $x_i$  a druhý průmět ve vzdálenosti  $y_i$  od osy  $M$ . Od prvního řezu je vzdálenost  $x_i = (i-1)\delta$ . Trojice souřadnice  $(x_i, y_i, M)$  určuje polohu jednoho bodu značeného vlákna v prostoru. Užitím soustavy kolmick se popsaným způsobem nalézá množina bodů, které charakterizují prostorový průběh křivky značeného vlákna v souřadnicích  $x$ ,  $y$ ,  $M$  matnice.

<sup>x</sup>) Zvětšení na negativu je 2,5. Zvětšení, užívané při projekci bývá voleno 100.

Celkové zvětšení je pak  $2,5 \cdot 100 = 250$ . Příze s průměrem  $D = 0,2$  mm se v tomto případě promítne do šíře 5 cm, průměr vlákna  $d = 0,01$  mm do 2,5 mm.

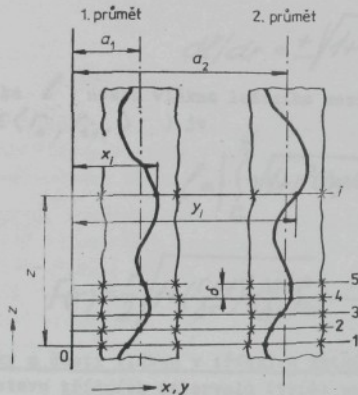
Průměty osy příze jsou v metodě VSOP určovány přímkami, procházejícími „uprostřed“ mezi konturami příze. (V poslední variantě metody VSOP se průměty osy definiují regresními přímkami stanovenými z bodů označených na konturách křížkem.) Jsou-li průměty osy příze rovnoběžné s osou  $\kappa$  a leží ve vzdálostech  $a_1, a_2$ , lze souřadnice bodů značeného vlákna převést do soustavy válcových souřadnic  $r, \varphi, \xi$  (osa  $\xi$  leží v ose příze) vztahy

$$r_i = \sqrt{(x_i - a_1)^2 + (y_i - a_2)^2} \quad (3.4.33)$$

$$\begin{aligned} \varphi_i &= \arccos[(x_i - a_1)/r_i] \cdot [(y_i - a_2)/|y_i - a_2|]; y_i \neq a_2 \\ \xi_i &= \arccos[(x_i - a_1)/|x_i - a_1|]; \quad y_i = a_2 \end{aligned} \quad (3.4.34)$$

$$\xi_i = \kappa_i \quad (3.4.35)$$

Není-li osa příze rovnoběžná s osou  $\kappa$ , je třeba pootočit původní souřadny systém do nového systému  $x', y', \kappa'$ , jehož osa  $\kappa'$  bude s osou příze rovnoběžná. Jednotlivé body značeného vlákna musí pak být před převodem do válcových souřadnic nejprve vyjádřeny v nových souřadnicích  $x'_i, y'_i, \kappa'_i$ . Z obrazu na matrici se souřadnice potřebných bodů odečítají a zaznamenávají.



obr. 3.26

#### Poznámka:

V SVÚT je používáno zařízení DIGIMET /121/ - viz kap. 3.3.3. Zvětšená projekce filmového negativu ve skutečnosti mnohonásobně přesahuje rozsah matrice; s negativem je proto třeba pohybovat. V SVÚT byl k tomuto účelu zkonstruován křízový mikrometrický stolek s přesným automatickým posuvem.

Pro dostatečně přesné ztvárnění prostorové křivky vlákna je třeba mít k dispozici poměrně velké množství bodů. Prakticky se osvědčilo volit  $\delta = 0,1$  mm.

Výpočetní rekonstrukce vlákna. Pro výpočetní rekonstrukci prostorové křivky vlákna je nutno interpolovat její průběh mezi každou dvojicí po sobě jdoucích proměných bodů ( $r_i, \varphi_i, \xi_i$ ) a ( $r_{i+1}, \varphi_{i+1}, \xi_{i+1}$ ). Je výhodné použít lineární interpolační vztahy.

Lineární varianta odpovídá koncepci ekvidistantní migrace. (V minulosti /72/ byla použita též kvadratická závislost

mezi  $r$  a  $\xi$ , vycházející z modelu „ideální“ migrace. Dosahované výsledky se však prakticky nezměnily.) Vztahy lze vyjádřit ve tvaru

$$\xi - \xi_i = (\Delta \xi / \Delta r) (r - r_i) \quad (3.4.36)$$

$$\varphi - \varphi_i = (\Delta \varphi / \Delta r) (\xi - \xi_i) \quad (3.4.37)$$

kde je užito

$$\Delta r = r_{i+1} - r_i = \text{konst.}$$

(3.4.38)

$$\left. \begin{array}{l} \Delta\varphi = \varphi_{i+1} - \varphi_i + 2\pi; (\varphi_{i+1} - \varphi_i) \leq -\pi \\ \Delta\varphi = \varphi_{i+1} - \varphi_i; (\varphi_{i+1} - \varphi_i) \in (-\pi, \pi) \\ \Delta\varphi = \varphi_{i+1} - \varphi_i - 2\pi; (\varphi_{i+1} - \varphi_i) > \pi \end{array} \right\} \quad (3.4.39)$$

$$\Delta\xi = \xi_{i+1} - \xi_i = \text{konst.}$$

(3.4.40)

**Poznámka:** Jsou-li body na vláknenné křivce měřeny dostatečně blízko sebe, např. v myšlených řezech vzdálených o  $\delta = 0,1 \text{ mm}$ , je možno předpokládat, že úhlová vzdálenost dvou po sobě jdoucích bodů bude menší než  $\pi$  - viz rovnice (3.4.39).

Derivováním interpolačních rovnic vznikne

$$\operatorname{tg}\alpha = dr/d\xi = \Delta r/\Delta\xi = \text{konst.} \quad (3.4.41)$$

$$\operatorname{tg}\beta/r = dy/d\xi = \Delta\varphi/\Delta\xi = \text{konst.} \quad (3.4.42)$$

a z (2.3.45) pak plyne

$$dl/dr = \pm \sqrt{1+r^2(\Delta\varphi/\Delta r)^2 + (\Delta\xi/\Delta r)^2} \quad (3.4.43)$$

Délka  $\ell$  úseku vlákna ležícího mezi polomery  $r_a$  a  $r_b$  (pokud  $\ell \in (r_i, r_{i+1})$ ,  $b \in (r_i, r_{i+1})$ ) je

$$\ell = \left| \int_{r_a}^{r_b} \sqrt{1+r^2(\Delta\varphi/\Delta r)^2 + (\Delta\xi/\Delta r)^2} dr \right| = \left| F(r_b) - F(r_a) \right| \quad (3.4.44)$$

kde

$$F(r) = \frac{r}{2} \sqrt{1 + \left( \frac{r \Delta\varphi}{\Delta r} \right)^2 + \left( \frac{\Delta\xi}{\Delta r} \right)^2} + \frac{1 + \left( \frac{\Delta\xi}{\Delta r} \right)^2}{\frac{\Delta\varphi}{\Delta r}} \ln \frac{\left| \frac{r \Delta\varphi}{\Delta r} + \sqrt{1 + \left( \frac{r \Delta\varphi}{\Delta r} \right)^2 + \left( \frac{\Delta\xi}{\Delta r} \right)^2} \right|}{\frac{\Delta\varphi}{\Delta r}} \quad (3.4.45)$$

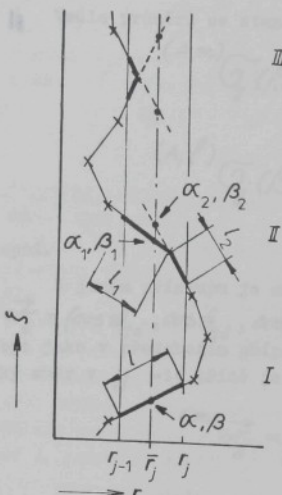
Úseky a části vláken v třídních intervalech. Kolem osy příze zavádí metoda VSOP soustavu třídních intervalů (tříd) poloměru.  $j$ -tý třídní interval  $j = 1, 2, 3, \dots$ , je vymezen prostorem mezi válci s polomery  $r_{j-1} = h(j-1)$  a  $r_j = h j$ , šířka  $h$ . Všech třídních intervalů je konstantní. Obvykle je vhodné volit ji jako  $1/10$  až  $1/15$  poloměru příze  $R$ . Střed  $\bar{r}_j$   $j$ -tého intervalu (třídní hodnota) je definován výrazem  $\bar{r}_j = (r_{j-1} + r_j)/2 = h(j-1/2)$ .

Na zrekonstruované křivce vlákna lze vypočítat body, ve kterých křivka přechází hranice třídních intervalů. Úseky vlákna mezi nimi leží vždy jen v jednom z intervalů.

Křivky všech proměných vláken zanechají v každé třídě jistý soubor vláknenných úseků, který charakterizuje geometrickou strukturu v těchto místech.

V obr. 3.27 je v souřadnicích  $r$ ,  $\xi$  znázorněna rekonstruovaná křivka vlákna, procházející ve třech silně vytažených úsecích  $j$ -tou třídou. Křížky označují změřené body a spojující úseky interpolované průběhy. Úsek typu I neobsahuje žádny proměný bod; sestává z jediné hladké části. Z rovnic (3.4.41) až (3.4.45) lze vypočítat jak jeho délku  $\ell$ , tak i úhly  $\alpha$ ,  $\beta$  se kterými prochází středem

třídy. Veličina „počet úseků“ odpovídající tomuto jednomu úseku je přirozeně  $m = 1$ .



obr. 3.27

Vyhodnocování struktury touto metodou předpokládá, že prostorové rozmístění značených vláken vystihuje usporádání veskeré vlákenné hmoty příze a opírá se proto o nalezené soubory vlákenných částí v jednotlivých třídách.

Zaplnění. Souhrnná délka vlákenných částí obsažených v  $j$ -té třídě je  $L_j = \sum_{i=1}^k l_i$ . Celková délka všech proměřených vláken pak je  $\sum_j L_j$ . Mají-li vlákna plochu  $\sigma$  příčného řezu a měrnou hmotnost  $\varrho$ , je jejich hmotnost  $\varrho \sigma \sum_j L_j$ . Proměřená vlákna byla získána z úseku délky  $a$  příze o jemnosti  $T$ . Hmotnost všech vláken v tomto úseku byla  $Ta$ . Podíl hmotnosti měřených (značených) vláken na celkové hmotnosti příze je pak  $c = \varrho \sigma \sum_j L_j / (Ta)$ .

V  $j$ -té třídě je hmotnost proměřených vlákenných částí  $\varrho \sigma L_j$ . V téže třídě je hmotnost všech (i neznačených) vlákenných částí  $\varrho \sigma L_j/c$  a jejich objem je  $\varrho L_j/c$ .  $j$ -tá třída má v úseku příze délky  $a$  celkový objem  $2\pi r_j ha$ . Zaplnění  $j$ -té třídy je tak

$$\mu_j = \frac{\varrho L_j/c}{2\pi r_j ha} = \frac{T}{2\pi r_j ha} \cdot \frac{L_j}{\sum_j L_j} = \frac{T}{2\pi r_j ha} \cdot \frac{L_j}{(j-1/2)} \quad (3.4.46)$$

Charakteristické úhly. Směrovou stránku průchodu vláken  $j$ -tou třídou je vhodné poslat charakteristickými (středními) úhly.

Je možné vyhodnocovat vážené aritmetické průměry úhlů, kde ve významu statistické váhy jsou použity „počty úseků“  $m_i$ , nebo délky  $l_i$ . V  $j$ -té třídě lze např. definovat z úhlů  $\beta_i$  průměry

$$\frac{(A, m)}{\beta_j} = \frac{\sum_{i=1}^k m_i \beta_i}{\sum_{i=1}^k m_i} \quad (3.4.47)$$

$$\frac{(A, l)}{\beta_j} = \frac{\sum_{i=1}^k l_i \beta_i}{\sum_{i=1}^k l_i} \quad (3.4.48)$$

Na úseku typu II leží jeden měřený bod, který jej dělí do dvou částí délky  $l_1$ ,  $l_2$ . První část prochází středem třídy a lze určit úhly  $\alpha_1$ ,  $\beta_1$ . Druhá část ovšem poloměrem  $r_j$  neprochází. Hodnoty úhlů  $\alpha_2$ ,  $\beta_2$  se proto stanovují pro střed třídy z čárkované znázorněné extrapolace. „Počet úseků“ se pro svou prvnou část definuje veličinou  $m_1 = l_1 / (l_1 + l_2)$ , pro druhou část  $m_2 = l_2 / (l_1 + l_2)$ . (Celkově opět  $m_1 + m_2 = 1$ .) Podobně se zpracovává úsek typu III (zde se extrapolují obě části) i další typy, případně složené i z více vlákenných částí.

V  $j$ -té třídě se vyhodnocením všech měřených vláken získá soubor  $\ell$  vlákenných částí, označených indexy  $i = 1, 2, \dots, k$ . Každá část má délku  $l_i$ , „počet úseků“  $m_i$ , úhly  $\alpha_i$ ,  $\beta_i$  a definičními přepony dle (2.3.46) až (2.3.49) též úhly  $\gamma_i$ ,  $\varphi_{\gamma, i}$ ,  $\varphi_{\beta, i}$ ,  $\varphi_{\alpha, i}$  (viz též obr. 2.35).

Poznámka: Horní, v závorce uvedený index, obsahuje symbol  $A$  pro aritmetický průměr a  $m$  či  $\ell$  pro označení způsobu vážení.

Analogické charakteristiky lze tvořit z úhlů  $\alpha_i$ ,  $\beta_i$ ,  $\varphi_{j,i}$ ,  $\vartheta_{j,i}$ ,  $\varphi_{a,i}$ .

Vedle průměru se stanovují také směrodatné odchylky. Např. z úhlů  $\beta_i$ .

$$(A,m) \bar{\sigma}_j(\beta) = \left[ \sum_{i=1}^k m_i (\beta_i - \frac{(A,m)}{k} \beta_j)^2 / \sum_{i=1}^k m_i \right]^{1/2} \quad (3.4.49)$$

$$(A,\ell) \bar{\sigma}_j(\beta) = \left[ \sum_{i=1}^k \ell_i (\beta_i - \frac{(A,\ell)}{k} \beta_j)^2 / \sum_{i=1}^k \ell_i \right]^{1/2} \quad (3.4.50)$$

apod.

V jiném přístupu je směr  $i$ -té části vlákna vyjádřen jednotkovým vektorem  $\vec{w}_i = (\cos \varphi_{j,i}, \cos \vartheta_{j,i}, \cos \varphi_{a,i})$  - (srovnej s obr. 2.35), jehož významnost může být jako v předchozím případě vyjádřena hodnotou  $m_i$  nebo  $\ell_i$ . Charakteristický směr v  $j$ -té třídě je možno definovat jednotkovým vektorem

$$(m) \vec{w}_j = \sum_{i=1}^k m_i \vec{w}_i / \left| \sum_{i=1}^k m_i \vec{w}_i \right| \quad (3.4.51)$$

$$(\ell) \vec{w}_j = \sum_{i=1}^k \ell_i \vec{w}_i / \left| \sum_{i=1}^k \ell_i \vec{w}_i \right| \quad (3.4.52)$$

Úhly odpovídající  $\vec{w}_j$  či  $\vec{w}_j$  mají význam vektoru ve středových průměrech v  $j$ -té třídě. V tomto smyslu jsou např. složky  $(m) \vec{w}_j$  pravou kosinu vektorových průměrů  $\varphi_{j,j}$ ,  $\vartheta_{j,j}$ ,  $\varphi_{a,j}$ , z nichž je možno dle finičními rovnicemi (2.3.46) až (2.3.48) určit i vektorové průměry  $(V,m) \vec{w}_j$ ,  $(V,m) \beta_j$ ,  $(V,m) \gamma_j$ .

Poznámka: Symbol  $V$  značí vektorově stanovený průměr,  $m$  či  $\ell$  výjadřuje způsob zvažování významnosti. Ve vektorových průměrech vztahy (2.3.46) až (2.3.48) platí; neplatí však pro průměry aritmetické.

Délkou vážené vektorové průměry  $(V,\ell) \varphi_{j,j}, \dots, (V,\ell) \gamma_j$  využívají pak analogicky z vektoru  $(\ell) \vec{w}_j$ .

Frekvence a perioda migrace. Délka průmětu značeného vlákna do osy příze je absolutní hodnotou rozdílu  $\xi$  -souřadnic jeho prvého a posledního proměřovaného bodu. (Vlákno nebo jeho část proměřovaná metodou VSOP nesmí obsahovat uzlíky, „háčky“ apod.)

Sečtením těchto délek od všech proměřených vláken vznikne úhrnná délka osového průmětu  $\xi^*$ .

Z výpočetně rekonstruovaných prostorových křivek lze určit celkový počet  $m_j^*$  průchodů všech analyzovaných vláken středem  $\bar{j}$  -té třídy. (Prakticky je  $m_j^* = \sum_{i=1}^k m_i$ .) Na jednotkové délce příze prochází tedy vlákno poloměrem  $\bar{j}$  v průměru  $m_j^*/\xi^*$  krát. Je-li v příčném řezu příze  $n$  vláken, je poloměr  $\bar{j}$  protínán v jednotkové délce příze všemi vláky celkem

$$\bar{j} = n m_j^* / \xi^* \quad (3.4.53)$$

krát. Podle dříve uvedených vztahů (2.3.66) a (2.3.67) je pak na  $\bar{j}$  frekvence migrace

$$f_j = \bar{j} / (2n) = m_j^* / (2\xi^*) \quad (3.4.54)$$

a perioda migrace

$$P_j = 2n/v_j = 2\sigma^*/m_j^* \quad (3.4.55)$$

Lze ještě poznamenat, že výraz  $\frac{\sum L_j / \sigma^*}{\sum} \cdot \sigma^*$  vyjadřuje průměrnou délku vlákna, umístěnou v jednotkové délce příze. Je-li střední plocha příčného řezu každým vláknem  $\sigma$  a měrná hmotnost  $\rho_s$ , pak v jednotkové délce příze jemnosti  $T$  je délka všech vláken  $T/(\rho_s)$ . Počet vláken v příčném řezu příze je určen výrazem

$$n = [T/(\rho_s)] / [\sum_j L_j / \sigma^*] = T \sigma^* / (\rho_s \sum_j L_j) \quad (3.4.56)$$

Hypotéza náhradní příze. V třídních intervalech se vyskytují 4 směrové typy vlákených částí, zavedené v kap. 2.3.2 (obr. 2.36 a tab. 2.7). Z vlákenných částí jednoho typu lze v každé třídě samostatně vyhodnocovat dílčí zaplnění a průměrné úhly. (Postupy vyhodnocení aritmetických nebo vektorových průměrů ani způsoby vážení dle  $\ell$  či  $m$  se nemění; v úvahu se však berou jen vlákenné části jednoho typu a ostatní se zanedbávají.) Hodnota dílčího zaplnění typem 1 bývá u většiny přízí stejná jako hodnota dílčího zaplnění typem 2; podobně je tomu i mezi typy 3 a 4. Také absolutní hodnoty průměrných úhlů  $\alpha$ ,  $\beta$ ,  $\gamma$  zjišťované v jednotlivých typech vykazují podobnou shodu. Průměrné úhly  $\alpha$ ,  $\beta$ ,  $\gamma$ , stanovené bez ohledu na typovou příslušnost ze všech vlákenných částí dané třídy, jsou pak rovny 0, průměrný úhel  $v_j$  je roven  $\pi/2$ .

Vlákenné části typu 1 a 3 je vhodné sloučit do skupiny A (směrující „ven“ z příze), části typu 2 a 4 do skupiny B (směrující „dovnitř“ příze). V obvyklých případech lze skupinu B považovat za „zrcadlový“ obraz skupiny A a to odpovídá zavedenému pojmu symetrické migrace.

V symetrické migraci je užitečné přisoudit každé vlákenné časti místo skutečných úhlů  $\alpha_i$ ,  $\beta_i$ ,  $v_{r,i}$  úhly  $|\alpha_i|$ ,  $|\beta_i|$ ,  $\pi/2 - |\theta_{r,i}|$  a teprve poté vyhodnocovat průměrné úhly v třídních intervalech. Vysledky charakterizují průměrný směr ve skupině A, jenž je současně „zrcadlově“ obrácený průměrným směrem skupiny B.

**Poznámka:** Tako stanovené průměrné úhly  $\alpha$ ,  $\beta$ ,  $v_j$  jsou opatřovány značkou absolutní hodnoty u základního symbolu. Např.  $|\alpha_j|$  je vektorově určený průměrný úhel  $\alpha$ , nalezený v  $j$ -té třídě, vážený délkou, získaný při vyšše zmíněné změně úhlu jednotlivých vlákenných částí.

V symetrické migraci umožňují tímto způsobem pořízené vektorové průměry úhlů zredukovat složitou strukturu příze na zjednodušený model. V něm se uvažuje, že všechny vlákenné části mají ve středu  $\bar{r}_j$   $j$ -té třídy úhly  $(\alpha_r)_j = (\alpha_r)|_{\bar{r}_j}$  nebo  $(\beta_r)_j = \pi - (\alpha_r)|_{\bar{r}_j}$ ,  $(\beta_r)_{j,t} = (\beta_r)|_{\bar{r}_{j,t}}$ ,  $(\theta_{r,t})_j = (\theta_{r,t})|_{\bar{r}_{j,t}}$  a úhly  $(\alpha)_j$ ,  $(\beta)_j$ ,  $(v)_j$  dopočtené z definičních vztahů (2.3.46) až (2.3.48). Samozřejmě se předpokládá, že pravé polovina vlákenných průchodů poloměrem  $\bar{r}_j$  má  $(v_r)_j < \pi/2$  (jdou směrem „ven“ - skupina A) a druhá polovina má  $(v_r)_j > \pi/2$  (jdou směrem „dovnitř“ - skupina B). Na poloměru  $\bar{r}_j$  se ještě zavádí zaplnění, jehož hodnota je shodná se zaplněním  $\mu_j$   $j$ -té třídy skutečné příze. Popsanou představou je definována náhradní příze.

V náhradní přízi jednotkové délky je poloměr  $\bar{r}_j$  protínán všemi vlákny celkem  $v_j$  krát, přičemž dle (2.3.59) platí

$$v_j = (\mu_j \cdot 2\pi \bar{r}_j) / \cos(v_r)_j / s \quad (3.4.57)$$

V příčném řezu diferenciální vrstvou náhradní příze, ležící mezi poloměry  $\bar{r}_j$  a  $\bar{r}_j + dr$ , je diferenciální počet vláken

$$(dn)_j = [\mu_j \cdot 2\pi \bar{r}_j \cos(v_r)_j / s] dr \quad (3.4.58)$$

Spojité radiální průběhy. Na radiální průběh strukturálních veličin se dá usuzovat z hodnot, zjištěných ve středech  $\bar{r}_j$  všech třídních intervalů. Vhodnými numerickými (interpolacními, regresními apod.) postupy lze dospět ke spojitému radiálnímu funkčnímu, derivacím i integrálům a z nich pak vyhodnocovat další informace. (U strukturálních veličin je nyní třeba vynechávat index  $j$  třídního intervalu a uvažovat je jako spojité funkce poloměru  $r$ . Místo  $\bar{r}_j$  je pak třeba psát  $r$ .) Tak např. derivováním veličiny  $\vartheta$ , vyhodnocené z (3.4.53), lze vyjádřit radiální průběh obratového součinitele  $\eta = (dr/dr)/2$ , jenž byl definován v kap. 2.3.2 rovnicií (2.3.65).

Zajímavé souvislosti poskytuje náhradní příze. Počet vláken v jejich příčném řezu je dán integrací z (3.4.58). Integrovat je třeba přes všechny poloměry  $r \leq R_{max}$  kde  $\mu \neq 0$ . Pak

$$\eta = (\pi/15) \int_0^{R_{max}} ur \cos \vartheta_r dr \quad (3.4.59)$$

Radiální průběh obratového součinitele se nalezne užitím (3.4.57).

$$\eta = (dr/dr)/2 = (\pi/15) d(ur|\cos \vartheta_r)/dr \quad (3.4.60)$$

z (3.4.57) a (2.3.67) lze vyjádřit

$$\cos^2 \vartheta_r = [n_s / (p\pi ur)]^2 \quad (3.4.61)$$

Z posledního výrazu plyne pro periodu migrace

$$P = n_s / (\pi ur |\cos \vartheta_r|) \quad (3.4.62)$$

Berou-li se v náhradní přízi v úvahu jen vlákkenné úseky skupiny A (směřující „ven“), je směr průchodu vláken definován na každém poloměru jednotkovým vektorem  $\vec{w} \equiv (\cos \vartheta_r, \cos \vartheta_e, \cos \vartheta_o)$ , jehož složky jsou kladné. Zaplnění od vláken skupiny A je ve všech místech polovinou  $1/12$  celkového zaplnění. Malou jednotkovou ploškou postavenou kolmo ke směru  $\vec{w}$  prochází směrem „ven“  $1/(12\pi)/15$  vláken. Početní hustotu a směr těchto vlákkenných úseků lze na poloměru  $r$  souhrnně vyjádřit vektorem  $\vec{u} = [w/(2\pi)] \cdot \vec{w}$ .

V každém bodě prostoru je definován právě jeden takový vektor, takže  $\vec{u}$  určuje jisté vektorové pole. Hodnota divergence  $\nabla \cdot \vec{u}$  vyjadřuje v tomto případě přírůstek počtu vláken skupiny A v jednotkovém objemu sledované náhradní přízi.

Poznámka: Jedná se o analogii rovnice kontinuity při ustáleném toku nestlačitelné kapaliny. Výraz  $\mu/(2\pi)$  je paralelou hodnoty rychlosti proudění a směru proudění. Na tuto paralelu upozornil I. Dogu 1/1291.

Podle autorova odvození uvedeného v práci 1/821 platí pro divergenci vektoru vztah

$$\nabla \cdot \vec{u} = \eta / (2\pi r) \quad (3.4.63)$$

kde  $\eta$  je obratovým součinitelem náhradní přízi, vyjádřeným v (3.4.60).

Sledovanou úvahu lze zobecnit i nad rámec náhradní přízi. Veličina  $\eta/(2\pi r)$  si totiž zachovává svůj smysl přírůstku počtu vláken skupiny A v objemové jednotce i tehdy, užije-li se pro stanovení  $\eta = (dr/dr)/2$  hodnot  $\vartheta$ , určených podle (3.4.53) pro skutečnou přízi se symetrickou migraci.

Výpočetní program. Vyhodnocovací část metody VSOP stanovuje všechny uvedené charakteristiky a provádí i další doplňkové výpočty. Rozsah získaných výsledků je značný a umožnuje posoudit geometrickou strukturu příze z mnoha různých hledisek.

V SVÚT Liberec byl vypracován výpočetní program „VSOP-3“, který stanovuje v každém z 20. intervalů poloměru hodnoty více než 400 veličin. Určují se průměry aritmetické i vektorové, vážené délkou i počtem úseků, z původních i absolutních hodnot, vyhodnocují se goniometrické a další funkce úhlů, charakteristiky zaplnění a počtu vlákenných průchodů atd., vše samostatně pro úseky typu 1,2,3,4 i všechny typy dohromady. Výpočetní program „VSOP-3-GRAFY“ zpracovává výsledky do téměř 50 grafů, v nichž znázorňuje přes 250 radiálních průběhů různých veličin.

### 3.4.5. VÝSLEDKY METODY VSOP

Značně rozsáhlý soubor informací, který je vyhodnocován u každé příze, zde může být ilustrován jen několika typickými výsledky. (Detailní výsledky jsou zážátky uvedeny v [74] a v interních materiálech SVÚT.) V grafech na obr. 3.28 je doložena struktura 3 přízí ze stejné vlákenné suroviny - lesklé VSs, 0,16 tex, 40 mm. V příkladech je užita mykaná, prstencově dopřádaná příze, vyrobená bavlnářskou technologií, s jemností  $T = 36,8$  tex a zákrutem  $Z_M = 497 \text{ m}^{-1}$ , dále rotorová příze ze stroje BD 200,  $T = 38,3$  tex,  $Z_M = 517 \text{ m}^{-1}$  a konečně vlnařskou technologií vyrobená mykaná prstencová příze  $T = 101$  tex,  $Z_M = 372 \text{ m}^{-1}$ . Prvé dvě příze mají srovnatelnou jemnost i zákrut.

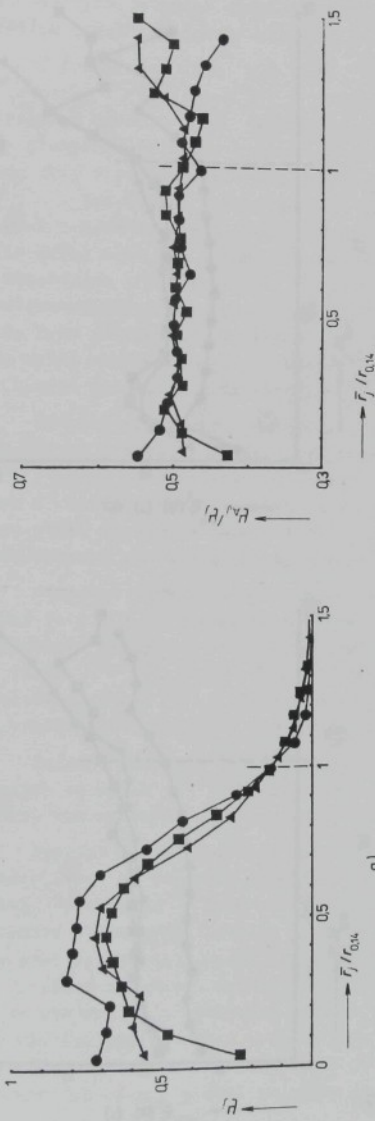
Strukturální veličiny jsou vyneseny v závislosti na poměru  $\bar{r}_g / r_{qM}$ . Poloměry  $\bar{r}_g$  jsou středy jednotlivých třídních intervalů,  $r_{qM}$  označuje poloměr, na němž dosahuje zaplnění hodnoty  $c_u = 0,14$ . Dle kap. 3.2.2. je  $r_{qM}$  dobrým odhadem poloměru příze  $R=D/2$ .

Graf a) zobrazuje radiální průběh zaplnění. Maxima křivek dosahují u příze rotorové a vlnařské hodnoty kolem 0,7, u příze prstencové ba-typu 0,8. Vyšší hodnota nepřekvapuje, uváží-li se, že zde byl užit zákrut v úrovni příze rotorové, tj. asi o 20% vyšší, než je obvyklé. Pokles křivek směrem k povrchu je u obou prstencově dopřádaných přízí strmější než u příze rotorové. To odpovídá i výsledkům z analýzy příčních řezů (kap. 3.3.4). Směrem k ose příze hodnoty zaplnění klesají. Pokles je méně výrazný u prstencových přízí a velmi zřetelný u příze rotorové. Tento jev by nasvědčoval výraznému mechanismu svinování stužky u rotorové příze, v menší míře však i u přízí prstencových (srovnej kap. 2.2.5). Podobný pokles nalezli též T.S. Hickie a M. Chaikin [127] technikou příčních řezů u česaných vlněných přízí, na druhé straně však výsledky získané metodou SECANT (kap. 3.3.4., obr. 3.17) takový pokles nezaznamenaly. Zatím nelze rozhodnout, která metoda správněji vystihuje osovou oblast přízí.

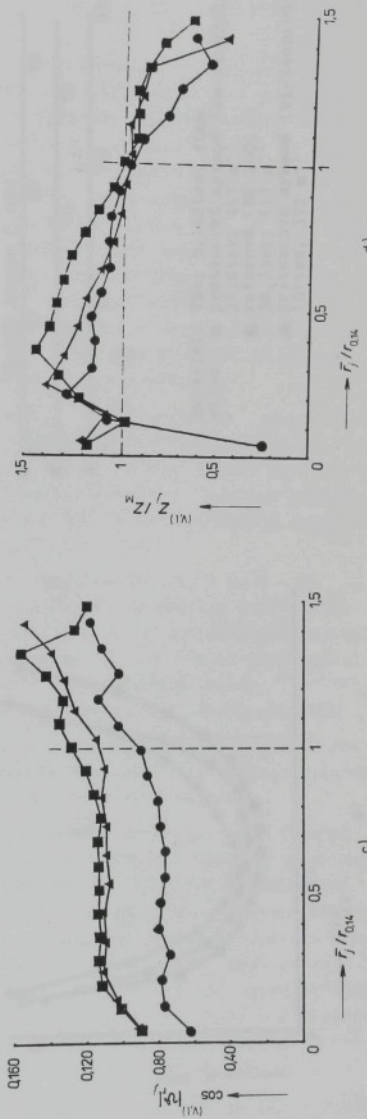
Poznámka: Po zvážení možných zdrojů nepřesnosti se autor domnívá, že metoda VSOP pokles zaplnění v osové oblasti spíše zdůrazňuje, zatímco metoda SECANT jej ve svých výsledcích naopak potlačuje. Nejpravděpodobněji zmíněný pokles v přízi vskutku existuje, byť patrně v menší míře než vykazuje metoda VSOP.

Graf b) ilustruje zaplnění  $M_{A,j}$  vlákennými úsekly skupiny A (směřujícími „ven“) v poměru k celkovému zaplnění  $M_j$  v každém třídním intervalu. Ve vnitřních oblastech všech 3 přízí je tento poměr prakticky konstantní, rovný hodnotě 0,5. Znamená to, že na všech poloměrech právě polovina hmoty vláken směřuje „ven“, zatímco druhá polovina směřuje „dovnitř“ příze. Podobně by bylo možno ukázat, že střední hodnota úhlů  $\beta$  či úhlů  $|\alpha|$ , vyhodnocené samostatně z vlákenných úseků směřujících „ven“ a „dovnitř“ příze, jsou si v každém třídě navzájem prakticky rovny. U těchto typů přízí je migrace vždy průkazně symetrická.

Hodnoty  $\cos(\alpha)/|\alpha|_j$ , vynesené v grafu c), charakterizují absolutní hodnoty derivací  $|dr/d\alpha|_j$ , se kterými vlákna procházejí středy třídních intervalů. Jak je zřejmé, jsou téměř konstantní v celé vnitřní oblasti všech 3 sledovaných přízí;

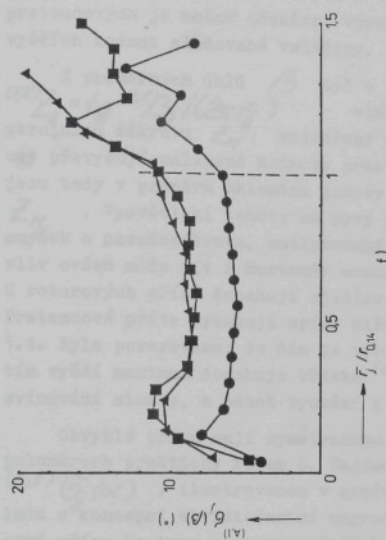


b)

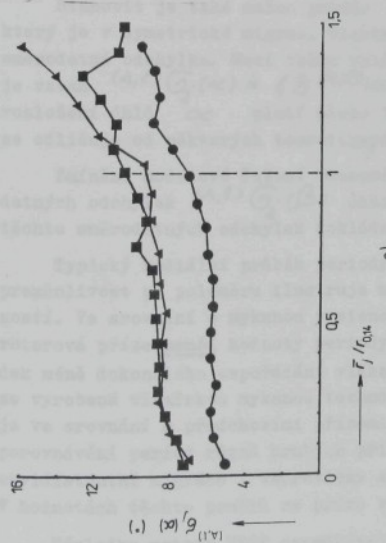


d)

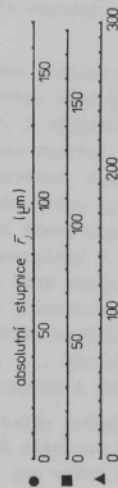
obr. 3.28



e)



f)



g)

Materiál: VSt; 0,162tex; 40mm  
Prize: ● prstencová myška (ba-technology)  
■ rotorová (BD 20Q)  
▲ prstencová myška (vl-technology)

výraznější růst lze pozorovat jen v malých prostorech kolem osy a povrchu. Znázorněný průběhy, typické pro všechny prstencové a rotorové příze, ukazují, že střední směr průchodu vláken jednotlivými poloměry dobře odpovídá modelu ekvidistantní migrace, zpracovanému v kap. 2.3.4. Prstencová příze vyrobená bavlnářskou technologií je poměrně dobře uspořádaná, a proto její hodnoty  $\cos(\alpha_j) | \beta_j | \gamma_j$  jsou nižší. Naproti tomu u přízí rotorových a vlnářskou mykanou technologií pořízených příze prstencových je možné očekávat výraznější vliv vnesené migrace, promítající se do vyšších hodnot sledované veličiny.

Z průměrných úhlů  $\beta$  byl v jednotlivých třídách stanoven průměrný zákrut  $(\alpha_j) = \operatorname{tg}(\beta_j) / (\operatorname{ctg}\bar{\beta})$  vvlákněných úseků. Jeho hodnoty jsou v poměru ke strojnímu zákrutu  $Z_M$  vyjádřeny v grafu d). S výjimkou malého prostoru kolem osy převyšují nalezené hodnoty prakticky v celé vnitřní oblasti hodnotu 1. Vlákna jsou tedy v průměru skloněna jakoby větším zákrutem, než odpovídá vložené hodnotě  $Z_M$ . Vysvětlíme toho na první pohled neobvyklého průběhu nabízí mechanismus smyček a pseudozákrutu, analyzovaný v poslední části kap. 2.3.4 (obr. 2.62). Dílčí vliv ovšem může mít i Mortonův mechanismus, naznačený v téže kapitole (obr. 2.47). U rotorových přízí dosahují zjištovaná maxima vždy značných hodnot (asi 1,3 až 1,6). Prstencové příze vykazují spíše nižší hodnoty s maximem nejčastěji kolem 1,2 až 1,4. Bylo pozorováno, že čím je výraznější pokles zaplnění v osové oblasti příze, tím vyšší maximum dosahuje křivka  $(\alpha_j) / Z_M$ . Společnou příčinou je patrně svinování stužky, z něhož vychází i koncepcie smyček a pseudozákrutu.

Obvyklé příze mají symetrickou migraci, takže průměrný úhel  $\alpha$  je na všech poloměrech prakticky roven 0. Zajímavé je však sledovat směrodatnou odchylku  $(A, \ell) \tilde{G}_j(\alpha)$ , ilustrovanou v grafu e). Její jen mírně rostoucí průběh je v souladu s koncepcí ekvidistantní migrace. Nižší hodnoty zjištované u mykané prstencové příze ba-typu a naopak větší hodnoty u dalších dvou přízí odpovídají rozdílné míře vnesené náhodné migrace, popsané v kap. 2.3.3 (obr. 2.46).

Stanovit je také možno průměr  $(A, \ell) | \alpha |_j$ , z absolutních hodnot úhlů  $\alpha$ , který je v symetrické migraci vlastně lineární odchylkou. Má podobný průběh jako směrodatná odchylka. Mezi oběma veličinami se nezávisle na poloměru obvykle zjišťuje vztah  $(A, \ell) \tilde{G}_j(\alpha) = 1/3 (A, \ell) | \alpha |_j$ . Připomeneme, že pro případ normálního rozložení úhlů  $\alpha$  platí místo 1,3 součinitel 1,25. Nalezený průběh  $(A, \ell) | \alpha |_j$  se odlišuje od některých teoretických úvah, uvedených např. M.I. Ziedmanem [128].

Zmíněné modelové řešení vnesené náhodné migrace vysvětuje také průběh směrodatných odchylek  $(A, \ell) \tilde{G}_j(\beta)$  úhlů  $\beta$ , znázorněný v grafu f). Nemalé hodnoty těchto směrodatných odchylek dokládají též závažnost zákrutové migrace.

Typický radiační průběh periody migrace je vynesen v grafu g). Její výrazná proměnlivost po poloměru ilustruje mj. nesoulad modelu „ideální“ migrace se skutečností. Ve srovnání s mykanou prstencovou příze ba-typu má přibližně stejná jemná rotorová příze menší hodnoty periody migrace, což lze chápat jako přirozený důsledek méně dokonalého uspořádání vláken. Nejdélejší periodu migrace má prstencová příze vyrobená vlnářskou mykanou technologií. Je však současně hrubší, její poloměr  $R$  je ve srovnání s předchozími přízemi asi o 60% větší. Ukazuje se, že bezprostřední porovnávání period různě hrubých přízí není příliš vhodné. Výstižnější a z hlediska ekvidistantní migrace i teoreticky správnější je srovnávat navzájem poměry  $P/R$ . V hodnotách těchto poměrů se příze vlnářská velmi sblíží s přízí rotorovou.

Výsledky metody VSOP zanedbávají existenci přeložených vláken, uzliků a jiných tvarových zvláštností, jež nemohly být při dané úrovni experimentální techniky počaty do vyhodnocování. Ve světle tohoto omezení je nutno vidět i závěry, které z výsledků vyplývají.

Část E

ZAVĚRY PRO REALIZACI  
VE SPOLEČENSKÉ PRAXI  
A PRO DALŠÍ ROZVOJ VĚDY

## 1. ZÁVĚRY PRO REALIZACI VE SPOLEČENSKÉ PRAXI

Jádro disertační práce je soustředěno v části D a čtenář si jistě vytvořil vlastní názor na možnosti využití dosažených výsledků. Podle vyhlášky č. 64/77 Sb. je však autor povinen zpracovat své stanovisko k této věci ve zvláštní části práce.

Hlavní teoretické a experimentální poznatky, které jsou uvedeny v disertaci, souvisejí především s rozvojem vědeckého poznání. Mnohé z nich je však možno využít i v oblastech praktických. Praxe je cílevědomým jednáním, jehož společenskost plynne ze společenské povahy mezilidské komunikace, dělby práce, apod. Pojem společenské praxe - vyhl. č. 64/77 Sb. - je tedy značně široký a není v silách autora jej zcela postihnout, stanovit všechny závěry, k nimž publikované poznatky vedou či k jejichž stanovení mohou přispět.

V oblasti výroby lze znalost tvorby a struktury příze uplatnit především v samotné předení. Specifickým problémem je např. volba vhodných zákrutů, neboť náklady na doprácení tvoří asi polovinu veškerých nákladů v přádelně a zákrut současně předurčuje zpracovatelnost příze i některé užitné vlastnosti výsledné textilie. Přesnější metody stanovení zákrutu jsou vyloženy v kap. 1.3.4. Pro bavlnářské příze se na základě těchto poznatků zpracovává ve spolupráci SVÚT Liberec a GŘBP Hradec Králové soubor konkrétních podkladů, které vycházejí z potřeb VHJ bavlnářského průmyslu a umožňují zdokonalit přípravu výroby v bavlnářských přádelnách. Vedle „většího pořádku“ v používaných zákrutech jde mj. také o problematiku dokonalejšího hodnocení a ovlivňování jakosti přízí.

Soustava výpočtu průměrů, zaplnění a dalších souvisejících charakteristik, založená na autorově řešení, je zabudována jako nedílná součást komplexu technicko-technologických, ekonomických a cenových propočtu bavlnářských tkanin („výrobní předpis“) v programech výpočetního střediska Orgatexu. Tak jsou výsledky realizovány v rámci působnosti celé VHJ. Průměry příze jsou dále k disposici odborníků z oblasti přípravy výroby, desinatérům a cemářům ve všech podnicích VHJ prostřednictvím materiálů, zpracovaných a vydaných na základě požadavků GŘBP.

Poznatky této disertace lze ovšem aplikovat i v dalších VHJ. V pletářském průmyslu půjde především o využití ve výpočetním navrhování konstrukce základních typů pletenin. Autorovy metody pro stanovení geometrických vlastností příze se ukázaly užitečné např. v systému navrhování zátažných úpletů, který byl v SVÚT vypracován na požadavek VHJ pletářského průmyslu. V oblasti lnářského průmyslu byly některé poznatky využity při řešení problematiky dynamické únosnosti tkanin z n.p. Technolen, určených k výrobě lehátek. Některé drobnější práce aplikáčního rázu naznačují, že nalezené poznatky lze využít i v průmyslu vlnářském, a to v oblastech obdobných jako u průmyslu bavlnářského, ale i při řešení některých speciálních problémů. (Tak např. problematika vlastností lepících oděvních vložek souvisí mj. i se zde odvozenými statistickými zákonitostmi povrchových vrstev příze, apod.)

Tvorba a struktura příze se odražejí především ve vlastnostech přízí. Mnohé souvislosti jsou již známé (některé zpracoval i autor v / 82 /) a jsou využívány v prvních praktických pokusech o exaktní projektování textilií. Širšímu uplatnění zatím brání mj. i současný nedostatek malé výpočetní techniky, především osobních počítačů. Teprvé do přímého kontaktu výrobního odborníka se softwareově dobře vybaveným malým počítačem lze očekávat kvalitativně vyšší úroveň praktického využití stavajících teoretických poznatků.

Exaktní přístup k řízení výroby příze se nemůže obejít bez pokroku v textilním zkušebnictví. Z tématického hlediska této disertace považuje autor za potřebné roz-

šířit možnosti provozního měření některých strukturálních a struktury ovlivňujících vlastnosti příze. Vlákenný materiál přicházející do přádelny by měl být zkoušen nejen z hlediska jeho délky a jemnosti, ale např. též z hlediska stlačovací závislosti, jde zejména o experimentální stanovení  $k_p$  ze vztahu (1.2.43), což je důležitá charakteristika spřadatelnosti.

V podmínkách provozních zkušeben by mělo v budoucnu být možné měřit také průměr příze a jeho kolísání, neboť průměr, či lépe zaplnění patří k důležitým jakostním charakteristikám, které zatím žel praxe nesleduje. Z podobných důvodů by bylo užitečné měřit též skutečný počet vláken v průřezu příze - viz kap. 3.3.3. (Pro rychlé a spolehlivé provozní měření však zatím chybí vhodný měřicí princip.)

Výsledky disertace lze realizovat také v novém či modifikovaném vyhodnocování experimentálních dat, pořizovaných v provozech běžnými zkušebními metodami. Při faktické znalosti (a normativním zakotvení) některých parametrů materiálů a technologií (měrné hmotnosti vláken, konstant  $K$  a  $M$  v rovnici (1.3.47)) lze např. jen z běžně naměřených hodnot jemnosti vláken  $t$  a jemnosti příze  $T$ , zákrutu příze  $Z$ , pevnosti vláken  $F_p$  a příze  $F$  vyhodnotit řadu charakteristik s „netradiční“ výpovědní schopností. Jsou to zejména: substancní průřez  $S$  a substancní průměr  $D_s$ , poměrná jemnost  $T/t$  (tradiční „počet vláken“), řada zákrutových koeficientů (Phrixův  $\alpha$ , Koechlinův  $\alpha$ , plošný Koechlinův  $\alpha_S$ , zobecněný  $\alpha_x$  charakterizující intenzitu zákrutu, nebo  $\alpha_{red}$  vystihující úhel  $\beta_{red}$ , nebo  $\alpha_{\text{z}}$  pro posouzení zaplnění), dále zákrutový poměr (naměřeného zákrutu a zákrutu vypočteného pro úroveň „osnovního“ kroucení - viz např. tab. 1.10), střední zaplnění  $\alpha$ , průměr  $D$  a redukovaný průměr  $D_{red}$ , intensita zákrutu  $\alpha$  a povrchový úhel  $\beta$  a úhel  $\beta_{red}$ , ekvivalentní průměr mezivlákkenných pórů  $d_p$ , samozřejmě poměrná pevnost  $F/T$  a využití substancní pevnosti  $F_t/(F_T)$ , ale také napětí na mezi pevnosti  $F/S$  a charakteristika pevnosti v plošné textilii  $F/D$  (proporcionalní pevnosti např. tkaniny po osnově či útku). Mnohé z těchto projevů příze by bylo třeba postupně zahrnout do státních a oborových norem, zkušebnických i norem jakosti.

Poznámka: V praktickém používání je současně třeba ustálit terminologii a zvyklosti v užívaných fyzikálních rozměrech u nových veličin.

Výsledky disertace lze využít též v oblasti výzkumu a vývoje. V prvé řadě se jedná o nové typy přízí a nové principy předení. V této souvislosti byly využívány autorem vypracované náročnější metody vlastního sledování struktury nových druhů přízí a závěry, plynoucí z provedených teoretických analýz tvorby a struktury.

Značná pozornost byla věnována přízím rotorovým, vypřádaným na čs. strojích řady BD 200.

V současnosti probíhá v ČSSR vyhledávací výzkum dalších způsobů netradičního předení. Metoda hodnocení příčných řezů byla použita např. pro podrobnejší poznání struktury frikční předených přízí, sledovaných ve VÚB Ústí n. Orl. Tak bylo možné kvantitativně charakterizovat známé „špatné“ uspořádání vláken.

Sirší využití poznatků si vyžádaly také svazkové příze tryskového dopřádání. Informace o podílu a charakteru jádra a pláště těchto přízí, stanovené z radiálního rozložení strukturálních veličin (metoda VSOP) i znalost struktury a variability v příčných řezech (metodou SECANT) se promítly ve výzkumných a vývojových pracích KVÚ Elitex.

Také při výzkumu ovíjených přízí typu Rotona bylo užito řady poznatků popsaných v této disertaci. Jde především o analýzu zaplnění, analýzu tahových křivek napětí - - prodloužení a strukturální vztahy nutné pro vývoj postupu výpočetního projektování mechanických vlastností elasticitních variant přízí Rotona. Tyto výsledky a souvislosti byly vypracovány na základě požadavků plynoucích z potřeb ředitelského kolektivu v ÚZCHV Česká Třebová. Tam jsou také dále využívány při řešení výzkumných úkolů.

Metody vypracované v disertaci jsou vhodné i pro netradiční porovnání přízí vyrobených na tuzemském a zahraničním zařízení. Bylo provedeno např. strukturální porovnání rotorových přízí ze strojů typu BD 200 a stroje Autocoro, nebo svazkových přízí ze zařízení Penss a Murrata, obojí pro potřeby zejména KVÚ Elitex.

Jiný směr využití poznatků disertace se dotýká výzkumu vlastnosti textilních útvarů a vývoje postupů pro jejich projektování. Z tohoto hlediska se výsledky uplatňují zejména v činnosti SVÚT Liberec. Optimalizace konstrukce textilií, která se v SVÚT již delší dobu provádí, a která využívá mj. i výsledky autora (zejména z oblasti příčných rozměrů a zaplnění), se ukázala jako jedna z ekonomicky nejefektivnějších činností textilního výzkumu.

O autorovy vědeckovýzkumné práce projevily zájem i zahraniční výzkumné ústavy. V rámci programu dvoustranné spolupráce SVÚT s partnerskými pracovišti zemí RVHP byly vybrané výsledky předány k dalšímu využití do NDR, PLR, RSR, BLR. Autorovy práce o struktuře příze zaujaly výzkumný ústav FIFT v NDR do té míry, že v letech 1978 až 1980 byl uskutečněn s SVÚT společný výzkumný program, zaměřený na vybrané strukturální souvislosti vlastností příze.

Dosavadní zkušenosti ukazují, že výsledky disertace mohou být na úseku výzkumu a vývoje užitečným přínosem. Způsob a míra jejich vhodné aplikace jsou ovšem závislé na cílech (realizačních výstupech) konkrétních úkolů; bez jejich znalosti nelze využít blíže upřesnit.

Jiná možnost uplatnění je spjata s činností prognostickou. Objektivní znalosti textilních útvarů, a tedy i příze, jsou trvalé, platné i pro budoucno. Proto dokonalejší poznání jedinečného charakteru struktury příze umožnuje reálněji předvídat budoucí vývoj. Autorovy výsledky se v tomto smyslu promítly do prognostických studií zpracovaných v SVÚT Liberec a zčásti též ve VÚB Ústí n. Orl. (Např. ze specifiky rozhraní kompaktní a přechodové struktury vyplynula nezbytnost vyrábět i v budoucnu textilní útvary se zaplněním 0,4 až 0,5.)

Součástí realizace ve společenské praxi je též výuka nových poznatků v odborném školství. Z hlediska tématiky disertace autor zejména ocenuje, že vybrané výsledky jeho práce se staly předmětem výuky na textilní fakultě VŠST Liberec a byly zpracovány do učebních textů této vysoké školy. Některé výsledky jsou přednášeny také na zahraničních vysokých školách, např. v Indian Institute of Technology, Delhi (zejména struktura příze v příčném řezu) na Technische Hochschule Karl-Marx-Stadt (strukturální řešení sráživosti příze, problémy projektování přízí).

## 2. Z A V Ě R Y P R O D A L Š f R O Z V O J V Ě D E C K É H O P O Z N Á N č

Snaha přispět k rozvoji vědeckého poznání tvorby a struktury příze vedla autora v průběhu řady let k postupnému zpracovávání dílčích souvislostí a problémů, z nichž některé jsou popsány v předložené disertaci. Závěry řešení byly uvedeny a teoreticky i experimentálně doloženy v příslušných místech textu a nebylo by účelné je opakovat. Zpracované řešení však poskytuje v jistém smyslu i nový celkový pohled na přízi, na bázi modifikovanou představu o tom, co to příze vlastně je a jakým způsobem vzniká. V hlavní části D disertace je souhrnný pohled poněkud zastřen řadou nezbytných detailů řešení. Autor proto považuje za prospěšné charakterizovat jej v rámci této kapitoly.

A) Výchozí forma textilního útvaru je pramínek (stužka) vláken.

1. Pramínek je vytvořen z vlákenného materiálu určitých vlastností. Vedle tradičních (jemnost, délka, apod.) je důležitá zejména schopnost materiálu „být stlačován“. V ní sehrává podstatnou roli tuhost vláken a praktická nestlačitelnost jejich objemu.
  2. Vlákna v pramínku jsou uspořádána s jistou mírou orientace do podélného směru. Nashromážděná vlákna tvoří výchozí profil pramínku.
- B) Z pramínku vzniká příze různými způsoby zakrucování (scuosé symetrické, asymetrické, vyosené z jednoho či více pramínek; v „bodě“ nebo v „délce“). Uplatňuje se i přechody mezi nimi.
1. Základní představa zůstává zakrucování válcového svazku vláken. Různé skutečné případy se mu přibližují.
  2. V zákrutovém trojúhelníku (prsten, dopř. stroj) nedochází k prostému zakrucování válcového svazku. Rozdíl mezi dodávanými a potřebnými vlákny co do jejich počtu a sklonu způsobuje nestabilitu polohy vláken. Společně se šířením torzního momentu vede k „předkrucování“.
  3. Zakrucování probíhá často formou „svíjení stužky“. Vedle napětí při zakrucování má podstatný význam profil výchozí stužky, který ovlivňuje strukturu příze kolem její osy. Při svíjení se uplatňuje deformační setrvačnost vláken. V osové dutině vznikají v prvních fázích zakrucování jisté smyčky, tvořící základ pro vznik „pseudozákrutu“.

C) Při tvoření příze vznikají silové účinky s deformačními projevy.

1. Zjednodušená představa „šroubovicové příze vcelku“ poskytuje silové a deformační souvislosti, z nichž vyplývá:
    - a) střední zaplnění příze. Jeho řádová hodnota odlišíuje příze od ostatních vlákných útvarů. Roste s jemností a zákrutem příze. Je výrazně podmíněno stlačovacími schopnostmi vláken (viz bod A 1).
    - b) průměr příze. Jeho hodnota je přímým důsledkem zaplnění.
    - c) „doporučený zákrut“ příze. U různě jemných přízí je zákrut srovnatelný, jsou-li ve vláknech zachována stejná pnutí (což vede ke stejným úhlům povrchových vláken). U různých technologií (česaná, mykaná, rotorová) je pro stejně jemnou přízi srovnatelný ten zákrut, který zajišťuje stejné zaplnění.
    - d) seskání zákrutem. V běžných oblastech poskytuje různé teoretické přístupy prakticky shodné hodnoty. V povrchových vrstvách příze dochází k prokluzům vláken a tím ke snižování seskání. Maximální seskání je omezeno vznikem zákrutu II. řádu.
  2. Z řešení které je založeno na předpokladech mechaniky kontinua a které respektuje vnitřní rozložení sil a deformací v tělese příze vyplývá:
    - a) vlákna ve vnějších vrstvách prokluzují. Slouží však k vytváření iniciačního tlaku, který zvyšuje třecí síly. Vrstvy na středních poloměrech svírají příze nejúčinněji. Kolem osy příze má materiál charakter jakéhosi „výplňku“.
    - b) Oblast prokluzů zasahuje poměrně hluboko do nitra příze.
    - c) Napětí ve směru normálny a binormálny šroubovice jsou svými hodnotami velmi blízká; jsou však jen zlomkem napětí tangenciálního.
    - d) „Svíjení stužky“ vede k odlišným mechanickým poměrům ve vnitřní části příze. Vzniká jakási částečná „klenba“ která brání dalšímu stlačování vláken (snižení zaplnění v okolí osy příze). Významný vliv sehrává profil stužky (viz bod A 2, B 3).
- D) Tvorba příze se promítá do geometrického uspořádání vláken v přízi. Vlákna se odlišují od šroubovicového „ideálu“, migrují. Migrace vzniká různými způsoby.

1. Napjatá vnější vlákna se protlačují ke středu příze, nenapjatá vnitřní vlákna jsou vytlačována k povrchu (Mortonův mechanismus). Vzniká radiální i zákrutová migrace, děj je značně omezen mezivlákkenným třením.
2. Nejvýznamnějším zdrojem migrace je vnesení náhodného uspořádání vláken z pramínku do příze. Zakrucovalím se výchozí struktura jen poněkud modifikuje v závislosti na profilu svíjené stužky (viz bod A 2, B 3).
3. Migrace odvozená z průchodu vláken všemi poloměry (v literatuře rozšířená Treloarova „ideální migrace“) je teoretickým modelem jevu, který v přízi nevzniká, není v ní pozorován.
4. Výskytu vláken přibližně odpovídá model „ekvidistantní migrace“.
5. Ve vnitřních oblastech příze je migrace ovlivněna tvorbou smyček a „pseudozákrutem“ (viz bod B 3). Migracní důsledky mají i děje, probíhající při zakrucovalém trojúhelníku (viz bod B 2).

Poznámka: Zákonitosti seskání zákrutem jsou rovněž ovlivňovány migrací; důsledky však nevýbaví velké a lze je většinou pominout.

E) Ve výsledné přízi se všechny děje její tvorby zobrazí v konečné formě uspořádání vláken, tj. v geometrické struktuře příze.

1. Uspořádání vláken ve vnějších vrstvách příze
  - a) má statistický charakter. Vede k přibližně exponenciálnímu poklesu hmoty vláken s poloměrem.
  - b) určuje průměr příze jako místo se střední úrovní jisté formy „průhlednosti“ okraje příze.
  - c) vede k rozdělení vnějšího prostoru na oblast husté chlupatosti (asi do dvojnásobku průměru příze) a oblast řídké chlupatosti. Na rozhraní oblastí pravděpodobně vznikají kvalitativní změny struktury.
2. Uspořádání vláken v přičném řezu příze
  - a) umožnuje stanovit radiální rozložení zaplnění. Obvyklý průběh tvoří typickou S-křivku.
  - b) umožnuje určit střední počet vláken v průřezu. U prstencového předení činí 95%, u rotorového 80% tradiční hodnoty plynoucí z poměru jemnosti příze a vlákna. Pozorované hodnoty jsou odrazem míry neusporečnosti vláken.
3. Uspořádání prostorových křivek vláken v přízi
  - a) umožnuje charakterizovat strukturu speciálními veličinami (koef. zapředení dle Kašpárka, integrálními charakteristikami dle Hearle, jejich lineárními variantami apod.). Pozorování anglosaských autorů jsou zřejmě zatížena systematickou chybou (příliš velký krok měření na vlákně).
  - b) umožnuje komplexní vyhodnocení hustotního a směrového rozložení vláken pomocí metodou VSOP.

SEZNAM LITERATURY

- / 1/ Abhiraman,A.S.-George,W., Text.Res.J., 44, 1974, s.736.
- / 2/ Bajdjuk,P.V., Těkst.prom., č. 3, 1949, s.15.
- / 3/ Baljasov,P.D.: Sžatije těkstilnych volokon v mase i těchnologija těkstilnovo proizvodstva. Moskva 1975.
- / 4/ Bells,W.L.: Studies of quality in cotton. London 1928.
- / 5/ Banke,K.H., Faserforsch. u. Textiltechn., 8, 1957, s.280.
- / 6/ Barella,A., Bull.Inst.text.de France, 10, 1956, s.55.
- / 7/ Barella,A., J.Text. Inst., 62, 1971, s.702.
- / 8/ Barella,A.-Manich,A., Referát na 27. Maďarské text. konf., Budapest 1982.
- / 9/ Bělicin.N.M., Těkst. prom. č.7, 1948. s. 22.
- /10/ Bělicin,N.M.: Struktura chlopčatobumažnoj prjaži ... (Doktorská disertace.) Moskva 1949.-Mosk.text.Inst.
- /11/ Basset,M.C., Ind.Text., č.737, 1948.
- /12/ Braschler,E.: Die Festigkeit von Baumwollgespinsten. Zürich 1935.
- /13/ Budnikov,V.I. et al.: Osnovy prjaděniya, Časť 2. Moskva 1945.  
Německy: Grundlagen des Spinnens. Band 2. Berlin 1955.
- /14/ Budnikov,V.I., Nauč.-Issled. trudy Mosk.Text.Inst., T.10, 1948, s. 29.
- /15/ Budnikov,V.I.: Process dělenija v mechaničeskom prjaděni. Moskva 1965.
- /16/ Cheng,C.C.-White,J.L.-Duckett,K.E., Text.Res.J., 44, 1974, s. 798.
- /17/ Eggert,M.-Eggert,J., In: Mark,H.: Beiträge zur Kenntnis der Wolle und ihre Bearbeitung. Berlin 1925.
- /18/ Fučík,F.: Technologická encyklopédie textilní. Svazek II. Díl I. Ovčí vlna. Brno 1948.
- /19/ Gegauff,M.C., Bull.Soc.Ind.de Mulhouse, Avril 1907, s.153.
- /20/ Goswami,B.C.-Martindale,J.G.-Scardino,F.L.: Textile Yarns. New York, London, Sydney, Toronto 1977.
- /21/ Gracie,P.S., J. Text. Inst., 51, 1960, s. T271.
- /22/ Gupta,B.S.-Hamby,D.S., Text. Res. J., 39, 1969,s.55.
- /23/ Gupta,B.S., Text. Res. J.,40,1970,s.15.
- /24/ Gupta,B.S., Text. Res. J., 42, 1972, s.181.
- /25/ Gusev,V.E.-Usenko,V.A.: Prjaděniye chimičeskovo štepelnovovo volokna, Moskva 1964.
- /26/ Hearle,J.W.S., J. Text. Inst., 49, 1958, s.T389.
- /27/ Hearle,J.W.S.-El Behery, H.M.A.E., J. Text. Inst., 51,1960, s. T164.
- /28/ Hearle,J.W.S.-Merchant,V.B., J.Text. Inst., 53, 1962,s. T537.
- /29/ Hearle,J.W.S.-Gupta,B.S.-Merchant,V.B., Text. Res.J., 35, 1965, s. 329.
- /30/ Hearle,J.W.S.-Bose,O.N., Text.Res.J., 35,1965,s.693.
- /31/ Hearle,J.W.S.-Gupta,B.S., Text. Res. J., 35,1965,s.788.
- /32/ Hearle,J.W.S.-Bose,O.N., J. Text. Inst., 57,1966, s. T294.
- /33/ Hearle,J.W.S.-Bose,O.N., J. Text. Inst., 57,1966,s. T308.
- /34/ Hearle,J.W.S.-Grosberg.P.-Backer,S.: Structural mechanics of fibers, yarns, and fabrics. Vol. 1. New York, London, Sydney, Toronto 1969.

- /35/ Hearle,J.W.S.-Goswami,B.C., Text. Res. J., 40, 1970, s.598.
- /36/ Hearle,J.W.S.-Lord.P.R.-Senturk,N., J. Text. Inst., 63, 1972, s.605
- /37/ Hennig,H.J., Mell. Textilber., 19,1938,s.229.
- /38/ Hladík,V. et al.: Textilní vlákna. Praha 1970.
- /39/ Höschl,C.: Pružnost a pevnost. (Uč.text. Vys. šk. stroj.) Liberec 1960.
- /40/ Howell,H.G.-Mieszkis,K.W.-Tabor,D.: Friction in textiles. London 1959.
- /41/ Iyer,K.B.-Phatarfod,R.M., J.Text. Inst., 56,1965, s.T225.
- /42/ Ježek,H.-Neckář,B.-Kovářová,A.: Studie vybraných vlastností pojmených textilií. (Výzk. zpráva SV 1-4/81) Liberec, Stát. výzk. ústav text. 1981.
- /43/ Johansen,O.: Handbuch der Baumwollspinnerei, Rohweberei und Fabrikenlagen. 1. Bd. Leipzig 1930.
- /44/ Kašpárek,J.: Geometrický model vnějšího tvaru bezvřetenové bavlněné příze. In: Sborník věd. prací Vys. šk. stroj. a text. Liberec 1969, s. 285.
- /45/ Kašpárek,J.: Comparison of internal structures of carded, combed and break-spun cotton yarns. In: SIRTEC 1969. Paris, Inst. text. de France 1969, s. 249.
- /46/ Kašpárek,J.-Ursíny,P., Textil, 32, 1977, s.42.
- /47/ Koch,P.A.-Wagner,E.: Textile Prüfungen.Bd. IB. 8. ed. Wuppertal-Elbersfeld 1966.
- /48/ Koldinský,O.: Inter. mater. Stát. výzk. ústavu text., Liberec 1981.
- /49/ Kolundžiš,B., Text. Ind., 13, 1965, s. 251.
- /50/ Komori,T.-Makishima,K., Text. Res. J., 47, 1977, s.13.
- /51/ Korickij.K.I.: Osnovy projektirovanija svojstv prjaži. Moskva 1963.
- /52/ Korickij,K.I.: Inženérnoje projektirovaniye těkstilnych matěrialov. Moskva 1971.
- /53/ Korn.G.A.-Korn,T.M.: Mathematical handbook for scientists and engineers. New York 1968. Rusky: Spravočník po matěmatice. Moskva 1973.
- /54/ Kroupa,P., Kandidátská dis. práce, Vys. šk. stroj. a text., Liberec, 1985.
- /55/ Liebscher,U., Referát na 25. Maďarské text. konf., Budapest 1979.
- /56/ Malinowska,K., Prace, Inst. Włok., 29, 1979.
- /57/ Marko,J.-Neckář,B., Věda a výzk. v text. prům., č.11, 1970, s.29.
- /58/ Marko,J.: Tvarování nepravým zákrutem. Experimentální část. (Výzk. zpráva FIXACE 7-03.) Liberec, Vys. šk. stroj. a text. 1971.
- /59/ Marschik,S.: Physikalisch-technische Untersuchungen von Gespinsten und Geweben. Wien 1904.
- /60/ Marschik,S., Mschr. Text. Ind., 1912, s.56.
- /61/ Matukonis,A.V.: Strojenije i mechaničeskije svojstva něodnorodnych nitěj. Moskva 1971.
- /62/ Morton,W.E.-Summers,R.J., J. Text. Inst., 40, 1949, s.P106.
- /63/ Morton,W.E.-Yen,R.J., J. Text. Inst., 43, 1952, s. T60.
- /64/ Morton,W.E., Text. Res. J., 26, 1956, s.325.
- /65/ Müller,E., Civiling., 26, 1880, s. 137.
- /66/ Müller,E.: Handbuch der Spinnerei. Berlin 1892.

- /67/ Neckář, B.: Struktura a vlastnosti bavlněné příze mykané. (Výzkumná zpráva S 72-IX.71.) Liberec, Stát. výzk. ústav text. 1971.
- /68/ Neckář, B.: Fyzikální model vnitřní struktury příze. (Kandidátská disertace.) Liberec, Vys. šk. stroj. a text., 1975.
- /69/ Neckář, B.: Příze z pohledu mechaniky kontinua. In: Výpočetní navrhování a hodnocení textilií. Liberec 1975, s. 193.
- /70/ Neckář, B., Text. Res. J., 46, 1976, s. 545.
- /71/ Neckář, B.: Fyzikální model ... Část 3: Měření a vyhodnocování struktury příze. (Výzk. zpráva K-07-X/77.) Liberec, Stát. výzk. ústav text. 1977.
- /72/ Neckář, B., Textil, 34, 1979, s.87. 130.
- /73/ Neckář, B., Technol. text. Prom., č. 6, 1979, s. 25.
- /74/ Neckář, B.-Soni, M.K.: Fyzikální model ... Část 6: Bezvřetenová příze BD 200 z viskosových vláken. (Výzk. zpráva PT 2-XI/79.) Liberec, Stát. výzk. ústav text. 1979.
- /75/ Neckář, B.-Hyková, J.: Fyzikální model ... Část 7: Integrální charakteristiky a cesta modelového řešení struktury příze. (Výzk. zpráva PT 1-V/80.) Liberec, Stát. výzk. ústav text. 1980.
- /76/ Neckář, B.-Dušek, Z.-Kovářová, A.: Morfologická diagnostika textilních útvarů. (Výbor z výzk. prací, sv. 4.) Liberec, Stát. výzk. ústav text. 1980.
- /77/ Neckář, B.-Kovářová, A.: Struktura příze. (Výbor z výzk. prací, sv. 3) Liberec, Stát. výzk. ústav text. 1980.
- /78/ Neckář, B.-Švehlová, L.: Optické možnosti diagnostiky textilních struktur. Část 2. (Výzk. zpráva SV 4-IX/81.) Liberec, Stát. výzk. ústav text. 1981.
- /79/ Neckář, B.: Příčné rozměry a tahová křivka přízí. (Výzk. zpráva SV 10-XII/81.) Liberec, Stát. výzk. ústav text., 1981.
- /80/ Neckář, B.-Švehlová, L., Textil, 38, 1983, s. 124.
- /81/ Neckář, B.: Průměry bavlnářských přízí. Doporučené postupy pro navrhování a hodnocení textilií. Sazek č. 1. Liberec, Stát. výzk. ústav text. 1986.
- /82/ Neckář, B.: Příze. Tvorba - struktura - vlastnosti. Stát. nádklad. tech. lit. Praha /v tisku/
- /83/ Obuch, I.G., Chl. bum. Prom., č. 1-2, 1936.
- /84/ Pavlov, N.T.-Pejsachov, V.K., Těkst. prom., č. 9-10, 1946, s.17.
- /85/ Peirce, F.T., In: 3-rd E.C.G.C. Conf., 1938, s. 138.
- /86/ Peirce, F.T., Text. Res. J., 17, 1947, s.123.
- /87/ Pejsachov, V.K.: Struktura chlopčatobumažnoj prjaži. (Kandidátská disertace.) Moskva 1947.-Mosk. Text. Inst.
- /88/ Pikkovskij, G.J.: Těkstil budoučego. Moskva 1977. Česky: Textil budoucnosti. Praha 1977.
- /89/ Pillay, K.P.R., Text. Res. J., 34, 1964, s. 663.
- /90/ Pillay, K.P.R.-Viswanathan, N.-Parthasarathy, M.S., Text. Res. J., 45, 1975, s. 366.
- /91/ Piller, B.-Trávníček, Z.: Syntetická vlákna, 1. díl. Praha 1956.
- /92/ Piller, B. et al.: Syntetická vlákna. Výroba a zpracování tvarovaných přízí. Praha 1967.

- / 93/ Ridings,G.J., J. Text. Inst., 55, 1964, s. T9.
- / 94/ Ridings,G.J., J. Text. Inst., 56, 1965, s.489.
- / 95/ Rohlens,V. et al.: Bezcítenové předení. Praha 1974.
- / 96/ Salaba,J.: Geometrie a vlastnosti steplových přízí. (Kandidátská disertace.) Liberec, Vys. šk. stroj. a text. 1975.
- / 97/ Schwarz,E.R., J. Text. Inst., 24, 1933, s. T105.
- / 98/ Schwarz,E.R.: Textiles and the microscope. New York 1934.
- / 99/ Schwarz,E.R., Text. Res. J., 31, 1951, s. 125.
- /100/ Sevostjanov, A.G., Technol. text. Prom., č.4, 1971, s.10.
- /101/ Simon,J.: Teorie předení. Díl 3. (Uč. text. Vys. šk. stroj. a text.) Liberec 1958.
- /102/ Simon,J.: Přádelníctví. (Uč. text Vys. šk. stroj. a text.) Liberec 1964.
- /103/ Sokolov,G.V.: Voprosy teorii kruženija voloknistych matěrialov. Moskva 1957.
- /104/ Sommer,H. et al.: Handbuch der Verkstoffprüfung. 5. Bd. Prüfung der Textilien. Berlin, Göttingen, Heidelberg 1960.
- /105/ Sparrenbor,J., Referát na 25. Maďarské text. konf. (Plný text přednášky.) Budapest 1979.
- /106/ Stejskal,A.-Kašpárek,J., Pat. ČSSR 117179.
- /107/ Stejskal,A., Jemná Mech. Opt., 13, 1968, s.377.
- /108/ Sur,D.-Chakravarty,A.C., J. Text. Inst., 66, 1975, s.180.
- /109/ Švehlová,L.: Optické možnosti diagnostiky textilních struktur. Část 1. (Výzk. zpráva PT 2-XI/80.) Liberec, Stát. výzk. ústav text. 1980.
- /110/ Treloar,L.R.G., J. Text. Inst., 47, 1956, s. T348.
- /111/ Treloar,L.R.G.-Hearle,J.W.S., J. Text. Inst., 53, 1962, s. T446.
- /112/ Treloar,L.R.G., J. Text. Inst., 56, 1965, s. T359.
- /113/ Usenko,V.A.: Šelkokruženije. Moskva 1969.
- /114/ Vorotilov,V.A., Bull. IVNITI, č. 10-11, 1938.
- /115/ Wegener,W.-Kühnel,A.: Ein Model für die Anordnung der Elementarfäden in einem gedrehten Fäden. Köln 1967.
- /116/ White,J.L.-Cheng,C.C.-Spruiell,J.E.: Some aspects of mechanics of continuous filament twisted yarns ... In: Appl. Polym. Symp., č. 27, 1975, s.275.
- /117/ Wyk,C.M. van, J. Text. Inst., 37, 1946, s. T285.
- /118/ Zart,A., Mell.Textilber., 28, 1947, s. 329.
- /119/ Żurek,W.: Struktura przędzy. Warszawa 1971.
- /120/ Mayers Konversations-Lexikon. 5. ed. Leipzig, Wien 1897.
- /121/ Přístroj DIGIMET. (Interní materiály.) Liberec, Stát. výzk. ústav. text. 1980. (Viz. též A.O.ČSSR 216573.).
- /122/ Interní norma Inst.Wlok., č. 2.1.2.1 A-C,F-H, Lodž.

- /123/ ČSN 80 0001.
- /124/ ČSN 80 0034.
- /125/ ČSN 80 0000.
- /126/ ČSN 80 2120.
- /127/ Hickie,T.S.-Chaikin,M., J.Text. Inst., 65, 1974, s.433.
- /128/ Ziedman,M.I., Text. Res. J., 49, 1979, s. 118.
- /129/ Dogu,I., Text.Res. J., 42, 1972, s.726.